

Б. С. КАСАТКИН
В. М. ПРОХОРЕНКО
И. М. ЧЕРТОВ

НАПРЯЖЕНИЯ И ДЕФОРМАЦИИ ПРИ СВАРКЕ

*Допущено
Министерством высшего и среднего
специального образования СССР
в качестве учебного пособия
для студентов вузов,
обучающихся по специальности
«Оборудование и технологии
сварочного производства»*

СПЕВ
ГОЛОВНОЕ ИЗДАТЕЛЬСТВО
ИЗДАТЕЛЬСКОГО ОБЪЕДИНЕНИЯ
«ВУЗЫ ШКОЛА»
1987

30.61я73

К28

УДК 621.791 (07)

Напряжения и деформации при сварке / Б. С. Касаткин, В. М. Прохоренко, И. М. Чертов. — К. : Вища шк. Головное изд-во, 1987. — 246 с.

В учебном пособии рассмотрены вопросы образования сварочных напряжений и деформаций, расчетные и экспериментальные методы их определения, влияние на прочность и способы уменьшения. Приведены примеры решения некоторых типовых задач.

Для студентов вузов, обучающихся по специальности «Оборудование и технология сварочного производства».

Табл. 2. Ил. 158. Библиогр.: 14 назв.

Рецензенты: заведующий кафедрой сварочного производства кандидат технических наук *А. Н. Гедрович* (Ворошиловградский машиностроительный институт), заведующий кафедрой сопротивления материалов кандидат технических наук *В. В. Бортовой* (Харьковский политехнический институт)

Редакция учебной и научной литературы по машиностроению и приборостроению

Зав. редакцией *О. А. Добровольский*

В центре экономической политики партии всегда будет находиться всемерное повышение технического уровня и качества продукции. Одной из важных задач в совершенствовании изготовления сварных конструкций является улучшение их технологичности, повышение надежности и долговечности. Решение этих вопросов связано с совершенствованием расчетов и проектирования конструкций, улучшением технологии их изготовления.

Поскольку сварные конструкции выпускаются ежегодно в больших объемах, задача повышения их качества, надежности, работоспособности и долговечности приобрела особо важное значение для народного хозяйства.

При сварке в конструкциях возникают сварочные деформации и напряжения, которые в большинстве случаев существенным образом влияют на их эксплуатационно-технологические показатели.

Задача инженера-сварщика состоит в том, чтобы на основе глубокого и всестороннего понимания сущности сложных деформационно-силовых процессов, протекающих при сварке в конструкциях, разработать систему мероприятий, которая обеспечила бы снижение отрицательного влияния сварочных напряжений и деформаций. В связи с этим вопросы, связанные с образованием напряжений и деформаций при сварке, на протяжении уже многих лет в большем или меньшем объеме изучаются студентами сварочных специальностей вузов.

Опыт преподавания данной дисциплины показывает, что она является достаточно сложной для усвоения студентами. Поэтому, не умаляя ценности имеющихся в данное время учебных пособий и других литературных источников, в которых рассматриваются отдельные вопросы сварочных напряжений и деформаций, авторы считают, что данное пособие принесет определенную пользу читателю.

Дисциплина «Напряжения и деформации при сварке» сформировалась и развивалась, прежде всего, на основе фундаментальных представлений и положений механики деформируемой среды и, в частности, таких дисциплин, как «Теория упругости» и «Теория пластичности», а также «Линейная механика разрушения».

В учебных планах сварочных специальностей вузов отсутствуют курсы по теории упругости и пластичности. Сведений о напряженно-деформированном состоянии, полученных при изучении сопротивления материалов, как показывает опыт, недостаточно.

Глубокое изучение и исследование сварочных задач о напряжениях и деформациях требует твердых и устойчивых представлений по теории напряженного и деформированного состояния в точке сплошной среды.

знания совокупности основных уравнений теории упругости, постановки и основных идей решения задач. По этим вопросам имеется литература в виде учебников, учебных пособий и монографий. Однако обращение к ней студентам-сварщикам затруднительно в основном по причинам методического характера и различного уровня изложения материала. Поэтому в первой главе данного пособия полагаются необходимые сведения по теории деформируемой среды, и тем самым читатель подготавливается к более осмысленному и учебно-последовательному материалу.

Во второй главе рассматривается образование и расчет остаточных напряжений в симметричных одномерных задачах. Под симметричными задачами понимаются задачи, у которых напряженное состояние является практически одноосным и, кроме того, отсутствует влияние от действия внутренних остаточных напряжений. Достаточно узкое и длинное стержневое сварное стыковое соединение — общепринятый классический представитель задач с одноосным напряженным состоянием.

В процессе сварки и последующего охлаждения и сварным соединением протекают сложные термомеханические процессы, обуславливающие образование временных напряжений, которые, в конечном итоге, после полного охлаждения переходят в остаточные.

Одним из важнейших в теории сварочных напряжений и деформаций является вопрос о причинах образования остаточных напряжений в сварных соединениях (вареж структурах). Инженер-сварщик должен понимать последствия именно этого вопроса из всей области сварочных напряжений и деформаций. От этого зависит многое: эффективность дальнейшего изучения дисциплины, формирование будущего инженера-сварщика как высококвалифицированного специалиста по технологии сварки, по конкретизирующей эффективности сборочно-сварочной области, наконец, как инженера-исследователя или будущего научного работника в области прочности и деформаций сварных конструкций. Данный вопрос рассматривается в первой части главы.

Во второй части главы рассмотрены для расчетов методы определения остаточных сварочных напряжений в сварных соединениях — метод Г. А. Николаева и метод М. Н. Троцуна.

Разработка расчетных методов для решения одномерных задач была начата еще в 30-е годы. Наибольший вклад в решение этого вопроса внесли Г. А. Николаев, Н. О. Овербаум, В. П. Володкин, М. Н. Троцун, Г. Б. Талданов. В методическом отношении в данной главе рассмотрены только методы Г. А. Николаева и М. Н. Троцуна, после изучения которых читатель при необходимости сможет самостоятельно разобраться и в других аналогичных методах.

Новый расчетный метод определения остаточных напряжений в двумерных задачах изложен в третьей главе. Двумерные или плоские задачи об остаточном напряженном состоянии в сварных соединениях имеют наибольшее распространение на практике. Двумерное напряженное состояние обычно возникает во всех листовых конструкциях. Двумерные задачи об остаточных напряжениях при сварке являются существенно более сложными, чем одномерные. Поэтому до недавнего времени и не было предложено достаточно удобных общих методов.

ческих методов их решения. В основном разрабатывались и совершенствовались численные методы решения таких задач, ориентированные на использование мощных быстродействующих вычислительных машин. В данной главе рассмотрен новый приближенный аналитический расчетный метод для двумерных задач, в основу которого положены так называемые дислокационные представления об остаточных напряжениях при сварке.

Сведения о наиболее распространенных экспериментальных методах определения сварочных деформаций и напряжений приведены в четвертой главе. К определению сварочных деформаций и напряжений экспериментальным путем прибегают в самых различных случаях. Чаще всего это обусловлено сложностью геометрической формы конструкции и ожидаемыми в связи с этим значительными погрешностями расчетных методов, наличием структурных превращений в металле при сварке и др. Наибольшее внимание в главе уделено механическим методам, как наиболее распространенным. Физические методы применительно более ограничено, но необходимые сведения о них также приведены.

В пятой главе рассмотрены вопросы расчетного определения остаточных сварочных деформаций коробления. Процесс сварки сопровождается возникновением не только остаточных напряжений, но также и *с* остаточных деформаций коробления, искажающих геометрические размеры и форму конструкции, ухудшающих внешний вид и эксплуатационно-технологические свойства сварных изделий, затрудняющих их изготовление. Одна из задач определения сварочных деформаций коробления. Рассмотрены основные вопросы количественного определения этих деформаций, имеющие важное значение при проектировании конструкций и технологии их изготовления, что позволяет своевременно и правильно разрабатывать мероприятия по снижению величины *с* остаточных деформаций.

Шестая глава посвящена вопросу влияния остаточных сварочных напряжений на разрушение сварных соединений. Анализ полученных на основе определения в силовом поле остаточных напряжений плоских *с* сварных соединений параметров напряженно-деформированного состояния у вершины трещины K_I и δ , называемых соответственно коэффициентами интенсивности напряжений и раскрытием трещины в ее вершине.

В седьмой главе изложены вопросы уменьшения сварочных напряжений и деформаций, имеющие практическое значение для производства сварных конструкций.

В приложениях приведены по каждой главе контрольные вопросы для самопроверки, способствующие более успешному и глубокому усвоению изложенного в учебном пособии материала.

Глава I и § 4.1...4.3, 4.5, 4.6 написаны Б. С. Кисаткиным, главы 2, 3, 6 и приложение — В. М. Прохоренко, главы 5, 7 и § 4.4, 4.7...4.9 — Н. М. Чертовым.

1.1. ТЕОРИЯ УПРУГОСТИ КАК ПАЗКА

Теория упругости является одним из основных разделов механики сплошной среды — обширной части механики, посвященной движению тазообразных, жидких и твердых деформируемых тел.

Задача теории упругости — определение напряжений и деформаций в твердом теле, когда деформация материала не выходит за пределы упругости. Таким же вопросом занимается и сопротивление материалов. Различие состоит лишь в методах и строгости решения задач. Сопротивление материалов часто использует различные дополнительные гипотезы при решении задач, а теория упругости обычно свободна от них, кроме тех, которые касаются свойств упругого твердого тела. В связи с этой областью применения зависимостей и формул, полученных в сопротивлении материалов, как правило, существенно ограничены. Например, формулы, выведенные на основе гипотезы плоских сечений, оправдываются лишь с необходимой точностью для тел в форме брусьев, у которых два размера не менее чем в 6...8 раз меньше третьего.

Назначение теории упругости: давать решение задач, не решаемых в сопротивлении материалов; оценивать точность и предел применимости решения задач по формулам сопротивления материалов. Принято различать *математическую* и *прикладную теорию упругости*. Математическая теория упругости определяет напряженное состояние с учетом также каких-либо дополнительных предпосылок. Исходя из характера (линейный, нелинейный) зависимости между напряжениями и деформациями соответственно различают *линейную* и *нелинейную теорию упругости*. К нелинейной теории упругости относятся и задачи с геометрической нелинейностью (когда тела не обладают достаточной жесткостью).

Несмотря на более широкие возможности, теории упругости все же не может обойтись без абстрагирования изучаемого объекта. Реальные твердые тела рассматриваются в идеализированном виде: сплошными; идеально упругими; с линейной зависимостью между напряжениями и деформациями (классическая теория упругости); достаточно жесткими (геометрическая линейность); однородными; изотропными. Это так называемые *основные гипотезы механики твердого тела*.

К абстрагированию в процессе своего развития прибегают многие науки. Важно только, чтобы в процессе идеализации удачно сохранились основные и наиболее существенные в данном случае свойства **реального** объекта.

Что предполагают гипотезы однородности и сплошности среды и зачем они нужны? Нам хорошо известно, что все реальные тела неоднородны и состоят из отдельных частиц в виде атомов или молекул, образующих в большинстве случаев конгломераты со множеством вclusions, так или иначе отличающихся определенными свойствами. Однако в достаточно больших объемах тела обладают практически одинаковыми свойствами. Гипотеза однородности упрощает построение теории. Под сплошностью тела понимают заполненность материалом всего объема, ограниченного его поверхностью. Согласно этой гипотезе, тело, будучи непрерывным до деформации, остается таковым и после нее (без образования пустот и разрывов в виде трещин). В связи с этим деформации и перемещения точек тела считаются непрерывными и дифференцируемыми функциями координат точек. Следовательно, однородность и сплошность тела позволяют применять методы анализа бесконечно малых величин, а это упрощает построение теории. Попытки создания теории упругости исходя из дискретного строения тел предпринимались, но исключительные математические трудности такого подхода заставили впоследствии от него отказаться и перейти к рассмотрению сплошной непрерывной среды (континуум, механика континуума). Причем континуумом можно считать не только обычные материальные тела, но и различные поля, например электромагнитное поле. Вполне очевидно, что назначение и других, упомянутых выше, гипотез связано с упрощением анализа при разработке различных расчетных методов.

Принцип Сен-Венана (по имени известного ученого в области теории упругости) о локальности эффекта самоуравновешенных нагрузок утверждает, что если в какой-либо малой части тела приложена уравновешенная система сил, то она вызывает в теле напряжения, очень быстро (по экспоненте) убывающие по мере удаления от этой части тела (другое название — *принцип локальности*).

Часто указанный принцип формулируют иначе: в точках твердого тела, достаточно удаленных от мест приложения внешних нагрузок, напряжения мало зависят от детального способа осуществления этих нагрузок. Изучение закона распределения напряжений вблизи мест приложения нагрузок составляет задачу специальных разделов (контактные задачи) теории упругости. Однако принцип локальности не всегда применим. Например, он не применим к тонкостенным стержням, у которых толщина в сечении значительно меньше длины контура поперечного сечения, а длина контура значительно меньше длины стержня.

Принцип Сен-Венана играет большую роль в построении приближенных решений задач теории упругости, позволяя заменять сложные граничные условия более простыми, статически эквивалентными.

Начало развитию теории упругости было положено в 20-х годах XIX века работами Навье, Коши, Пуассона и Остроградского. Дальнейший вклад внесли Ляме и Клапейрон. В последующие годы в области теории упругости работали многие выдающиеся отечественные и зарубежные ученые, трудами которых в основном завершено формирование данной науки в ее современном виде.

1.2. ТЕОРИЯ НАПРЯЖЕНИЙ

В зависимости от расположения точек приложения сил к телу все силы разделяют на объемные и поверхностные. *Объемные силы* непрерывно распределены по всему объему тела (силы веса, инерции, магнитные и др.). *Поверхностные силы* приложены к поверхности тела и являются следствием воздействия на него другого тела. В реальных деформируемых телах все силы являются распределенными. Если площадь, где действует сила, очень мала по сравнению с размерами тела, то обычно говорят о сосредоточенной силе.

Рассмотрим произвольное тело, находящееся в равновесии при действии на него произвольной системы сил. Можно это тело рассечь плоскостью на две части. Далее будем рассматривать одну из этих частей. Чтобы она продолжала оставаться в равновесии, к сечению необходимо приложить какую-то распределенную нагрузку, заменяющую действие другой отсеченной части тела. Возьмем в плоскости сечения точку A и рассмотрим в ее окрестности некоторую площадку ΔF , на которую действует часть Δp главного вектора p приложенной распределенной нагрузки. Если площадку ΔF будем стягивать в точку (ΔF стремится к нулю), то рассмотрим отношение $\Delta p / \Delta F$ в пределе, получим понятие о векторе полного напряжения p_n на данной площадке с единичной нормалью n в точке A :

$$p_n = \lim_{\Delta F \rightarrow 0} \frac{\Delta p}{\Delta F}.$$

Через точку в теле можно провести бесчисленное множество площадок, на каждой из которых будет действовать свой вектор полного напряжения.

По отношению к площадке вектор полного напряжения в общем случае направлен произвольно под некоторым углом и не совпадает ни с нормалью к площадке, ни с площадкой. Его можно разложить на нормальную σ и касательную τ составляющие.

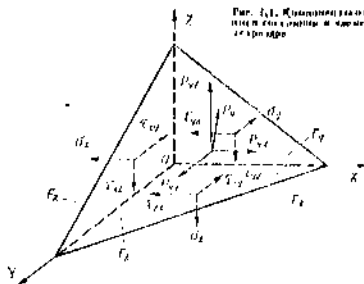
Вектор анализ напряженного и деформированного состояния необходимо проводить в какой-то произвольной координатной системе. Поэтому введем прямоугольную систему декартовых координат XOY . В этой системе вектор p_n можно разложить на составляющие p_{nx} , p_{ny} , p_{nz} по осям. Тогда

$$p_n = \sqrt{p_{nx}^2 + p_{ny}^2 + p_{nz}^2}.$$

Как видно, для обозначения составляющих вектора полного напряжения использованы двойные индексы. Первый индекс указывает направление нормали к площадке, а второй — направление данной составляющей напряжения.

В системе координат XOY можно рассмотреть сечение тела через точку A плоскостями, перпендикулярными к координатным осям. Таких сечений будет три. В каждом сечении в точке будет действовать свой вектор полного напряжения, который можно разложить по осям. Тогда будем иметь:

Рис. 1.1. Элементарный тетраэдр в декартовой системе координат. Показаны напряжения на его гранях.



а) на площадке, перпендикулярной к оси X ,

$$\sigma_{xx}, \tau_{xy}, \tau_{xz};$$

б) на площадке, перпендикулярной к оси Y ,

$$\tau_{yx}, \sigma_{yy}, \tau_{yz};$$

в) на площадке, перпендикулярной к оси Z ,

$$\tau_{zx}, \tau_{zy}, \sigma_{zz}.$$

Первый индекс в обозначении напряжений указывает, к какой оси перпендикулярна площадка, в которой действует данное напряжение, а второй индекс — вдоль какой оси действует данное напряжение. Поскольку в обозначении нормальных напряжений оба индекса одинаковы, то условимся их обозначать одним индексом ($\sigma_x, \sigma_y, \sigma_z$).

Нормальное напряжение считается положительным (растяжение), если его вектор совпадает с направлением внешней нормали к площадке. Положительное касательное напряжение направлено в сторону положительной координатной оси, если внешняя нормаль к площадке также совпадает с положительным направлением параллельной ей координатной оси. При другом противоположном направлении внешней нормали положительным считается и другое направление касательного напряжения.

Составляющие векторов полных напряжений на трех взаимно перпендикулярных площадках полностью определяют напряженное состояние в рассматриваемой точке, потому что если они известны, то по определенному правилу можно определить любую составляющую напряжений на произвольной площадке, проведенной через данную точку. Легко получить зависимости для напряжений на произвольной наклонной площадке.

Рассмотрим равновесие элементарного тетраэдра (рис. 1.1), выделенного из тела. Три взаимно перпендикулярные грани его

перпендикулярны к осям, а четвертая наклонная грань имеет внешнюю нормаль ν с направляющими косинусами $l = \cos(\nu x)$, $m = \cos(\nu y)$, $n = \cos(\nu z)$. Соответствующие площади граней F_x , F_y , F_z , F_ν . На площадках, перпендикулярных к осям, действуют составляющие векторов полных напряжений в виде нормальных и касательных компонентов, а на наклонной площадке вектор полного напряжения разложен на составляющие в осях.

Составим условия равновесия тетраэдра, проектируя силы на координатные оси:

$$\begin{aligned}\sum X &= -\sigma_x F_x - \tau_{xy} F_y - \tau_{xz} F_z + P_{\nu x} F_\nu = 0; \\ \sum Y &= -\sigma_y F_y - \tau_{xy} F_x - \tau_{yz} F_z + P_{\nu y} F_\nu = 0; \\ \sum Z &= -\sigma_z F_z - \tau_{xz} F_x - \tau_{yz} F_y + P_{\nu z} F_\nu = 0.\end{aligned}\quad (1.1)$$

Поскольку $F_x/F_\nu = l$, $F_y/F_\nu = m$, $F_z/F_\nu = n$, из (1.1) получим:

$$\begin{aligned}P_{\nu x} &= \sigma_x l + \tau_{yx} m + \tau_{zx} n; \\ P_{\nu y} &= \tau_{xy} l + \sigma_y m + \tau_{zy} n; \\ P_{\nu z} &= \tau_{xz} l + \tau_{yz} m + \sigma_z n.\end{aligned}\quad (1.2)$$

Тогда полное напряжение на наклонной площадке

$$P_\nu = \sqrt{P_{\nu x}^2 + P_{\nu y}^2 + P_{\nu z}^2}.\quad (1.3)$$

Нормальное напряжение на площадке

$$\begin{aligned}\sigma_\nu &= P_{\nu x} l + P_{\nu y} m + P_{\nu z} n = (\sigma_x l^2 + \tau_{yx} l m + \tau_{zx} l n) + \\ &+ (\tau_{xy} l m + \sigma_y m^2 + \tau_{zy} m n) + (\tau_{xz} l n + \tau_{yz} m n + \sigma_z n^2).\end{aligned}\quad (1.4)$$

Касательное напряжение на площадке

$$\tau_\nu = \sqrt{P_\nu^2 - \sigma_\nu^2}.\quad (1.5)$$

На поверхности тела $P_{\nu x}$, $P_{\nu y}$ и $P_{\nu z}$ определяются заданной нагрузкой, и тогда выражения (1.2) являются условиями равновесия на поверхности тела, т. е. граничными условиями.

Таким образом, девять составляющих в координатных осях векторов полных напряжений на трех взаимно перпендикулярных площадках, проведенных через данную точку, полностью определяют напряженное состояние в этой точке. Расположенные определенным образом в виде матрицы третьего порядка, они образуют так называемый тензор напряжений

$$\sigma_{ij} = \begin{vmatrix} \sigma_x & \tau_{xy} & \tau_{xz} \\ \tau_{yx} & \sigma_y & \tau_{yz} \\ \tau_{zx} & \tau_{zy} & \sigma_z \end{vmatrix}, \quad i, j = x, y, z.\quad (1.6)$$

Запись σ_{ij} представляет собой символ напряженного состояния в точке, под которым может пониматься любой компонент матрицы в зависимости от того, какие буквы из набора x, y, z присвоить бегущим индексам i, j . Данная матрица представляет собой тензор второго ранга, симметричный относительно главной диагонали, на которой распо-

должны нормальные напряжения. Симметрия следует из закона парности касательных напряжений, о котором еще будет идти речь ниже. Согласно этому закону, $\tau_{xy} = \tau_{yx}$, $\tau_{yz} = \tau_{zy}$, $\tau_{zx} = \tau_{xz}$.

В тензоре напряжений (1.6) компоненты расставлены таким образом, чтобы по законам тензорной алгебры при заданном тензоре можно было получить напряжения на любой другой площадке, проведенной через данную точку, если известны направляющие косинусы нормали к этой площадке. Это действительно легко понять, если вспомнить выражения (1.2) для напряжений на наклонной площадке, которые можно представить в виде

$$\begin{pmatrix} P_{nx} \\ P_{ny} \\ P_{nz} \end{pmatrix} = \begin{pmatrix} \sigma_x & \tau_{xy} & \tau_{xz} \\ \tau_{yx} & \sigma_y & \tau_{yz} \\ \tau_{zx} & \tau_{zy} & \sigma_z \end{pmatrix} \begin{pmatrix} l \\ m \\ n \end{pmatrix}. \quad (1.7)$$

Меняя направление площадок, т. е. l , m , n , будем получать для каждой из них P_{nx} , P_{ny} , P_{nz} , что в свою очередь, дает возможность найти любые напряжения для этих площадок.

Следовательно, тензор напряжений полностью раскрывает напряженное состояние в данной точке.

В теории упругости строго доказывается, что через любую точку нагруженного тела всегда можно провести хотя бы три взаимно перпендикулярные площадки, на которых касательные напряжения отсутствуют, а есть только нормальные, называемые в этом случае *главными нормальными напряжениями*. Они обозначаются σ_1 , σ_2 , σ_3 , причем $\sigma_1 > \sigma_2 > \sigma_3$. Площадки, на которых касательных напряжений нет, называются *главными*. Если взять новую произвольную координатную систему с осями, параллельными главным нормальным напряжениям, то такие оси будут называться *главными осями*. Они обозначаются не X , Y , Z , а соответственно 1, 2, 3.

Выше был приведен тензор напряжений в произвольных осях X , Y , Z , но его можно записать и в главных осях 1, 2, 3:

$$\sigma_{ij} = \begin{vmatrix} \sigma_1 & 0 & 0 \\ 0 & \sigma_2 & 0 \\ 0 & 0 & \sigma_3 \end{vmatrix}, \quad i, j = 1, 2, 3. \quad (1.8)$$

При этом записи (1.6) и (1.8), очевидно, эквивалентны

$$\sigma_{ij} = \begin{vmatrix} \sigma_x & \tau_{xy} & \tau_{xz} \\ \tau_{yx} & \sigma_y & \tau_{yz} \\ \tau_{zx} & \tau_{zy} & \sigma_z \end{vmatrix} = \begin{vmatrix} \sigma_1 & 0 & 0 \\ 0 & \sigma_2 & 0 \\ 0 & 0 & \sigma_3 \end{vmatrix}. \quad (1.9)$$

Главные нормальные напряжения в точке определяются геометрией тела, характером и величиной нагрузки и не зависят от выбора координатной системы X , Y , Z .

В теории упругости получено *кубическое уравнение для определения главных нормальных напряжений*. Оно имеет вид

$$\sigma^3 - \sigma^2(\sigma_x + \sigma_y + \sigma_z) + \sigma(\sigma_x\sigma_y + \sigma_y\sigma_z + \sigma_z\sigma_x - \tau_{xy}^2 - \tau_{yz}^2 - \tau_{zx}^2) - (\sigma_x\sigma_y\sigma_z + 2\tau_{xy}\tau_{yz}\tau_{zx} - \sigma_x\tau_{yz}^2 - \sigma_y\tau_{zx}^2 - \sigma_z\tau_{xy}^2) = 0.$$

Корнями этого уравнения являются $\sigma_1, \sigma_2, \sigma_3$. Поскольку они не зависят от выбора координатной системы, коэффициенты при неизвестном вместе со свободным членом в уравнении также не зависят от выбора координатной системы, т. е. являются *инвариантами величинами*. Обычно они имеют следующие обозначения и формы записи: первый инвариант (*линейный*)

$$I_1 = \sigma_1 + \sigma_2 + \sigma_3 = \sigma_1 + \sigma_2 + \sigma_3 = 3\sigma_{окт} = \text{const};$$

второй инвариант (*квадратичный*)

$$I_2 = \sigma_1\sigma_2 + \sigma_1\sigma_3 + \sigma_2\sigma_3 = \sigma_1\sigma_2 + \sigma_1\sigma_3 + \sigma_2\sigma_3 = \sigma_1\sigma_2 + \sigma_2\sigma_3 + \sigma_3\sigma_1;$$

третий инвариант (*кубический*)

$$I_3 = \sigma_1\sigma_2\sigma_3 = 2\sigma_1\sigma_2\sigma_3 - \sigma_1\sigma_2^2 - \sigma_1\sigma_3^2 - \sigma_2\sigma_1^2 = \sigma_1\sigma_2\sigma_3.$$

Перечисленные инварианты называют *базисными*. Они часто используются в экспериментальных и теоретических исследованиях.

В плоскостях, разделяющих углы между главными направлениями пополам, действуют касательные напряжения:

$$\tau_{12} = (\sigma_1 - \sigma_2)/2; \quad \tau_{23} = (\sigma_2 - \sigma_3)/2; \quad \tau_{31} = (\sigma_3 - \sigma_1)/2. \quad (1.10)$$

Как видно, τ_{31} будет максимальным, а одно из двух других — минимальным. Такие напряжения называются *экстремальными касательными напряжениями*. Нормальные напряжения на таких площадках соответственно будут иметь вид:

$$(\sigma_1 + \sigma_2)/2; \quad (\sigma_2 + \sigma_3)/2; \quad (\sigma_3 + \sigma_1)/2.$$

Кроме главных площадок в точке тела известный интерес представляют *октаэдрические площадки*, имеющие одинаковый наклон ко всем трем главным осям. Через каждую точку может быть проведено четыре такие площадки. Все другие плоскости, проведенные параллельно указанным четырем площадкам, также являются октаэдрическими, но они уже не будут проходить через данную точку. Называя октаэдрическими они получили по той причине, что если на трех главных осях от начала координат отложить одинаковые отрезки в положительном и отрицательном направлениях, а затем концы отрезков соединить прямыми, то получится многогранник, называемый *октаэдром*, так как он будет иметь восемь граней.

Напряжения $\sigma_{окт}$ и $\tau_{окт}$, действующие на октаэдрических площадках, называются *октаэдрическими* и широко используются в дальнейшем, например, в теории пластичности и др. Эти напряжения нетрудно представить на основании приведенных выше зависимостей.

Для октаэдрической площадки

$$l = m = n = 1/\sqrt{3}.$$

По формулам (1.2) имеем:

$$P_{\sigma 1} = \sigma_1/\sqrt{3}; \quad P_{\sigma 2} = \sigma_2/\sqrt{3}; \quad P_{\sigma 3} = \sigma_3/\sqrt{3}.$$

Полное напряжение $P_{\text{окт}}$ находим по (1.3):

$$P_{\text{окт}} = \frac{1}{\sqrt{3}} \sqrt{\sigma_1^2 + \sigma_2^2 + \sigma_3^2}. \quad (1.11)$$

Далее по (1.4) и (1.5) соответственно найдем:

$$\sigma_{\text{окт}} = \frac{1}{3} (\sigma_1 + \sigma_2 + \sigma_3) = \sigma_{\text{ср}}; \quad (1.12)$$

$$\tau_{\text{окт}} = \frac{1}{3} \sqrt{(\sigma_1 - \sigma_2)^2 + (\sigma_2 - \sigma_3)^2 + (\sigma_3 - \sigma_1)^2}. \quad (1.13)$$

Зависимости (1.12) и (1.13) можно представить в произвольных осях:

$$\sigma_{\text{окт}} = \frac{1}{3} (\sigma_x + \sigma_y + \sigma_z) = \sigma_{\text{ср}}; \quad (1.14)$$

$$\tau_{\text{окт}} = \frac{1}{3} \sqrt{(\sigma_x - \sigma_y)^2 + (\sigma_y - \sigma_z)^2 + (\sigma_z - \sigma_x)^2 + 6(\tau_{xy}^2 + \tau_{yz}^2 + \tau_{zx}^2)}. \quad (1.15)$$

Имеются и другие формы записи:

$$\sigma_{\text{окт}} = \frac{1}{3} I_1; \quad (1.16)$$

$$\tau_{\text{окт}} = \frac{2}{3} \sqrt{\tau_{12}^2 + \tau_{23}^2 + \tau_{31}^2} = \frac{2}{3} (I_2 - 3I_1^2). \quad (1.17)$$

В теории упругости и пластичности используется еще одно понятие, называемое *интенсивностью напряжений* σ_i , или *обобщенным (приведенным) напряжением*:

$$\sigma_i = \frac{1}{\sqrt{3}} \sqrt{(\sigma_1 - \sigma_2)^2 + (\sigma_2 - \sigma_3)^2 + (\sigma_3 - \sigma_1)^2}. \quad (1.18)$$

В случае линейного напряженного состояния, когда $\sigma_3 = \sigma_2 = 0$, из (1.18) имеем $\sigma_i = \sigma_1$. Из сравнения (1.18) и (1.13) видно, что

$$\tau_{\text{окт}} = (\sqrt{3}/3) \sigma_i. \quad (1.19)$$

Тензор напряжений можно разложить на два следующих тензора:

$$\sigma_{ij} = \begin{vmatrix} \sigma_x & \tau_{xy} & \tau_{xz} \\ \tau_{yx} & \sigma_y & \tau_{yz} \\ \tau_{zx} & \tau_{zy} & \sigma_z \end{vmatrix} = \begin{vmatrix} \sigma_{\text{ср}} & 0 & 0 \\ 0 & \sigma_{\text{ср}} & 0 \\ 0 & 0 & \sigma_{\text{ср}} \end{vmatrix} + \begin{vmatrix} \sigma_x - \sigma_{\text{ср}} & \tau_{xy} & \tau_{xz} \\ \tau_{yx} & \sigma_y - \sigma_{\text{ср}} & \tau_{yz} \\ \tau_{zx} & \tau_{zy} & \sigma_z - \sigma_{\text{ср}} \end{vmatrix}. \quad (1.20)$$

Первый тензор в правой части (1.20) называется *шаровым*, а второй — *девиатором*.

Если элемент объема тела бесконечно малых размеров в виде куба или параллелепипеда находится в напряженном состоянии, описываемом шаровым тензором, то при таком напряженном состоянии (всестороннее растяжение или сжатие) форма данного элемента тела измениться не может. Увеличится или уменьшится только объем. Следовательно, шаровой тензор напряжений вызывает только изменение объема элемента тела в окрестности рассматриваемой точки.

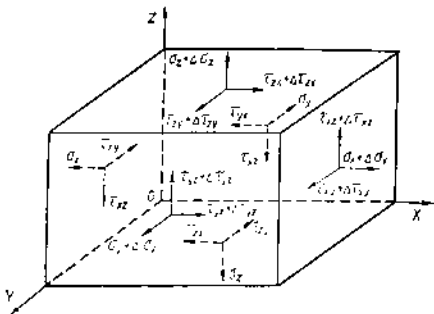


Рис. 1.1. Компоненты напряженного состояния в элементарном параллелепипеде

Деплатор напряжений вызывает только изменение формы элемента, поскольку в общем случае деформации элемента тела изменяются его объем и форма.

В заключение рассмотрим еще дифференциальные уравнения равновесия (Коши — Навье) для случая неподвижного тела и в предположении, что объемные силы отсутствуют, поскольку в большинстве случаев их не учитывают.

Выделим из тела мысленно параллелепипед с бесконечно малыми размерами dx , dy , dz и покажем на его гранях действующие напряжения с учетом их изменения на противоположных гранях в связи с изменением соответствующей координаты (рис. 1.2). Например, на площадке, перпендикулярной к оси X , слева действует нормальное напряжение σ_x . Очевидно,

$$\sigma_x = f(x, y, z).$$

Тогда это напряжение на правой площадке, для которой координата x получила приращение dx , имеет вид:

$$\sigma_x + d\sigma_x = f(x + dx, y, z).$$

Поскольку

$$f(x + dx, y, z) = f(x, y, z) + \frac{\partial f}{\partial x} dx + \frac{\partial^2 f}{\partial x^2} \frac{dx^2}{2!} + \dots,$$

то

$$\sigma_x + d\sigma_x = \sigma_x + \frac{\partial \sigma_x}{\partial x} dx + \frac{\partial^2 \sigma_x}{\partial x^2} \frac{dx^2}{2!} + \dots$$

Пренебрегая бесконечно малыми высших порядков, получим для линейной теории упругости

$$\sigma_x + d\sigma_x = \sigma_x + \frac{\partial \sigma_x}{\partial x} dx.$$

Поскольку все тело под действием сил находится в равновесии, каждый его элемент будет также в равновесии. Поэтому для выделенного элемента можно составить следующие условия равновесия: 1) $\sum X = 0$; 2) $\sum Y = 0$; 3) $\sum Z = 0$; 4) $\sum M_x = 0$; 5) $\sum M_y = 0$; 6) $\sum M_z = 0$.

Для первого условия равновесия

$$\sum X = -\sigma_x dydz + \left(\sigma_x + \frac{\partial \sigma_x}{\partial x} dx \right) dydz - \tau_{yx} dx dz + \\ + \left(\tau_{yx} + \frac{\partial \tau_{yx}}{\partial y} dy \right) dx dz - \tau_{zx} dx dy + \left(\tau_{zx} + \frac{\partial \tau_{zx}}{\partial z} dz \right) dx dy = 0. \quad (1.21)$$

После преобразований получим

$$\frac{\partial \sigma_x}{\partial x} + \frac{\partial \tau_{yx}}{\partial y} + \frac{\partial \tau_{zx}}{\partial z} = 0. \quad (1.22)$$

Индексы у касательных напряжений можно менять местами в силу закона парности, и тогда в (1.22) будут записаны напряжения из первой строки тензора напряжений:

$$\frac{\partial \sigma_x}{\partial x} + \frac{\partial \tau_{xy}}{\partial y} + \frac{\partial \tau_{xz}}{\partial z} = 0. \quad (1.23)$$

Аналогично, записывая второе и третье условия равновесия, получим еще два уравнения. В конечном итоге всех уравнений будет три:

$$\begin{aligned} \frac{\partial \sigma_x}{\partial x} + \frac{\partial \tau_{xy}}{\partial y} + \frac{\partial \tau_{xz}}{\partial z} &= 0; \\ \frac{\partial \tau_{yx}}{\partial x} + \frac{\partial \sigma_y}{\partial y} + \frac{\partial \tau_{yz}}{\partial z} &= 0; \\ \frac{\partial \tau_{zx}}{\partial x} + \frac{\partial \tau_{zy}}{\partial y} + \frac{\partial \sigma_z}{\partial z} &= 0. \end{aligned} \quad (1.24)$$

Из условий $\sum M_x = 0$, $\sum M_y = 0$, $\sum M_z = 0$, получим упоминавшийся выше закон парности касательных напряжений:

$$\tau_{xy} = \tau_{yx}, \quad \tau_{yz} = \tau_{zy}, \quad \tau_{zx} = \tau_{xz}. \quad (1.25)$$

1.2. ТЕОРИЯ ДЕФОРМАЦИИ И ПЕРЕМЕЩЕНИЙ

Всякая деформация тела в общем связана с изменением его формы и размеров без изменения массы. При деформации меняется взаимное положение отдельных точек тела. Линия, соединяющая две точки тела, называется *линейным элементом* данного направления.

Отношение изменения длины бесконечно малого линейного элемента к его первоначальной длине называется *относительной линейной деформацией* в точке по данному направлению.

Изменение прямого угла между двумя бесконечно малыми линейными элементами, выходящими из одной точки, называется *сдвигом* в этой точке в плоскости линейных элементов.

Изменение положения (координат) точки тела при деформации называется *перемещением*. Перемещение определяется вектором, проведенным из начального положения точки в конечное.

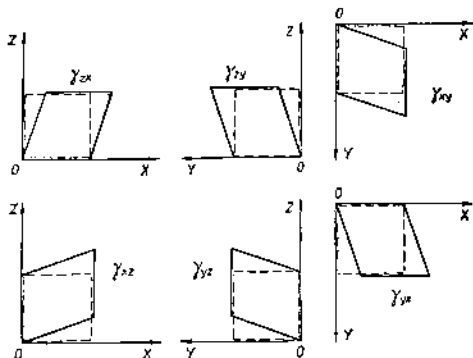


Рис. 1.3. Сдвиговые деформации в точке

Деформированным состоянием в точке тела называется совокупность деформаций всех линейных элементов, проходящих через данную точку. Деформированное состояние в точке полностью определяется относительными линейными деформациями трех взаимно перпендикулярных линейных элементов тела, проходящих через данную точку, и тремя углами сдвига этих линейных элементов в трех взаимно перпендикулярных плоскостях.

В произвольных осях линейные деформации обозначаются ϵ_x , ϵ_y , ϵ_z , а сдвиговые γ_{xy} , γ_{yz} , γ_{zx} . Индексы возле линейных деформаций указывают, вдоль какой оси произошла деформация. Первый индекс возле сдвиговых деформаций показывает, к какой оси перпендикулярна плоскость, в которой произошел сдвиг, второй индекс — вдоль какой оси произошел сдвиг. Все возможные виды сдвиговых деформаций элемента тела приведены на рис. 1.3. Сдвиговые деформации с одинаковыми индексами, например γ_{xy} и γ_{yx} , равны между собой, так как деформированный элемент из положения γ_{xy} можно повернуть относительно начала координат в положение γ_{yx} , как жесткое целое без изменения его деформированного состояния (углы сдвига не меняются). То же самое относится и к деформациям сдвига в других плоскостях. Таким образом, $\gamma_{xy} = \gamma_{yx}$, $\gamma_{yz} = \gamma_{zy}$, $\gamma_{zx} = \gamma_{xz}$.

Запишем без вывода формулу для относительной линейной деформации по направлению нормали n к произвольной площадке с направляющими косинусами l , m , n :

$$\epsilon_n = \epsilon_x l^2 + \epsilon_y m^2 + \epsilon_z n^2 + \gamma_{xy} lm + \gamma_{yz} mn + \gamma_{zx} nl. \quad (1.26)$$

При сопоставлении этого выражения с выражением (1.4) для нормального напряжения на той же площадке видно их формальное

сходство (подобие), если в выражении (1.4) заменить $\sigma_x, \sigma_y, \sigma_z$ соответственно на $\varepsilon_x, \varepsilon_y, \varepsilon_z$, а $\tau_{xy}, \tau_{yz}, \tau_{zx}$ — на $\gamma_{xy}/2, \gamma_{yz}/2, \gamma_{zx}/2$.

Углы сдвигов $\gamma_{xy}, \gamma_{yz}, \gamma_{zx}$ образуются при равноправном участии напряжений $\tau_{xy} = \tau_{yx}, \tau_{yz} = \tau_{zy}, \tau_{zx} = \tau_{xz}$, каждое из которых вошло в выражение (1.4), чем и объясняется то, что в аналогии (1.26) сдвиговые деформации записаны без множителя два. Следовательно, из зависимостей в теории напряжений формально можно получить аналогичные зависимости в теории деформаций. Тензор деформаций имеет вид

$$\varepsilon_{ij} = \begin{vmatrix} \varepsilon_x & \frac{1}{2} \gamma_{xy} & \frac{1}{2} \gamma_{xz} \\ \frac{1}{2} \gamma_{yx} & \varepsilon_y & \frac{1}{2} \gamma_{yz} \\ \frac{1}{2} \gamma_{zx} & \frac{1}{2} \gamma_{zy} & \varepsilon_z \end{vmatrix} = \begin{vmatrix} \varepsilon_1 & 0 & 0 \\ 0 & \varepsilon_2 & 0 \\ 0 & 0 & \varepsilon_3 \end{vmatrix}, \quad (1.27)$$

где $\varepsilon_1, \varepsilon_2, \varepsilon_3$ — главные линейные деформации вдоль главных осей 1, 2, 3.

Инварианты деформированного состояния:

$$\theta_1 = \varepsilon_x + \varepsilon_y + \varepsilon_z = \varepsilon_1 + \varepsilon_2 + \varepsilon_3 = 3\varepsilon_{cp} = \text{const};$$

$$\theta_2 = \varepsilon_x \varepsilon_y + \varepsilon_y \varepsilon_x + \varepsilon_z \varepsilon_x - \frac{1}{4} \gamma_{xy}^2 - \frac{1}{4} \gamma_{yz}^2 = \varepsilon_1 \varepsilon_2 + \varepsilon_2 \varepsilon_3 + \varepsilon_3 \varepsilon_1;$$

$$\theta_3 = \varepsilon_x \varepsilon_y \varepsilon_z + \frac{1}{4} \gamma_{xy} \gamma_{yz} \gamma_{zx} - \frac{1}{4} \varepsilon_x \gamma_{yz}^2 - \frac{1}{4} \varepsilon_y \gamma_{zx}^2 - \frac{1}{4} \varepsilon_z \gamma_{xy}^2 = \varepsilon_1 \varepsilon_2 \varepsilon_3.$$

Октаэдрические деформации:

$$\varepsilon_{окт} = \frac{1}{3} (\varepsilon_1 + \varepsilon_2 + \varepsilon_3) = \varepsilon_{cp};$$

$$\gamma_{окт} = \frac{2}{3} \sqrt{(\varepsilon_1 - \varepsilon_2)^2 + (\varepsilon_2 - \varepsilon_3)^2 + (\varepsilon_3 - \varepsilon_1)^2}.$$

Вектор перемещения точки из одного положения в другое при деформации тела имеет проекции u, v, w соответственно на координатные оси X, Y, Z .

Между перемещениями вдоль координатных осей u, v, w и деформациями имеются следующие дифференциальные зависимости, называемые *геометрическими уравнениями* (Коши):

$$\varepsilon_x = \frac{\partial u}{\partial x}; \quad \varepsilon_y = \frac{\partial v}{\partial y}; \quad \varepsilon_z = \frac{\partial w}{\partial z};$$

$$\gamma_{xy} = \frac{\partial u}{\partial y} + \frac{\partial v}{\partial x}; \quad \gamma_{yz} = \frac{\partial v}{\partial z} + \frac{\partial w}{\partial y}; \quad \gamma_{zx} = \frac{\partial w}{\partial x} + \frac{\partial u}{\partial z}. \quad (1.28)$$

Деформируемое тело до приложения нагрузок является сплошным, неразрывным. Таким же оно должно остаться и после приложения нагрузок. Это означает, что бесконечно малые элементы тела должны быть так деформированы, чтобы из них можно было сложить деформированное тело без образования в нем разрывов. Иначе говоря, деформации элементов тела не могут быть произвольными, а должны быть как-то между собой согласованы. Эта согласованность определяется дифференциальными уравнениями неразрывности (совместности) деформаций (Сен-Венана). Приведем уравнения без вывода, который

является достаточно сложным. Число таких уравнений равно шести, и они делятся на две группы: группа I — зависимости между составляющими деформации в одной плоскости и группа II — зависимости между составляющими деформации в разных плоскостях.

Итак, имеем:

группа I

$$\begin{aligned}\frac{\partial^2 e_x}{\partial y^2} + \frac{\partial^2 e_y}{\partial x^2} &= \frac{\partial^2 \gamma_{xy}}{\partial x \partial y}; \\ \frac{\partial^2 e_y}{\partial z^2} + \frac{\partial^2 e_z}{\partial y^2} &= \frac{\partial^2 \gamma_{yz}}{\partial y \partial z}; \\ \frac{\partial^2 e_z}{\partial x^2} + \frac{\partial^2 e_x}{\partial z^2} &= \frac{\partial^2 \gamma_{zx}}{\partial z \partial x};\end{aligned}\quad (1.20)$$

группа II

$$\begin{aligned}\frac{\partial}{\partial x} \left(\frac{\partial \gamma_{zx}}{\partial y} + \frac{\partial \gamma_{xy}}{\partial z} - \frac{\partial \gamma_{yz}}{\partial x} \right) &= 2 \frac{\partial^2 e_x}{\partial y \partial z}; \\ \frac{\partial}{\partial y} \left(\frac{\partial \gamma_{xy}}{\partial z} + \frac{\partial \gamma_{yz}}{\partial x} - \frac{\partial \gamma_{zx}}{\partial y} \right) &= 2 \frac{\partial^2 e_y}{\partial z \partial x}; \\ \frac{\partial}{\partial z} \left(\frac{\partial \gamma_{yz}}{\partial x} + \frac{\partial \gamma_{zx}}{\partial y} - \frac{\partial \gamma_{xy}}{\partial z} \right) &= 2 \frac{\partial^2 e_z}{\partial x \partial y}.\end{aligned}$$

Энергетический смысл уравнений неразрывности деформаций состоит в том, что если они выполняются, то в теле при данных нагрузках накапливается минимальное количество потенциальной энергии деформации.

Уравнения неразрывности необходимы и достаточны только для тел с односвязной областью, в пределах которой всякая замкнутая линия непрерывной деформацией может быть стянута в точку, не пересекая области тела. Для многосвязных областей эти уравнения только необходимы, но, как правило, недостаточны для сплошности тела, когда перемещения точек могут определяться неоднозначно. Примером многосвязной области является замкнутое кольцо (двухсвязная область).

1.4. ОСНОВНЫЕ УРАВНЕНИЯ, ЗАДАЧКИ И ПУТИ ИХ РЕШЕНИЯ В ТЕОРИИ УПРУГОСТИ

Выше было показано, что в каждой точке нагруженного тела в общем случае имеется 15 неизвестных: шесть напряжений $\sigma_x, \sigma_y, \sigma_z, \tau_{xy} = \tau_{yx}, \tau_{yz} = \tau_{zy}, \tau_{zx} = \tau_{xz}$; шесть деформаций $e_x, e_y, e_z, \gamma_{xy} = \gamma_{yx}, \gamma_{yz} = \gamma_{zy}, \gamma_{zx} = \gamma_{xz}$ и три перемещения u, v, w . Для решения этой задачи необходимо иметь 15 уравнений. Рассмотрим эти уравнения.

1. Статические, или равновесия (три уравнения):

$$\begin{aligned}\frac{\partial \sigma_x}{\partial x} + \frac{\partial \tau_{xy}}{\partial y} + \frac{\partial \tau_{xz}}{\partial z} &= 0; \\ \frac{\partial \tau_{xy}}{\partial x} + \frac{\partial \sigma_y}{\partial y} + \frac{\partial \tau_{yz}}{\partial z} &= 0; \\ \frac{\partial \tau_{xz}}{\partial x} + \frac{\partial \tau_{yz}}{\partial y} + \frac{\partial \sigma_z}{\partial z} &= 0.\end{aligned}\quad (1.21)$$

2. Геометрические (шесть уравнений):

$$\begin{aligned} \varepsilon_x &= \frac{\partial u}{\partial x}; \quad \gamma_{xy} = \frac{\partial u}{\partial y} + \frac{\partial v}{\partial x}; \\ \varepsilon_y &= \frac{\partial v}{\partial y}; \quad \gamma_{yz} = \frac{\partial v}{\partial z} + \frac{\partial w}{\partial y}; \\ \varepsilon_z &= \frac{\partial w}{\partial z}; \quad \gamma_{zx} = \frac{\partial w}{\partial z} + \frac{\partial u}{\partial z}. \end{aligned} \quad (1.31)$$

3. Физические уравнения, или закон Гука (шесть уравнений):

$$\begin{aligned} \sigma_x &= 2G\varepsilon_x + \lambda\theta; \quad \tau_{xy} = G\gamma_{xy}; \\ \sigma_y &= 2G\varepsilon_y + \lambda\theta; \quad \tau_{yz} = G\gamma_{yz}; \\ \sigma_z &= 2G\varepsilon_z + \lambda\theta; \quad \tau_{zx} = G\gamma_{zx}, \end{aligned} \quad (1.32)$$

где $\lambda = 2\nu G/(1 - 2\nu)$ — постоянная Ляме;

$$\theta = 3\varepsilon_{cp} = \varepsilon_x + \varepsilon_y + \varepsilon_z;$$

$G = E/[2(1 + \nu)]$ — модуль сдвига;

E — модуль упругости.

Поскольку статические и геометрические уравнения дифференциальные, то общий подход к их решению состоит в интегрировании этих уравнений. Принципно можно найти бесчисленное множество решений, каждое из которых обратит в тождество все перечисленные уравнения. Однако каждое такое решение будет соответствовать каким-то своим статическим условиям на границе тела, а нам нужно иметь решение для рассматриваемых граничных условий задачи, т. е. входящие в решение произвольные постоянные (функции) должны быть найдены из заданных граничных условий:

$$\begin{aligned} P_{yx} &= \sigma_x l + \tau_{xy} m + \tau_{xz} n; \\ P_{yy} &= \tau_{yx} l + \sigma_y m + \tau_{yz} n; \\ P_{yz} &= \tau_{zx} l + \tau_{xy} m + \sigma_z n. \end{aligned} \quad (1.33)$$

При прямом решении задачи, когда используются все 15 уравнений, не нужны уравнения неразрывности деформаций:

$$\begin{aligned} \frac{\partial^2 \varepsilon_x}{\partial y^2} + \frac{\partial^2 \varepsilon_y}{\partial x^2} &= \frac{\partial^2 \gamma_{xy}}{\partial x \partial y}; \\ &\dots \dots \dots \\ &\dots \dots \dots \\ \frac{\partial}{\partial x} \left(\frac{\partial \gamma_{xz}}{\partial y} + \frac{\partial \gamma_{xy}}{\partial z} - \frac{\partial \gamma_{yz}}{\partial x} \right) &= 2 \frac{\partial^2 \varepsilon_x}{\partial y \partial z}; \\ &\dots \dots \dots \\ &\dots \dots \dots \end{aligned} \quad (1.34)$$

В теории упругости различают *прямую* и *обратную задачи*. *Прямой* называется задача, в которой заданы размеры и форма тела (уравнение поверхности, а следовательно, и функций l, m, n), материал тела (т. е. постоянные E, G и ν), объемные силы и граничные условия на

всей поверхности тела. Требуется определить все напряжения, деформации и перемещения тела.

Обратной называется задача, в которой кроме размеров, формы тела и материала заданы для всего объема тела какие-то из 15 функций, характеризующие напряженно-деформированное состояние, или комбинации этих функций. Требуется определить остальные функции из пятнадцати, и также объемные и поверхностные силы, приложенные к телу. Обратная задача значительно менее интересна для инженера, чем прямая. Прямая задача существенно сложнее обратной.

Граничные условия в теории упругости могут быть *статические* (чаще всего), *кинематические* и *смешанные*.

Статические граничные условия имеют место в том случае, когда в каждой точке поверхности тела задана интенсивность поперечностной нагрузки, составляющие которой есть P_{yx} , P_{yy} , P_{yz} .

Кинематическими называются граничные условия, при которых в каждой точке поверхности тела заданы перемещения или температура.

Смешанными называются также граничные условия, когда на части поверхности заданы поперечностные нагрузки, а на остальной части — перемещения или температура.

Прямая задача, по Н. П. Мусхелишвили, называется *первой основной задачей* теории упругости. Прямая задача при кинематических граничных условиях по той же терминологии называется *второй основной задачей* теории упругости. Прямая задача при смешанных граничных условиях называется *смешанной задачей* теории упругости.

Известны два пути решения (в напряжениях и в перемещениях) прямой задачи. Первый путь состоит в использовании разрешающей системы уравнений (три уравнения равновесия и шесть уравнений неразрывности). Уравнения неразрывности деформаций должны быть выражены через напряжения. При этом необходимо заменить в них деформации напряжениями, используя закон Гука. Приведем их без вывода для случая отсутствия или постоянства объемных сил (уравнения Бельтрами):

$$\begin{aligned}(1 + \nu) \Delta^2 \sigma_x + \frac{\partial^2 I_1}{\partial x^2} &= 0; \\(1 + \nu) \Delta^2 \sigma_y + \frac{\partial^2 I_1}{\partial y^2} &= 0; \\(1 + \nu) \Delta^2 \sigma_z + \frac{\partial^2 I_1}{\partial z^2} &= 0; \\(1 + \nu) \Delta^2 \tau_{xy} + \frac{\partial^2 I_2}{\partial x \partial y} &= 0; \\(1 + \nu) \Delta^2 \tau_{yz} + \frac{\partial^2 I_2}{\partial y \partial z} &= 0; \\(1 + \nu) \Delta^2 \tau_{zx} + \frac{\partial^2 I_2}{\partial z \partial x} &= 0,\end{aligned}\tag{1.35}$$

где $I_1 = \sigma_x + \sigma_y + \sigma_z$

$\Delta^2 = \left(\frac{\partial^2}{\partial x^2} + \frac{\partial^2}{\partial y^2} + \frac{\partial^2}{\partial z^2} \right)$ — оператор Лапласа.

Таким образом, необходимо проинтегрировать девять уравнений, а входящие в общие решения произвольные функции определять из граничных условий (1.33). После отыскания напряжений по закону Гука можно найти деформации. Чтобы отыскать перемещения, необходимо проинтегрировать геометрические уравнения. Данная задача всегда может быть сведена к отысканию квадратур.

Второй путь решения прямой задачи состоит в том, что в качестве основных неизвестных функций принимаются три функции: u , v , w . При этом используются уравнения равновесия и граничные условия, выраженные в перемещениях:

1. Уравнения равновесия (Ляме) при отсутствии объемных сил и движения:

$$\begin{aligned}(\lambda + G) \frac{\partial \theta}{\partial x} + G \Delta^2 u &= 0; \\(\lambda + G) \frac{\partial \theta}{\partial y} + G \Delta^2 v &= 0; \\(\lambda + G) \frac{\partial \theta}{\partial z} + G \Delta^2 w &= 0,\end{aligned}\tag{1.36}$$

2. Граничные условия:

$$\begin{aligned}P_{xx} &= \lambda \theta l + G \left(\frac{\partial u}{\partial x} l + \frac{\partial u}{\partial y} m + \frac{\partial u}{\partial z} n \right) + G \left(\frac{\partial u}{\partial x} l + \frac{\partial v}{\partial x} m + \frac{\partial w}{\partial x} n \right); \\P_{xy} &= \lambda \theta m + G \left(\frac{\partial v}{\partial x} l + \frac{\partial v}{\partial y} m + \frac{\partial v}{\partial z} n \right) + G \left(\frac{\partial u}{\partial y} l + \frac{\partial v}{\partial y} m + \frac{\partial w}{\partial y} n \right); \\P_{xz} &= \lambda \theta n + G \left(\frac{\partial w}{\partial x} l + \frac{\partial w}{\partial y} m + \frac{\partial w}{\partial z} n \right) + G \left(\frac{\partial u}{\partial z} l + \frac{\partial v}{\partial z} m + \frac{\partial w}{\partial z} n \right).\end{aligned}\tag{1.37}$$

В первую очередь находят перемещения, поэтому нет необходимости в решении геометрических уравнений. Деформации легко найти дифференцированием перемещений, а напряжения по деформациям — согласно закону Гука. Поскольку деформации определяются дифференцированием функций перемещений, уравнения неразрывности удовлетворятся автоматически. Иначе говоря, они превращаются в тождества относительно перемещений, так как непрерывным функциям u , v , w соответствуют всегда совместные деформации.

Возможны смешанные схемы решения прямой задачи.

Основные затруднения при решении прямой задачи заключаются в точном удовлетворении решения граничным условиям. Этих трудностей нет при решении обратной задачи, так как оно связано только с дифференцированием функций. Например, задаются перемещениями как функции координат и разыскивают из геометрических уравнений деформации, а затем, по закону Гука — напряжения. Далее по статическим условиям находят внешние нагрузки, которым соответствуют заданные перемещения.

Доказано просто можно показать [6], что перемещения и напряжения являются бигармоническими функциями, а объемное расширение θ — гармонической функцией. Эти свойства указанных параметров облегчают задачу их нахождения.

1.5. ПЛОСКАЯ ЗАДАЧА ТЕОРИИ УПРУГОСТИ

Под плоской понимается такая задача, когда на напряженно-деформированное состояние тела наложены два условия:

1) касательные напряжения (а значит, и сдвиговые деформации согласно закону Гука) в плоскости, перпендикулярной к одной из осей (например, к оси Z), равны нулю ($\tau_{xz} = \tau_{yz} = \gamma_{xz} = \gamma_{yz} = 0$). Тогда, по закону симметрии касательных напряжений и деформаций, $\tau_{zx} = \tau_{zy} = \gamma_{zx} = \gamma_{zy} = 0$;

2) остальные компоненты напряжений и деформаций являются функциями только двух координат x и y (поэтому и задача называется плоской).

Следовательно, для плоской задачи тензоры напряжений и деформаций имеют вид:

$$\sigma_{ij} = \begin{bmatrix} \sigma_x(x, y) & \tau_{xy}(x, y) & 0 \\ \tau_{yx}(x, y) & \sigma_y(x, y) & 0 \\ 0 & 0 & \sigma_z(x, y) \end{bmatrix}; \quad (1.35)$$

$$\epsilon_{ij} = \begin{bmatrix} \epsilon_x(x, y) & \frac{1}{2} \gamma_{xy}(x, y) & 0 \\ \frac{1}{2} \gamma_{yx}(x, y) & \epsilon_y(x, y) & 0 \\ 0 & 0 & \epsilon_z(x, y) \end{bmatrix}. \quad (1.36)$$

В зависимости от некоторых дополнительных условий плоская задача распадается на две разновидности: *плоское напряженное состояние*, когда $\sigma_z = 0$, и *плоское деформированное состояние*, когда $\epsilon_z = 0$. Значит, для плоского напряженного состояния

$$\sigma_{ij} = \begin{bmatrix} \sigma_x & \tau_{xy} & 0 \\ \tau_{yx} & \sigma_y & 0 \\ 0 & 0 & 0 \end{bmatrix}; \quad (1.40)$$

$$\epsilon_{ij} = \begin{bmatrix} \epsilon_x & \frac{1}{2} \gamma_{xy} & 0 \\ \frac{1}{2} \gamma_{yx} & \epsilon_y & 0 \\ 0 & 0 & \epsilon_z \end{bmatrix}, \quad (1.41)$$

а для плоского деформированного состояния

$$\sigma_{ij} = \begin{bmatrix} \sigma_x & \tau_{xy} & 0 \\ \tau_{yx} & \sigma_y & 0 \\ 0 & 0 & \sigma_z \end{bmatrix}; \quad (1.42)$$

$$\epsilon_{ij} = \begin{bmatrix} \epsilon_x & \frac{1}{2} \gamma_{xy} & 0 \\ \frac{1}{2} \gamma_{yx} & \epsilon_y & 0 \\ 0 & 0 & 0 \end{bmatrix}. \quad (1.43)$$

Проанализируем перемещения u , v , w в общем случае плоской задачи. Шесть уравнений неразрывности деформаций сводятся к следующим четырем:

$$\frac{\partial^2 e_x}{\partial y^2} + \frac{\partial^2 e_y}{\partial x^2} = \frac{\partial^2 \gamma_{xy}}{\partial x \partial y}; \quad (1.44)$$

$$\frac{\partial^2 e_x}{\partial x^2} = \frac{\partial^2 e_x}{\partial y^2} = \frac{\partial^2 e_z}{\partial x \partial y} = 0. \quad (1.45)$$

Остальные два уравнения удовлетворяются тождественно. Из (1.45) следует, что e_z может быть только линейной функцией x и y :

$$e_z = \frac{\partial w}{\partial z} = Ax + By + C, \quad (1.46)$$

где A , B и C — постоянные. Отсюда перемещение w по оси Z

$$w = (Ax + By + C)z + f(x, y), \quad (1.47)$$

где $f(x, y)$ — произвольная функция. Согласно данному выше определению плоской задачи,

$$\gamma_{xx} = \frac{1}{2} \left(\frac{\partial u}{\partial x} + \frac{\partial v}{\partial x} \right) = 0; \quad \gamma_{yy} = \frac{1}{2} \left(\frac{\partial v}{\partial y} + \frac{\partial w}{\partial y} \right) = 0 \quad (1.48)$$

Это означает, что компоненты перемещений u и v должны представляться в виде:

$$\begin{aligned} u &= -A \frac{z^2}{2} - f_x(x, y)z + \omega_1(x, y); \\ v &= -B \frac{z^2}{2} - f_y(x, y)z + \omega_2(x, y), \end{aligned} \quad (1.49)$$

где $\omega_1(x, y)$ и $\omega_2(x, y)$ — произвольные функции.

Далее, так как

$$e_x(x, y) = \frac{\partial u}{\partial x}; \quad e_y(x, y) = \frac{\partial v}{\partial y}; \quad \gamma_{xy}(x, y) = \left(\frac{\partial u}{\partial y} + \frac{\partial v}{\partial x} \right), \quad (1.50)$$

то с учетом (1.49) получим:

$$\begin{aligned} e_x(x, y) &= \frac{\partial \omega_1}{\partial x} - f_{xx}(x, y)z; \\ e_y(x, y) &= \frac{\partial \omega_2}{\partial y} - f_{yy}(x, y)z; \\ \gamma_{xy}(x, y) &= \left(\frac{\partial \omega_1}{\partial y} + \frac{\partial \omega_2}{\partial x} \right) - f_{xy}(x, y)z. \end{aligned} \quad (1.51)$$

Поскольку левые части (1.51) — функции только x и y , то

$$f_{xx} = f_{yy} = f_{xy} = 0. \quad (1.52)$$

Таким образом, произвольная функция $f(x, y)$ в (1.47) должна быть линейной функцией x и y :

$$f(x, y) = ax + by + c, \quad (1.53)$$

где a, b, c — постоянные. Легко убедиться дифференцированием, что $f(x, y)$ соответствует перемещениям тела как жесткого целого и на деформации не влияет. Поэтому ее можно принять равной нулю. Окончательно для плоской задачи будем иметь:

$$\begin{aligned} u &= -A \frac{z^2}{2} + \omega_1(x, y); \\ v &= -B \frac{z^2}{2} + \omega_2(x, y); \\ \omega &= (Ax + By + C)z. \end{aligned} \quad (1.54)$$

Функции $\omega_1(x, y)$ и $\omega_2(x, y)$ представляют собой перемещения u и v в плоскости $z = 0$. Это видно из (1.54).

Проведенный анализ показывает, что для плоского деформированного состояния, когда $\omega = 0$, имеем $A = B = C = 0$, и, значит, $u = \omega_1(x, y)$ и $v = \omega_2(x, y)$, а также $\epsilon_x = \partial u / \partial x$, $\epsilon_y = \partial v / \partial y$, $\gamma_{xy} = \frac{1}{2} \left(\frac{\partial u}{\partial y} + \frac{\partial v}{\partial x} \right)$ и соответствующие им напряжения σ_x , σ_y , $\tau_{xy} = \tau_{yx}$, $\sigma_z = \tau(\sigma_x + \sigma_y)$ будут функциями координат x и y . Иначе говоря, для плоского деформированного состояния указанные в самом начале параграфа условия выполняются точно. В то же время для плоского напряженного состояния они не выполняются. Однако для очень тонких пластин с практически приемлемой точностью их можно принять.

Если пластина нагружена по контуру силами с неравномерным распределением их по толщине, то эти силы можно усреднить, и тогда в пластинке будет плоское обобщенное напряженное состояние. Все уравнения и зависимости для плоского напряженного состояния в этом случае остаются в силе.

Количество основных уравнений теории упругости в плоской задаче существенно уменьшается. Запишем их для случая отсутствия объемных сил.

Уравнения равновесия

$$\frac{\partial \sigma_x}{\partial x} + \frac{\partial \tau_{xy}}{\partial y} = 0; \quad \frac{\partial \tau_{yx}}{\partial x} + \frac{\partial \sigma_y}{\partial y} = 0. \quad (1.55)$$

Эти уравнения одинаковы для плоского напряженного и для плоского деформированного состояний, так как в последнем случае третье уравнение вырождается в равенство $0 = 0$ вследствие независимости σ_z от z .

Геометрические уравнения:

Для плоского напряженного состояния из шести уравнений Коши сохраняем только четыре:

$$\epsilon_x = \frac{\partial u}{\partial x}; \quad \epsilon_y = \frac{\partial v}{\partial y}; \quad \epsilon_z = \frac{\partial w}{\partial z}; \quad \gamma_{xy} = \frac{1}{2} \left(\frac{\partial v}{\partial x} + \frac{\partial u}{\partial y} \right), \quad (1.56)$$

а остальные два γ_{yz} и γ_{zx} не рассматриваем ввиду малости этих деформаций, что было принято условиями плоской задачи;

для плоского деформированного состояния строго сохраняются только три уравнения:

$$\epsilon_x = \frac{\partial u}{\partial x}; \quad \epsilon_y = \frac{\partial v}{\partial y}; \quad \gamma_{xy} = \frac{1}{2} \left(\frac{\partial v}{\partial x} + \frac{\partial u}{\partial y} \right). \quad (1.57)$$

Три других уравнения в связи с тождественным равенством нулю ω и независимостью u и v от z обращаются в тождества $0 = 0$.

Физические уравнения:

для плоского напряженного состояния $\sigma_z = 0$ и тогда

$$\begin{aligned} \epsilon_x &= \frac{1}{E} (\sigma_x - \nu \sigma_y); \quad \epsilon_y = \frac{1}{E} (\sigma_y - \nu \sigma_x); \\ \epsilon_z &= -\frac{\nu}{E} (\sigma_x + \sigma_y); \quad \gamma_{xy} = \frac{1}{G} \tau_{xy}; \\ \gamma_{yz} &= 0; \quad \gamma_{zx} = 0; \end{aligned} \quad (1.58)$$

при плоской деформации $\omega = 0$ и поэтому

$$\begin{aligned} \epsilon_x &= \frac{1}{E} [(1 - \nu^2) \sigma_x - \nu(1 + \nu) \sigma_y]; \\ \epsilon_y &= \frac{1}{E} [(1 - \nu^2) \sigma_y - \nu(1 + \nu) \sigma_x]; \\ \epsilon_z &= 0; \quad \gamma_{xy} = \frac{1}{G} \tau_{xy}; \\ \gamma_{yz} &= 0; \quad \gamma_{zx} = 0. \end{aligned} \quad (1.59)$$

Уравнения неразрывности деформаций:

для плоского напряженного состояния из шести уравнений в общем случае сохраняются только четыре:

$$\frac{\partial^2 \epsilon_x}{\partial y^2} + \frac{\partial^2 \epsilon_y}{\partial x^2} = \frac{\partial^2 \gamma_{xy}}{\partial x \partial y}; \quad \frac{\partial^2 \epsilon_z}{\partial y^2} = \frac{\partial^2 \epsilon_z}{\partial x^2} = \frac{\partial^2 \epsilon_z}{\partial x \partial y} = 0; \quad (1.60)$$

для плоской деформации из шести уравнений остается только одно:

$$\frac{\partial^2 \epsilon_x}{\partial y^2} + \frac{\partial^2 \epsilon_y}{\partial x^2} = \frac{\partial^2 \gamma_{xy}}{\partial x \partial y}. \quad (1.61)$$

Граничные условия:

$$\begin{aligned} P_{yx} &= \sigma_x l + \tau_{xy} m; \\ P_{yy} &= \tau_{yx} l + \sigma_y m. \end{aligned} \quad (1.62)$$

Для третьего слагаемого в третьем уравнении в общем случае $n = 0$ к элементу боковой поверхности пластины, а для остальных слагаемых во всех уравнениях касательные напряжения равны нулю.

1.6. РЕШЕНИЕ ПЛОСКОЙ ЗАДАЧИ В НАПРЯЖЕНИЯХ ПРИ ПОМОЩИ ФУНКЦИИ НАПРЯЖЕНИЙ ЭРИ

Запишем уравнения равновесия для случая отсутствия объемных сил:

$$\frac{\partial \sigma_x}{\partial x} + \frac{\partial \tau_{xy}}{\partial y} = 0; \quad (1.63)$$

$$\frac{\partial \tau_{yx}}{\partial x} + \frac{\partial \sigma_y}{\partial y} = 0. \quad (1.64)$$

Перепишем эти уравнения в другом виде:

$$\frac{\partial \sigma_x}{\partial x} = -\frac{\partial \tau_{xy}}{\partial y}; \quad (1.65)$$

$$\frac{\partial \sigma_y}{\partial y} = -\frac{\partial \tau_{yx}}{\partial x}. \quad (1.66)$$

Уравнение (1.65) можно удовлетворить, если введем функцию $F_1(x, y)$. При этом

$$\sigma_x = \frac{\partial F_1}{\partial x}; \quad \tau_{xy} = -\frac{\partial F_1}{\partial y}. \quad (1.67)$$

Аналогично уравнение (1.66) можно удовлетворить, если ввести функцию $F_2(x, y)$ так, чтобы

$$\sigma_y = \frac{\partial F_2}{\partial y}; \quad \tau_{yx} = -\frac{\partial F_2}{\partial x}. \quad (1.68)$$

По закону парности касательных напряжений

$$\frac{\partial F_1}{\partial x} = \frac{\partial F_2}{\partial y}. \quad (1.69)$$

С этим равенством поступаем подобным образом. Его можно удовлетворить, если ввести еще одну функцию U (функция напряжений Эри) так, чтобы

$$F_1 = \frac{\partial U}{\partial y}; \quad F_2 = \frac{\partial U}{\partial x}. \quad (1.70)$$

Теперь, подставляя (1.70) в (1.67) и (1.68), получим:

$$\sigma_x = \frac{\partial^2 U}{\partial y^2}; \quad \sigma_y = \frac{\partial^2 U}{\partial x^2}; \quad \tau_{xy} = -\frac{\partial^2 U}{\partial x \partial y}. \quad (1.71)$$

Итак, задача свелась к отысканию функции напряжений U . Формулы (1.71) являются следствием только универсальности уравнений равновесия. Поэтому они верны в случае плоских задач в сплошных средах с произвольными (упругими, пластическими и др.) свойствами. Вспомним, что U должна еще удовлетворять уравнению неразрывности, выраженному в данном случае через напряжения. Его можно получить, если в уравнение

$$\frac{\partial^2 \epsilon_x}{\partial y^2} + \frac{\partial^2 \epsilon_y}{\partial x^2} = \frac{\partial^2 \gamma_{xy}}{\partial x \partial y} \quad (1.72)$$

подставить деформации по закону Гука:

$$\epsilon_x = \frac{1}{E} (\sigma_x - \nu \sigma_y); \quad \epsilon_y = \frac{1}{E} (\sigma_y - \nu \sigma_x); \\ \gamma_{xy} = \frac{1}{G} \tau_{xy} = \frac{2(1+\nu)}{E} \tau_{xy}. \quad (1.73)$$

Тогда будем иметь

$$\frac{\partial^2}{\partial y^2} (\sigma_x - \nu \sigma_y) + \frac{\partial^2}{\partial x^2} (\sigma_y - \nu \sigma_x) = 2(1+\nu) \frac{\partial^2 \tau_{xy}}{\partial x \partial y} \quad (1.74)$$

Далее уравнения равновесия (1.63) продифференцируем по x , а (1.64) — по y и сложим. Отсюда найдем

$$2 \frac{\partial^2 \tau_{xz}}{\partial x \partial y} = - \frac{\partial^2 \sigma_x}{\partial x^2} - \frac{\partial^2 \sigma_y}{\partial y^2}. \quad (1.75)$$

Подставляя (1.75) в (1.74), получим

$$\frac{\partial^4}{\partial x^2} (\sigma_x + \sigma_y) + \frac{\partial^4}{\partial y^2} (\sigma_x + \sigma_y) = 0. \quad (1.76)$$

Если учесть выражение напряжений σ_x и σ_y через функцию U согласно (1.71), то в конечном итоге будем иметь следующее бигармоническое уравнение:

$$\frac{\partial^4 U}{\partial x^4} + 2 \frac{\partial^4 U}{\partial x^2 \partial y^2} + \frac{\partial^4 U}{\partial y^4} = 0, \quad (1.77)$$

В более коротком виде

$$\Delta^2 U = 0, \quad (1.78)$$

где под операцией Δ^2 понимается следующая:

$$\Delta^2 U = \Delta^2 \Delta^2 U = \left(\frac{\partial^2}{\partial x^2} + \frac{\partial^2}{\partial y^2} \right) \left[\left(\frac{\partial^2}{\partial x^2} + \frac{\partial^2}{\partial y^2} \right) U \right].$$

Таким образом, решение плоской задачи сводится к решению бигармонического уравнения (1.77), удовлетворяющего граничным условиям. Уравнения равновесия и неразрывности будут удовлетворяться автоматически, так как бигармоническое уравнение из них получено.

В ряде случаев решают подобные задачи, задавая U в виде целых полиномов, коэффициенты которых находят из граничных условий. Обычно это можно осуществить достаточно успешно для тел в виде прямоугольных пластин с несложной по характеру нагрузкой. Примеры таких решений можно найти в литературе по теории упругости. Для областей, отличных от прямоугольных, возникают чрезвычайно большие, практически непреодолимые математические трудности.

Можно показать, что функция Эри U однозначна, если тело является односвязным и система внешних поверхностных сил статически эквивалентна нулю. Для многосвязных тел однозначность U будет при соответствующем обходе один раз всех контуров и не обязательна при обходе отдельных контуров.

1.2. РЕШЕНИЕ ПЛОСКОЙ ЗАДАЧИ ПРИ ПОМОЩИ ФУНКЦИИ КОМПЛЕКСНОГО ПЕРЕМЕННОГО

От обычных переменных x и y перейдем к комплексным переменным $z = x + iy$ и $\bar{z} = x - iy$. Тогда бигармоническое уравнение преобразуется к виду

$$\Delta^2 U = 16 \frac{\partial^4 U}{\partial z^2 \partial \bar{z}^2} = 0, \quad (1.79)$$

Общее решение такого уравнения можно представить формулой

$$2U(z, \bar{z}) = \varphi_1(z) + \varphi_2(\bar{z}) + \chi_1(z) + \chi_2(\bar{z}), \quad (1.80)$$

Для класса вещественных функций необходимо положить, что

$$\varphi_2(z) = \overline{\varphi_1(z)}; \quad x_2(z) = \overline{x_1(z)},$$

где $\overline{\varphi_1(z)}$ и $\overline{x_1(z)}$ — функции, сопряженные с $\varphi_1(z)$ и $x_1(z)$, т. е. получающиеся из них путем замены z на \bar{z} и всех входящих в них постоянных комплексных коэффициентов на сопряженные с ними величины.

Индекс 1 можно опустить и записать вещественное решение бигармонического уравнения в форме Гурса:

$$2U(x, y) = z\varphi(z) + z\overline{\varphi(z)} + x(z) + \overline{x(z)}. \quad (1.81)$$

Непосредственное физическое значение имеют выражения для частных производных U :

$$2\frac{\partial U}{\partial x} = \varphi(z) + \bar{z}\varphi'(z) + \overline{\varphi(z)} + z\overline{\varphi'(z)} + x(z) + \overline{x'(z)};$$

$$2\frac{\partial U}{\partial y} = i[-\varphi(z) + z\varphi'(z) + \overline{\varphi(z)} - z\overline{\varphi'(z)} + x'(z) - \overline{x'(z)}], \quad (1.82)$$

а также их комбинация

$$f(x, y) = \frac{\partial U}{\partial x} + i\frac{\partial U}{\partial y} = \varphi(z) + z\varphi'(z) + \overline{\psi(z)}. \quad (1.83)$$

Следовательно, проблема отыскания U сводится к определению двух функций комплексного переменного $\varphi(z)$ и $\psi(z)$, регулярных в области, занятой телом, и удовлетворяющих определенным граничным условиям. Для этого необходимо решать соответствующие краевые задачи. С методами решения таких задач можно подробно ознакомиться в литературе [9].

Для компонентов напряжений и перемещений известны следующие представления, установленные Г. В. Колосовым:

$$\begin{aligned} \sigma_x + \sigma_y &= 2[\varphi'(z) + \overline{\varphi'(z)}]; \\ \sigma_y - \sigma_x + i2\tau_{xy} &= 2(z\varphi''(z) + \overline{\psi'(z)}); \\ 2G(\omega + i\vartheta) &= \kappa\varphi(z) - z\overline{\varphi'(z)} - \overline{\psi(z)}; \end{aligned} \quad (1.84)$$

для плоского напряженного состояния $\kappa = \frac{3-\nu}{1+\nu}$;

для плоского деформированного состояния $\kappa = 3-4\nu$.

В заключение рассмотрим выражения функций $\varphi(z)$ и $\psi(z)$ для нескольких простых классических задач, которые, как будет показано ниже, могут быть использованы для решения сварочных задач о напряженно-деформированном состоянии:

1. Задача о напряженно-деформированном состоянии в бесконечной пластине с круговым отверстием радиуса R , к контуру которого приложено равномерное давление p (начало координат в центре отверстия):

$$\varphi(z) = 0; \quad \psi(z) = -(pR^2)/z. \quad (1.85)$$

Если к контуру отверстия будет приложено не давление, а растягивающая нагрузка, то в выражении для $\psi(z)$ необходимо взять знак плюс.

2. Задача о напряженно-деформированном состоянии в круговом диске радиуса R , по контуру которого приложено нормальное давление p (начало координат в центре диска):

$$\varphi(z) = -(pz)^2/2; \quad \psi(z) = 0. \quad (1.86)$$

3. Задача о напряженно-деформированном состоянии в круговом кольце с внутренним радиусом R_1 , внешним радиусом R_2 и давлениями p_1 на внутреннем и внешнем контурах соответственно p_1 и p_2 (начало координат в центре кольца):

$$\begin{aligned} \varphi(z) &= -\frac{p_2 R_2^2 - p_1 R_1^2}{2(R_2^2 - R_1^2)} z^2; \\ \psi(z) &= \frac{(p_2 - p_1) R_1^2 R_2^2}{R_2^2 - R_1^2} \frac{1}{z}. \end{aligned} \quad (1.87)$$

4. Задача о напряженно-деформированном состоянии в бесконечной пластине с круговым отверстием радиуса R при всестороннем растяжении на бесконечности напряжениями p (начало координат в центре отверстия):

$$\varphi(z) = (pz)/2; \quad \psi(z) = -(pR^2)/z. \quad (1.88)$$

5. Задача о напряженно-деформированном состоянии в бесконечной пластине с круговым отверстием радиуса R при одностороннем (вдоль оси X) растяжении на бесконечности напряжениями P (начало координат в центре отверстия):

$$\varphi(z) = \frac{P}{4} \left(z + \frac{2R^2}{z} \right); \quad \psi(z) = -\frac{P}{2} \left(z + \frac{R^2}{z} - \frac{R^4}{z^3} \right). \quad (1.89)$$

Для областей, ограниченных контуром, отличающимся от кругового, целесообразно воспользоваться конформным отображением данной области на внешность или внутренность единичной окружности $\xi = 1$ другой плоскости комплексной переменной $\xi = \xi + i\eta$ и получить решение с помощью этой переменной. Такой прием существенно упрощает решение. Для этого необходимо знать отображающую функцию

$$z = \omega(\xi). \quad (1.90)$$

Для многих кривых отображающая функция известна, а если нет, то ее необходимо получить согласно [8, 9].

Если с декартовой системой координат $\xi O\eta$ совместить полярную систему (ρ, θ) , то формулы для компонентов напряжений и вектора перемещений будут иметь вид:

$$\begin{aligned} \sigma_r + \sigma_\theta &= 2[\varphi'(\xi) + \overline{\varphi'(\xi)}]; \\ \sigma_\theta - \sigma_r + i2\tau_{r\theta} &= \frac{2z^2}{\rho^2 \omega'(\xi)} [\overline{\omega(\xi)} \varphi''(\xi) + \omega'(\xi) \psi'(\xi)]; \\ 2G(u_r + iu_\theta) &= \frac{\xi}{\rho} \frac{\overline{\omega'(\xi)}}{[\omega'(\xi)]} [\kappa \varphi(\xi) - \frac{\omega(\xi)}{\omega'(\xi)} \overline{\varphi'(\xi)} - \overline{\psi(\xi)}]. \end{aligned}$$

Приведем выражения для $\varphi(\zeta)$ и $\psi(\zeta)$ в случае областей, ограниченных эллиптическим контуром (начало координат совпадает с центром эллипса):

1. Бесконечная плоскость с эллиптическим отверстием с полуосями a и b растягивается на бесконечности напряжениями p под углом α к оси ξ :

$$\begin{aligned}\varphi(\zeta) &= \frac{pR}{4} \left(\zeta + \frac{2e^{i2\alpha} - m}{\zeta} \right); \\ \psi(\zeta) &= -\frac{pR}{2} \left[e^{-i2\alpha} \zeta + \frac{e^{i2\alpha}}{m} - \frac{(1+m^2)(e^{i2\alpha} - m)\zeta}{m(\zeta^2 - m)} \right].\end{aligned}\quad (1.81)$$

В данном случае отображающая функция $z = \omega(\zeta)$ имеет вид

$$\begin{aligned}Z = \omega(\zeta) &= R(\zeta + m/\zeta), \quad R > 0, \quad 0 \leq m \leq 1; \\ a &= R(1 + m); \quad b = R(1 - m); \quad R = (a + b)/2.\end{aligned}\quad (1.82)$$

Если $m = 0$, то эллипс обращается в окружность радиуса R , а если $m = 1$ — отрезок оси x длины $4R$ между точками $x = \pm 2R$ и плоскость с эллиптическим отверстием превращается в плоскость с прямым разрезом.

2. Бесконечная плоскость с эллиптическим отверстием в случае всестороннего растяжения напряжениями p на бесконечности:

$$\begin{aligned}\varphi(\zeta) &= \frac{pR}{2} \left(\zeta - \frac{m}{\zeta} \right); \\ \psi(\zeta) &= -\frac{pR\zeta(1 + m^2)}{\zeta^2 - m}.\end{aligned}\quad (1.83)$$

3. Бесконечная плоскость с эллиптическим отверстием, по контуру которого приложено равномерное давление p :

$$\varphi(\zeta) = -\frac{pRm}{\zeta}; \quad \psi(\zeta) = -\frac{pR}{\zeta} - \frac{pRm(1 + m^2)}{\zeta(\zeta^2 - m)}.\quad (1.84)$$

Для некоторых других задач вид функций $\varphi(\zeta)$ и $\psi(\zeta)$ можно найти в работе [9].

1.8. СЕМЕЙСТВА ЛИНИЙ В ПЛОСКОЙ ЗАДАЧЕ. ХАРАКТЕРИЗУЮЩИЕ НАПРЯЖЕННО-ДЕФОРМИРОВАННОЕ СОСТОЯНИЕ

В некоторых экспериментальных методах исследования напряжений и деформаций используют определенные свойства ряда семейств линий. Эти линии являются геометрическими местами точек с одинаковыми значениями различных параметров, определяющих поле напряжений и деформаций.

Изобары — линии одинаковых значений главных нормальных напряжений σ_1 и σ_2 . Имеется два семейства изобар, соответствующих каждому из главных напряжений.

Изотены — линии одинаковых значений главных линейных деформаций ϵ_1 и ϵ_2 (два семейства).

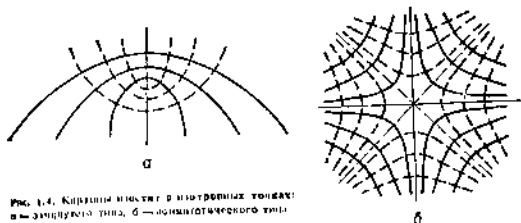


Рис. 1.4. Картины напряжений в изотропных телах:
а — замкнутого типа, б — асимптотического типа

Изоклины — линии одинаковых значений суммы главных или произвольных нормальных напряжений ($\sigma_1 + \sigma_2$).

Изохромы — линии одинаковых значений наибольших касательных напряжений или разности главных нормальных напряжений ($\sigma_1 - \sigma_2$).

Изоклины — линии одинаковых направлений главных нормальных напряжений.

Траектории или **траектории главных нормальных напряжений** — линии, касательные к которым в каждой точке совпадают с направлением в данной точке одного из главных нормальных напряжений σ_1 или σ_2 в данной точке. Очевидно, что семейство траекторий для σ_1 и σ_2 является семейством ортогональных линий.

Траектории наибольших касательных напряжений — линии, касательные к которым дают направления наибольших касательных напряжений в точках касания.

Изотропные точки (иногда их называют сингулярными, или особыми) — точки, в которых оба главных нормальных напряжения равны по величине и знаку. В изотропной точке все направления главные. Поэтому в ней пересекаются изоклины различных параметров. Если изотропная точка расположена не на контуре, то около нее могут быть картины изостат двух типов: замкнутого и асимптотического (рис. 1.4). Соответственно изотропные точки называются **замкнутого** и **асимптотического типа**.

Изоклины — линии, соединяющие концы трещин в хрупком покрытии, нанесенном на изделие и растрескавшемся под действием напряжений.

Отметим некоторые свойства перечисленных выше линий и их семейства.

Изоклина параметра θ (угол против часовой стрелки от положительного направления оси X) совпадает с изоклиной параметра $\theta = \pi/2$. На контуре, где нет касательных напряжений, параметр изоклины совпадает с углом наклона контура в рассматриваемой точке.

Прямодлинейный контур, свободный от касательных напряжений, совпадает с изоклиной. Ось симметрии по нагрузкам является одновременно изостатой и изоклиной.

Вдоль свободного контура всегда располагается одна из изостат. На свободном контуре картина изохром дает непосредственную вели-

чину главного напряжения, и здесь же изопакх, изохромы и изобары совпадают.

По специальным методикам по картинам изопакх и изохром могут быть построены изобары, а по картинке изоклин—траектории главных напряжений.

Глава 2

ОБРАЗОВАНИЕ И РАСЧЕТ ОСТАТОЧНЫХ НАПРЯЖЕНИЙ В СИММЕТРИЧНЫХ ОДНОМЕРНЫХ ЗАДАЧАХ

2.1. МЕТОДОЛОГИЧЕСКИЕ ОСНОВЫ АНАЛИЗА РАЗВИТИЯ ДЕФОРМАЦИЙ И НАПРЯЖЕНИЙ В МОДЕЛЯХ СВАРНЫХ СОЕДИНЕНИЙ

Принципиальные и наиболее близкие в качественном отношении особенности развития сложных деформационно-силовых процессов при сварке можно рассмотреть применительно к малоуглеродистым и низколегированным сталям при следующих упрощающих предположениях:

1) в сварном соединении имеет место линейное напряженное состояние с равномерным распределением по поперечному сечению деформаций и напряжений обоих знаков;

2) полные продольные деформации в соединении подчиняются гипотезе плоских сечений;

3) зависимость предела текучести от температуры соответствует схематизированной диаграмме (рис. 2.1);

4) зависимость от температуры относительной упругой деформации на уровне предела текучести повторяет в соответствующем масштабе диаграмму $\sigma_r(T)$ (рис. 2.2);

5) коэффициент температурного расширения материала не зависит от температуры;

6) диаграмма растяжения материала соответствует идеальному упругоэластическому телу (рис. 2.3);

7) сварной шов наварен одновременно по всей длине соединения;

8) начальная температура сварного соединения — нулевая.

Сварное соединение с известной степенью условности можно разделить на три зоны (рис. 2.4): высоконагретую среднюю, включающую сварной шов и прилегающие участки основного металла, и две ненагретые крайние зоны. При этом будем считать, что при нагреве и ох-

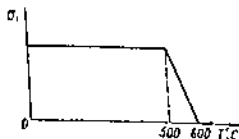


Рис. 2.1. Диаграмма $\sigma_r(T)$



Рис. 2.2. Зависимость $\varepsilon_r(T)$

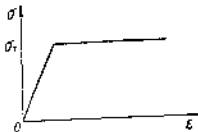


рис. 2.3. Диаграмма растяжения для идеального упругопластичного тела

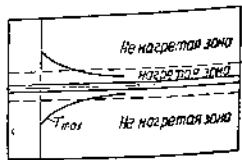


рис. 2.4. Разделение сварного соединения на три зоны по степени нагрева

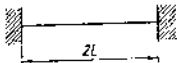


рис. 2.5. Жесткозакрепленный стержень

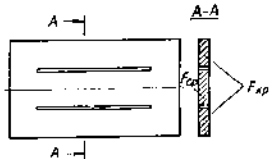


рис. 2.6. Пластина с прорезами

давлении средней зоны температура в ней распределена равномерно. Таким образом, средняя нагреваемая зона представляет собой своего рода стержень прямоугольного сечения, на деформации которого при его нагреве и охлаждении наложены определенные связи со стороны крайних ненагретых зон. Для приближенного качественного анализа деформационно-сплошых процессов в нагреваемой средней зоне сварного соединения можно принять простейшую модель в виде прямолинейного стержня с жесткозакрепленными концами (рис. 2.5), подвергнутого равномерному нагреву и охлаждению.

После анализа деформаций (напряжений) в стержне целесообразно перейти к более сложной модели сварного соединения — пластине с прорезами (рис. 2.6). Средняя полоса пластины соответствует средней нагреваемой зоне сварного соединения, а крайние полосы пластины — крайним ненагретым зонам соединения. В пластине с прорезами нагреву и охлаждению подвергается средняя полоса, причем распределение температуры считается равномерным. Предполагается отсутствие передачи тепла из средней полосы в крайние как через концевые связи полос пластины, так и через прорезы. Таким образом, в процессе нагрева и охлаждения средней полосы крайние полосы остаются ненагретыми. Свободное деформирование средней полосы при ее нагреве и охлаждении невозможно из-за наличия связей со стороны крайних полос. По этой причине в полосах пластины будут возникать временные напряжения и деформации, а также остаточные. Процесс развития деформаций и напряжений в пластине с прорезами при нагреве и охлаждении средней полосы в качественном отношении подобен такому же процессу в сварном соединении. В этом смысле пластина с прорезами и рассматривается как модель сварного соединения.

Как известно, полная линейная деформация $\epsilon_{\text{пол}}$ в точке состоит из суммы деформаций температурной: ϵ_t , упругой $\epsilon_{\text{упр}}$ и пластичес-

кой $\epsilon_{пл}$. Будем анализировать развитие полной деформации и всех ее составляющих в полосах пластины с прорезами, а также в стержне в продольном направлении. Анализ удобно проводить путем построения термомеханических диаграмм в координатах $\epsilon - T$.

2.2. ДЕФОРМАЦИИ ПРИ НАГРЕВЕ И ОХЛАЖДЕНИИ СТЕРЖНЯ

Рассмотрим жесткозакрепленный стержень длиной l , который будем нагревать от нулевой температуры до какой-то конечной T_k , большей, чем температура перехода металла в пластическое состояние (для стали $\sim 600^\circ\text{C}$), с последующим охлаждением до нуля. Построим для такого стержня термомеханическую диаграмму в координатах $\epsilon - T$ (рис. 2.7). Если бы стержень был свободен от закреплений, то при нагреве его на T градусов он получил бы приращение длины $\Delta l = \alpha l T$. Относительная температурная деформация стержня

$$\epsilon_t = \Delta l/l = \alpha T.$$

На диаграмме ϵ_t представляется прямой линией. Стрелками показано изменение ϵ_t при нагреве и охлаждении. При наличии связей в виде жесткого защемления свободная температурная деформация удлинения Δl_t не может быть реализована и целиком превращается в упругую деформацию $\epsilon_{упр} = -\alpha T$ сжатия, если $T \leq T_1$.

На диаграмме упругая деформация сжатия в стержне также представляется прямой линией, направленной вниз в область отрицательных деформаций. Углы наклона прямых для температурной и упругой деформаций к оси температур одинаковы. Прямая упругой деформации является зеркальным отображением прямой температурной деформации относительно горизонтальной оси температур. Если бы наложенные на стержень связи были не абсолютно жесткими, а обладали некоторой податливостью, то угол наклона прямой для упругой деформации был бы меньше и уменьшался бы с увеличением податливости. Упругая деформация сжатия в стержне будет увеличиваться по мере роста температуры до T_1 , при которой она достигнет уровня ϵ_t . Поскольку для материала стержня принята модель идеального упругопластического тела, дальнейшее увеличение $\epsilon_{упр}$ при росте T выше T_1 невозможно. Упругая деформация будет оставаться на уровне $-\epsilon_t$ до температуры 500°C . В интервале температур $500 \dots 600^\circ\text{C}$ деформация ϵ_t , как это видно из диаграммы (тонкая линия), уменьшается по линейному закону до нуля. Значит, упругая деформация сжатия в стержне в этом интервале температур будет изменяться по тому же закону. В точке $T = 600^\circ\text{C}$ материал стержня

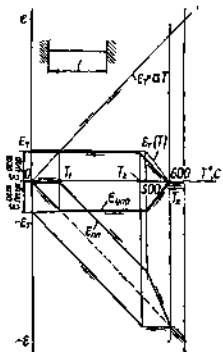


Рис. 2.7. Термомеханическая диаграмма для жесткозакрепленного стержня

терять упругие свойства, в связи с чем в интервале температур 600... T_1 упругая деформация будет равна нулю на стадии нагрева (стрелка вправо) и на стадии охлаждения (стрелка влево). При охлаждении от 600 °C температурное укорочение, пропорциональное падению температуры, из-за наличия связей не может быть реализовано так же, как и аналогичное удлинение на стадии нагрева. Если падение температуры от 600 °C не превысит точку T_2 , то вся температурная деформация укорочения превратится в упругую деформацию растяжения, которая будет возрастать по мере снижения температуры по прямой линии, параллельной начальному участку для $\epsilon_{упр}$ в интервале от нуля до T_1 . При T_2 упругая деформация растяжения в стержне достигает уровня $+\epsilon_T$ и в процессе всего дальнейшего охлаждения от T_2 до нуля останется без изменений в силу тех же причин (модель идеального упруго-пластического тела), которые имели место при нагреве выше T_1 . Таким образом, после полного охлаждения будем иметь в стержне остаточные упругие деформации растяжения на уровне ϵ_T , а значит, и остаточные напряжения растяжения, равные пределу текучести материала σ_T . В любой момент цикла нагрева и охлаждения стержня напряжения в нем будут пропорциональны упругой деформации. Поэтому дополнительное построение диаграммы изменения напряжений не требуется.

Почему же в стержне появились остаточные напряжения? Для ответа достаточно проанализировать после полного охлаждения выражение для полной деформации в стержне

$$\epsilon_{пол} = \epsilon_T + \epsilon_{упр} + \epsilon_{пл}. \quad (2.1)$$

Поскольку стержень жестко закреплен, в любой момент нагрева и охлаждения, в том числе и в остаточном состоянии, $\epsilon_{пол} = 0$. Для остаточного состояния $\epsilon_T = \alpha T = 0$, так как $T = 0$. Из диаграммы $\epsilon - T$ видно, что после охлаждения $\epsilon_{упр}^{ост} = +\epsilon_T$. Из (2.1) следует, что для остаточного состояния

$$\epsilon_{пл}^{ост} = -\epsilon_T. \quad (2.2)$$

Следовательно, остаточная упругая деформация в стержне появляется из-за образования в нем остаточной пластической (необратимой) деформации.

Появление в стержне остаточной пластической деформации за цикл его нагрева и охлаждения несложно уяснить, анализируя развитие в нем пластической деформации.

Прежде всего заметим, что анализируя ход построения $\epsilon_{пл}(T)$, необходимо параллельно наблюдать за изменением $\epsilon_{упр}(T)$. Во многих случаях это облегчает анализ.

В интервале от 0 до T_1 упругая деформация сжатия меньше $-\epsilon_T$. Это означает, что в данном интервале пластическая деформация в стержне не протекает. Если бы стержень был свободен от связей, то повышение температуры в нем от T_1 на ΔT привело бы его к удлинению на $\Delta l = \alpha \Delta T$. В закрепленном состоянии эта деформация удлинения реализоваться не может. Куда она будет деваться? В упругую дефор-

мацию превратиться она не может, так как упругая деформация сжатия уже достигла уровня предела текучести. Остается единственная возможность — превратиться ей в пластическую деформацию сжатия. Значит, в интервале температур на стадии нагрева от T_1 до 500°C пластическая деформация сжатия в стержне будет представляться прямой, являющейся зеркальным отражением относительно оси температур прямой для ϵ_t , проведенной из точки T_1 . В рассмотренном интервале температур пластическая деформация сжатия в стержне развивается только за счет действия одного фактора — роста температуры. В интервале температур от 500 до 600°C вклад в пластическую деформацию сжатия в стержне вносит наряду с первым еще и второй фактор — релаксация упругой деформации (постепенное превращение упругой деформации в пластическую). На диаграмме видно, что при 500°C $\epsilon_{\text{упр}} = -\epsilon_t$, а затем она линейно падает до нуля при 600°C . Происходит процесс постепенного превращения упругой деформации сжатия в пластическую деформацию сжатия в условиях постоянства полной деформации. К моменту 600°C вся упругая деформация сжатия превращается (релаксирует) в пластическую деформацию сжатия. В связи с этим линия для $\epsilon_{\text{пл}}(T)$ на диаграмме начиная с момента T_1 получает излом вниз. Так процесс развития пластической деформации будет продолжаться до $T = 600^\circ\text{C}$. Свыше 600°C снова действует только один фактор, а именно, рост температуры. Поэтому в интервале температур от 600°C до T_k пластическая деформация сжатия в стержне будет возрастать по прямой, параллельной аналогичной прямой в интервале $T_1 \dots 500^\circ\text{C}$.

На стадии охлаждения в интервале от T_k до 600°C (пока материал стержня не обладает упругими свойствами и стержень закреплен) всякое понижение температуры будет приводить к образованию в стержне пластической деформации, но уже не сжатия, а удлинения. Ход линии $\epsilon_{\text{пл}}$ в этом интервале при охлаждении будет совпадать с ходом той же линии на стадии нагрева. При дальнейшем охлаждении от 600°C до T_2 упругая деформация растяжения меньше уровня $+\epsilon_t(T)$. Значит, в данном интервале пластическая деформация в стержне не протекает (горизонтальная прямая на диаграмме) и остается на том же уровне, что и при 600°C . Начиная с T_2 и до 0 в стержне развивается пластическая деформация удлинения (за счет понижения температуры при постоянстве $\epsilon_{\text{упр}} = +\epsilon_t$), которая компенсирует имеющееся пластическое сжатие (подъем линии $\epsilon_{\text{пл}}(T)$ на диаграмме). После полного охлаждения $\epsilon_{\text{пл}} = -\epsilon_t$. Как видим, полной компенсации пластического сжатия, достигнутого на стадии нагрева, не произошло. На диаграмме видно, что пластическое сжатие (укорочение) на стадии нагрева, которое обусловлено действием первого фактора (ростом температуры), полностью компенсируется пластическим удлинением на стадии охлаждения, которое обусловлено действием того же температурного фактора. Иначе говоря, суммарная пластическая деформация в теле, протекающая за счет изменения температуры при нагреве и охлаждении тела в интервалах температур, когда сохраняется неизменным напряженное состояние (упругая деформация), равна нулю и участия в формировании остаточного напряженного состояния не принимает. Таким образом, в стержне остается пластиче-

ская деформация, обусловленная протеканием процесса релаксации в ходе которого напряженное состояние в стержне изменилось.

Проведенный анализ развития деформаций в стержне позволяет сделать еще один важный вывод, состоящий в том, что величина остаточной пластической, а значит, и упругой деформации в таком стержне не зависит от характера кривой $\epsilon_r(T)$.

В заключение приведем формулы, вытекающие из термомеханической диаграммы для полной деформации и ее составляющих в любой момент нагрева и охлаждения стержня. Стрелкой в нижнем индексе деформации указало направление изменения температуры в стержне для данного температурного интервала:

$$\begin{aligned} \epsilon_{\text{пол}}(0 \rightarrow T_2) &= 0; & \epsilon_{\text{уп}}(0 \rightarrow T_2) &= \alpha T; \\ \epsilon_{\text{уп}}(0 \rightarrow T_1) &= -\alpha T; & \epsilon_{\text{уп}}(T_1 \rightarrow 600) &= -\epsilon_T; \\ \epsilon_{\text{уп}}(600 \rightarrow 600) &= -\epsilon_T(T) = -(6 - 0,01 T) \epsilon_T; \\ \epsilon_{\text{уп}}(600 \rightarrow T_2) &= 0; \\ \epsilon_{\text{пл}}(T_1 \rightarrow 600) &= \alpha(600 - T_1); & \epsilon_{\text{уп}}(T_1 \rightarrow T_2) &= \epsilon_T; \\ \epsilon_{\text{пл}}(600 \rightarrow T_2) &= 0; & \epsilon_{\text{пл}}(T_2 \rightarrow 600) &= -\alpha(T - T_1); \\ \epsilon_{\text{пл}}(600 \rightarrow 600) &= -\alpha(T - T_1) - (0,01T - 5) \epsilon_T; \\ \epsilon_{\text{пл}}(600 \rightarrow T_2) &= -\alpha(T - T_1) - \epsilon_T; \\ \epsilon_{\text{пл}}(T_2 \rightarrow 600) &= -\alpha(600 - T_1) - \epsilon_T; \\ \epsilon_{\text{пл}}(0 \rightarrow T_2) &= -\alpha T - \epsilon_T. \end{aligned}$$

Температура T_1 определяется из условия

$$\epsilon_{\text{уп}}(T_1) = -\alpha T = -\epsilon_T.$$

Следовательно,

$$T_1 = \epsilon_T / \alpha.$$

Тогда, согласно диаграмме,

$$T_2 = 600 - T_1 = 600 - (\epsilon_T / \alpha).$$

2.3. ДЕФОРМАЦИИ И НАПРЯЖЕНИЯ В ПЛАСТИНКАХ С ПРОРЕЗАМИ

Площадь поперечного сечения F пластины с прорезами состоит из суммы площадей $F_{\text{ср}}$ и $F_{\text{кр}}$ соответственно средней и двух вместе взятых крайних полос пластины. Принципиально можно рассматривать анализ развития деформаций и напряжений в пластинке с прорезами при различном отношении $F_{\text{ср}}/F_{\text{кр}}$. С точки зрения применимости проведенного анализа к реальным сварным соединениям интерес представляет случай $F_{\text{ср}} < F_{\text{кр}}$, поскольку практически почти всегда в сварном соединении ширина высоконагретой области меньше ширины остальной части соединения. В то же время целесообразно также рассмотреть случай $F_{\text{ср}} > F_{\text{кр}}$.

Выполним построение термомеханической диаграммы и проведем анализ развития деформаций сначала для случая $F_{\text{ср}} < F_{\text{кр}}$.

Если бы средняя полоса не была связана с крайними полосами, то при равномерном ее нагреве до температуры $T < T_1$ она получи-

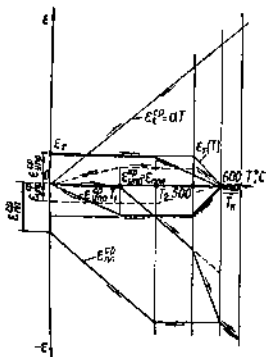


Рис. 2.8. Термомеханическая диаграмма для пластин с прорезами при $F_{cp} < F_{кр}$

ла бы приращение длины $\Delta l = \alpha l T$. Значит, ее температурная деформация $\epsilon_t^{cp} = \alpha T$ во всем интервале нагрева и охлаждения. На диаграмме (рис. 2.8) температурная деформация средней полосы показана прямой ϵ_t так же, как это было и при нагреве стержня. Стрелками указано направление изменений температурной деформации при нагреве и охлаждении. Крайние полосы не нагреваются, и поэтому для них $\epsilon_t^{кр} = 0$. Свободное увеличение длины средней полосы при ее нагреве невозможно из-за наличия связей со стороны крайних полос. Поэтому в средней полосе возникают упругие деформации сжатия, а в крайних полосах в противовес этому — упругие деформации растяжения. Таким образом, можно говорить

о внутренних усилиях сжатия в средней полосе:

$$P_{cp} = \epsilon_{уп}^{cp} E F_{cp}$$

и растяжения в двух крайних вместе взятых полосах:

$$P_{кр} = \epsilon_{уп}^{кр} E F_{кр}.$$

Если провести произвольное поперечное сечение ab и отбросить например, правую часть, то для поддержания в равновесии оставшейся левой части к сечению необходимо приложить указанные выше усилия P_{cp} и $P_{кр}$.

Сумма проекций этих двух усилий на горизонтальную ось

$$P_{cp} + P_{кр} = 0. \quad (2.3)$$

Это условие равновесия внутренних усилий в пластине с прорезами, которое должно выполняться в любой момент нагрева и охлаждения средней полосы. Его можно записать в виде

$$\epsilon_{уп}^{cp} F_{cp} = -\epsilon_{уп}^{кр} F_{кр}. \quad (2.4)$$

По какому закону должны изменяться при нагреве средней полосы в интервале от нуля до T_1 упругие деформации сжатия в средней полосе и растяжения в крайних полосах? Во-первых, должно выполняться условие равновесия (2.4), а во-вторых, согласно гипотезе плоских сечений, полная деформация в средней полосе $\epsilon_{пол}^{cp}$ всегда должна быть равна полной деформации в крайних полосах $\epsilon_{пол}^{кр}$:

$$\epsilon_{пол}^{cp} = \epsilon_{пол}^{кр}. \quad (2.5)$$

Равенство (2.5) запишем в развернутом виде

$$\epsilon_i^{cp} + \epsilon_{ypr}^{cp} + \epsilon_{пл}^{cp} = \epsilon_i^{кр} + \epsilon_{yпр}^{кр} + \epsilon_{пл}^{кр}. \quad (2.6)$$

В средней полосе $\epsilon_i^{cp} = \alpha T$, а в крайних $\epsilon_i^{кр} = 0$, так как они не нагреваются. В средней и в крайних полосах при $T \leq T_1$ пластические деформации заведомо отсутствуют, т. е. $\epsilon_{пл}^{cp} = 0$, $\epsilon_{пл}^{кр} = 0$. Формула (2.6) преобразуется к виду

$$\alpha T + \epsilon_{ypr}^{cp} = \epsilon_{yпр}^{кр}. \quad (2.7)$$

Подставим выражение (2.7) для $\epsilon_{yпр}^{кр}$ в (2.4) и после преобразований получим

$$\epsilon_{ypr(0-T_1)}^{cp} = -\alpha T \frac{F_{кр}}{F}. \quad (2.8)$$

Учитывая (2.8) из (2.7), получим

$$\epsilon_{yпр(T-T_1)}^{кр} = \alpha T \frac{F_{cp}}{F}. \quad (2.9)$$

Таким образом, из (2.8) и (2.9) видно, что при $T \leq T_1$ упругие деформации в полосах пластины изменяются по линейному закону, причем сумма абсолютных значений этих упругих деформаций равна αT , т. е. температурной деформации средней полосы. На диаграмме изменение упругих деформаций в полосах пластины в данном температурном интервале показано наклонными прямыми линиями. Угол наклона к оси температур линии для упругой деформации в средней полосе меньше, чем это было в случае со стержнем, поскольку крайние полосы не являются абсолютно жесткими связями, а обладают определенной податливостью, с увеличением которой данный угол уменьшается. Угол наклона к той же оси T линии для $\epsilon_{yпр}^{кр}$ будет еще меньше, чем это было для ϵ_{ypr}^{cp} , так как $F_{кр} > F_{cp}$. При $T = T_1$ упругое сжатие в средней полосе достигает $-\epsilon_T$, а растяжение в крайних полосах равно $\epsilon_T F_{cp}/F_{кр}$. Температуру T_1 можно определить из условия $\epsilon_{ypr}^{cp} = -\epsilon_T$ согласно (2.8):

$$T_1 = (\epsilon_T F)/(F_{кр}). \quad (2.10)$$

При дальнейшем увеличении температуры выше T_1 в средней полосе возрастание упругой деформации в ней невозможно из-за принятой модели идеального упругопластического тела. Поэтому от T_1 до 500°C $\epsilon_{ypr}^{cp} = -\epsilon_T = \text{const}$. Следовательно, должны оставаться без изменения упругие деформации растяжения в крайних полосах:

$$\epsilon_{yпр}^{кр} = \epsilon_T F_{cp}/F_{кр}.$$

В интервале от 500 до 600°C деформация $\epsilon_T(T)$ снижается по линейному закону. Так же будет изменяться и упругая деформация сжатия в средней полосе. По условию равновесия внутренних продольных усилий должны снижаться по линейному закону в этом температурном интервале и упругие деформации растяжения в крайних полосах.

В точке $T = 600^\circ\text{C}$ упругие свойства материала средней полосы исчезают и поэтому в интервале $600^\circ\text{C} \dots T_k$ упругих деформаций в полосах пластины на стадиях нагрева и охлаждения не будет. Снижение температуры в средней полосе от 600°C должно было бы приводить к укорочению средней полосы на величину, пропорциональную перепаду температур. Однако в полной мере это температурное укорочение не может быть реализовано, так как имеются связи со стороны крайних полос. В связи с этим в средней полосе возникают упругие деформации растяжения, а в крайних — упругие деформации сжатия. Эти упругие деформации будут нарастать по такому же закону, как это было на стадии нагрева в пределах от 0 до T_1 . Так процесс будет продолжаться до T_2 , при котором в средней полосе упругие деформации растяжения достигнут уровня $+\epsilon_r$. При этой температуре в крайних полосах упругое сжатие достигает величины $-\epsilon_r F_{cp}/F_{kr}$. Дальнейшее охлаждение средней полосы от T_2 до 0 не вызовет изменения упругих деформаций в полосах пластины по причинам, которые указывались выше для стадии нагрева в интервале от T_1 до 600°C . Таким образом, в остаточном состоянии после полного охлаждения средняя полоса будет растянутой напряжением σ_r , а крайние полосы сжаты до величины

$$\sigma_{kr} = -\epsilon_r E F_{cp}/F_{kr}.$$

Почему цикл нагрева и охлаждения средней полосы от 0 до $T_k > 600^\circ\text{C}$ обусловил появление в пластине с прорезами остаточного напряженного состояния? Для любой точки поперечного сечения пластины с прорезами в остаточном состоянии

$$\epsilon_{пол} = \epsilon_{упр} + \epsilon_{пл}. \quad (2.11)$$

Проинтегрируем левую и правую части (2.11) по ширине пластины:

$$\int \epsilon_{пол} = \int \epsilon_{упр} + \int \epsilon_{пл}. \quad (2.12)$$

Первое слагаемое в правой части (2.12) равно нулю, поскольку упругие деформации в сечении уравновешены. Следовательно,

$$\int \epsilon_{пол} = \int \epsilon_{пл}. \quad (2.13)$$

и, значит, напряженное состояние в пластине появляется в остаточном состоянии в результате остаточных пластических деформаций в средней полосе, так как в крайних полосах, как это видно из диаграммы, в течение всего цикла нагрева и охлаждения упругие деформации не достигали уровня предела текучести.

Проанализируем развитие пластической деформации в средней полосе пластины при ее нагреве и охлаждении. В интервале от 0 до T_1 имеем $\epsilon_{упр}^{cp} < -\epsilon_r$ и поэтому здесь $\epsilon_{пл}^{cp} = 0$. Пластическая деформация сжатия начнет развиваться от температуры T_1 и выше. Всякое приращение температуры ΔT создает приращение длины всей средней полосы, которое полностью превращается в пластическое сжатие, так как упругая деформация остается без изменений. Поэтому деформация пластического сжатия будет возрастать по прямой линии.

проведенной вниз из точки T_1 под углом к оси T таким же, как и для прямой ϵ_1 . Так, процесс увеличения пластической деформации сжатия будет протекать до температуры 500°C . В интервале $500\ldots 600^\circ\text{C}$ пластическая деформация сжатия будет определяться действием трех факторов: ростом температуры в полосе (так же, как и в интервале $T_1 - 500^\circ\text{C}$), релаксирующей упругой деформации сжатия в средней полосе (см. диаграмму) и уменьшением упругих деформаций растяжения в крайних полосах (см. диаграмму). Этот процесс уменьшения упругих деформаций растяжения в крайних полосах релаксацией называть нельзя, так как упругая деформация в них не превращается в пластическую, а просто уменьшается по величине согласно условию равновесия с упругой деформацией в средней полосе. При уменьшении упругого растяжения крайних полос они будут укорачиваться и на величину своего укорочения пластически сжимать среднюю полосу, поскольку она не сопротивляется. Таким образом, линия $\epsilon_1^{\text{сп}}$ в точке 500°C получает дополнительный излом вниз. При $T > 500^\circ\text{C}$ действует только температурный фактор, и поэтому линия $\epsilon_1^{\text{сп}}$ пойдет по прямой, параллельной участку в пределах $T_1 \ldots 500^\circ\text{C}$.

При охлаждении от T_2 до 600°C возвращается обратно по той же прямой, что и при нагреве. В точке 600°C материал средней полосы приобретает упругие свойства, и в нём начинают увеличиваться упругие деформации растяжения $\epsilon_{\text{уп}}^{\text{сп}} < \epsilon_1$. В связи с этим в интервале от 600°C до T_2 пластические деформации в средней полосе не протекают и остаются постоянными на том же уровне, что и при $T = 600^\circ\text{C}$. На диаграмме это представлено горизонтальной линией. От T_2 и ниже $\epsilon_{\text{уп}}^{\text{сп}} = \epsilon_1$, и поэтому в средней полосе протекают пластические деформации удлинения, обусловленные действием только одного температурного фактора. Пластическое удлинение постепенно компенсирует пластическое укорочение (сжатие), которое возникло на стадии нагрева. Однако, как видно из диаграммы, полной компенсации пластического укорочения не происходит. Определенная величина пластической деформации укорочения остается после полного охлаждения. Эту величину можно определить из следующих соображений. Согласно гипотезе плоских сечений,

$$\epsilon_{\text{пол}}^{\text{сп}} = \epsilon_{\text{пол}}^{\text{кр}}. \quad (2.14)$$

Для остаточного состояния равенство (2.14) можно записать в виде

$$\epsilon_{\text{уп}}^{\text{сп}} + \epsilon_{\text{пл}}^{\text{сп}} = \epsilon_{\text{уп}}^{\text{кр}}. \quad (2.15)$$

Отсюда с учетом величины упругих деформаций

$$\epsilon_{\text{пл.ост}}^{\text{сп}} = \epsilon_{\text{уп}}^{\text{кр}} - \epsilon_{\text{уп}}^{\text{сп}} = -\epsilon_1 (F/F_{\text{кр}}). \quad (2.16)$$

Величина остаточной пластической деформации укорочения в средней полосе равна по абсолютному значению сумме упругих деформаций в полосах пластины при $T = 500^\circ\text{C}$, которые превратились в деформацию пластического сжатия средней полосы. Из этого следует, что пластическая деформация в средней полосе, обусловленная дей-

внем температурного фактора, не влияет на остаточное напряженно-деформированное состояние. В температурных интервалах, когда протекала такая пластическая деформация, напряженное состояние пластины не изменялось. На формирование остаточного напряженно-деформированного состояния пластины влияла пластическая деформация, которая протекала в условиях изменения напряженного состояния и была связана с переходом упругой деформации в пластическую. Таким образом, анализ развития пластической деформации в средней полосе можно закончить.

В крайних полосах пластины была только упругая деформация, которая одновременно представляла собой и полную деформацию для крайних полос, а в силу применимости гипотезы плоских сечений — и для средней полосы.

Температуру T_2 можно определить по формуле

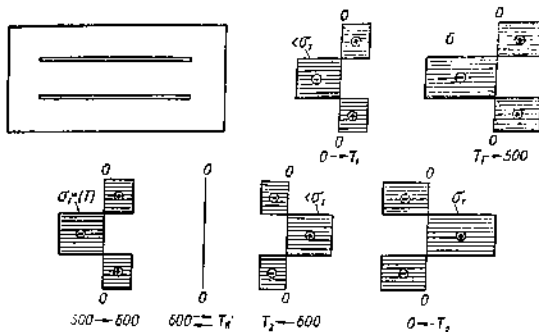
$$T_2 = 600 - T_1 = 600 - \frac{\varepsilon_T F}{\alpha F_{кр}}. \quad (2.17)$$

Приведем зависимости для всех деформаций в полосах пластины:

$$\begin{aligned} \varepsilon_{упр(0-T_1)}^{cp} &= -\alpha T \frac{F_{кр}}{F}; \quad \varepsilon_{упр(T_1-500)}^{cp} = \varepsilon_T; \\ \varepsilon_{упр(500-600)}^{cp} &= -\varepsilon_T (6 - 0,01T); \quad \varepsilon_{упр(600 \rightleftharpoons T_{кр})}^{cp} = 0; \\ \varepsilon_{упр(T_2-600)}^{cp} &= \alpha (600 - T) \frac{F_{кр}}{F}; \quad \varepsilon_{упр(0-T_2)}^{cp} = \varepsilon_T; \\ \varepsilon_{упр(0-T_1)}^{кр} &= \alpha T \frac{F_{cp}}{F}; \quad \varepsilon_{упр(T_1-500)}^{кр} = \varepsilon_T \frac{F_{cp}}{F_{кр}}; \\ \varepsilon_{упр(500-600)}^{кр} &= \varepsilon_T (6 - 0,01T) \frac{F_{cp}}{F_{кр}}; \quad \varepsilon_{упр(600 \rightleftharpoons T_{кр})}^{кр} = 0; \\ \varepsilon_{упр(T_2+600)}^{кр} &= -\alpha (600 - T) \frac{F_{cp}}{F}; \quad \varepsilon_{упр(0-T_2)}^{кр} = -\varepsilon_T \frac{F_{cp}}{F_{кр}}; \\ \varepsilon_{пл(T_1+500)}^{cp} &= \varepsilon_T \frac{F}{F_{кр}} - \alpha T; \quad \varepsilon_{пл(0-T_1)}^{cp} = 0; \\ \varepsilon_{пл(600+600)}^{cp} &= \varepsilon_T (6 - 0,01T) \frac{F}{F_{кр}} - \alpha T; \\ \varepsilon_{пл(600 \rightleftharpoons T_{кр})}^{cp} &= -\alpha T; \quad \varepsilon_{пл(T_2-600)}^{cp} = -\alpha 600; \\ \varepsilon_{пл(0-T_2)}^{cp} &= -(\varepsilon_T \frac{F}{F_{кр}} + \alpha T); \quad \varepsilon_{пл(0 \rightleftharpoons T_{кр})}^{кр} = 0; \\ \varepsilon_i^{cp} &= \alpha T; \quad \varepsilon_{i(0 \rightleftharpoons T_{кр})}^{кр} = 0; \\ \varepsilon_{пол} &= \varepsilon_{пол}^{кр} = \varepsilon_{пол}^{cp} = \varepsilon_{упр}^{cp} + \varepsilon_{пл}^{cp} + \varepsilon_i^{cp}. \end{aligned}$$

Эпюры продольных напряжений в полосах пластины в различные моменты нагрева и охлаждения средней полосы показаны на рис. 2.9.

Рассмотрим закономерности изменения деформаций в пластике с прорезами в случае $F_{cp} > F_{кр}$. Термомеханическая диаграмма для



этого случая приведена на рис. 2.10. При таком соотношении площадей поперечного сечения полос пластины упругие деформации растяжения в крайних полосах будут возрастать быстрее, чем упругие деформации сжатия в средней полосе. При T_1 растяжение крайних полос достигает уровня $+e_T$. В дальнейшем при нагреве средняя полоса от T_1 до T_2 значения упругих деформаций в полосах пластины не изменяются, так как в крайних полосах развиваются пластические деформации удлинения (жирная пунктирная линия). При T_2 упругие деформации сжатия в средней полосе достигают уровня $-e_T(T)$ и при дальнейшем нагреве понижаются, следуя по линии $-e_T(T)$ до 0 при $T = 600^\circ\text{C}$. В этом промежутке ($T_2 - 600^\circ\text{C}$) в соответствии с условием равновесия будут понижаться и упругие деформации растяжения в крайних полосах. При нагреве от 600°C до T_k упругие деформации в пластине равны нулю. То же самое будем иметь и на стадии охлаждения в этом интервале. После 600°C при охлаждении в средней полосе возникают упругие деформации растяжения, а в крайних полосах — упругие деформации сжатия. Сжатие в крайних полосах возрастает быстрее, чем растяжение в средней полосе. При T_k имеем $e_{\text{упр}}^{\text{ср}} = -e_T$, которая и сохраняется без изменений до полного охлаждения. Величина $e_{\text{упр}}^{\text{ср}}$ также не изменяется от T_k до нуля. Пластическая деформация удлинения в крайних полосах не изменяется от T_2 до T_k при нагреве и от T_k до T_1 при охлаждении, так как при этом $e_{\text{упр}}^{\text{ср}} < e_T$. В дальнейшем от T_2 до 0 пластическое удлинение в крайних полосах уменьшается за счет разницы в этом интервале температур пластической деформации сжатия. В остаточном состоянии имеем пластическое сжатие определенной величины.

В средней полосе от 0 до T_2 пластическая деформация не протекает, так как $e_{\text{упр}}^{\text{ср}} < e_T$. В точке T_2 линия $e_{\text{пл}}^{\text{ср}}$ резко идет вниз, что обусловлено действием трех факторов: ростом температуры в средней полосе; релаксацией в ней упругой деформации сжатия; уменьшением упругих деформаций растяжения в крайних полосах. Выше 600°C пластическая деформация сжатия растет только за счет увеличения температуры. От 600°C и до 0 при охлаждении пластическая деформация в средней полосе остается без изменений на уровне, соответствующем 600°C . Таким образом, в остаточном состоянии имеем пластическую деформацию укорочения в средней и крайних полосах. Однако поскольку пластическая деформация по поперечному сечению распределена неравномерно, в пластине возникли остаточные напряжения.

Температурная деформация для средней полосы представляется прямой $e = \alpha T$. Полная деформация в полосах пластины может быть более просто получена при суммировании упругих и пластических деформаций в крайних полосах. На диаграмме полная деформация показана тонкой сплошной линией.

Эпюры продольных напряжений в полосах пластины для различных моментов нагрева и охлаждения средней полосы показаны на рис. 2.11.

Зависимости для определения полной деформации и всех ее составляющих в полосах пластины в любой момент нагрева и охлаждения

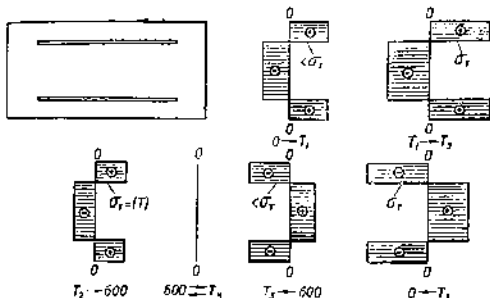


Рис. 2.11. Изменения напряжений в пластине с прорезами при нагреве и охлаждении средней полосы (случай $F_{кр} > F_{кр}$)

средней полосы приведены ниже:

$$\begin{aligned}
 \epsilon_{\text{упр}(0-T_1)}^{\text{сп}} &= -\alpha T \frac{F_{\text{кр}}}{F}; \quad \epsilon_{\text{упр}(T_1-T_K)}^{\text{сп}} = -\epsilon_T \frac{F_{\text{кр}}}{F_{\text{сп}}}; \\
 \epsilon_{\text{упр}(T_1-600)}^{\text{сп}} &= -\epsilon_T (6-0,01T); \quad \epsilon_{\text{упр}(600-T_K)}^{\text{сп}} = 0; \\
 \epsilon_{\text{упр}(T_2-600)}^{\text{сп}} &= \alpha (600-T) \frac{F_{\text{сп}}}{F}; \quad \epsilon_{\text{упр}(0-T_2)}^{\text{сп}} = \epsilon_T \frac{F_{\text{сп}}}{F_{\text{сп}}}; \\
 \epsilon_{\text{упр}(0-T_1)}^{\text{кр}} &= \alpha T \frac{F_{\text{сп}}}{F}; \quad \epsilon_{\text{упр}(T_1+T_2)}^{\text{кр}} = \epsilon_T; \\
 \epsilon_{\text{упр}(T_2+600)}^{\text{кр}} &= \epsilon_T (6-0,01T) \frac{F_{\text{сп}}}{F_{\text{кр}}}; \\
 \epsilon_{\text{упр}(600-T_K)}^{\text{кр}} &= 0; \quad \epsilon_{\text{упр}(T_2-600)}^{\text{кр}} = -\alpha (600-T) \frac{F_{\text{сп}}}{F}; \\
 \epsilon_{\text{упр}(0-T_2)}^{\text{кр}} &= -\epsilon_T; \quad \epsilon_{\text{упр}(0-T_1)}^{\text{сп}} = 0; \\
 \epsilon_{\text{сп}}^{\text{сп}}(T_1+600) &= \alpha \left(600-T-100 \frac{F_{\text{кр}}}{F_{\text{сп}}} \right) + \epsilon_T (6-0,01T) \frac{F}{F_{\text{кр}}} - \epsilon_T \frac{F}{F_{\text{сп}}}; \\
 \epsilon_{\text{пл}(600-T_K)}^{\text{сп}} &= - \left[\epsilon_T + \alpha (T-600) + (100\alpha + \epsilon_T) \frac{F_{\text{кр}}}{F_{\text{сп}}} \right]; \\
 \epsilon_{\text{пл}(0-600)}^{\text{сп}} &= - \left[\epsilon_T + (100\alpha + \epsilon_T) \frac{F_{\text{кр}}}{F_{\text{сп}}} \right]; \\
 \epsilon_{\text{пл}(0-T_1)}^{\text{сп}} &= 0; \quad \epsilon_{\text{пл}(T_1-T_2)}^{\text{сп}} = \alpha T - \epsilon_T \frac{F}{F_{\text{сп}}}; \\
 \epsilon_{\text{пл}(T_1-T_K)}^{\text{сп}} &= \alpha 600 - 100\alpha \frac{F_{\text{кр}}}{F_{\text{сп}}} - \epsilon_T \frac{F}{F_{\text{сп}}}; \\
 \epsilon_{\text{пл}(T_2-T_K)}^{\text{сп}} &= \alpha 600 - 100\alpha \frac{F_{\text{кр}}}{F_{\text{сп}}} - \epsilon_T \frac{F}{F_{\text{сп}}};
 \end{aligned}$$

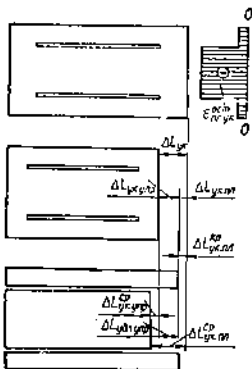


Рис. 2.12. Деформации пластины с прорезом при $F_{cp} < F_{kp}$

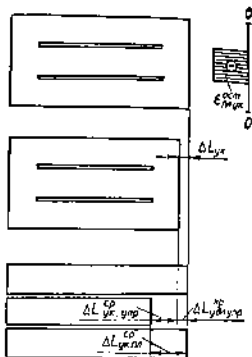


Рис. 2.13. Деформации пластины с прорезом при $F_{cp} > F_{kp}$

$$\varepsilon_{пл(0 \rightarrow T_2)}^{кр} = \alpha \left(T - 100 \frac{F_{кр}}{F_{cp}} \right);$$

$$\varepsilon_{л(0 \rightarrow T_k)}^{сп} = \alpha T;$$

$$\varepsilon_{л(0 \rightarrow T_k)}^{кр} = 0; \quad \varepsilon_{пол} = \varepsilon_{пол}^{кр} = \varepsilon_{упр}^{кр} + \varepsilon_{пл}^{кр} = \varepsilon_{пол}^{сп} = \varepsilon_{упр}^{сп} + \varepsilon_{пл}^{сп};$$

$$\varepsilon_{пол(0 \rightarrow T_2)} = \alpha T \frac{F_{cp}}{F}; \quad \varepsilon_{пол(T_1 \rightarrow T_2)} = \alpha T + \varepsilon_1 \frac{F_{кр}}{F_{cp}};$$

$$\varepsilon_{пол(T_2 \rightarrow 600)} = \varepsilon_2 \left[\left(6 - 0,01T \right) \frac{F_{cp}}{F_{кр}} - \frac{F}{F_{cp}} \right] + 100\alpha \left(6 - \frac{F_{кр}}{F_{cp}} \right);$$

$$\varepsilon_{пол(600 \rightarrow T_k)} = \alpha 600 - 100\alpha \frac{F_{кр}}{F_{cp}} - \varepsilon_2 \frac{F}{F_{cp}};$$

$$\varepsilon_{пол(T_k \rightarrow 600)} = \alpha \left(T \frac{F_{cp}}{F} - 100 \frac{F_{кр}}{F_{cp}} \right) - \varepsilon_2 \frac{F}{F_{cp}};$$

$$\varepsilon_{пол(0 \rightarrow T_2)} = \alpha \left(T - 100 \frac{F_{кр}}{F_{cp}} \right) - \varepsilon_2.$$

Характер деформации пластины после завершения цикла нагрева и охлаждения средней полосы, а также отдельно средней и крайних полос после разрезки охлажденной пластины для рассмотренных случаев соотношения $F_{cp}/F_{кр}$ показан на рис. 2.12 и 2.13. Там же штриховкой показана эпюра остаточных пластических деформаций укорочения в поперечном сечении пластины. Из рис. 2.12 видно, что из эпюры $\varepsilon_{пл,уш}^{ост}$ можно исключить постоянную составля-

ющую $\epsilon_{пл.уж}$, которая не влияет на формирование остаточных напряжений, а лишь создаст равномерное по ширине пластическое укорочение всей пластины.

2.4. ОБРАЗОВАНИЕ НАПРЯЖЕНИЙ И ДЕФОРМАЦИЙ В СВАРНОМ СОЕДИНЕНИИ

Рассмотрим процесс образования напряжений и деформаций в сварном соединении в условиях соблюдения гипотезы плоских сечений для полных продольных деформаций и допущений об одновременности заварки шва по всей длине и линейности возникающего напряженного состояния, ориентированного вдоль соединения.

Представим себе, что перед сваркой пластины были разрезаны на узкие продольные полоски и нижним торцом оперты на какое-то основание (рис. 2.14, а). Наметим ряд поперечных сечений 1, 2, 3, 4, 5, отстоящих на различных расстояниях от нижнего торца (основания), включая и верхний торец (сечение 5). Учитывая известный характер распределения максимальных температур при сварке в поперечном сечении соединения, отметим, что каждая свободная полоска получит температурное удлинение, пропорциональное температуре нагрева полоски. Тогда верхний торец соединения (сечение 5) примет вид, показанный на рис. 2.14, а. Температурная деформация других поперечных сечений показана соответствующими кривыми. Чем ближе к нижнему торцу расположено поперечное сечение, тем меньше будет удлинение полосок, так как уменьшается длина (расстояние от нижнего торца), на которой определяется это удлинение. Положение нижнего торцевого сечения остается без изменений. Следует отметить, что величина абсолютной деформации сечения зависит от места расположения линии отсчета, которую можно расположить в любом поперечном сечении, и тогда будет равна нулю абсолютная деформация этого выбранного в качестве начала отсчета сечения. Однако, если оперировать относительной температурной деформацией, то она будет одинаковой во всех поперечных сечениях соединения и тогда место расположения линии отсчета не имеет никакого значения.

Между тем реальное сварное соединение, как известно, не состоит из отдельных не связанных между собой полосок. Все полоски друг с другом связаны и деформируются в соответствии с общими для всего соединения закономерностями. Такой общей закономерностью, как было обусловлено выше, является гипотеза плоских сечений. В соответствии с данной гипотезой каждое поперечное сечение должно переместиться вверх на соответствующую величину параллельно первоначальному своему положению. В том числе и крайнее верхнее сечение 5 (верхний торец) переместится в положение 5', определяемое штриховой линией. Таким образом, все сварное соединение при нагреве получает некоторое удлинение. Сравнение абсолютных (на всей длине соединения) полных и температурных деформаций в различных точках верхнего поперечного сечения показывает их несоответствие друг другу, за исключением двух точек, в которых соответствующие линии пересекаются. Чтобы привести отдельные полоски в то состояние, в котором они должны находиться в реальном неразрезанном соединении

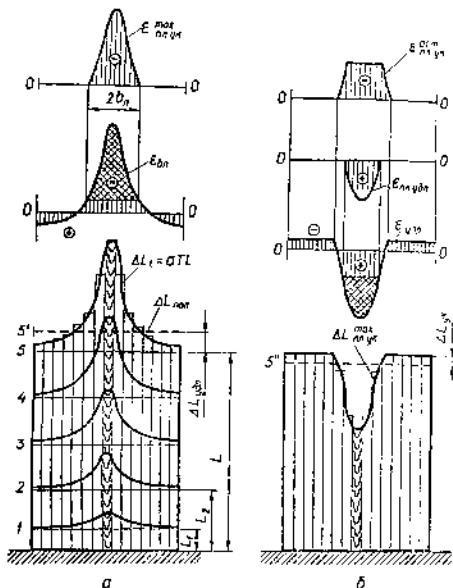


Рис. 2.14. Механизм образования деформаций и напряжений при сварке

(в положение штриховой линии), необходимо центральные полосы сжать, а крайние растянуть на соответствующую величину. На стадии нагрева в сварном соединении в продольном направлении возникают напряжения сжатия в средней высоконагретой зоне и растяжения — в остальной малонагретой зоне. Для центральных полосок соединения разница между температурной и полной деформациями настолько большая, что если сжимать эти полоски до уровня пунктирной линии 5' (полной деформации), то можно довести в них напряжения сжатия до уровня предела текучести, а до положения штриховой линии еще будет очень далеко. Чтобы дойти до положения штриховой линии 5', необходимо большинство центральных полосок пластически сжать. Значит, на стадии нагрева в средней высоконагретой области соединения в продольном направлении протекают пластические деформации сжатия (укорочения) и формируется так называемая зона пластических деформаций, ширина которой для такого симметричного соединения обычно обозначается как $2b_n$.

В относительных деформациях различия между полной и температурной деформациями показаны на рис. 2.14, а линией $\epsilon_{\text{вн}}$ (внутренняя деформация). Прямой штриховкой отмечены уравновешивающие по сечению упругие деформации $\epsilon_{\text{упр}}$ и косой — пластические деформации сжатия (укорочения). Таким образом, можно говорить об эпюре максимальных пластических деформаций укорочения $\epsilon_{\text{пл.ук}}$, которая на рисунке показана отдельно. На этом рассмотрение стадии нагрева заканчивается.

Если в момент максимального нагрева снова соединение разделить на отдельные полоски, то после полного охлаждения верхний торец соединения примет форму, показанную на рис. 2.14, б. Средние полоски будут короче остальных на величину пластического сжатия их на стадии нагрева. Однако в реальном нерасчлененном соединении все полоски связаны друг с другом, и их полная деформация подчинена гипотезе плоских сечений. Сечения переместятся вниз в положение штриховой линии 5". В результате будем иметь общее равномерное по длине удлинение в сечении $\epsilon_{\text{пл.удл}}$ старого соединения после сварки. Для приведения сечения $\epsilon_{\text{пл.удл}}$ к сечению в положении штриховой линии 5" необходимо часть средних полосок растянуть, а остальные сжать (в абсолютном числе) и все крайние — сжать. Из этих рассуждений ясно, что на стадии охлаждения в соединении формируются напряжения, противоположные по знаку тем, которые были на стадии нагрева. Постепенно временные напряжения на стадии охлаждения переходят в остаточные, которые являются растягивающими в средней и сжимающими в остальной части соединения. Существенным является тот факт, что величина пластической деформации укорочения центральных полосок на стадии нагрева очень большая, поэтому в процессе их удлинения на стадии охлаждения до уровня 5" напряжения растяжения достигают предела текучести задолго до выхода полосок на уровень 5". Чтобы достичь положения штриховой линии 5", центральные полоски необходимо пластически удлинить на некоторую величину. Итак, на стадии охлаждения в средней части соединения протекают продольные пластические деформации удлинения, которые в значительной мере компенсируют пластическое сжатие, возникшее на стадии нагрева. Тем не менее, компенсация происходит лишь частично. В конечном итоге в средней части соединения (пластической зоне) остаются пластические деформации укорочения определенной величины. Деформации пластического удлинения при охлаждении показаны на рис. 2.14, б косой штриховкой. Упругие остаточные деформации уравновешены по поперечному сечению и отмечены прямой штриховкой. Эпюры пластических деформаций удлинения $\epsilon_{\text{пл.удл}}$ и остаточных пластических деформаций укорочения показаны на том же рисунке отдельно. Именно остаточные пластические деформации укорочения в поперечном сечении и такой неравномерный характер их распределения по сечению являются причиной образования в сварном соединении остаточных напряжений.

Приведенные выше рассуждения в принципиальном отношении остаются верными и в случае несоблюдения гипотезы плоских сечений для полных продольных деформаций. В этом случае сечения 3" и 5"

а также другие поперечные сечения будут деформироваться с некоторой выпуклостью (при нагреве) или вогнутостью (при охлаждении), что приведет к некоторому уменьшению по высоте эпюр максимальных пластических деформаций укорочения при нагреве и пластических деформаций удлинения при охлаждении. Эпюры остаточных пластических деформаций укорочения, по-видимому, останется практически без изменений.

2.5. РАСЧЕТНЫЙ МЕТОД НИКОЛАЕВА

Метод построен на следующих допущениях: выполнимость гипотезы плоских сечений; линейность напряженного состояния; схематизированная зависимость предела текучести и относительной упругой деформации на уровне предела текучести от температуры; модель идеально упругопластического тела; независимость теплофизических свойств металла от температуры в широком интервале температур; равномерность распределения температур, деформаций и напряжений по толщине пластины.

Цель метода — определение параметров $\epsilon_{пол}^{ост}$, b_n , y_* (рис. 2.15, з), которые позволяют построить эпюру остаточных упругих $\epsilon_{упр}^{ост}$ деформаций (напряжений) в поперечном сечении сварного стыкового соединения. Чтобы определить указанные параметры, необходимо рассмотреть продольные деформации в поперечном сечении на двух стадиях — нагрева и в остаточном состоянии после полного охлаждения. В каком именно поперечном сечении по длине соединения рассматривать деформации после охлаждения — не имеет значения, поскольку считается, что все поперечные сечения в смысле напряженно-деформированного состояния одинаковы. Что же касается стадии нагрева, то в этом состоянии далеко не безразлично, какое поперечное сечение необходимо рассматривать. Г. А. Николаев предлагает рассматривать деформации в поперечном сечении, в котором при нагреве в процессе движения источника тепла достигается максимальная ширина изотермы 600 °С. К изотерме 600 °С проводятся с двух сторон параллельно шву две касательные. Через точки касания проводится поперечное сечение I—I (рис. 2.15, а). На стадии нагрева должно быть рассмотрено поперечное сечение, в котором ширина зоны пластических деформаций укорочения (сжатия) достигает наибольшей величины. Именно такое состояние достигается в сечении I—I. Однако это не совсем точно, так как в точках сечения I—I, где в данный момент температура ниже 600 °С, в последующие моменты времени, когда источник нагрева продвигается вперед, температура несколько будет повышаться, достигая для каждой точки своего максимума. Это приведет к некоторому увеличению ширины зоны пластических деформаций, хотя и незначительному. В связи с этим в сечении I—I рекомендуется рассматривать не кривую $T(y)$, а кривую (условную) $T_{max}(y)$, отнесенную к данному сечению. Дальнейшее изложение расчетного метода будет проведено с учетом этой рекомендации.

Итак, если температурная кривая $T_{max}(y)$ в сечении I—I известна, то, значит, известна в данном сечении и кривая температурных де-

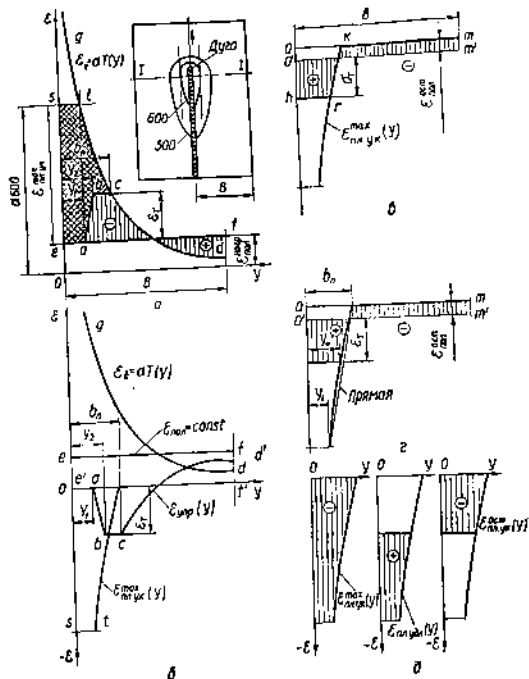


Рис. 2.15. Метод Нисензона (продольные деформации при сварке)

формаций $\epsilon_t = \alpha T_{\max}(y)$ (рис. 2.15, а). Полные деформации $\epsilon_{\text{пол}}^{\text{свар}}$ на стадии нагрева, согласно гипотезе плоских сечений, будут определяться горизонтальной линией. Сравнение этих двух деформаций в сечении показывает их несоответствие друг другу, кроме точки их пересечения. Видно, что продольные волокна вблизи боковых кромок соединения имеют полную (наблюдаемую, действительную, формоизменяющуюся) деформацию большей величины, чем свободная температурная. Это означает, что в сварном соединении эти волокна являются растянутыми. Рассуждая аналогично, легко уяснить, что для волокон, рас-

положенных в более высоконагретой зоне за точкой пересечения линий ϵ_t и $\epsilon_{пол}$, будет иметь место упругое сжатие, возрастающее по мере приближения рассматриваемого волокна к оси шва. В некоторой точке с на удалении b_n от оси шва упругие деформации сжатия достигают уровня предела текучести ϵ_T и остаются постоянными до точки b , расположенной на расстоянии y_2 от оси шва (соответствует температуре 500 °С). Далее от точки b до точки a упругие деформации сжатия уменьшаются по линейному закону (согласно диаграмме $\epsilon_t(T)$). Точка a расположена от оси шва на расстоянии y_1 , соответствующей температуре 600 °С. Уравненная по сечению аннотация упругих деформаций заштрихована на рис. 2.15, а прямой штриховкой. После точки c , как это видно из рисунка, в продольных волокнах будет не только упругая, но и пластическая деформация сжатия. После точки a температура точек сечения выше 600 °С, и металл в этой области не обладает упругими свойствами. Для этих точек упругая деформация равна нулю, а разница между ϵ_t и $\epsilon_{пол}$ будет представлять собой пластические деформации укорочения. Пластические деформации в сечении $I—I$ показаны на рисунке косой штриховкой. Величина пластических деформаций укорочения на рисунке ограничена горизонтальной линией $z-l$, поскольку пластические деформации при $T > 600$ °С не влияют на формирование в соединении напряженного состояния. Все составляющие полной деформации в сечении $I—I$ показаны на рис. 2.15, б. Ниже приведены формулы для компонентов полной деформации, которые нужны для дальнейших расчетов:

$$\epsilon_t = \alpha T_{max}(y), \quad 0 \leq y \leq B; \quad (2.18)$$

$$\epsilon_{упр}^{нагр}(y) = \begin{cases} 0, & 0 \leq y \leq y_1; \\ -\epsilon_T(y - y_1)/(y_2 - y_1), & y_1 \leq y \leq y_2; \\ -\epsilon_T, & y_2 \leq y \leq b_n; \\ \epsilon_{пол}^{нагр} - \alpha T_{max}(y), & b_n \leq y \leq B. \end{cases} \quad (2.19)$$

$$\epsilon_{пол}^{нагр}(y) = \begin{cases} \epsilon_{пол}^{нагр} - \alpha \cdot 600, & 0 \leq y \leq y_1; \\ \epsilon_{пол}^{нагр} - \alpha T_{max}(y) + \epsilon_T(y - y_1)/(y_2 - y_1), & y_1 \leq y \leq y_2; \\ \epsilon_{пол}^{нагр} - \alpha T_{max}(y) + \epsilon_T, & y_2 \leq y \leq b_n; \\ 0, & b_n \leq y \leq B. \end{cases} \quad (2.20)$$

Для максимальных температур примем известную формулу Рыкалина:

$$T_{max}(y) = \frac{0,484q}{2\delta c\gamma y}, \quad (2.21)$$

где $q = IU\eta$, Вт; I — сварочный ток, А; U — напряжение на дуге, В; η — к. п. д. дуги; v — скорость сварки, м/с; δ — толщина свариваемых пластин, м; $c\gamma$ — объемная теплоемкость, Дж/(см³ · °С); y — расстояние от оси шва до данной точки, м.

Чтобы достичь конечной цели (определение $\epsilon_{пол}^{нагр}$, b_n , y_*), необходимо на стадии нагрева найти b_n и $\epsilon_{пол}^{нагр}$. Эти два параметра мож-

но найти из следующих двух условий:

$$\int_0^B \epsilon_{упр}^{нагр}(y) dy = 0; \quad \epsilon_{упр}^{нагр}(y = b_n) = -\epsilon_r. \quad (2.22)$$

Условия (2.22) можно переписать в более развернутом виде:

$$-\frac{1}{2} \epsilon_r (y_2 - y_1) - \epsilon_r (b_n - y_2) + \int_{b_n}^B [\epsilon_{пол}^{нагр} - \alpha T_{max}(y)] dy = 0; \quad \epsilon_{пол}^{нагр} - \alpha T_{max}(y = b_n) = -\epsilon_r. \quad (2.23)$$

$$\text{Здесь } y_1 = \frac{0,484q}{2,6\epsilon\gamma 600}; \quad y_2 = \frac{0,484q}{2,6\epsilon\gamma 500}.$$

Решив систему (2.23), получим:

$$\epsilon_{пол}^{нагр} = \frac{\alpha A}{B} - \epsilon_r; \quad b_n = \frac{B\epsilon_r}{\epsilon - \epsilon_r}; \quad (2.24)$$

$$\epsilon = \frac{0,484\alpha q}{2,6\epsilon\gamma (y_1 + y_2 + 2B)}; \quad (2.25)$$

$$\text{где } \alpha A = \frac{0,484\alpha q}{2,6\epsilon\gamma}.$$

Пластические деформации укорочения на стадии нагрева весьма малы. Поэтому возникающая при охлаждении в зоне b_n упругая деформация удлинения достигает $\frac{1}{2}\epsilon_r$. Чтобы удовлетворить гипотезе плоских сечений, необходимо центральные волокна пластически удлинить на некоторую величину (рис. 2.15, б). Эпюра остаточных пластических деформаций укорочения показана на рис. 2.15, б, а остаточных упругих — на рис. 2.15, в. Кривая $\epsilon_{пол}^{ост}$ на этом рисунке имеет сложную зависимость, не очень удобную при последующем интегрировании. Поэтому кривую $\epsilon_{пол}^{ост}$ заменяем прямой, как показано на рис. 2.15, в (наше предложение). Вносимая таким образом погрешность незначительна.

Для эпюры других деформаций $\epsilon_{упр}^{ост}(y)$ на рис. 2.15, в можно составить следующие условия:

$$\int_0^B \epsilon_{упр}^{ост}(y) dy = 0; \quad \epsilon_{упр}^{ост}(y = y_0) = \epsilon_r. \quad (2.26)$$

В различных точках по сечению $I-I$ упругая деформация

$$\epsilon_{упр}^{ост}(y) = \begin{cases} \epsilon_r, & 0 \leq y \leq y_0; \\ \epsilon_{пол}^{ост} - \alpha 600 (y - b_n) / (b_n - y_1), & y_0 \leq y \leq b_n; \\ \epsilon_{пол}^{ост}, & b_n \leq y \leq B. \end{cases} \quad (2.27)$$

С учетом (2.27) условия (2.26) можно представить в виде

$$\epsilon_r y_0 + \int_{y_0}^{b_n} \left[\epsilon_{пол}^{ост} - \frac{\alpha 600 (y - b_n)}{(b_n - y_1)} \right] dy + \epsilon_{пол}^{ост} (B - b_n) = 0; \quad \epsilon_{пол}^{ост} - \frac{\alpha 600 (y_0 - b_n)}{(b_n - y_1)} = \epsilon_r. \quad (2.28)$$

Решив систему (2.28), имеем

$$\epsilon_{\text{пол}}^{\text{ост}} \approx - \frac{\epsilon_r b_{\text{п}}}{B - b_{\text{п}}}; \quad (2.29)$$

$$y_{\text{п}} \approx \frac{\epsilon_r (b_{\text{п}} - y_1)}{\epsilon_{\text{пол}}^{\text{ост}} - \alpha 600} + b_{\text{п}}. \quad (2.30)$$

Из (2.29) видно, что выражение для $\epsilon_{\text{пол}}^{\text{ост}}$ практически совпадает с результатом, вытекающим из метода Троцуна, который будет рассмотрен в § 2.6. Таким образом, определены все параметры, позволяющие построить эпюру остаточных продольных упругих деформаций (напряжений) в поперечном сечении сварного соединения.

Если рассматривать не низкоуглеродистую сталь, а другой материал, то в приведенных выше зависимостях необходимо заменить температуры 500 и 600 °C на соответствующие температуры для данного материала.

2.6. РАСЧЕТНЫЙ МЕТОД ТРОЦУНА

В данном расчетном методе принимаются все допущения, которые были использованы в расчетном методе Николаева, и, кроме того, дополнительно предполагается, что по ширине пластической зоны $2b_{\text{п}}$ остаточные напряжения распределены равномерно и равны пределу текучести металла σ_r . Таким образом, из этого дополнительного допущения следует, что в методе Троцуна эпюра остаточных пластических деформаций укорочения $\epsilon_{\text{пл.ук}}^{\text{ост}}$ принимается не в виде криволинейной трапеции, как это было в методе Николаева, а в виде прямоугольника, как показано на рис. 2.16.

Условие равновесия внутренних продольных усилий в поперечном сечении соединения имеет вид

$$\sigma_r F_{\text{пл}} + \sigma_p (F - F_{\text{пл}}) = 0, \quad (2.31)$$

где $F_{\text{пл}}$ — площадь поперечного сечения пластической зоны; σ_p — продольные напряжения вне пластической зоны (реактивные); F — площадь поперечного сечения соединения (элемента, конструкции).

Условие (2.31) можно представить в другой форме через относительные деформации:

$$\epsilon_r F_{\text{пл}} + \epsilon_p (F - F_{\text{пл}}) = 0. \quad (2.32)$$

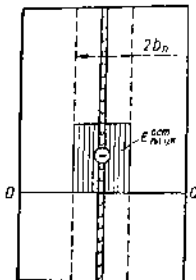
Из условий (2.31) и (2.32) следуют расчетные параметры σ_p или ϵ_p напряженно-деформированного состояния:

$$\sigma_p = - \frac{\sigma_r F_{\text{пл}}}{F - F_{\text{пл}}}; \quad \epsilon_p = - \frac{\epsilon_r F_{\text{пл}}}{F - F_{\text{пл}}}. \quad (2.33)$$

Следовательно, для определения σ_p или ϵ_p необходимо знать (определить) площадь поперечного сечения пластической зоны $F_{\text{пл}}$. Если ширина пластической зоны $2b_{\text{п}}$, а толщина пластины δ , то $F_{\text{пл}} = 2b_{\text{п}}\delta$. Задача сводится к определению размера $b_{\text{п}}$.

Рис. 2.18. Принципиальное в методе Трочуна распределение остаточных продольных пластических деформаций упрочнения при сварке

Первый способ определения b_n . По методу Трочуна $b_n = b_1 + b_2$. Зона b_1 ограничена температурой T^* , при которой теряются упругие свойства металла (для низкоуглеродистых сталей 600°C ; для алюминиевых сплавов $\approx 300^\circ\text{C}$ и т. д.). В зоне b_2 при достижении максимальных температур полная продольная деформация рассматриваемой точки состоит из температурной, упругой и пластической составляющих. Пластические деформации сжатия здесь обусловлены, главным образом, жесткостью свариваемых листов. В зоне b_1 на стадии нагрева упругих деформаций сжатия нет, так как все они трансформировались в пластические деформации того же знака.



Размер b_1 можно определить по формуле Рыкалина для максимальных температур T_{\max} в околошовной зоне на расстоянии y от оси шва без учета потерь на поверхностную теплоотдачу:

$$T_{\max} = \frac{0,484 q}{\epsilon b_0 c y y}, \quad (2.34)$$

Если под y понимать b_1 , а под T_{\max} температуру T^* , то из (2.34) следует, что

$$b_1 = \frac{0,484 q}{\epsilon b_0 c y T^*} = \frac{0,484 q_0}{c y T^*}, \quad (2.35)$$

где b_0 — приведенная толщина свариваемых пластин, т. е. сумма толщин, в которые распространяется тепло источника нагрева, см; v — скорость сварки, см/с; $q = IU\eta$ — мощность источника нагрева, Вт; $q_0 = q/vb_0$ — удельная энергия сварочного нагрева, Дж/см²; I — сварочный ток, А; U — напряжение на дуге, В; η — к. п. д. дуги; $c y$ — объемная теплоемкость, Дж/(см³ · °C) (для сталей $c y = 5,2$, алюминиевых сплавов — 2,7, титановых сплавов — 2,3).

Размер $b_2 = f(h, \sigma_t, q_0)$. При сварке двух пластин одинаковой ширины h размер $b_2 = k_2(h - b_1)$. Если свариваются пластины различной ширины, например справа ширина пластины $h_{\text{пр}}$, а слева — $h_{\text{лев}}$, то с различных сторон будем иметь различное b_2 :

$$b_{2\text{пр}} = k_2(h_{\text{пр}} - b_1); \quad b_{2\text{лев}} = k_2(h_{\text{лев}} - b_1).$$

По мере увеличения h размер b_2 увеличивается не беспрестанно. Насыщение наступает примерно при $h \approx 30$ см. Поэтому если $h > 30$ см, то $b_2 = k_2(30 - b_1)$. Сечение угловых швов включается в площадь сечения пластической зоны. Коэффициент k_2 зависит от q_0 и определяется по графику (рис. 2.17) для заданного предела текучести металла σ_t . Поскольку химический состав металла и структура

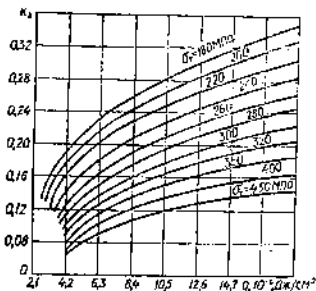


рис. 2.17. Зависимости $k_2 = f(T)$

сжатия в средней полосе пластины с прорезами при ее нагреве в интервале температур от 0 до T_1 . Умножая правую часть формулы на модуль упругости, получим формулу для температурных напряжений, которые при T_{max} в граничном для пластической зоны волокне достигают предела текучести σ_T . Таким образом,

$$\sigma_T = \alpha T_{max} E (F_{кр}/F). \quad (2.37)$$

Поскольку

$$F_{кр} = F - F_{ср} = 2\delta(h - b_n), \text{ а } F = 2\delta h,$$

запишем (2.37) в виде

$$\sigma_T = \alpha E T_{max} \{1 - (b_n/h)\}. \quad (2.38)$$

Максимальную температуру для волокна на расстоянии y , т. е. в рассматриваемом случае b_n с учетом потерь на поверхностную теплоотдачу, определим по формуле

$$T_{max} = \frac{0,484 q}{\gamma \delta_0 \gamma \delta_n} \left(1 - \frac{h_m b_n^2}{\lambda \delta}\right), \quad (2.39)$$

где q — эффективная мощность источника нагрева, Дж; v — скорость сварки, см/с; δ_0 — приведенная толщина свариваемых пластин, см; γ — объемная теплоемкость, Дж/(см³ · °С); b_n — полуширина пластической зоны, см; h_m — коэффициент поверхностной теплоотдачи, Дж/(см² · °С); λ — коэффициент теплопроводности, Дж/(см · °С); δ — толщина пластины, см.

Если множитель в скобках в (2.39), учитывающий потери на поверхностную теплоотдачу, обозначить через m и принять во внимание, что $q/(\gamma \delta_0) = q_0$, то зависимость (2.39) можно записать в более сокращенном виде:

$$T_{max} = \frac{0,484 q_0 m}{\gamma \delta b_n}. \quad (2.40)$$

для различных конструкционных сталей почти не влияют на расчеты нагрева при сварочном нагреве, методом приведенных подобий можно принять рейтинг от значений k_2 для стали одной марки к значениям k_2^1 для стали другой марки при помощи зависимости

$$k_2 = k_2^1 \sigma_T^1 / \sigma_T, \quad (2.26)$$

где σ_T^1 — предел текучести стали другой марки.

Второй способ определения b_n . В основу этого способа положены формулы

для упругих деформаций

и для пластических деформаций

и для упругих деформаций

и для пластических деформаций

и для упругих деформаций

и для пластических деформаций

и для упругих деформаций

и для пластических деформаций

и для упругих деформаций

и для пластических деформаций

и для упругих деформаций

и для пластических деформаций

и для упругих деформаций

и для пластических деформаций

и для упругих деформаций

и для пластических деформаций

и для упругих деформаций

и для пластических деформаций

и для упругих деформаций

и для пластических деформаций

и для упругих деформаций

и для пластических деформаций

и для упругих деформаций

и для пластических деформаций

и для упругих деформаций

и для пластических деформаций

и для упругих деформаций

и для пластических деформаций

и для упругих деформаций

и для пластических деформаций

и для упругих деформаций

и для пластических деформаций

и для упругих деформаций

и для пластических деформаций

и для упругих деформаций

и для пластических деформаций

Решая совместно (2.38) и (2.39) относительно b_n , получаем

$$b_n = 1 / \left(\frac{1}{h} + \frac{\sigma_r c \gamma}{0,484 q_0 \alpha E m} \right). \quad (2.41)$$

При сварке сталей рекомендуется применять для практических расчетов следующие значения теплофизических коэффициентов: $c \gamma = 5,2 \text{ Дж/(см}^3 \cdot ^\circ\text{C)}$; $k/\lambda = 0,008 \text{ 1/см}$; $\alpha = 12 \cdot 10^{-6} \text{ 1/}^\circ\text{C}$. С учетом их, а также принимая $E = 2 \cdot 10^5 \text{ МПа}$ формула (2.41) приобретает вид:

$$b_n = h / \left(1 + \frac{\sigma_r k}{0,43 q_0 m} \right), \quad (2.42)$$

где $m = 1 - 0,008 (b_n^2/b)$; (b_n и b брать в сантиметрах).

Для определения b_n по зависимости (2.42) необходимо сначала принять $m \approx 0,6$, вычислить b_n , затем по данному b_n найти m и сравнить его с принятым m . Если расхождение будет значительным, то принять новое уточненное m и расчет повторить.

В случае пренебрежения потерями тепла на поверхностную теплоотдачу $m = 1$ и значение b_n можно вычислить по формуле

$$b_n = h / \left(1 + \frac{\sigma_r h}{0,43 q_0} \right). \quad (2.43)$$

По данным И. П. Трочуна (14), различие в b_n , определенном указанными двумя способами, не столь существенное. При сварке очень широких пластин ($h \rightarrow \infty$) формулы (2.42) и (2.43) упрощают:

$$b_n = 0,43 q_0 / \sigma_r, \quad (2.44)$$

$$b_n = 0,43 q_0' / \sigma_r. \quad (2.45)$$

Глава 3

РАСЧЕТНЫЙ АНАЛИТИЧЕСКИЙ МЕТОД ОПРЕДЕЛЕНИЯ ОСТАТОЧНЫХ СВАРОЧНЫХ НАПРЯЖЕНИЙ В УСЛОВИЯХ ПЛОСКОГО НАПРЯЖЕННОГО СОСТОЯНИЯ

3.1. ИСХОДНЫЕ ПОЛОЖЕНИЯ

И ФИЗИКО-МАТЕМАТИЧЕСКИЕ ОСНОВЫ РАСЧЕТНОГО МЕТОДА

Известно, что остаточные напряжения при сварке возникают вследствие неравномерности распределения в сварном соединении составляющих тензора остаточных пластических деформаций. Применительно к плоскому напряженному состоянию необходимо рассмотреть неравномерность распределения остаточных пластических деформаций продольного (по отношению к шву) ϵ' и поперечного ϵ'' направлений, а также соответствующих сдвиговых пластических деформаций.

Проанализируем возможное влияние на напряженное состояние в сварном стыковом соединении указанных выше составляющих остаточной пластической деформации, предполагая, что ширина зоны пластических деформаций по длине соединения не изменяется. Под дейст-

внем сдвиговой пластической деформации прямоугольные в плане элементы объема бесконечно малых размеров, на которые можно рассечь зону пластических деформаций параллельными и перпендикулярными к шву плоскостями, искажаются и принимают форму параллелограмма. Для квазистационарных условий сварки, исключая небольшие концевые участки соединения, можно считать сдвиговую остаточную пластическую деформацию распределенной по длине соединения равномерно. В поперечном направлении такая деформация распределена неравномерно. Характер этой неравномерности для данных рассуждений значения не имеет. Если выделить мысленно до сварки два сечениями, перпендикулярными к шву, бесконечно малой ширины поперечный элемент соединения, то в результате образования остаточной пластической сдвиговой деформации он получит искривление в плоскости сварного соединения. Из таких искривленных поперечных элементов можно сложить сварное соединение без образования в нем каких-либо несплошностей. Уравнения неразрывности деформаций будут соблюдены, остаточных напряжений не будет, остаточные пластические деформации будут иметь место, и это проявится в одинаковом искривлении всех поперечных сечений в области сварного шва, включая и торцевые сечения. В общем за счет сдвиговой пластической деформации осуществляется остаточное направленное перемещение металла в высокотемпературной области соединения в продольном направлении, определенным образом распределенное по ширине сварного соединения. Такое перемещение не может быть зафиксировано измерениями продольных деформаций в поперечном сечении на какой-либо базе. Здесь необходимо регистрировать перемещения точек поперечного сечения в неподвижной системе координат. Остаточные продольные перемещения металла в высокотемпературной зоне при сварке, обусловленные сдвиговыми пластическими деформациями, неоднократно наблюдались различными исследователями в экспериментах и описаны в литературе.

Таким образом, в рамках принятых допущений остаточные сдвиговые пластические деформации не влияют на остаточное напряженное состояние и их можно не рассматривать.

Поперечные остаточные пластические деформации считаем равномерно распределенными в сечениях, параллельных шву вдоль всей длины соединения, и неравномерно распределенными в поперечном направлении. В этом случае они приведут к остаточному поперечному укорочению соединения, а на напряженное состояние влияния не окажут. Иначе говоря, поперечные остаточные пластические деформации можно не рассматривать для соединений ограниченных размеров, заваренного по всей длине. В других случаях, например, при сварке круговых швов на плоскости, заварке швов ограниченной длины и др., вклад остаточных поперечных пластических деформаций в напряженное состояние иногда должен учитываться.

В конечном итоге, из тензора остаточных пластических деформаций для плоской задачи остался один компонент — продольные остаточные пластические деформации, которые вносят основной вклад в остаточное напряженное состояние благодаря резко неравномерному распределению их по поперечному сечению соединения. Эпюру остаточ-

ных продольных пластических деформаций укорочения будем считать одинаковой во всех поперечных сечениях соединения в пределах длины шва вне зависимости от того, одновременно или неодновременно по длине заваривался шов. На современном уровне развития представлений по данному вопросу не рассматривается идея об анализе остаточного напряженного состояния исходя из предположения о различной эпюре ϵ' в разных поперечных сечениях по длине шва. Экспериментальным путем с учетом погрешностей существующих способов измерений получают практически одинаковую эпюру ϵ' во всех поперечных сечениях, за исключением концевых участков небольшой протяженности, чем, по-видимому, можно пренебречь.

Физическая основа предлагаемого расчетного метода упругих решений состоит в компенсации объемов укорочения дифференциальных элементов в зоне пластических деформаций, обусловленных остаточной продольной пластической деформацией, за счет упругих деформаций от внешнего воздействия, переходящего в разряд внутренних сил в виде напряжений по сопрягаемым поверхностям после установления между ними межатоминых связей. Физической основой любого метода упругих решений является компенсация пластических деформаций упругими. Суть вопроса состоит только в полноте и степени точности учета пластических остаточных деформаций, что, в свою очередь, определяется возможностями расчетных схем метода и его математическими основами.

Расчетные схемы предлагаемого метода, обеспечивающие реализацию его физических основ, базируются на теории хрупких трещин в пластиках и методе комплексных потенциалов для решения плоской задачи теории упругости.

Математической основой предлагаемого метода является теория аналитических функций комплексного переменного.

Интеграл по ширине пластической зоны произведение остаточных пластических продольных деформаций укорочения на длину $2L$ и толщину δ сварного соединения определяет собой объем V продольного укорочения при сварке:

$$V = 2 \cdot 2L\delta \int_0^{b_n} \epsilon'(x) dx. \quad (3.1)$$

Далее рассмотрим пластину таких же размеров, как и сварное соединение, в средней части которой в направлении оси Y расположено достаточно много вырезов-трещин. Расстояние между противоположными берегами одного выреза

$$2v(x) = -\epsilon'(x)\Delta, \quad (3.2)$$

где Δ — расстояние между вырезами-трещинами.

Суммарный объем всех вырезов-трещин для соединения длиной $2L$ равен объему V продольного укорочения при сварке.

Продольное укорочение металла при сварке получается рассредоточенным указанным образом вдоль всей пластины (сварного соединения) в границах зоны пластических деформаций $2b_n$.

Закрывание вырезов-трещин путем приложения к их берегам соответствующей нагрузки, чтобы между берегами установились межатомные

связи, приводит при $\Delta \rightarrow 0$ к возникновению в пластине такого же напряженного состояния, как и в сварном соединении. Подобно тому, подход к определению остаточного напряженного состояния при сварке является наиболее естественным и правильным.

Поскольку каждый закрытый вырез-трещину можно рассматривать как совокупность пар красных дислокаций некоторой плотности, распределенных вдоль отрезка $[-b_n, b_n]$ оси X с заданной плотностью, возникающее при этом в пластине напряженное состояние часто называют *дислокационным*. В связи с этим совокупность представлений расчетного метода и конкретных результатов, полученных с его помощью, можно называть *дислокационными представлениями* об остаточных напряжениях при сварке.

Может показаться, что такой подход к определению остаточного напряженного состояния является трудно реализуемым и несостоятельным, так как неизвестны эпюры остаточных пластических деформаций укорочения ϵ' для каждого соединения с конкретными размерами. Однако этого и не нужно знать. Решение для сварного соединений ограниченных размеров будет получено исходя из решения задачи о напряженном состоянии в бесконечной плоскости с бесконечным швом, обладающего, как будет показано ниже, свойством локальности. Это свойство позволяет получить достаточно эффективное решение для сварного соединения ограниченных размеров, автоматически учитывающее изменение эпюры ϵ' в связи с влиянием на нее ограниченности размеров соединения. Решения для бесконечной и ограниченной областей должны переходить друг в друга при изменении ограниченной области в ту или другую сторону.

Вопрос об определении эпюры деформаций ϵ' для сварного соединения конечных размеров в данном расчетном методе не ставится, так как в этом нет необходимости. При решении задачи о напряженном состоянии в конкретном соединении необходимо знать эпюру ϵ' зоны пластических деформаций в данном соединении, которая может быть определена каким-либо расчетным методом или экспериментальным путем, а также эпюру деформаций ϵ' при таком же размере $2b_n$ для сварного соединения бесконечных размеров с бесконечным швом из такого же материала. Эпюра деформаций ϵ' для бесконечной плоскости со швом может быть установлена для данного материала, например, экспериментальным путем при сварке достаточно больших образцов ($b_n/B < 0,1$, $2B$ — ширина соединения). Для широко применяемых в сварных конструкциях материалов обобщение известных экспериментальных данных различных авторов дает основание принять для ϵ' зависимость

$$\epsilon'(x) = -\frac{k\sigma_T}{b_n} \sqrt{b_n^2 - x^2} \quad (|x| \leq b_n), \quad (3.3)$$

где σ_T — деформация, соответствующая пределу текучести σ_T ; k — коэффициент, учитывающий отклонение продольных остаточных напряжений в бесконечном шве от предела текучести в связи с особенностями материала и применяемого способа сварки (для низкоуглеродистых и большинства низколегированных сталей $k = 1$, алюминиевых и титановых сплавов — $\sim 0,6 \dots 0,8$, вольфрамовых сплавов — $\sim 0,4 \dots$

...0,6, некоторых логарифмических упрочняющих стальной — $k \geq 1$ (т. д.).

Чтобы найти суммарное напряженное состояние в бесконечной плоскости от множества закрытых вырезов-трещин, необходимо воспользоваться суммированием напряженных состояний, возникающих в бесконечной плоскости при закрытии одного надреза-трещины при приложении к его берегам соответствующей нагрузки. Для обобщенного плоского напряженного состояния задача о напряженно-деформированном состоянии в бесконечной плоскости с прямолинейным надрезом-трещиной профиля

$$v(x) = -\frac{1}{2} \Delta v'(x), \quad (3.4)$$

к берегам которого приложена нормальная нагрузка $g(\xi)$ в локальной системе координат $\xi O \eta$, связанной с центром выреза, закрытая надрез во всех точках по его длине, в принципиальном отношении является решенной в теории трещин. Компоненты напряженно-деформированного состояния $\bar{\sigma}_{ij}(\xi, \eta)$, перемещения $u(\xi, \eta)$ и $v(\xi, \eta)$ определяются зависимостями (ν и E — коэффициент Пуассона и модуль упругости):

$$\bar{\sigma}_{ij}(\xi, \eta) = \operatorname{Re} Z_i(\xi, \eta) - \eta \operatorname{Im} Z_i(\xi, \eta); \quad (3.5)$$

$$\bar{\sigma}_{xx}(\xi, \eta) = \operatorname{Re} Z_I(\xi, \eta) + \eta \operatorname{Im} Z_I(\xi, \eta); \quad (3.6)$$

$$\bar{\tau}_{xy}(\xi, \eta) = -\eta \operatorname{Re} Z_I(\xi, \eta); \quad (3.7)$$

$$U(\xi, \eta) = \frac{1}{E} [(1 - \nu) \operatorname{Re} Z_I^0(\xi, \eta) - \eta (1 + \nu) \operatorname{Im} Z_I(\xi, \eta)]; \quad (3.8)$$

$$v(\xi, \eta) = \frac{1}{E} [2 \operatorname{Im} Z_I^0(\xi, \eta) - \eta (1 + \nu) \operatorname{Re} Z_I(\xi, \eta)]; \quad (3.9)$$

$$Z_I(\zeta) = \frac{1}{\pi \sqrt{\zeta^2 - b_0^2}} \int_{-b_0}^b \frac{g(\xi) \sqrt{b_0^2 - \xi^2}}{\zeta - \xi} d\xi; \quad (3.10)$$

$$Z_I(\zeta) = dZ_I(\zeta)/d\zeta; \quad Z_I^0(\zeta) = \int Z_I(\zeta) d\zeta; \quad \zeta = \xi + i\eta.$$

Если профиль выреза определяется согласно (3.3), то его можно закрыть во всех точках по длине, приложив к берегам равномерно распределенную нагрузку $g(\xi) = \operatorname{const} = \sigma_*$. В этом легко убедиться, если определить по формуле (3.9) перемещение берегов трещины $v(\xi, \eta = 0)$ после предварительного нахождения функции $Z_I(\zeta)$ согласно (3.10).

Итак, найдем и проанализируем функцию $Z_I(\zeta)$. На основании (3.10)

$$Z_I(\zeta) = \frac{\sigma_*}{\pi \sqrt{\zeta^2 - b_0^2}} \int_{-b_0}^b \frac{\sqrt{b_0^2 - \xi^2}}{\zeta - \xi} d\xi. \quad (3.11)$$

С помощью теоремы о вычетах вычислим в (3.11) интеграл и получим

$$Z_I(\zeta) = \sigma_* \left(\sqrt{\zeta^2 - b_0^2} - 1 \right). \quad (3.12)$$

Аналитическая функция $Z_1(\zeta)$ является двузначной и заданной на двухлистной римановой поверхности с особыми точками второго порядка $|\zeta| = \pm b_n$, в которых она разветвляется. После выполнения разреза по отрезку $[-b_n, b_n]$ действительной оси риманова поверхность для данной функции распадается на две отдельные плоскости с разрезами по отрезку прямой, и, таким образом, происходит выделение регулярных ветвей функции. В дальнейшем под $Z_1(\zeta)$ будем понимать одну из ветвей, например, ту, у которой значение корня берется положительным.

Дифференцируя (3.12) по комплексной переменной ζ , получаем

$$Z_1'(\zeta) = -\sigma_* \frac{b_n^2}{V(\zeta^2 - b_n^2)^3}. \quad (3.13)$$

Величина нагрузки σ_* и расстояние Δ между вырезами-трещинами в пластической зоне связаны между собой определенным соотношением, которое будет установлено ниже.

3.2. РАЗРАБОТКА ИНТЕГРАЛЬНОЙ ФОРМУЛИРОВКИ ЗАДАЧИ

Положение о том, что суммарное напряженное состояние в сварном соединении необходимо получать при суммировании напряженных состояний в бесконечной плоскости от отдельно взятых закрытых вырезов-трещин (расстояние между ними стремится к нулю), понятно из самой физической идеи расчетного метода, однако пока не ясно, как это сделать. Здесь возникает необходимость в переводе основной идеи метода на язык математики в интегральной форме.

Бесконечный шов в бесконечной плоскости. В этом сварном соединении напряженное состояние в любом поперечном сечении можно представить в следующей интегральной форме в системе координат $\xi O \eta$, связанной с данным сечением и осью η , которая направлена вдоль шва:

$$\sigma_{\eta}^{\prime} = \lim_{\Delta \rightarrow 0} \frac{1}{\Delta} \int_{-\infty}^{\infty} \bar{\sigma}_{\eta}^{\prime} d\eta, \quad (3.14)$$

где $\bar{\sigma}_{\eta}^{\prime}$ — напряженное состояние в бесконечной плоскости с одним закрытым вырезом-трещиной, расположенным в пластической зоне в том поперечном сечении, в точках которого определяются напряжения σ_{η}^{\prime} . Это представление требует доказательства. Докажем справедливость (3.14) следующим образом.

Пусть напряженное состояние σ_{η}^{\prime} определяется в сечении $\eta = 0$. Тогда вклад в напряжения σ_{η}^{\prime} в точках данного сечения, вносимый закрытыми вырезами, расположенными выше и ниже данного сечения, будет определяться отрезками a, b, c, \dots , с соответствующими напряжениями $\bar{\sigma}_{\eta}^{\prime}(\xi, \eta)$ от отдельно расположенных по длине шва единичных закрытых вырезов. Иначе говоря, напряженное состояние σ_{η}^{\prime} пропорционально заштрихованной на рис. 3.1 площади, огра-

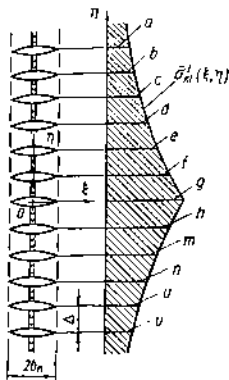


Рис. 3.1. Определение напряжений в сечении $\eta = 0$ сварного соединения с бесконечным швом в плоскости

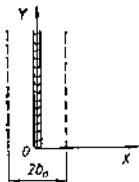


Рис. 3.2. Полубесконечный шов в плоскости

ниченной кривой $\bar{\sigma}_{ij}(\xi, \eta)$ и осью η в пределах длины шва, т. е. от $-\infty$ до ∞ для одиночного выреза в сечении $\eta = 0$.

Таким образом, можно ввести понятие о закрытом главном вырезе-трещине с нормальной нагрузкой на берегах σ_n , создающем в пластине напряжения, интеграл которых в пределах длины шва, по линии, ему эквивалентной, определяет искомые напряжения в сварном соединении, где расположен главный вырез.

Напряженное состояние $\bar{\sigma}_{ij}(\xi, \eta)$ в бесконечной плоскости с одним закрытым вырезом является самоуравновешенным и исчезающим на бесконечности. Поэтому

$$\sigma_{ii}(\xi) = \int_{-\infty}^{\infty} \bar{\sigma}_{ii}(\xi, \eta) d\eta = 0; \quad (3.15)$$

$$\tau_{ij}(\xi) = \int_{-\infty}^{\infty} \bar{\tau}_{ij}(\xi, \eta) d\eta = 0. \quad (3.16)$$

Тогда на основании выражения (3.5) имеем

$$\int_{-\infty}^{\infty} \operatorname{Re} Z_i(\xi, \eta) d\eta = \int_{-\infty}^{\infty} \eta \operatorname{Im} Z_j(\xi, \eta) d\eta. \quad (3.17)$$

Следовательно,

$$\sigma_{ij}(\xi) = \lim_{\Delta \rightarrow 0} \frac{2}{\Delta} \int_{-\infty}^{\infty} \operatorname{Re} Z_i(\xi, \eta) d\eta. \quad (3.18)$$

Полубесконечный шов в бесконечной плоскости. Напряженное состояние в рассматриваемой задаче представляет научный и практический интерес, так как на ее основе можно получить распределение напряжений в сварном соединении с Т-образным расположением швов,

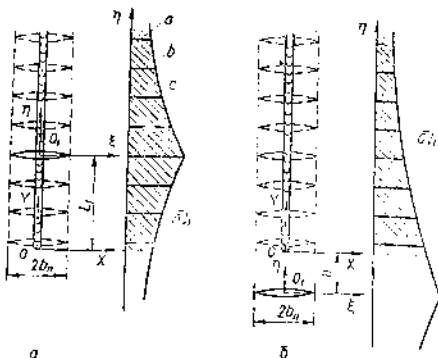


Рис. 3.3. Определение напряжений в сечениях $\eta = 0$ и пределах длины шва (а) и ниже (б) сварного соединения с полубесконечным швом в плоскости

которое очень широко распространено в сварных листовых конструкциях.

Введем центральную систему координат XOY , связанную с началом шва, как показано на рис. 3.2. Пусть главный вырез расположен в сечении $y = L_1$ (рис. 3.3, а). Вклад в напряженное состояние в точках данного сечения от закрытых вырезов, расположенных ниже и выше сечения, определяется отрезками a, b, c, \dots . При учете бесконечной малости расстояния между вырезами суммарное напряженное состояние в точках сечения $y = L_1$ пропорционально заштрихованной площади на рис. 3.3, а, ограниченной кривой σ'_{kf} и осью η . Поэтому

$$\sigma'_{kf} = \lim_{\Delta \rightarrow 0} \frac{1}{\Delta} \int_{-L_1}^{\infty} \bar{\sigma}'_{kf} d\eta. \quad (3.19)$$

Если напряжения σ'_{kf} определяют в сечении $y = H$ ниже шва (рис. 3.3, б), то в результате аналогичных рассуждений имеем выражение

$$\sigma'_{kf} = \lim_{\Delta \rightarrow 0} \frac{1}{\Delta} \int_H^{\infty} \bar{\sigma}'_{kf} d\eta. \quad (3.20)$$

Шов ограниченной длины в бесконечной плоскости. Эта задача также представляет большой интерес, так как позволяет выявить закономерности изменения напряженного состояния при изменении длины шва, что очень важно с точки зрения оптимизации напряженного состояния при решении различных прочностных задач.

Рис. 3.4. Шов ограниченной длины в бесконечной плоскости

Так же как и в предыдущем случае, введем центральную систему координат XOY , но центр ее поместим в центре шва (рис. 3.4).

На рис. 3.5 показан подход к определению суммарного напряженного состояния в сечении $\eta = 0$, где расположен главный вырез, для трех возможных случаев, когда сечение $\eta = 0$ находится в пределах длины шва, а также вне этих пределов в верхней или нижней части плоскости.

Таким образом, справедливы следующие выражения:

$$\sigma'_{kl} = \lim_{\Delta \rightarrow 0} \frac{1}{\Delta} \int_{-L_1}^{L_2} \bar{\sigma}'_{kl} d\eta; \quad (3.21)$$

$$\sigma'_{kl} = \lim_{\Delta \rightarrow 0} \frac{1}{\Delta} \int_S \bar{\sigma}'_{kl} d\eta; \quad (3.22)$$

$$\sigma'_{kl} = \lim_{\Delta \rightarrow 0} \frac{1}{\Delta} \int_{-(2L+S)}^{-S} \bar{\sigma}'_{kl} d\eta. \quad (3.28)$$

Как будет показано ниже, в рассматриваемой задаче при малой длине шва необходимо учитывать вклад в напряженное состояние поперечной остаточной пластической деформации ϵ^* . Вопрос о распределении в сварных соединениях ϵ^* мало изучен. Однако исходя из имеющихся экспериментальных данных можно дать верхнюю оценку вклада ϵ^* в напряженное состояние, полагая ее распределение в пластической зоне подобным распределению ϵ' и рассматривая длину шва как ши-

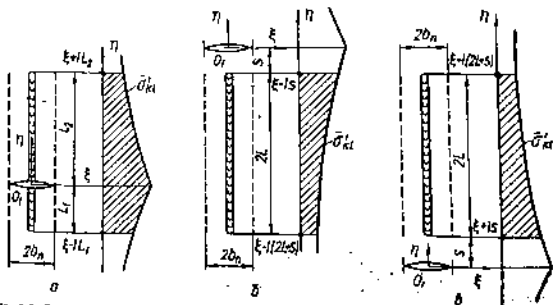


Рис. 3.5. Определение напряжений в сечении $\eta = 0$ в пределах длины шва (а), выше шва (б) и ниже шва (в) сварного соединения со швом ограниченной длины в бесконечной плоскости

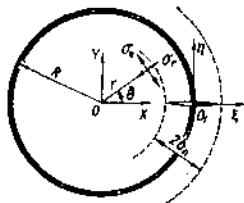


Рис. 3.6. Круговой шов в бесконечной плоскости

рину $2b_p$, а ширину пластической зоны как длину шва. При таком подходе вклад ϵ' в напряженное состояние будет определяться аналогично вкладу ϵ'' .

Круговой шов в бесконечной плоскости. Предлагаемый расчетный метод можно обобщить для случая сварки круговых швов в бесконечной плоскости.

Рассматриваемая задача относится к классическим задачам о напряженном состоянии в сварных соединениях и имеет большое теоретическое и практическое применение в различных вариантах. Результаты отдельных частных случаев исследования напряженного состояния при сварке круговых швов изложены в ряде работ. Однако, как показывает анализ этих результатов, рассматриваемую задачу в настоящее время никак нельзя считать в полной мере изученной.

Напряженное состояние σ_{ij} в бесконечной плоскости с круговым швом будет определяться суммой напряженных состояний σ_{ij} и σ_{ij}^0 от действия остаточной пластической деформации укорочения в пластической зоне $2b_p$ соответственно продольного (окружного) ϵ' и поперечного (радиального) ϵ'' по отношению к шву направлений.

Вначале рассмотрим вопрос об определении напряженного состояния ϵ'_{ij} . Идея представления суммарного напряженного состояния, вызванного продольной остаточной пластической деформацией укорочения, путем суммирования напряженных состояний от закрытых вырезов-трещин, расположенных определенным образом в пластической зоне, вполне может быть распространена и на круговые швы. В этом случае вырезы должны быть равномерно расположены в радиальных сечениях по окружности S_R , соответствующей положению кругового шва на плоскости. Длина выреза равна ширине пластической зоны. Вырезы закрываются приложением к их берегам равномерно распределенной нагрузки σ_n . Форма вырезов такова, что суммирование их раскрытий по окружности дает объем окружного укорочения в пластической зоне, а приложение к их берегам нагрузки σ_n обеспечивает их закрытие во всех точках по длине.

Для решения задачи введем две декартовы системы координат XOY и $\xi O, \eta$ и полярную систему (r, θ) , показанные на рис. 3.6. Рассматриваемую задачу считаем осесимметричной, что подтверждается известными расчетными и экспериментальными данными, за исключением небольшой области в месте встречи начала и конца шва. В связи с этим напряженное состояние от угла θ не зависит.

Для решения задачи потребуется переход на декартову систему координат $\xi O, \eta$ в полярную систему (r, θ) , связанную с центром окружности S_R . В полярной системе координат должны рассматриваться в произвольной точке вместо $\sigma_x, \sigma_y, \tau_{xy}$ напряжения σ_r, σ_θ и $\sigma_{r\theta}$. Компоненты напряжений в полярной системе координат имеют определенную связь с компонентами напряжений в декартовой системе.

Для решения задачи потребуется переход на декартову систему координат $\xi O, \eta$ в полярную систему (r, θ) , связанную с центром окружности S_R . В полярной системе координат должны рассматриваться в произвольной точке вместо $\sigma_x, \sigma_y, \tau_{xy}$ напряжения σ_r, σ_θ и $\sigma_{r\theta}$. Компоненты напряжений в полярной системе координат имеют определенную связь с компонентами напряжений в декартовой системе.

Эта связь определяется зависимостями для напряжений на наклонной площадке, проходящей через заданную точку.

Из общих зависимостей для компонент напряжений на наклонной площадке в системе $\xi O_1 \eta$ применительно к нашему случаю двумерной задачи получим выражения напряжений на этой площадке в полярной системе (r, θ) :

$$\bar{\sigma}_r = \bar{\sigma}_x^0 \cos^2 \theta + \bar{\sigma}_y^0 \sin^2 \theta + \bar{\tau}_{xy}^0 \sin 2\theta;$$

$$\bar{\sigma}_\theta = \bar{\sigma}_x^0 \cos^2 \theta + \bar{\sigma}_y^0 \sin^2 \theta - \\ - \bar{\tau}_{xy}^0 \sin 2\theta;$$

$$\bar{\tau}_{r\theta} = \frac{1}{2} (\bar{\sigma}_x^0 - \bar{\sigma}_y^0) \sin 2\theta - \bar{\tau}_{xy}^0 \cos 2\theta. \quad (3.24)$$

Подставим в (3.24) выражения (3.5)...(3.7) с учетом того, что в полярной системе $y = r \sin \theta$:

$$\bar{\sigma}_r = \operatorname{Re} Z_I(r, \theta) - r [\sin \theta \cos 2\theta \operatorname{Im} Z_I(r, \theta) + \\ + \sin \theta \sin 2\theta \operatorname{Re} Z_I(r, \theta)];$$

$$\bar{\sigma}_\theta = \operatorname{Re} Z_I(r, \theta) + r [\sin \theta \cos 2\theta \operatorname{Im} Z_I(r, \theta) + \\ + \sin \theta \sin 2\theta \operatorname{Re} Z_I(r, \theta)];$$

$$\bar{\tau}_{r\theta} = r \sin \theta \cos 2\theta \operatorname{Re} Z_I(r, \theta) - r \sin \theta \sin 2\theta \operatorname{Im} Z_I(r, \theta). \quad (3.25)$$

Возможность интегрального представления суммарного напряженного состояния $\bar{\sigma}_{II}(r)$, как последовательной суммы напряженных состояний в рассматриваемой точке от периодической системы закрытых вырезов-трещин, расположенных в радиальных сечениях по окружности C_R , схематично показано на рис. 3.7. Например, закрытые вырезы, расположенные в сечениях $\theta = 0, \theta_1, \dots, \theta_3$, создают в точке $(r = R, \theta = 0)$ напряжения, определяемые соответствующими отрезками a, b, c, \dots, f .

Так определяется вклад от вырезов, расположенных на верхней полуокружности шва. Такой же вклад дает и нижняя полуокружность шва. Таким образом, суммарные напряжения в точке с радиусом r будут пропорциональны заштрихованной на рис. 3.7 площади, ограниченной окружностью C_R и кривой $\bar{\sigma}_{II}'$ для главного выреза, расположенного в сечении $\theta = 0$ или в любом другом сечении. Следовательно, справедливо выражение

$$\bar{\sigma}_{II}(r) = \lim_{\Delta r \rightarrow 0} \frac{1}{\Delta r} \int_{C_R} \bar{\sigma}_{II}'(r) r d\theta, \quad (3.26)$$

где $\Delta r = 2\pi r / n$ (n — число закрытых вырезов в кольце пластической зоны $(R - b_n) \leq r \leq (R + b_n)$).

Решение задачи о напряженном состоянии для кругового шва радиуса R при $R \rightarrow \infty$ должно переходить в решение для бесконеч-

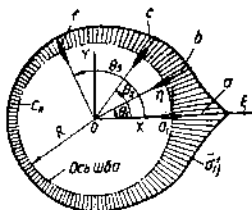


Рис. 3.7. Определение напряжений в сечении $\theta = 0$ суммарного состояния с круговым швом в бесконечной плоскости

ного шва в бесконечной плоскости. Из этих соображений ясно, что и в круговом шве на радиусе R должно быть $\Delta_r = \Delta$, а при переходе на другой радиус r величина Δ_r должна изменяться пропорционально отношению r/R . Итак, будем иметь

$$\sigma_{ij}(r) = \lim_{\Delta_r \rightarrow 0} \frac{1}{\Delta_r} \int_{C_r} \dots = \lim_{\Delta \rightarrow 0} \frac{R}{\Delta_r} \int_{C_r} \bar{\sigma}_{ij}(r) r d\theta. \quad (3.27)$$

В записях (3.14), (3.18) ... (3.23) за знак интеграла можно вынести нагрузку σ_{ij} , действующую на берега единичного элементарного закрытого выреза, которая определенным образом связана с расстоянием Δ между вырезами так, что при $\Delta \rightarrow 0$ имеем $\sigma_{ij} \rightarrow 0$. Если в бесконечной плоскости в некоторой прямоугольной области длиной $2b_n$ и бесконечно малой шириной Δ имеется в направлении Δ остаточная пластическая деформация укорочения ε' согласно (3.3), то при образовании в этой области в среднем сечении разреза длиной $2b_n$ его берега раскроются по закону

$$2v(x) = -\Delta \varepsilon' (x) = \frac{\Delta k \varepsilon_r}{b_n} \sqrt{b_n^2 - x^2}. \quad (3.28)$$

При таком законе перемещения берегов выреза его можно закрыть приложением к берегам равномерной закрывающей нагрузки σ^* и тогда на основании (3.9)

$$2v(x) = \frac{4}{E} \text{Im } Z_1^0 = -\frac{4\sigma_*}{E} \sqrt{b_n^2 - x^2}. \quad (3.29)$$

Приравнявая правые части (3.28) и (3.29), получим

$$\sigma_* = -(k\sigma_r \Delta)/4b_n. \quad (3.30)$$

Тогда

$$\lim_{\Delta \rightarrow 0} \sigma_* / \Delta = -(k\sigma_r)/4b_n \quad (3.31)$$

и, следовательно, все приведенные выше выражения для напряжений в рассмотренных соединениях могут быть записаны с учетом данного предела.

Далее рассмотрим вопрос об определении напряженного состояния в соединении с круговым швом, обусловленного остаточной пластической деформацией радиального направления ε_r^* .

Бесконечную плоскость с круговым швом разрежем по окружности C_r , лежащей в пределах пластической зоны. За счет ε_r^* в данном кольцевом сечении будем иметь зазор Δ между полученным диском и плоскостью с отверстием, который можно определить по формуле

$$\Delta = \varepsilon_r^* \bar{r} d\bar{r}. \quad (3.32)$$

Приложим к диску и пластине с отверстием по контуру равномерно распределенную растягивающую нагрузку p , которая могла бы закрыть имеющийся зазор Δ . Нагрузку p определяем исходя из уравнения

$$u_{r/r=\bar{r}}^{\text{диск}} - u_{r/r=\bar{r}}^{\text{отв}} = \Delta, \quad (3.33)$$

в левой части которого записаны радиальные перемещения контурных точек соответственно для диска и плоскости с отверстием.

Воспользуемся методом комплексных потенциалов для определения напряжений и перемещений в диске и пластине с отверстием. Основные зависимости данного метода имеют вид:

$$\sigma_r + \sigma_\theta = 2 [\Phi(z) + \overline{\Phi(\bar{z})}]; \quad (3.34)$$

$$\sigma_\theta - \sigma_r + i2\tau_{r\theta} = 2 [\bar{z}\Phi'(z) + \Psi(z)] e^{i\theta}; \quad (3.35)$$

$$2\sigma(u_r + iu_\theta) = [\kappa\varphi(z) - \overline{\kappa\varphi'(z)}] - \overline{\psi(z)} e^{-i\theta}; \quad (3.36)$$

$$G = E/2(1 + \nu); \quad \kappa = 3 - 4\nu.$$

Правые части (3.34)...(3.36) записаны через комплексные потенциалы, зависящие от формы и размеров рассматриваемой области, а также приложенных к ней нагрузок. Согласно [9] будем иметь:

а) для диска

$$\Phi(z) = rz/2 = pr^2/2; \quad \Phi(\bar{z}) = \overline{\Phi(z)} = \varphi'(z) = \overline{\varphi'(z)} = p/2;$$

$$\psi(z) = \overline{\psi(z)} = \Psi(z) = \overline{\Psi(z)} = 0;$$

б) для плоскости с отверстием

$$\Psi(z) = \overline{\Psi(z)} = -p(\bar{r} + \bar{\Delta})^2/z^2 = -p(\bar{r} + \bar{\Delta})^2/r^2 \approx -p\bar{r}^2/r^2 (\bar{\Delta} \ll \bar{r});$$

$$\psi(z) = \overline{\psi(z)} = p(\bar{r} + \bar{\Delta})^2/z = p(\bar{r} + \bar{\Delta})^2/r \approx p\bar{r}^2/r;$$

$$\Phi(z) = \overline{\Phi(z)} = \varphi'(z) = \overline{\varphi'(z)} = \varphi'(z) = \overline{\varphi'(z)} = 0.$$

Таким образом

$$u_{r/r=0}^{\text{диска}} = \frac{\bar{p}r}{4G} (\kappa - 1); \quad u_{r/r=\bar{r}}^{\text{плат}} = -\frac{2\bar{p}\bar{r}}{4G}. \quad (3.37)$$

Подставляя (3.37) в (3.33), получаем

$$\frac{\bar{p}r}{4G} (\kappa + 1) = e^*(\bar{r}) d\bar{r},$$

откуда

$$p = \frac{2E}{(\kappa + 1)(1 + \nu)} \frac{e^*(\bar{r})}{\bar{r}} d\bar{r}. \quad (3.38)$$

Полученная зависимость для p позволяет предложить принципиально новый подход в определении напряжений σ_{ij} в различных областях сварного соединения с круговым швом от действия e^* .

Составим исходные определяющие зависимости для напряжений в каждой области сварного соединения:

1. Внутренняя область $0 \leq r \leq (R - b_n)$. Любое кольцевое сечение S_r в пределах пластической зоны разделяет плоскость на диск и плоскость с отверстием. При этом рассматриваемая внутренняя область всегда будет находиться в диске радиуса r с нагрузкой по контуру p согласно (3.38). Поэтому в диске от этой нагрузки возникнут в соответствии с (3.34) и (3.35) следующие напряжения:

$$d\sigma_r^* = d\sigma_\theta^* = \frac{2E}{(\kappa + 1)(1 + \nu)} \frac{e^*(\bar{r})}{\bar{r}} d\bar{r}. \quad (3.39)$$

Суммируя вклад от всех кольцевых сечений в пределах ширины пластической зоны, имеем

$$\sigma_r = \sigma_{\theta}'' = \frac{2E}{(\kappa+1)(1+\nu)} \int_{R-b_n}^{R+b_n} \frac{\varepsilon^*(\bar{r})}{\bar{r}} d\bar{r}. \quad (3.40)$$

2. Область пластической зоны $(R-b_n) \leq r \leq (R+b_n)$. Рассмотрим напряжения в кольцевом произвольном сечении C_r , по отношению к которому аналогичные кольцевые сечения $C_{\bar{r}}$ с нагрузкой p могут быть расположены с внутренней и с внешней стороны. Если сечение $C_{\bar{r}}$ расположено с внутренней стороны, то в сечении C_r напряжения будем определять как в пластине с отверстием. В случае внешнего расположения $C_{\bar{r}}$ напряжения в C_r должны определяться как в диске. В соответствии с этими замечаниями имеем

$$\sigma_{r,\theta}'' = \frac{2E}{(\kappa+1)(1+\nu)} \left\{ \pm \int_{R-b_n}^r \frac{\bar{r} \varepsilon^*(\bar{r})}{\bar{r}^2} d\bar{r} + \int_r^{R+b_n} \frac{\varepsilon^*(\bar{r})}{\bar{r}} d\bar{r} \right\}. \quad (3.41)$$

Здесь и далее верхние знаки перед слагаемыми будут относиться к σ_r'' , а нижние — к σ_{θ}'' .

3. Внешняя область $((R+b_n) \leq r \leq \infty)$. Для данной области в любом кольцевом сечении C_r напряжения $\sigma_{r,\theta}''$ необходимо определять как для пластины с отверстием, поскольку все сечения $C_{\bar{r}}$ в пластической зоне по отношению к сечению C_r будут внутренними. Следовательно,

$$\sigma_{r,\theta}'' = \pm \frac{2E}{(\kappa+1)(1+\nu)} \int_{R-b_n}^{R+b_n} \bar{r} \varepsilon^*(\bar{r}) d\bar{r}. \quad (3.42)$$

3.3. РЕШЕНИЕ ОПРЕДЕЛЯЮЩИХ ИНТЕГРАЛОВ

В § 3.2 было показано, что определение напряженного состояния в сварных соединениях с прямолинейными швами должно осуществляться на основе интегрирования в пределах длины шва распределения заданного компонента тензора напряжений, возникающего вдоль контура интегрирования при закрытии главного выреза в данном поперечном сечении. В связи с этим решение задачи сводится к решению следующих трех типов интегралов:

$$I_1 = \int \operatorname{Re} I_1(\xi, \eta) d\eta; \quad (3.43)$$

$$I_2 = \int \eta \operatorname{Im} Z_1'(\xi, \eta) d\eta; \quad (3.44)$$

$$I_3 = \int \eta \operatorname{Re} Z_1'(\xi, \eta) d\eta. \quad (3.45)$$

Несмотря на относительно простой вид функций $Z_1(\xi)$ и $Z_1'(\xi)$, определяемых выражениями (3.12) и (3.13), выполнить непосредственное аналитическое интегрирование их действительных и мнимых ча-

стей, как это требуется для решения интегралов I_1 , I_2 и I_3 , не представляется возможным в результате возникающих математических трудностей. Поэтому разработан эффективный косвенный обобщенный метод решения указанных интегралов для функций Z и Z_1 любого вида, принадлежащих классу аналитически интегрируемых функций.

Решение интеграла I_1 . Если контур интегрирования Γ является произвольным, педиком лежит в области аналитичности функции F , не пересекает разреза и соединяет точки начала ξ_1 и конца ξ_2 интегрирования, то

$$\int_{\Gamma} F d\zeta = \int_{\xi_1}^{\xi_2} F d\zeta = \int \operatorname{Re} F d\xi - \int \operatorname{Im} F d\eta + \\ + i \int \operatorname{Im} F d\xi + i \int \operatorname{Re} F d\eta. \quad (3.46)$$

Если контур интегрирования представляет собой прямую линию, параллельную шву (оси η), то $d\xi = 0$ и выражение (3.46) существенно упрощается:

$$\int_{\xi_1}^{\xi_2} F d\zeta = - \int \operatorname{Im} F d\eta + i \int \operatorname{Re} F d\eta. \quad (3.47)$$

Нетрудно видеть, что (3.47) определяет собой решение интеграла I_1 . Итак,

$$I_1 = \operatorname{Im} \int_{\xi_1}^{\xi_2} F d\zeta. \quad (3.48)$$

Решение интегралов I_2 и I_3 . Данные интегралы являются более сложными, и их решение можно найти на основе анализа следующего интеграла:

$$\int_{\Gamma} \zeta F d\zeta = \int \xi \operatorname{Re} F d\xi + i \int \eta \operatorname{Re} F d\xi + i \int \xi \operatorname{Im} F d\xi - \\ - \int \eta \operatorname{Im} F d\xi + i \int \xi \operatorname{Re} F d\eta - \int \eta \operatorname{Re} F d\eta - \\ - \int \xi \operatorname{Im} F d\eta - i \int \eta \operatorname{Im} F d\eta. \quad (3.49)$$

Для рассматриваемого случая, когда контур Γ параллелен оси η , из (3.49) имеем

$$\int_{\xi_1}^{\xi_2} \zeta F d\zeta = i\xi \int F d\eta - \int \eta \operatorname{Re} F d\eta - i \int \eta \operatorname{Im} F d\eta. \quad (3.50)$$

При $\xi = \text{const}$, как в случае интегрирования по η , имеем $d\zeta = i d\eta$. Поэтому для первого слагаемого в (3.50) будем иметь

$$i\xi \int_{\xi_1}^{\xi_2} F d\eta = \xi \int_{\xi_1}^{\xi_2} F d\zeta. \quad (3.51)$$

Перенесем это слагаемое в (3.50) из правой части в левую:

$$\int_{\zeta} \zeta F d\zeta - \xi \int_{\xi} F d\xi = - \int \eta \operatorname{Re} F d\eta - i \int \eta \operatorname{Im} F d\eta. \quad (3.52)$$

Таким образом, видно, что (3.52) определяет собой решение интегралов I_4 и I_5 :

$$I_4 = -\operatorname{Im} \left\{ \int_{\zeta} \zeta F d\zeta - \xi \int_{\xi} F d\xi \right\}; \quad (3.53)$$

$$I_5 = -\operatorname{Re} \left\{ \int_{\zeta} \zeta F d\zeta - \xi \int_{\xi} F d\xi \right\}. \quad (3.54)$$

Вычисление интегралов в правых частях (3.48), (3.53) и (3.54) принципиальных затруднений не встречает. Под функцией F следует понимать в (3.48) функцию Z_I , а в (3.53) и (3.54) — функцию Z'_I . Для сварного соединения с круговым швом определяющие интегралы имеют иной вид. Подставляя (3.25) в (3.27), получаем в развернутом виде:

$$\sigma_r(r) = \lim_{\Delta \rightarrow 0} \frac{R}{\Delta r} \left\{ \int_{\zeta_r} \operatorname{Re} Z_I r d\theta - \int_{\xi_r} r (\sin \theta \cos 2\theta \operatorname{Im} Z'_I + \sin \theta \sin 2\theta \operatorname{Re} Z'_I) r d\theta \right\}; \quad (3.55)$$

$$\sigma_\theta(r) = \lim_{\Delta \rightarrow 0} \frac{R}{\Delta r} \left\{ \int_{\zeta_r} \operatorname{Re} Z_I r d\theta + \int_{\xi_r} r (\sin \theta \cos 2\theta \operatorname{Im} Z'_I + \sin \theta \sin 2\theta \operatorname{Re} Z'_I) r d\theta \right\}; \quad (3.56)$$

$$\tau_{\theta\theta}(r) = \lim_{\Delta \rightarrow 0} \frac{R}{\Delta r} \{ r (\sin \theta \cos 2\theta \operatorname{Re} Z'_I - \sin \theta \sin 2\theta \operatorname{Im} Z'_I) r d\theta \} = 0. \quad (3.57)$$

Таким образом, задача сводится к решению двух типов интегралов:

$$I_4 = \int_{\zeta_r} \operatorname{Re} Z_I r d\theta; \quad (3.58)$$

$$I_5 = \int_{\xi_r} r (\sin \theta \cos 2\theta \operatorname{Im} Z'_I \sin \theta \sin 2\theta \operatorname{Re} Z'_I) r d\theta \quad (3.59)$$

для трех различных зон сварного соединения;

$$0 \leq r \leq (R - b_n); \quad (R - b_n) \leq r \leq (R + b_n); \quad (R + b_n) \leq r \leq \infty.$$

Решение интеграла I_4 . В плоскости комплексной переменной $z = x + iy$ интеграл от $F(z)$ по некоторому контуру Γ

$$\int_{\Gamma} F dz = \int \operatorname{Re} F dx - \int \operatorname{Im} F dy + i \int \operatorname{Im} F dx + i \int \operatorname{Re} F dy. \quad (3.60)$$

Чтобы решить задачу, необходимо представить данный интеграл в полярной системе координат (r, θ) . Учитывая, что в полярной сис-

теме координат $x = r \cos \theta$, $y = r \sin \theta$, $dz = (\cos \theta dr - r \sin \theta d\theta) + i(\sin \theta dr + r \cos \theta d\theta)$, можно преобразовать (3.60) к виду

$$\begin{aligned} \int_{\Gamma} F dz &= \int \operatorname{Re} F \cos \theta dr - \int r \sin \theta \operatorname{Re} F d\theta - \int \sin \theta \operatorname{Im} F dr - \\ &- \int r \cos \theta \operatorname{Im} F d\theta + i \int \cos \theta \operatorname{Im} F d\theta - i \int r \sin \theta \operatorname{Im} F d\theta + \\ &+ i \int \sin \theta \operatorname{Re} F dr + i \int r \cos \theta \operatorname{Re} F d\theta. \end{aligned} \quad (3.61)$$

Если интегрирование выполняется по окружности с фиксированным r , то $dr = 0$ и (3.61) упрощается:

$$\begin{aligned} \int_{C_r} F dz &= - \int_{C_r} r \operatorname{Re} F \sin \theta d\theta - \int_{C_r} r \operatorname{Im} F \cos \theta d\theta - \\ &- i \int_{C_r} r \operatorname{Im} F \sin \theta d\theta + i \int_{C_r} r \operatorname{Re} F \cos \theta d\theta. \end{aligned} \quad (3.62)$$

Рассмотрим следующий интеграл

$$\begin{aligned} \int_{C_r} \frac{F(z)}{z} dz &= \frac{1}{r} \int_{C_r} e^{-i\theta} (\operatorname{Re} F + i \operatorname{Im} F) (ir \cos \theta d\theta - \\ &- r \sin \theta d\theta) = \frac{i}{r} \int_{C_r} \operatorname{Re} F r d\theta - \frac{1}{r} \int_{C_r} \operatorname{Im} F r d\theta. \end{aligned} \quad (3.63)$$

Из (3.63) следует, что

$$I_3 = \operatorname{Im} \left\{ r \int_{\gamma_1}^{z_2} \frac{F(z)}{z} dz \right\}; \quad z_1, z_2 \in C_r. \quad (3.64)$$

Решение интеграла I_3 . Данное решение является существенно более сложным. Покажем, что оно следует из рассмотрения интеграла

$$\int_{C_r} (z^2 - r^2) F dz, \quad (3.65)$$

который можно преобразовать к виду

$$\begin{aligned} \int_{C_r} (z^2 - r^2) F dz &= \int_{C_r} r^2 (\cos 2\theta + i \sin 2\theta) (\operatorname{Re} F + i \operatorname{Im} F) \times \\ &\times (ir \cos \theta d\theta - r \sin \theta d\theta) - \int_{C_r} r^2 (\operatorname{Re} F + i \operatorname{Im} F) (ir \cos \theta d\theta - \\ &- r \sin \theta d\theta) = r^2 \int_{C_r} [i \cos \theta \cos 2\theta \operatorname{Re} F - \sin \theta \cos 2\theta \operatorname{Re} F + \\ &+ \sin \theta \sin 2\theta \operatorname{Im} F - i \cos \theta \sin 2\theta \operatorname{Im} F - \cos \theta \sin 2\theta \operatorname{Re} F - \\ &- \cos \theta \cos 2\theta \operatorname{Im} F - i \sin \theta \sin 2\theta \operatorname{Re} F - i \sin \theta \cos 2\theta \operatorname{Im} F + \\ &+ \sin \theta \operatorname{Re} F + i \sin \theta \operatorname{Im} F - i \cos \theta \operatorname{Re} F + \cos \theta \operatorname{Im} F] r d\theta = \\ &= \int_{C_r} r^2 [\sin \theta \sin 2\theta \operatorname{Im} F - \sin \theta \cos 2\theta \operatorname{Re} F - \cos \theta \sin 2\theta \operatorname{Re} F - \end{aligned}$$

$$\begin{aligned}
& -\cos \theta \cos 2\theta \operatorname{Im} F + \sin \theta \operatorname{Re} F + \cos \theta \operatorname{Im} F] r d\theta \dots \\
& -i2r \int_{\theta_r}^{\theta_s} r [\sin \theta \sin 2\theta \operatorname{Re} F + \sin \theta \cos 2\theta \operatorname{Im} F] r d\theta.
\end{aligned} \quad (3.56)$$

Следовательно,

$$I_6 = -\operatorname{Im} \left\{ \frac{1}{2r} \int_{z_1}^{z_2} (z^2 - r^2) F(z) dz \right\}; \quad z_1, z_2 \in C. \quad (3.57)$$

Под функцией $F(z)$ в (3.64) понимается $Z_I(z)$, а в (3.67) — $Z_I'(z)$.

На случай возможного перспективного обобщения предлагаемого расчетного метода определения остаточных напряжений, когда возникает необходимость вместо $\sigma_* = \text{const}$ принять переменное по длине шва $\sigma_*(\eta) = A_n \eta^n$ (n — целое число), приведем здесь полученные формулы для определения интегралов типа I_1, I_2, I_3 в общем виде:

$$\begin{aligned}
\int \eta^n \operatorname{Re} F(\xi, \eta) d\eta &= \operatorname{Im} \left\{ i^{-n} \int (\xi - \xi)^n F(\xi) d\xi \right\}; \\
\int \eta^n \operatorname{Im} F(\xi, \eta) d\eta &= -\operatorname{Re} \left\{ i^{-n} \int (\xi - \xi)^n F(\xi) d\xi \right\}.
\end{aligned}$$

Расчетный метод допускает возможность учета изменения ширины зоны пластических деформаций по длине шва. При этом в функциях Z_I и Z_I' изменится подкоренное выражение, что приведет к существенному усложнению конечных зависимостей для напряжений, но принципиальные затруднения здесь не возникнут. Кроме того, возможно также и численное вычисление интегралов.

3.4. К ВОПРОСУ О ВЫЧИСЛЕНИИ КОНТУРНЫХ ИНТЕГРАЛОВ

Приведенные в предыдущем разделе 3.3 зависимости (3.48), (3.53) и (3.54) для решения определяющих (т. е. таких, которые определяют суммарное напряженное состояние в сварном соединении) интегралов I_1, I_2 и I_3 выражаются через контурные интегралы следующего вида:

$$\int_{\zeta_1}^{\zeta_2} Z_I(\zeta) d\zeta; \quad \int_{\zeta_1}^{\zeta_2} \zeta Z_I'(\zeta) d\zeta; \quad \int_{\zeta_1}^{\zeta_2} Z_I'(\zeta) d\zeta.$$

Учитывая вид функций Z_I и Z_I' согласно (3.12) и (3.13), можно получить решения соответствующих неопределенных интегралов:

$$\begin{aligned}
\int Z_I(\zeta) d\zeta &= \sigma_* (V \zeta^2 - b_n^2 - \zeta); \\
\int \zeta Z_I'(\zeta) d\zeta &= \sigma_* b_n^3 \frac{1}{V \zeta^2 - b_n^2}; \\
\int Z_I'(\zeta) d\zeta &= \sigma_* \frac{\zeta}{V \zeta^2 - b_n^2}.
\end{aligned}$$

Последующее вычисление определенных интегралов, указанных выше, связано с подстановкой пределов интегрирования, которые могут быть расположены: оба в нижней полуплоскости ($\operatorname{Im} \zeta < 0$); оба

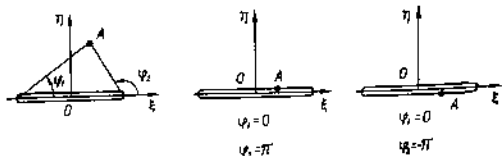


Рис. 3.8. Определяющие углы для функции $f(z) = \sqrt{z^2 - b_n^2}$ в произвольной точке плоскости $z = \xi + i\eta$

в верхней полуплоскости ($\text{Im } z > 0$) или верхний предел в верхней полуплоскости, а нижний — в нижней полуплоскости. Именно здесь возникают трудности, связанные с правильным выбором знака аргумента комплексных чисел под квадратным корнем. Рассмотрим более подробно данный вопрос.

Прежде всего отметим, что функция $f(z) = \sqrt{z^2 - b_n^2}$ комплексного переменного $z = \xi + i\eta$ принимает разные знаки на берегах разреза длиной $2b_n$ на отрезке $[-b_n, b_n]$ действительной оси ξ . На верхнем берегу имеем знак плюс, а на нижнем — минус. В этом легко убедиться, если представить $f(z)$ в показательной форме:

$$f(z) = \sqrt{z^2 - b_n^2} = \sqrt{(z - b_n)(z + b_n)} = \sqrt{re^{i\varphi_1} re^{i\varphi_2}} = re^{\frac{i(\varphi_1 + \varphi_2)}{2}}.$$

Если $f(z)$ определяется в некоторой точке A , расположенной в верхней или нижней полуплоскости, то углы φ_1 и φ_2 находят так, как показано на рис. 3.8. Если точка A расположена на верхнем берегу разреза, то

$$f(z) = re^{\frac{i(0+\pi)}{2}} = re^{i\pi/2} = r \left(\cos \frac{\pi}{2} + i \sin \frac{\pi}{2} \right) = ir.$$

В случае расположения точки A на нижнем берегу разреза будем иметь

$$f(z) = re^{\frac{i(0-\pi)}{2}} = re^{-i\pi/2} = r \left(\cos \frac{\pi}{2} - i \sin \frac{\pi}{2} \right) = -ir.$$

Эти же результаты на берегах разреза должны получаться и из общего представления функции $f(z)$ для точки A , расположенной в верхней или нижней полуплоскости. Пусть в нижней полуплоскости в точке $A_1 (\xi - iL_1)$, а в верхней — в точке $A_2 (\xi + iL_2)$ функция $f(z)$ представляется следующими соответствующими зависимостями:

$$f_1(z) = \sqrt{(\xi - iL_1)^2 - b_n^2},$$

$$f_2(z) = \sqrt{(\xi + iL_2)^2 - b_n^2}.$$

После преобразований будем иметь

$$f_1(\zeta) = \sqrt{(\xi^2 - b_n^2 - L_1^2) - i2\xi L_1} = \sqrt{te^{i\alpha}} = \sqrt{t} \left(\cos \frac{\alpha}{2} + i \sin \frac{\alpha}{2} \right);$$

$$f_2(\zeta) = \sqrt{\xi^2 - b_n^2 - L_2^2} + i2\xi L_2 = \sqrt{Te^{i\delta}} = \sqrt{T} \left(\cos \frac{\delta}{2} + i \sin \frac{\delta}{2} \right).$$

Неясность состоит в том, какие углы следует понимать под α и δ .

В рассматриваемых случаях под корнями имеем какие-то комплексные числа соответственно

$$\Delta_1 = (\xi^2 - b_n^2 - L_1^2) - i2\xi L_1 = M - iN;$$

$$\Delta_2 = (\xi^2 - b_n^2 - L_2^2) + i2\xi L_2 = P + iQ$$

в новой плоскости $z = x + iy$. В этой новой плоскости z числа Δ_1 и Δ_2 будут изображаться соответствующими точками A_1 и A_2 . Действительные M и P , а также мнимые N и Q части могут быть положительными и отрицательными. Возможны следующие варианты:

1. $\xi > 0$, $L_1 \neq 0$, $L_2 \neq 0$. Тогда $N > 0$, $Q > 0$;

а) $M < 0$ при $\xi < \sqrt{b_n^2 + L_1^2}$;

б) $M = 0$ при $\xi = \sqrt{b_n^2 + L_1^2}$;

в) $M > 0$ при $\xi > \sqrt{b_n^2 + L_1^2}$;

г) $P < 0$ при $\xi < \sqrt{b_n^2 + L_2^2}$;

д) $P = 0$ при $\xi = \sqrt{b_n^2 + L_2^2}$;

е) $P > 0$ при $\xi > \sqrt{b_n^2 + L_2^2}$.

2. $\xi < 0$, $L_1 \neq 0$, $L_2 \neq 0$. Тогда $N < 0$, $Q < 0$;

а) $M < 0$ при $\xi < \sqrt{b_n^2 + L_1^2}$;

б) $M = 0$ при $\xi = \sqrt{b_n^2 + L_1^2}$;

в) $M > 0$ при $\xi > \sqrt{b_n^2 + L_1^2}$;

г) $P < 0$ при $\xi < \sqrt{b_n^2 + L_2^2}$;

д) $P = 0$ при $\xi = \sqrt{b_n^2 + L_2^2}$;

е) $P > 0$ при $\xi > \sqrt{b_n^2 + L_2^2}$.

3. $\xi = 0$, $L_1 \neq 0$, $L_2 \neq 0$. Тогда $N = Q = 0$; $M = -(b_n^2 + L_1^2) < 0$;
 $P = -(b_n^2 + L_2^2) < 0$.

4. ξ — любое, $L_1 = L_2 = 0$. Тогда $N = Q = 0$; $M = P = \xi^2 - b_n^2$;

а) $M, P < 0$ при $b_n < \xi < b_n$;

б) $M, P = 0$ при $\xi = \pm b_n$;

в) $M, P > 0$ при $b_n < \xi < -b_n$.

Анализ приведенных вариантов показывает, что если точка A_1 находится в нижней полуплоскости, то, чтобы получить отрицательное значение $f_1(\zeta)$, когда точка A_1 попадает на нижний берег разреза в процессе своего движения при изменении M и N , необходимо, что-

бы угол λ был отрицательным. Это означает, что его можно найти по формулам:

$$\lambda = \begin{cases} \operatorname{arctg} \frac{-2\xi L_1}{\xi^2 - b_n^2 - L_1^2} - \pi; \\ \frac{-\pi}{2}; \\ -\frac{3\pi}{2}; \\ \operatorname{arctg} \frac{-2\xi L_1}{\xi^2 - b_n^2 - L_1^2}; \\ \operatorname{arctg} \frac{-2\xi L_1}{\xi^2 - b_n^2 - L_1^2} - 2\pi; \end{cases} \quad \text{при} \quad \begin{cases} -\sqrt{b_n^2 + L_1^2} < \xi < \sqrt{b_n^2 + L_1^2}; \\ \xi = \sqrt{b_n^2 + L_1^2}; \\ \xi = -\sqrt{b_n^2 + L_1^2}; \\ \xi > \sqrt{b_n^2 + L_1^2}; \\ \xi < -\sqrt{b_n^2 + L_1^2}. \end{cases}$$

Аналогично в случае расположения точки A_2 в верхней полуплоскости для получения положительного значения $f_2(\xi)$ при попадании A_1 на верхний берег разреза необходимо, чтобы угол δ был положительным, т. е. он должен определяться зависимостями:

$$\delta = \begin{cases} \operatorname{arctg} \frac{2\xi L_2}{\xi^2 - b_n^2 - L_2^2} + \pi; \\ \frac{\pi}{2}; \\ \frac{3\pi}{2}; \\ \operatorname{arctg} \frac{2\xi L_2}{\xi^2 - b_n^2 - L_2^2}; \\ \operatorname{arctg} \frac{2\xi L_2}{\xi^2 - b_n^2 - L_2^2} + 2\pi; \end{cases} \quad \text{при} \quad \begin{cases} \sqrt{b_n^2 + L_2^2} < \xi < \sqrt{b_n^2 + L_2^2}; \\ \xi = \sqrt{b_n^2 + L_2^2}; \\ \xi = -\sqrt{b_n^2 + L_2^2}; \\ \xi > \sqrt{b_n^2 + L_2^2}; \\ \xi < -\sqrt{b_n^2 + L_2^2}. \end{cases}$$

Сделанные замечания относительно знака углов λ и δ должны использоваться при вычислении контурных интегралов в различных областях сварного соединения.

3.5. БАЗОВОЕ НАПРЯЖЕННОЕ СОСТОЯНИЕ ПРИ СВАРКЕ ПЛАСТИН

Под *базовым напряженным состоянием* при сварке тонких пластин будем понимать остаточное напряженное состояние, которое возникает при выполнении прямолинейного шва бесконечной длины в бесконечной плоскости. На практике такое напряженное состояние возникает при сварке технологически больших листов (полотнищ), исключая концевые области, прилегающие к торцам соединения. Технологически большие листы можно выразить через отношение a ширины зоны пластических деформаций $2b_n$ к ширине соединения $2B$ ($a = b_n/B$). Как будет показано ниже, при $a \ll 0,1$ практически уже можно принимать модель бесконечной плоскости.

Рассматриваемое *напряженное состояние* называется *базовым* по двум причинам. Во-первых, к нему стремятся всякие напряженные состояния в плоских стыковых соединениях при увеличении их габаритных размеров, длины швов, а также диаметра для круговых швов,

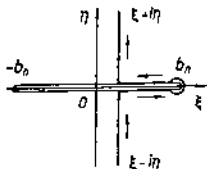


Рис. 3.8. Линия интегрирования функции $Z_1(\zeta)$

а во-вторых, на основе особенностей данного напряженного состояния можно строить решения различных других задач об остаточном напряженном состоянии, например, для сварных соединений ограниченных размеров.

Согласно интегральному представлению (3.18) для определения суммарных продольных напряжений в рассматриваемом соединении необходимо проинтегрировать в бесконечных пределах действительную часть функции $Z_1(\zeta)$ комплексной переменной $\zeta = \xi + i\eta$.

Решение данной задачи определяется решением интеграла I_1 в соответствии с (3.48). Применительно к данной задаче (3.48) запишем в виде

$$I_1 = \text{Im} \left\{ \int_{\xi-i\infty}^{\xi+i\infty} \sigma_* \left(\frac{\zeta}{\sqrt{\zeta^2 - b_0^2}} - 1 \right) d\zeta \right\}. \quad (3.58)$$

При $-b_0 \leq \xi \leq b_0$ контур интегрирования в виде прямой, параллельной оси η , будет пересекать разрез по отрезку $[-b_0, b_0]$ действительной оси ξ , что не допускается. В связи с этим, а также учитывая, что данный интеграл не зависит от формы кривой, соединяющей точки начала и конца интегрирования, возьмем ее в виде ломаной (рис. 3.9), состоящей из двух лучей, параллельных оси η , верхнего и нижнего берегов разреза и замыкающей окружности C_ρ $|\zeta - b_0| = \rho$. Вычислим интеграл в (3.58):

$$\int_{\xi-i\infty}^{\xi+i\infty} \sigma_* \left(\frac{\zeta}{\sqrt{\zeta^2 - b_0^2}} - 1 \right) d\zeta = \lim_{\eta \rightarrow +\infty} \sigma_* \left(\sqrt{\zeta^2 - b_0^2} - \zeta^2 \right) \Big|_{\xi-i\eta}^{\xi+i\eta} = 0 \quad (3.59)$$

Дадим оценку интеграла от $Z_1(\zeta)$ по окружности C_ρ при $\rho \rightarrow 0$. Известно, что

$$\left| \int_{C_\rho} Z_1(\zeta) d\zeta \right| \leq \max_{\zeta \in C_\rho} |Z_1(\zeta)| 2\pi\rho. \quad (3.70)$$

В данном случае

$$|Z_1(\zeta)| = \sigma_* \sqrt{(M \cos \theta - 1)^2 + (M \sin \theta)^2},$$

где

$$M = \sqrt{P/\rho^2 + Q^2 + R^2};$$

$$P = (\rho^2 \cos \theta + b_0)^2 + \rho^2 \sin^2 \theta;$$

$$Q = \cos 2\theta + \frac{2b_0}{\rho} \cos \theta; \quad R = \sin 2\theta + \frac{2b_0}{\rho} \sin \theta;$$

$$\theta = \arctg \frac{\eta}{\xi - b_0}; \quad \theta_1 = \arctg \frac{\rho \sin \theta}{\rho \cos \theta + b_0};$$

$$\theta_2 = \arctg \frac{r^2 \sin 2\theta + 2rb_n \sin \theta}{r^2 \cos 2\theta + 2rb_n \cos \theta};$$

$$\theta_0 = \frac{1}{2} (2\theta_1 - \theta_2).$$

Анализ соотношения (3.70) показывает, что при любом θ

$$\lim_{\rho \rightarrow 0} Z_I(\zeta) : 2\pi\rho = 0.$$

Значит, при стягивании окружности C_ρ в точку интеграл по ней от $Z_I(\zeta)$ обращается в нуль.

Таким образом, интеграл I от $Z_I(\zeta)$ по прямой, параллельной оси η , при $-b_n \leq \xi \leq b_n$ в пределах от $-\infty$ до $+\infty$ равен с обратным знаком интегралу I^* от той же функции по берегам разреза в пределах от ξ до b_n . Вычислим I^* :

$$I^* = \int_{\xi}^{b_n} Z_I^+(\zeta) d\zeta + \int_{b_n}^{\xi} Z_I^-(\zeta) d\zeta. \quad (3.71)$$

Знаками «+» и «-» при $Z_I(\zeta)$ в выражении (3.71) отмечено, что $\sqrt{\zeta^2 - b_n^2}$ на верхнем и нижнем берегах разреза меняет знак. С учетом этого

$$I^* = i2\sigma_* \sqrt{b_n^2 - \xi^2}. \quad (3.72)$$

Поэтому

$$I = \int_{\Gamma \cap \eta} Z_I(\zeta) d\zeta = -i2\sigma_* \sqrt{b_n^2 - \xi^2}. \quad (3.73)$$

Если прямая Γ расположена вне разреза ($|\xi| > b_n$), то $I = 0$. Значит,

$$\int_{-\infty}^{\infty} \operatorname{Re} Z_I(\xi, \eta) d\eta = \begin{cases} -2\sigma_* \sqrt{b_n^2 - \xi^2}; & (|\xi| < b_n); \\ 0; & (|\xi| > b_n). \end{cases} \quad (3.74)$$

Подставляя (3.74) в (3.18), находим

$$\sigma_n'(\xi) = \lim_{\Delta \rightarrow 0} \frac{\sigma_*}{\Delta} \begin{cases} -4 \sqrt{b_n^2 - \xi^2}; & (|\xi| < b_n); \\ 0; & (|\xi| > b_n). \end{cases} \quad (3.75)$$

Поскольку

$$\lim_{\Delta \rightarrow 0} \frac{\sigma_*}{\Delta} = -\frac{k\sigma_T}{4b_n}, \quad (3.76)$$

(3.75) перепишем в окончательном виде:

$$\sigma_n'(\xi) = \begin{cases} \frac{k\sigma_T}{b_n} \sqrt{b_n^2 - \xi^2}; & (|\xi| < b_n); \\ 0; & (|\xi| > b_n). \end{cases} \quad (3.77)$$

Таким образом, на основании проведенного анализа можно сделать вывод о том, что при выполнении бесконечного шва в бесконечной

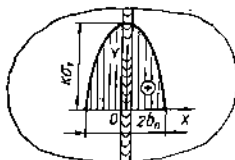


Рис. 3.10. Эпюра остаточных продольных напряжений в соединении бесконечных размеров с бесконечным швом

плоскости возникает напряженное состояние (названное выше базовым), характеризующееся наличием только продольных напряжений растяжения в зоне пластических деформаций, эпюра которых (рис. 3.10) в определенном масштабе повторяет эпюру остаточных продольных пластических деформаций укорочения с обратным знаком. Другие составляющие тензора напряжений в любой точке соединения при данном выборе координатных осей равны нулю в соответствии с

(3.15) и (3.16). Продольные напряжения, определяемые выражением (3.77), являются главными и единственными, поэтому напряженное состояние будет линейным.

Установленный здесь факт, состоящий в том, что в таком соединении эпюра остаточных продольных напряжений в точности повторяет эпюру остаточных продольных пластических деформаций укорочения с обратным знаком, не является случайным в связи с принятой зависимостью (3.3) для $\varepsilon'(x)$. Здесь имеет место существенно более сильный результат, согласно которому такое положение будет соблюдаться всегда при любом законе для $\varepsilon'(x)$, если нагрузка $g(\xi)$ на берега выреза-трещины является рациональной функцией.

Если в окрестности точки $\xi = \infty$ т. е. при достаточно больших $|\xi|$, функция

$$f(\xi) = G(\xi) + f_0(\xi),$$

где $f_0(\xi)$ — функция, голоморфная в окрестности точки $\xi = \infty$ и исчезающая при $\xi = 0$, а функция

$$G(\xi) = A_0 + A_1\xi + \dots + A_k\xi^k$$

(A_0, A_1, \dots, A_k — постоянные), то говорят, что $f(\xi)$ имеет в точке $\xi = \infty$ полюс порядка k с главной частью $G(\xi)$. Пусть L — простой замкнутый гладкий контур в плоскости комплексного переменного ξ , разделяющий ее на области S^+ и S^- . Пусть S^+ — та часть плоскости, которая остается слева при заданном направлении обхода контура. Тогда если функция $f(\xi)$ голоморфна в S^+ и непрерывна в $(S^+ + L)$, за исключением точек a_1, a_2, \dots, a_m области S^+ , где она имеет полюсы с главными частями $G_1(\xi), G_2(\xi), \dots, G_m(\xi)$, то

$$\frac{1}{2\pi i} \int \frac{f(t) dt}{t - \xi} = \begin{cases} f(\xi) - \sum_{n=1}^m G_n(\xi) & \text{при } \xi \in S^+; \\ - \sum_{n=1}^m G_n(\xi) & \text{при } \xi \in S^-. \end{cases} \quad (3.78)$$

Воспользуемся согласно [10] соотношениями (3.78) для вычисления сингулярных интегралов вида

$$I(\xi) = \int \frac{g(\xi) \sqrt{\xi^2 - \xi_0^2}}{\xi - \xi} d\xi, \quad (3.79)$$

определяющих собой функцию $Z_1(\xi)$ по выражению (3.10). Рассмотрим вспомогательный интеграл

$$\int_{\Lambda} \frac{g(z) \sqrt{i^2 - z^2}}{z - \xi} dz, \quad (z = x + iy). \quad (3.80)$$



Рис. 3.11. Расположение и направление обхода контура интегрирования Λ

Контур интегрирования Λ может быть выбран так, как показано на рис.

3.11. Возьмем при больших $|\xi|$ ветвь $\sqrt{l^2 - \xi^2}$ со знаком минус:

$$\sqrt{l^2 - \xi^2} = -i \sqrt{\xi^2 - l^2} = -i\xi \left(1 - l^2/2\xi^2 + \dots\right). \quad (3.81)$$

Стягивая контур интегрирования Λ к прямолинейному отрезку $|z| = |\xi + i0| \leq l$, на основании формул (3.78) и (3.79) находим

$$I(\xi) = \int_{-l}^l \frac{g(\xi) \sqrt{l^2 - \xi^2}}{\xi - \xi} d\xi = \pi \left[\sum_n G_n(\xi) - g(\xi) \sqrt{\xi^2 - l^2} \right], \quad (3.82)$$

где $G_n(\xi)$ — главные части функции $g(\xi) \sqrt{\xi^2 - l^2}$ в ее полюсах.

Тогда выражение (3.10) для функции $Z_1(\xi)$ запишем в виде

$$Z_1(\xi) = \frac{\sum_n G_n(\xi)}{\sqrt{\xi^2 - l^2}} - g(\xi). \quad (3.83)$$

Можно показать, что и в этом случае интеграл от $Z_1(\xi)$, определяемой согласно (3.83) для $-b_n \leq \xi \leq b_n$ по $F_1|\eta$ в пределах от $\xi - i\infty$ до $\xi + i\infty$ от $Z_1(\xi)$, равен интегралу от той же функции по берегам разреза от ξ до b_n , который будет состоять только из слагаемых, содержащих в числителе $\sqrt{\xi^2 - l^2}$ в силу двужначности данного корня на берегах разреза.

С другой стороны, перемещение берега разреза $v(\xi)$ определяется формулой [11]

$$v(\xi, \eta = 0) = \frac{2}{E} \operatorname{Im} Z_1^0(\xi) = \frac{2}{E} \operatorname{Im} \int Z_1(\xi) d\xi. \quad (3.84)$$

Из (3.84) видно, что при $\eta = 0$ перемещение $v(\xi)$ определяется точно такими же слагаемыми, что и интеграл по берегам разреза, указанный выше.

Следовательно, доказано, что эпюра остаточных продольных напряжений всегда повторяет в определенном масштабе эпюру остаточных продольных пластических деформаций укорочения с обратным знаком.

Кажущаяся неуровновешенность эпюры продольных напряжений $\sigma_n(\xi)$ в поперечном сечении объясняется тем, что в действительности положительная часть эпюры уравнивается ее отрицательной частью, представляющей собой бесконечно малые напряжения

сжатия (в пределе равные нулю), но действующие на бесконечно большой ширине. Иными словами, это тот случай, когда

$$0 \cdot \infty = \int_{-b_n}^{b_n} \sigma_n(\xi) d\xi. \quad (8.55)$$

3.6. УЧЕТ ВЛИЯНИЯ НА ОСТАТОЧНЫЕ НАПРЯЖЕНИЯ ОГРАНИЧЕННОСТИ РАЗМЕРОВ СВАРНЫХ СОЕДИНЕНИЙ В ПРОДОЛЬНОЙ ЖЕСТКОСТИ СБОРОЧНО-СВАРОЧНОЙ ОСНАСТКИ

3.6.1. Сварка в абсолютно жестком приспособлении

Напряженное состояние в сварном стыковом соединении ограниченных размеров, сваренном в абсолютно жестком приспособлении и пока остающемся в нем, будет таким же, как и для соединения с бесконечным швом в бесконечной плоскости. Соединение в силовом отношении работает совместно с приспособлением, составляя с ним единое целое, и, поскольку жесткость приспособления максимально возможная, оно моделирует собой бесконечную пластину.

Однако в реальном, освобожденном от приспособления соединении, граничные условия на торцах нулевые. Поэтому, чтобы получить напряженное состояние в реальном сварном соединении, необходимо просуммировать напряженное состояние в соединении до снятия его с приспособления (базовое напряженное состояние) с напряженным состоянием в прямоугольной пластине таких же размеров, как в сварное соединение, с нагрузкой на торцах, равной напряжениям в соединении, вырезанном из бесконечной пластины, но только обратного знака (сжатие). Напряженное состояние σ_{II}^k в прямоугольной пластине, сжимаемой по торцам, является корректирующим, и его учет связан с необходимостью выполнения граничных условий в реальном сварном соединении, освобожденном из приспособления.

В основном задача сводится к определению корректирующего напряженного состояния σ_{II}^k . Эту двумерную задачу в рамках теории упругости можно решить при помощи рядов Фурье.

Рассмотрим сначала *вспомогательную задачу о напряженном состоянии* в прямоугольной пластине $2L \times 2B$, загруженной на противоположных торцах $y = \pm L$ по всей длине произвольной косинусоидальной нагрузкой, симметричной относительно оси Y :

$$\bar{p}(x) = A \cos [m\pi x/B], \quad (3.86)$$

где m — любое целое число.

Таким образом, граничные условия в данной задаче будут следующие:

$$\begin{aligned} \bar{\sigma}_y &= -A \cos [(m\pi x/B)], \quad \bar{\tau}_{xy} = 0 \text{ при } y = \pm L; \\ \bar{\sigma}_x &= 0, \quad \bar{\tau}_{xy} = 0 \text{ при } x \pm B. \end{aligned} \quad (3.87)$$

Как известно, решение плоской задачи теории упругости сводится

к отысканию функции φ , удовлетворяющей битармоническому уравнению

$$\frac{\partial^4 \varphi}{\partial x^4} + 2 \frac{\partial^4 \varphi}{\partial x^2 \partial y^2} + \frac{\partial^4 \varphi}{\partial y^4} = 0. \quad (3.86)$$

Поскольку в данной задаче нагрузка симметрична относительно оси Y , возьмем φ в виде

$$\varphi = f(y) \cos \{(\pi x)/B\}, \quad (3.88)$$

где функция $f(y)$ зависит только от y .

Функция напряжений φ будет удовлетворять уравнению (3.88) только при определенном виде $f(y)$. Этот вид $f(y)$ необходимо найти.

Обозначая $\alpha = \pi x/B$, продифференцируем (3.88) по x и y . Тогда

$$\begin{aligned} \frac{\partial^4 \varphi}{\partial x^4} &= f(y) \alpha^4 \cos(\alpha x); \\ \frac{\partial^4 \varphi}{\partial x^2 \partial y^2} &= f''(y) [-\alpha^2 \cos(\alpha x)]; \\ \frac{\partial^4 \varphi}{\partial y^4} &= f^{IV}(y) \cos(\alpha x). \end{aligned} \quad (3.89)$$

После подстановки (3.89) в (3.88) будем иметь линейное дифференциальное уравнение с постоянными коэффициентами:

$$\alpha^4 f(y) - 2\alpha^2 f''(y) + f^{IV}(y) = 0. \quad (3.91)$$

Общее решение этого уравнения имеет вид

$$f(y) = C_1 \operatorname{ch}(\alpha y) + C_2 \operatorname{sh}(\alpha y) + C_3 y \operatorname{ch}(\alpha y) + C_4 y \operatorname{sh}(\alpha y). \quad (3.92)$$

В силу симметрии задачи относительно оси X функция $f(y)$ не должна иметь антисимметричных членов. Поэтому коэффициенты $C_2 = C_3 = 0$. Следовательно,

$$f(y) = C_1 \operatorname{ch}(\alpha y) + C_4 y \operatorname{sh}(\alpha y) \quad (3.93)$$

и тогда

$$\varphi = \cos(\alpha x) [C_1 \operatorname{ch}(\alpha y) + C_4 y \operatorname{sh}(\alpha y)]. \quad (3.94)$$

Таким образом, компоненты напряжений в пластине от такой нагрузки можно найти по формулам:

$$\sigma_x = \frac{\partial^2 \varphi}{\partial y^2} = \cos(\alpha x) \{C_1 \alpha^2 \operatorname{ch}(\alpha y) + C_4 \alpha [2 \operatorname{ch}(\alpha y) + \alpha y \operatorname{sh}(\alpha y)]\}; \quad (3.95)$$

$$\sigma_y = \frac{\partial^2 \varphi}{\partial x^2} = -\alpha^2 \cos(\alpha x) [C_1 \operatorname{ch}(\alpha y) + C_4 y \operatorname{sh}(\alpha y)]; \quad (3.96)$$

$$\tau_{xy} = -\frac{\partial^2 \varphi}{\partial x \partial y} = \alpha \sin(\alpha x) \{C_1 \alpha \operatorname{sh}(\alpha y) + C_4 [\operatorname{sh}(\alpha y) + \alpha y \operatorname{ch}(\alpha y)]\}. \quad (3.97)$$

Постоянные интегрирования C_1 и C_4 необходимо определить из граничных условий (3.87).

Подставляя в (3.97) $y = L$ и приравнивая к нулю выражение в фигурных скобках, получаем

$$C_1 = -C_4 \frac{\operatorname{sh}(\alpha L) + \alpha L \cdot \operatorname{ch}(\alpha L)}{\alpha \cdot \operatorname{sh}(\alpha L)}. \quad (3.98)$$

Подставим $y = L$ в (3.96) и приравняем его (3.86) с обратным знаком. Тогда

$$C_1 = \frac{A}{\alpha^2 \operatorname{ch}(\alpha L)} - C_4 \frac{L \operatorname{sh}(\alpha L)}{\operatorname{ch}(\alpha L)}. \quad (3.98)$$

Приравняв (3.98) и (3.99), находим

$$C_4 = -\frac{A \operatorname{sh}(\alpha L)}{\alpha^2 L + \alpha \cdot \operatorname{sh}(\alpha L) \cdot \operatorname{ch}(\alpha L)}. \quad (3.100)$$

Подставляя (3.98) в (3.100), определяем

$$C_1 = \frac{A [\operatorname{sh}(\alpha L) + \alpha L \cdot \operatorname{ch}(\alpha L)]}{\alpha^2 [\alpha L + \operatorname{sh}(\alpha L) \cdot \operatorname{ch}(\alpha L)]}. \quad (3.101)$$

С учетом найденных выражений для C_1 и C_4 компоненты напряжений во вспомогательной задаче принимают вид:

$$\bar{\sigma}_x = 2A \cos(mb\pi) (B_m - C_m - D_m); \quad (3.102)$$

$$\bar{\sigma}_y = 2A \cos(mb\pi) (C_m - B_m - D_m); \quad (3.103)$$

$$\bar{\tau}_{xy} = 2A \sin(mb\pi) (E_m - F_m), \quad (3.104)$$

где

$$B_m = \frac{m\pi \cdot \operatorname{ch}(m\pi) \cdot \operatorname{ch}(mc\pi)}{2m\pi + \operatorname{sh}(2m\pi)};$$

$$C_m = \frac{mcd\pi \cdot \operatorname{sh}(mcd\pi) \cdot \operatorname{sh}(mc\pi)}{2m\pi + \operatorname{sh}(2m\pi)};$$

$$D_m = \frac{\operatorname{sh}(mcd\pi) \cdot \operatorname{ch}(mcd\pi)}{2m\pi + \operatorname{sh}(2m\pi)};$$

$$E_m = \frac{m\pi \cdot \operatorname{sh}(mcd\pi) \cdot \operatorname{ch}(mc\pi)}{2m\pi + \operatorname{sh}(2m\pi)};$$

$$F_m = \frac{mcd\pi \cdot \operatorname{ch}(mcd\pi) \cdot \operatorname{sh}(mc\pi)}{2m\pi + \operatorname{sh}(2m\pi)};$$

$$b = x/B; \quad c = L/B; \quad d = y/L.$$

Анализ выражений (3.102)...(3.104) показывает, что на верхней и нижней кромках пластины ($y = \pm L$) граничные условия удовлетворяются полностью, а на продольных ($x = \pm B$) — в интегральном смысле как для $\bar{\tau}_{xy}$, так и для $\bar{\sigma}_x$. Такое решение задачи со смягченными граничными условиями на продольных кромках вполне допустимо и часто применяется в теории упругости, если не интересоваться распределением напряжений вблизи этих кромок.

На основе решения вспомогательной задачи теперь можно рассмотреть задачу о напряженном состоянии в пластине $2L \times 2B$, сжимаемой по торцам нагрузкой $p(x)$, соответствующей напряжению $\sigma_y(x)$:

$$p(x) = \begin{cases} \frac{ko}{b_n} \sqrt{b_n^2 - x^2}, & 0 \leq |x| \leq b_n; \\ 0, & |x| > b_n. \end{cases} \quad (3.105)$$

Данная нагрузка $p(x)$ симметрична относительно оси y . Поэтому целесообразно разложить ее в ряд Фурье по косинусам:

$$p(x) = \frac{a_0}{2} + \sum_{m=1}^{\infty} a_m \cos\left(\frac{m\pi x}{B}\right), \quad (3.106)$$

где

$$a_m = \frac{2}{B} \int_0^{b_n} p(x) \cos\left(\frac{m\pi x}{B}\right) dx, \quad m = 0, 1, 2, 3 \dots \quad (3.107)$$

Подставим в (3.107) выражение для $p(x)$ из (3.105):

$$a_m = \frac{2\sigma_r}{Bb_n} \int_0^{b_n} \sqrt{b_n^2 - x^2} \cos\left(\frac{m\pi x}{B}\right) dx. \quad (3.108)$$

Заменой $\lambda = x/b_n$ преобразуем (3.108) к виду

$$a_m = \frac{2\sigma_r b_n}{B} \int_0^1 \sqrt{1 - \lambda^2} \cos\left(\frac{mb_n \pi}{B} \lambda\right) d\lambda. \quad (3.109)$$

Интеграл в (3.109) имеет решение и выражается через функцию Бесселя первого порядка $J_1[(mb_n \pi)/B]$. Тогда

$$a_m = (\sigma_r/m) J_1[(m\pi b_n/B)]. \quad (3.110)$$

При $m = 0$

$$a_0 = (\sigma_r \pi b_n)/2B. \quad (3.111)$$

Член $a_0/2$ в разложении (3.106) представляет собой однородное сжатие пластины в направлении оси Y , т. е. он влияет только на напряжения σ_y^k . Напряженное состояние от суммы косинусональных нагрузок (3.106) на торцах пластины теперь можно определить на основе зависимостей (3.102)...(3.104):

$$\sigma_x^k = 2\sigma_r k \sum_{m=1}^{\infty} \frac{J_1(ma\pi)}{m} \cos(mb\pi) (B_m - C_m - D_m); \quad (3.112)$$

$$\sigma_y^k = 2\sigma_r k \left[-\frac{a\pi}{8} - \sum_{m=1}^{\infty} \frac{J_1(ma\pi)}{m} \cos(mb\pi) (B_m - C_m + D_m) \right]; \quad (3.113)$$

$$\tau_{xy}^k = 2\sigma_r k \sum_{m=1}^{\infty} \frac{J_1(ma\pi)}{m} \sin(mb\pi) (E_m - F_m), \quad (3.114)$$

где $a = b_n/B$.

Полученные выражения для компонентов напряженного состояния σ_{ij}^k позволяют записать в безразмерных параметрах зависимости для составляющих напряженного состояния $\sigma_{ij} = \sigma_{ij}^k + \sigma_{ij}^s$ в реальном

вариант соединения ограниченных размеров, сваренном в абсолютно жестком приспособлении и освобожденном из него после полного охлаждения. Эти зависимости имеют вид:

$$\frac{\sigma_x}{\sigma_y} = 2k \sum_{m=1}^{\infty} \frac{J_1(ma\pi)}{m} \cos(mb\pi) (B_m - C_m - D_m); \quad (3.115)$$

$$\frac{\sigma_y}{\sigma_x} = 2k \begin{cases} \frac{\sqrt{b_n^2 - x^2}}{2b_n} - \frac{a\pi}{8} - \sum_{m=1}^{\infty} \frac{J_1(ma\pi)}{m} \cos(mb\pi) (B_m - C_m - D_m), & 0 \leq |x| \leq b_n; \\ -\frac{a\pi}{8} - \sum_{m=1}^{\infty} \frac{J_1(ma\pi)}{m} \cos(mb\pi) (B_m - C_m - D_m), & |x| > b_n; \end{cases} \quad (3.116)$$

$$\frac{\tau_{xy}}{\sigma_x} = 2k \sum_{m=1}^{\infty} \frac{J_1(ma\pi)}{m} \sin(mb\pi) (E_m - F_m). \quad (3.117)$$

Функция Бесселя $J_1(ma\pi)$ табулирована. Кроме того, можно воспользоваться известными для нее представлениями:

$$J_1(ma\pi) = \sum_{n=0}^{+\infty} (-1)^n \frac{(ma\pi/2)^{1+2n}}{n!(1+n)!};$$

$$J_1(ma\pi) = \frac{1}{\pi} \int_0^{\pi} \cos[(ma\pi) \sin \varphi - \varphi] d\varphi;$$

$$J_1(ma\pi) = -\sqrt{\frac{2}{ma\pi^3}} \cos\left(ma\pi + \frac{\pi}{4}\right) \text{ при } ma\pi \rightarrow +\infty.$$

Если $B \rightarrow \infty$, то из зависимостей (3.115)...(3.118) следует решение задачи о напряженном состоянии в бесконечной плоскости с бесконечным швом, полученное выше (см. 3.4).

По формулам (3.115)...(3.118) были выполнены расчеты напряжений в относительных единицах для различных типов размеров сварных соединений, определяемых параметром $c = L/B$ ($c = 1/3; 1/2; 1,0; 2,0; 3,0$). Такой перебор значений c при постоянном $a = b_1/B$ позволяет проследить закономерность изменения напряжений в соединении по мере увеличения его длины. При тех же значениях c за счет изменения a можно изучить влияние ширины соединения на напряженное состояние. Характерными сечениями в стыковом соединении являются продольное по оси шва ($x = 0$) и среднее поперечное ($y = 0$). Касательные напряжения в этих сечениях согласно выражению (3.118) равны нулю, что хорошо согласуется с известными экспериментальными данными и соответствует существующим представлениям по данному вопросу, если считать напряженное состояние в соединении симметричным относительно указанных сечений.

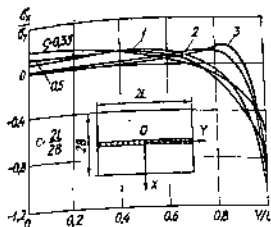
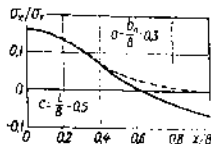


Рис. 3.12. Поперечные напряжения на оси шва

Рис. 3.13. Изменение поперечных напряжений по ширине сечения \$y=0\$ для среднего поперечного сечения



Характер изменения поперечных напряжений σ_x на оси шва для различных c при $a = 0,3$ показан на рис. 3.12. По мере увеличения длины соединения поперечные напряжения на оси шва в средней его части уменьшаются до нуля. Точки перехода кривой через нуль при этом смещаются ближе к торцам соединения ($y = \pm L$). Для малых значений c , примерно до $c = 1,5$, кривая поперечных напряжений на оси шва близка к параболе и нередко в таком виде устанавливалась экспериментальным путем многими исследователями, поскольку обычно для эксперимента использовались образцы, мало отличающиеся от квадратных. При любых значениях c и a максимальные поперечные напряжения растяжения в шве остаются сравнительно небольшими и не превышают $0,2 \sigma_1$. В других продольных сечениях, параллельных оси шва, характер распределения поперечных напряжений в общем сохраняется, а величина их постепенно уменьшается по мере удаления рассматриваемого сечения от оси шва. На рис. 3.13 сплошной кривой показано изменение поперечных напряжений по ширине соединения в случае $a = 0,3$ для среднего поперечного сечения $y = 0$, установленное предположенным методом. Там же штриховой кривой показан результат, полученный экспериментально. Существенное различие в ходе кривых при $x/B > 0,6$ объясняется, во-первых, нестрогим соблюдением в каждой точке граничных условий на боковых торцах ($x = \pm B$) и, во-вторых, недостаточным числом удерживаемых при счете членов ряда в выражении (3.115) при $x/B > 0,6$. Заметим, что все расчетные кривые, приведенные в данном разделе, получены при удержании в ряду трех первых членов ($m = 1, 2, 3$). В связи с неточным выполнением граничных условий на боковых торцах применение данного метода для вычисления σ_x и τ_{xy} при $x/B > 0,6$ не рекомендуется. В то же время полное выполнение этих граничных условий мало влияет на результаты вычисления продольных напряжений σ_y при тех же $x/B > 0,6$.

Распределение продольных напряжений σ_y в среднем поперечном сечении $y = 0$ для различных c и a показано на рис. 3.14. Из сопоставления кривых на рис. 3.14 видно, что продольные напряжения на оси шва возрастают с увеличением c и уменьшением a , приближаясь к про-

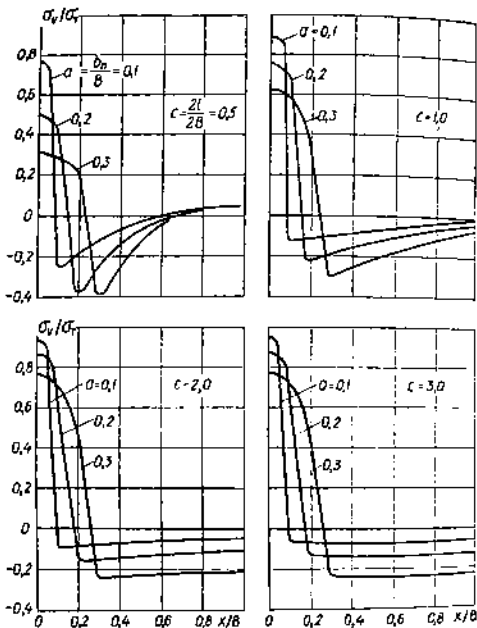


Рис. 3.14. Распределение продольных напряжений в среднем поперечном сечении по данным расчета

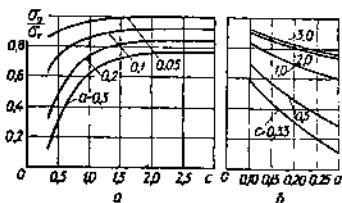


Рис. 3.15. Влияние размеров старшего соединения (а) и черновой ластикетской зомы (б) на продольные напряжения в швах в среднем поперечном сечении

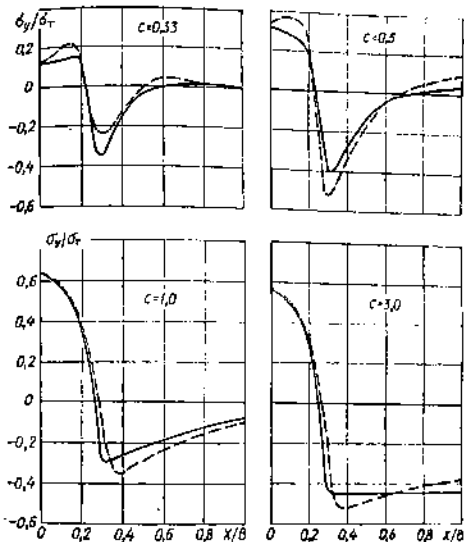


Рис. 3.16. Сравнение расчетных (сплошные кривые) и экспериментальных (пунктирные кривые) данных для продольных напряжений в среднем поперечном сечении

делу текучести. Эта тенденция показана на рис. 3.15. Как следует, например, из рис. 3.15, а, при малом значении a продольные напряжения на оси шва в среднем поперечном сечении почти достигают уровня σ_T уже в квадратном образце ($c = 1$), что также соответствует известным экспериментальным данным для стальных пластин.

Чтобы проверить основные расчетные данные, были проведены эксперименты на пластинках из стали Ст3. Размеры образцов выбирались так, чтобы сохранялись указанные выше значения c . Заданный режим сварки обеспечивал величину $a = 0,3$. Толщина пластины 5 мм, сварка осуществлялась в жестком приспособлении автоматом под флюсом проволокой СВ-08А диаметром 3 мм на режиме: $I_{\text{св}} = 400 \text{ А}$, $U_{\text{д}} = 32 \text{ В}$, $v_{\text{св}} = 18 \text{ м/ч}$. Размер b_0 определяется на основе кривой $\epsilon'(x)$, построенной по известному методу гребенки. Деформации измерялись в среднем поперечном сечении механическими деформометрами на базах 26,50 и 100 мм. Результаты экспериментов в сравнении с данными расчетов приведены на рис. 3.16. Из сравнения расчетных с эк-

спериментальных данных следует вывод о том, что результаты расчетов вполне удовлетворительно согласуются с экспериментальными данными. Несовпадение расчетных и экспериментальных кривых объясняется погрешностями расчета по предлагаемому методу и недостаточным количеством взятых для расчета членов ряда, особенно при $s \approx 1/3$ и $1/2$.

Расчетные эпюры продольных напряжений в среднем поперечном сечении соединения, построенные при удержании в ряду только средних трех членов, как это видно из рис. 2.14, практически являются уравновешенными, особенно для $s > 0,5$. Это свидетельствует о хорошей сходимости в общем используемых тригонометрических рядов в точках сварного соединения, достаточно удаленных от его контура.

3.6.2. Сварка в свободном состоянии

При сварке в свободном состоянии деформации пластического удлинения в зоне пластических деформаций на стадии охлаждения протекают в меньшей мере, и поэтому величина остаточных продольных пластических деформаций укорочения ϵ_k в данном случае будет большей.

Чтобы получить решение данной задачи об остаточном напряженном состоянии, необходимо произвести перенормировку параметра Δ (выражение (3.30)) из условия $\bar{\sigma}_y(x=0, y=0) = k\sigma$, при $2L = \infty$ для бесконечно длинного стыкового соединения конечной ширины $2B$, в котором продольные напряжения в шве после охлаждения достигают уровня $k\sigma$, что следует из известной термомеханической диаграммы для модели сварного соединения — пластины с прорезом. При этом можно воспользоваться приведенным выше решением для случая сварки в жестком приспособлении, внося в него необходимые поправки. Учитывая зависимость (3.30), выражение (3.105) для $p(x)$ запишем в виде

$$p(x) = \begin{cases} -\frac{4\sigma_* b_n}{\Delta} \sqrt{b_n^2 - x^2}, & 0 \leq |x| \leq b_n; \\ 0, & |x| > b_n. \end{cases} \quad (3.119)$$

Тогда зависимости (3.109)...(3.111) соответственно можно представить в виде формул:

$$a_m = -\frac{8\sigma_* b_n^2}{B\Delta} \int_0^1 \sqrt{1-\lambda^2} \cos\left(\frac{m\pi b_n}{B} \lambda\right) d\lambda; \quad (3.120)$$

$$a_m = -\frac{4\sigma_* b_n}{\pi\Delta} J_1\left(\frac{m\pi b_n}{B}\right); \quad (3.121)$$

$$a_0 = -\frac{2\sigma_* b_n^2}{B\Delta}; \quad (3.122)$$

Следовательно,

$$\sigma_x^k = -\frac{8\sigma_* b_n}{\Delta} \sum_{m=1}^{\infty} \frac{J_1(m\pi)}{m} \cos(mb\pi) (B_m - C_m - D_m); \quad (3.123)$$

$$\hat{\sigma}_y^* = \frac{8\sigma_* b_n}{\Delta} \left[\frac{\pi}{8} - \sum_{m=1}^{\infty} \frac{J_1(m\pi)}{m} \cos(mb\pi) (B_m - C_m + D_m) \right]; \quad (3.124)$$

$$\tau_{xy}^* = -\frac{8\sigma_* b_n}{\Delta} \sum_{m=1}^{\infty} \frac{J_1(m\pi)}{m} \sin(mb\pi) (E_m - F_m). \quad (3.125)$$

На основании зависимости (3.124) с учетом (3.119) запишем

$$\sigma_y = -\frac{4\sigma_*}{\Delta} \sqrt{b_n^2 - x^2} + \frac{\sigma_* b_n^2 \pi}{B\Delta} + \frac{8\sigma_* b_n}{\Delta} \sum_{m=1}^{\infty} \frac{J_1(m\pi)}{m} \times \\ \times \cos(mb\pi) (B_m - C_m + D_m), \quad 0 \leq |x| \leq b_n. \quad (3.126)$$

Удовлетворяя условию

$$\hat{\sigma}_y(x=0, y=0, 2L=\infty) = k\sigma_*,$$

из (3.126) получим

$$k\sigma_* = -\frac{\sigma_* b_n}{\Delta} \left[4 - \frac{b_n \pi}{B} \right]. \quad (3.127)$$

Третье слагаемое в (3.126) исчезает при $2L = \infty$ в силу того, что при этом условии полностью исчезает неравномерная составляющая для $\hat{\sigma}_y$ в сечении $y = 0$, которая описывается слагаемым. Следовательно, при сварке в свободном состоянии параметры σ_* и Δ связаны соотношением (3.30)

$$\sigma_* = -(k\sigma_*)/4b_n,$$

а другим, вытекающим из (3.127):

$$\sigma_* = -(k\sigma_* \Delta) / \left[b_n \left(4 - \frac{b_n \pi}{B} \right) \right]. \quad (3.128)$$

Видно, что при $B \rightarrow \infty$ выражение (3.128) превращается в выражение (3.30), как это и должно быть.

Таким образом, окончательные формулы для напряжений в сварном соединении ограниченных размеров при сварке в свободном состоянии имеют вид:

$$\frac{\hat{\sigma}_x}{\sigma_*} = 2kf \sum_{m=1}^{\infty} \frac{J_1(m\pi)}{m} \cos(mb\pi) (B_m - C_m - D_m); \quad (3.129)$$

$$\frac{\hat{\sigma}_y}{\sigma_*} = 2kf \times$$

$$\times \begin{cases} \left[\frac{\sqrt{b_n^2 - x^2}}{2b_n} - \frac{\pi}{8} - \sum_{m=1}^{\infty} \frac{J_1(m\pi)}{m} \cos(mb\pi) (B_m - C_m + D_m) \right], & 0 \leq |x| \leq b_n; \end{cases} \quad (3.130)$$

$$\times \begin{cases} \left[-\frac{\pi}{8} - \sum_{m=1}^{\infty} \frac{J_1(m\pi)}{m} \cos(mb\pi) (B_m - C_m + D_m) \right], & |x| > b_n; \end{cases} \quad (3.131)$$

$$\frac{\tilde{\sigma}_{xy}}{\sigma_T} = 2kf \sum_{n=1}^{\infty} \frac{J_1(ma\pi)}{m} \sin(mb\pi) (E_m - F_m), \quad (3.132)$$

где

$$f = 1 / \left(1 - \frac{\pi b_n}{4B} \right) = 1 / \left(1 - \frac{\pi a}{4} \right). \quad (3.133)$$

При $B \rightarrow \infty$ зависимости (3.129)...(3.132) превращаются в зависимости (3.115)...(3.118) для напряжений в случае сварки в абсолютно жестком приспособлении.

При сварке в свободном состоянии остаточные напряжения в сварном соединении несколько больше, чем при сварке в абсолютно жестком приспособлении. Различие определяется величиной f . Для крайнего случая, когда $a = b_n/B = 0,5$, имеем $f = 1,647$, что составляет 64,7 %. Обычно же $a < 0,3$ и различие в напряженных состояниях значительно меньше.

3.6.3. Сварка в приспособлении промежуточной жесткости

Решение вопроса об определении напряженного состояния в сварных соединениях ограниченных размеров при сварке их в абсолютно жестком приспособлении и в свободном состоянии, изложенное в §§ 3.6.1 и 3.6.2, позволяет рассмотреть этот же вопрос для более общего случая сварки в приспособлении промежуточной жесткости.

Домножим на 2b числитель и знаменатель второго слагаемого в знаменателе выражения для f (3.133) и перепишем его:

$$f = 1 / \left(1 - \frac{\pi 2b_n \delta}{4 \cdot 2B\delta} \right) = 1 / \left(1 - \frac{\pi 2b_n \delta}{4F_{соед}} \right), \quad (3.134)$$

где $F_{соед}$ — площадь поперечного сечения сварного соединения.

При сварке в приспособлении его поперечное сечение $F_{присл}$ воспринимает силовую нагрузку от охлаждающейся зоны пластических деформаций наравне с реактивной частью соединения. Иными словами, имеем как бы новое сварное соединение, состоящее из исходного соединения и приспособления. У нового соединения поперечное сечение определяется суммой $F_{соед} + F_{присл}$. Поэтому выражение (3.134) запишем в виде

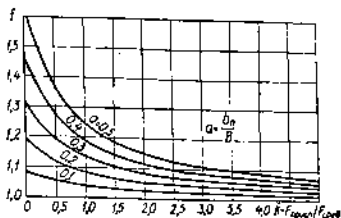
$$f = 1 / \left[1 - \frac{\pi 2b_n \delta}{4(F_{соед} + F_{присл})} \right]. \quad (3.135)$$

После преобразований (3.135) окончательно получим

$$f(a, \bar{k}) = 1 / \left[1 - \frac{\pi a}{4(1 + \bar{k})} \right] \quad (3.136)$$

где $\bar{k} = F_{присл}/F_{соед}$ — коэффициент жесткости сборочно-сварочного приспособления. Для сварки в абсолютном жестком приспособлении $F_{присл} = \infty$ и $\bar{k} = \infty$, а $f = 1$.

рис. 3.17. Зависимость коэффициента f от жесткости сварного соединения \bar{k} для различных значений α и β . Значения α и β указаны на кривых.



Для сварки в свободном состоянии $F_{\text{присл}} = 0$, $\bar{k} = 0$ и тогда f будет определяться выражением (3.133). Таким образом, $0 \leq \bar{k} \leq \infty$. Для вычисления напряжений используются зависимости (3.129) ... (3.132). Зависимость f от \bar{k} для различных α показана на рис. 3.17.

3.7. УЧЕТ ВЛИЯНИЯ НА ОСТАТОЧНЫЕ НАПРЯЖЕНИЯ ПРОДОЛЬНОГО ВНЕШНЕГО НАГРУЖЕНИЯ ПОСЛЕ СВАРКИ

3.7.1. Влияние равномерного растяжения

Под действием внешней растягивающей нагрузки происходит уменьшение остаточных продольных пластических деформаций укорочения в сварном соединении, что приводит к снижению остаточных напряжений. Представляет большой научный и практический интерес вопрос о степени снижения остаточных напряжений в зависимости от величины приложенной внешней нагрузки. Рассмотрим этот вопрос применительно к обычному наиболее распространенному стыковому соединению. Остаточные продольные пластические деформации укорочения ϵ'_x для такого соединения можно представить в виде

$$\epsilon'_x = -f(\alpha, \bar{k}) \frac{k_E}{b_n} \sqrt{b_n^2 - x^2}, \quad |x| \leq b_n. \quad (3.137)$$

На рис. 3.18 схематично показана форма кривой ϵ'_x в произвольном поперечном сечении соединения. Эпюра упругих деформаций заштрихована. Выделим в пределах ширины зоны пластических деформаций продольное волокно I, которое имеет упругую деформацию растяжения $\epsilon_{\text{упр}}$. Это волокно еще может воспринять упругую деформацию

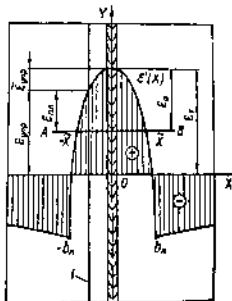


рис. 3.18. Расчет влияния продольного растяжения после сварки на остаточные напряжения в соединении

нию растяжения $\bar{\epsilon}_{упр}$. Таким образом, если от высшей нагрузки будем иметь деформацию e_0 , то разность $(e_0 - \bar{\epsilon}_{упр})$ будет представлять собой величину пластической деформации удлинения в данном волокне

$$e_{пл} = e_0 - \bar{\epsilon}_{упр}. \quad (3.138)$$

Упругую деформацию, которую может еще воспринять рассматриваемое волокно, представим согласно рисунку следующим образом:

$$\bar{\epsilon}_{упр}(x) = e_{\tau} \{ f(a, \bar{k}) [1 - \sqrt{1 - (x/\bar{b}_n)^2}] - k + 1 \}. \quad (3.139)$$

Для продольных полосок, проходящих через точки $\pm \bar{x}$, значение $e_{пл} = 0$. Из этого условия на основании (3.138) с учетом (3.139) определим координату \bar{x} :

$$\bar{x} = \pm \bar{b}_n \sqrt{f^2 - (\psi - f - 1 + k)^2 / f}, \quad (3.140)$$

где $\psi = e_0/e_{\tau}$.

Таким образом, при равномерном внешнем растяжении e_0 в пластической зоне $2\bar{b}_n$ в пределах отрезка $-\bar{x}\bar{x}$ прямой AB (рис. 3.18) протекает пластическая деформация удлинения. Эюра этих деформаций на рисунке ограничена сверху кривой e_x и снизу отрезком $-\bar{x}\bar{x}$. На величину площади S_0 этой эюры уменьшается, в конечном итоге, площадь S' эюры остаточных продольных деформаций укорочения e'_x . Определим S_0 путем интегрирования:

$$S_0 = 2 \int_0^{\bar{x}} e_{пл}(x) dx = 2 \int_0^{\bar{x}} \left[e_0 - e_{\tau}(f + 1 - k) + \frac{e_{\tau}}{\bar{b}_n} \sqrt{\bar{b}_n^2 - x^2} \right] dx. \quad (3.141)$$

Вычисляя в (3.141) интеграл, получим

$$S_0 = e_{\tau} \bar{b}_n \left[\frac{\psi - f - 1 + k}{f} \sqrt{f^2 - (\psi - f - 1 + k)^2} + f \arcsin x \times \right. \\ \left. \times \frac{\sqrt{f^2 - (\psi - f - 1 + k)^2}}{f} \right]. \quad (3.142)$$

Площадь S' эюры $e'(x)$

$$S' = 2 \int_0^{\bar{b}_n} e'(x) dx = \frac{e_{\tau} \bar{b}_n \pi / k}{2}. \quad (3.143)$$

Вычитая из (3.143) выражение (3.142), получаем площадь эюры остаточных пластических деформаций укорочения $e'(x)$ после внешнего нагружения:

$$\bar{S}' = S' - S_0 = e_{\tau} \bar{b}_n \left\{ \frac{\pi / k}{2} - \frac{(\psi - f - 1 + k)}{f} \sqrt{f^2 - (\psi - f - 1 + k)^2} - \right. \\ \left. - f \arcsin \frac{\sqrt{f^2 - (\psi - f - 1 + k)^2}}{f} \right\}. \quad (3.144)$$

Представим деформации $\bar{e}'(x)$ приближенно зависимостью, пропорциональной $e'(x)$:

$$\bar{e}'(x) = A e'(x). \quad (3.145)$$

Коэффициент пропорциональности A найдем из условия, что

$$\int_{b_0}^{b_n} \bar{e}'(x) dx = A \int_{-b_0}^{b_0} e'(x) dx. \quad (3.146)$$

Тогда

$$A = 1 - \frac{2(\psi - 1 - 1 + k)}{\pi k f^2} \sqrt{f^2 - (\psi - 1 - 1 + k)^2} - \frac{2}{\pi k} \arcsin \frac{\sqrt{f^2 - (\psi - 1 - 1 + k)^2}}{f}. \quad (3.147)$$

Коэффициент A (ψ , a , k , \bar{k}) определяет степень снижения остаточного напряженного состояния при равномерной растягивающей внешней нагрузке в продольном направлении. Формула (3.146) для вычисления A практически всегда пригодна и для случаев неравномерного нагружения, поскольку e_0 в пределах $2b_n$ распределена почти равномерно. При неравномерно распределенной по ширине соединения tensionной нагрузке e_0 может изменяться по длине соединения, например, в случае приложения к торцам соединения сосредоточенных сил. Значит, в этом случае коэффициент A также будет изменяться по длине соединения. Зависимость коэффициента A от $\psi = e_0/e_1$ для различных $a = b_n/B$, $\bar{k} = F_{\text{присл}}/F_{\text{соед}}$ при $k = 1$ показана на рис. 3.19. Формулы для напряжений (3.129) ... (3.132) можно переписать с учетом коэффициента A :

$$\frac{\sigma_x}{\sigma_T} = 2kAf \sum_{m=1}^{\infty} \frac{J_1(m\pi)}{m} \cos(m\pi) (B_m - C_m - D_m); \quad (3.148)$$

$$\frac{\sigma_y}{\sigma_T} = 2kAf \times$$

$$\times \left\{ \begin{aligned} & \frac{\sqrt{b_n^2 - x^2}}{2b_n} - \frac{a\pi}{8} - \sum_{m=1}^{\infty} \frac{J_1(m\pi)}{m} \cos(m\pi) (B_m - C_m + D_m), \\ & 0 \leq |x| \leq b_n; \end{aligned} \right. \quad (3.149)$$

$$\left\{ \begin{aligned} & -\frac{a\pi}{8} - \sum_{m=1}^{\infty} \frac{J_1(m\pi)}{m} \cos(m\pi) (B_m + C_m + D_m), \\ & |x| > b_n; \end{aligned} \right. \quad (3.150)$$

$$\frac{\tau_{xy}}{\sigma_T} = 2kAf \sum_{m=1}^{\infty} \frac{J_1(m\pi)}{m} \sin m\pi (E_m - F_m). \quad (3.151)$$

3.7.2. Влияние равномерного сжатия

Данную задачу наиболее просто можно решить на основе принципа суммирования напряженных состояний.

Действительно, напряженное состояние в сварном соединении, подвергнутом равномерному продольному сжатию, можно представить в виде суммы базового напряженного состояния с нагрузкой на торцах

$$\sigma_y(x) = [kf\sigma_{\tau}/b_n] \sqrt{b_n^2 - x^2}, \quad 0 \leq |x| \leq b_n, \quad (3.152)$$

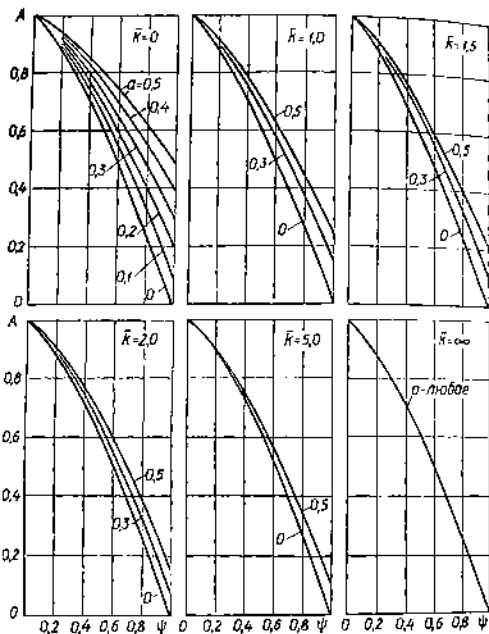


Рис. 3.19. Зависимость коэффициента A снижения остаточных напряжений в сварном соединении ограниченных размеров от коэффициента ψ внешнего продольного растяжения после сварки для различных значений a и \bar{K}

напряженного состояния в пластине таких же размеров, как и сварное соединение, подвергнутой равномерному сжатию по торцам напряжениями $-\sigma_0$, и напряженного состояния такой же пластины, сжимаемой по торцам нагрузкой

$$p(x) = -\sigma_0 + [k\sigma_T/b_n] \sqrt{b_n^2 - x^2}, \quad -\bar{x} \leq |x| \leq \bar{x}. \quad (3.153)$$

Координату $\bar{x} \leq b_n$ определим из условия

$$[k\sigma_T/b_n] \sqrt{b_n^2 - \bar{x}^2} = \sigma_0. \quad (3.154)$$

Решив (3.154), получим

$$\bar{x} = \pm b_n \sqrt{1 - (\sigma_0^2/\sigma_T^2)/f^2 k^2} \pm b_n \bar{\Delta}. \quad (3.155)$$

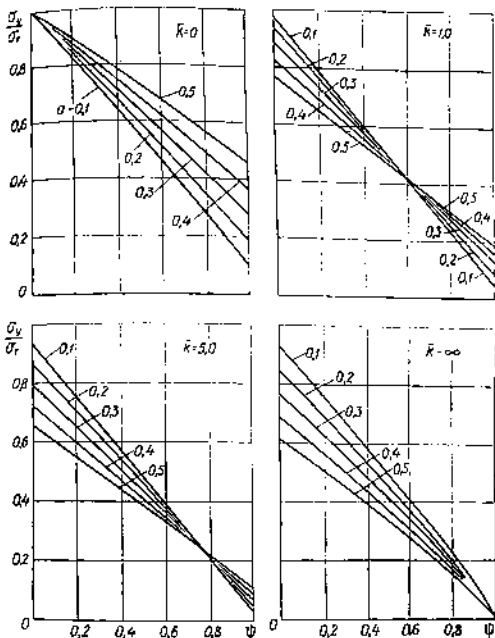


Рис. 3.20. Значения продольных напряжений в шве для достаточно длинного ($\epsilon > 2$) сварного соединения от коэффициента k внешнего радиального продольного сжатия после сварки для различных α и k

Нагрузку на торцах (3.153) без существенных погрешностей можно принять в форме (3.152), т. е.

$$p(x) = (\bar{\sigma}/\bar{x}) \sqrt{\bar{x}^2 - x^2}, \quad -\bar{x} \leq x \leq \bar{x}, \quad (3.156)$$

где

$$\bar{\sigma} = k f \sigma_r - \sigma_0 = \sigma_r (k f - \psi).$$

При таком подходе для третьего слагаемого в рассматриваемой задаче сохраняется форма решения (3.112) ... (3.114), в котором необходимо заменить $\alpha = \bar{\sigma}_n/B$ на $\bar{\alpha} = \bar{x}/B$, а $\sigma_r k$ на $\bar{\sigma}$. Тогда сварочные

напряженное состояние в соединении будет определяться зависимостями:

$$\frac{\sigma_x}{\sigma_T} = 2(kf - \psi) \sum_{m=1}^{\infty} \frac{J_1(m\bar{a}\pi)}{m} \cos(mb\pi) (B_m - C_m - D_m); \quad (3.157)$$

$$\frac{\sigma_y}{\sigma_T} = 2(kf - \psi) \times \begin{cases} \frac{V \sqrt{b_n^2 \bar{\delta}^2 - x^2}}{2h_{11} \bar{\delta}} - \frac{a\pi}{8} - \sum_{m=1}^{\infty} \frac{J_1(m\bar{a}\pi)}{m} \cos(mb\pi) (B_m - C_m + D_m), & |x| \leq \bar{x}; \\ \frac{a\pi}{8} - \sum_{m=1}^{\infty} \frac{J_1(m\bar{a}\pi)}{m} \cos(mb\pi) (B_m - C_m + D_m), & |x| > \bar{x}; \end{cases} \quad (3.158)$$

$$\frac{\tau_{xy}}{\sigma_T} = 2(kf - \psi) \sum_{m=1}^{\infty} \frac{J_1(m\bar{a}\pi)}{m} \sin(mb\pi) (E_m - F_m). \quad (3.160)$$

Зависимость продольных напряжений в шве в относительных единицах σ_y/σ , для достаточно длинного сварного соединения ($c \geq 2$), когда можно пренебречь влиянием перпендикулярных к шву торцов, от величины внешнего нагружения при различных a и \bar{k} для $k=1$ показана на рис. 3.20.

Глава 4

ЭКСПЕРИМЕНТАЛЬНЫЕ МЕТОДЫ ОПРЕДЕЛЕНИЯ СВАРОЧНЫХ ДЕФОРМАЦИЙ И НАПРЯЖЕНИЙ

4.1. ИСХОДНЫЕ ПОЛОЖЕНИЯ ЭКСПЕРИМЕНТАЛЬНЫХ МЕТОДОВ

В предыдущих главах были рассмотрены расчетные методы оценки напряженно-деформированного состояния сварных соединений. Однако при анализе напряженно-деформированного состояния конструкций сложной геометрической формы, материал которых в процессе сварочного нагрева претерпевает структурные изменения, расчетных методов часто оказывается недостаточно. Поэтому наряду с расчетными методами широко применяются экспериментальные методы определения сварочных деформаций и напряжений.

Сварочные напряжения и деформации экспериментально определяют различными методами в зависимости от особенностей сварного соединения и требуемой точности измерения.

Для экспериментального определения сварочных деформаций и напряжений наибольшее распространение получили методы, связанные с частичным или полным разрушением детали (*механические методы*) и методы, когда исследуемая конструкция остается неповрежденной (*физические методы*).

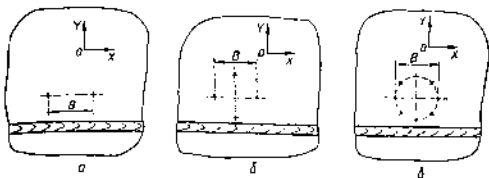


Рис. 4.1. Схемы подготовки намеряемых баз

В сварном соединении в зависимости от отношения его размеров в плане к толщине могут быть линейное, плоское или объемное напряженное состояние.

В соответствии с законом Гука связь между деформациями и напряжениями имеет вид:

а) для линейного напряженного состояния

$$\sigma_x = E \epsilon_x; \quad (4.1)$$

б) для плоского напряженного состояния

$$\sigma_x = \frac{E(\epsilon_x + \nu \epsilon_y)}{1 - \nu^2}; \quad \sigma_y = \frac{E(\epsilon_y + \nu \epsilon_x)}{1 - \nu^2};$$

$$\tau_{xy} = G \gamma_{xy}; \quad G = \frac{E}{2(1 + \nu)}; \quad (4.2)$$

в) для объемного напряженного состояния

$$\sigma_x = 2G \epsilon_x + \lambda \theta; \quad \tau_{xy} = G \gamma_{xy}; \quad \lambda = \frac{2G\nu}{1 - 2\nu};$$

$$\sigma_y = 2G \epsilon_y + \lambda \theta; \quad \tau_{yz} = G \gamma_{yz};$$

$$\sigma_z = 2G \epsilon_z + \lambda \theta; \quad \tau_{zx} = G \gamma_{zx}; \quad \theta = \epsilon_x + \epsilon_y + \epsilon_z. \quad (4.3)$$

где ϵ и γ — упругие деформации.

Следовательно, для определения компонентов напряженного состояния необходимо знать соответствующие упругие деформации. При исследовании напряженно-деформированного состояния сварных соединений принято оценивать главным образом нормальные напряжения, поскольку касательные напряжения обычно имеют малую величину. Экспериментальное определение напряжений сводится к нахождению упругих деформаций ϵ_x , ϵ_y , ϵ_z . Чтобы найти упругие деформации, на изделии в исследуемой зоне готовят так называемые базы измерения. При линейном напряженном состоянии достаточно подготовить одну базу, направление которой совпадает с направлением ожидаемой деформации (рис. 4.1, а).

В случае плоского напряженного состояния могут быть два варианта подготовки баз. Если известно направление главных напряжений, то достаточно подготовить базы в двух главных направлениях (рис. 4.1, б). Если же направление главных напряжений неизвестно, то следует подготовить базы не менее чем в четырех направлениях

(рис. 4.1, а), с тем чтобы по данным измерений построить эллипс напряжений в точке и найти направление главных нормальных напряжений.

Методика подготовки баз для исследования объемного напряженного состояния имеет ряд специфических особенностей, которые будут рассмотрены ниже.

Как было уже показано ранее, в сварном соединении могут быть две зоны: зона, где происходили только упругие деформации, и зона, где происходили упругопластические деформации (зона 2b₀). В упругой зоне все измеряемые деформации после сварки являются упругими и их можно определить по формуле

$$\varepsilon = \Delta B/B', \quad (4.4)$$

где $\Delta B = B^* - B'$ — изменение базы измерения, равное разности длин баз до сварки B' и после сварки B^* .

В зоне упругопластических деформаций полная деформация после сварки состоит из упругой и пластической составляющих:

$$\varepsilon_{\text{пол}} = \varepsilon_{\text{упр}} + \varepsilon_{\text{пл}}. \quad (4.5)$$

Для того чтобы выделить из полной деформации упругую составляющую $\varepsilon_{\text{упр}}$, необходимо разгрузить базу измерения от действующих напряжений. При этом база измерения изменится пропорционально снятому напряжению, и это изменение будет пропорционально значению $\varepsilon_{\text{упр}}$. Как правило, освобождение от действующих напряжений производят механической вырезкой базы из сварного соединения.

Значит, для определения упругой составляющей достаточно измерить базу после сварки B^* , затем произвести вырезку и измерить базу B''' . Тогда

$$\varepsilon_{\text{упр}} = (B^* - B''')/B', \quad (4.6)$$

где B^* — размер базы измерения после сварки; B''' — размер базы измерения после вырезки.

При этом необходимо учитывать направление изменения базы после вырезки. Если база B' укоротилась, это означает, что на этой базе действовали напряжения растяжения, а если удлинилась, значит, на ней действовали напряжения сжатия.

Таким образом, при изучении напряжений в упругой зоне необходимы два измерения базы: до сварки и после сварки. Если же изучению подлежат напряжения в упругопластической зоне, также необходимы два измерения базы: после сварки и после вырезки.

При этом важное значение имеет вопрос выбора величины базы измерения. Чем выше градиент определяемых напряжений в исследуемом направлении, тем меньше должна быть база измерения, так как данная методика позволяет определить величину средних напряжений, действующих на базе измерения. Практика исследования напряжений в сварных конструкциях показала, что наиболее оптимальной базой является база 5–25 мм.

Кроме того, следует иметь в виду, что в результате действия внутренних усилий может быть деформация сварного соединения из-за пло-

скости (изгиб). В этом случае деформация базы будет состоять как из деформации в плоскости, так и из деформации, вызванной изгибом. Чтобы исключить деформацию от изгиба, необходимо измерить базы на лицевой и обратной сторонах с определением среднего значения

$$\varepsilon = (\varepsilon_n + \varepsilon_{обр})/2. \quad (4.7)$$

На практике экспериментального определения деформаций наиболее распространены тензометры механические и сопротивления (электротензометрия).

4.2. МЕХАНИЧЕСКИЕ ДЕФОРМОМЕТРЫ

Механические деформометры широко применяют в практике экспериментальных исследований напряженно-деформированного состояния сварных конструкций. В зависимости от требуемой точности измерения, диапазона измеряемых величин разработаны различные типы механических деформометров.

Механический деформометр состоит из двух основных узлов: корпуса с рычажной системой и преобразователя деформации. В зависимости от конструкции измерительных рычагов деформометр устанавливают на базу измерения, подготовленную на изделии в виде отверстий диаметром 0,8...1,2 мм (рис. 4.2, а) или в виде сферических отпечатков (рис. 4.2, б).

Измеряемая деформация базы с помощью рычажной системы передается на преобразователь деформации. Наиболее часто в качестве преобразователей деформации применяют индикаторы часового типа, систему зеркал, емкостные и индуктивные датчики, механотронные, пневмоконтактные и другие преобразователи.

Деформометры с индикаторами часового типа. Принципиальная схема такого деформометра показана на рис. 4.3. Деформометр имеет два рычага 1 и 3, которые устанавливаются на базу, подготовленную на исследуемом изделии. Рычаг 1 неподвижный, а рычаг 3 подвижный. Исследуемая деформация базы ΔB воспринимается подвижным рычагом 3, который перемещает шток индикатора 2. Результат измерения определяется соотношением плечей a и b подвижного рычага. При многократной установке деформометра на базу измерения необходимо

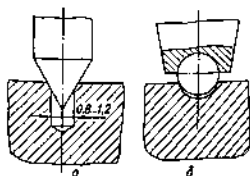


Рис. 4.2. Установка измерительных рычагов деформометра в базовые отверстия (а) и на сферические отпечатки (б)

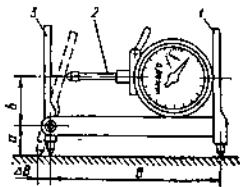


Рис. 4.3. Схема механического деформометра с индикатором часового типа

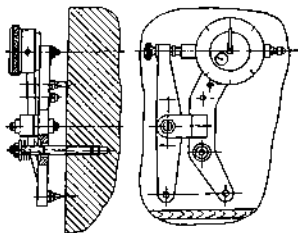


Рис. 4.4. Установка деформометра для измерения временных деформаций

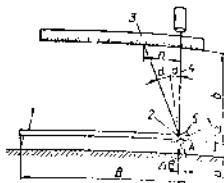


Рис. 4.5. Схема деформометра с оптическим преобразователем деформаций

постоянно контролировать правильность установки первоначального показания (нуля) индикатора. Для этого используют контрольную пластинку с нанесенной базой, равной базе деформометра.

Деформометры можно применять для измерения временных и остаточных деформаций. При исследовании временных деформаций деформометры закрепляют на исследуемой детали. Примеры закрепления деформометров показаны на рис. 4.4.

Деформометры с оптическим преобразователем. Если необходимы большие увеличения измеряемых деформаций, применяют механические деформометры с оптическим преобразователем деформаций. Принципиальная схема такого деформометра показана на рис. 4.5. Деформометр имеет неподвижный 1 и подвижный 2 рычаги. На подвижном рычаге закреплено зеркало 5, которое в исходном состоянии находится в горизонтальном положении. При изменении базы B на величину ΔB подвижный рычаг повернется относительно точки A на угол α , что вызовет поворот на угол α зеркала 5, $\operatorname{tg} \alpha = \Delta B/a$. Поворот зеркала 5 на угол α вызовет отклонение светового луча 4, отраженного от зеркала, на угол 2α , в результате чего переместится световое пятно по шкале 3 на l единиц. Тогда, учитывая малость угла α , $\operatorname{tg} \alpha = \alpha$

$$\Delta B = a\alpha = a(n/2b), \quad (4.8)$$

откуда увеличение прибора

$$m = n/\Delta B = 2b/a. \quad (4.9)$$

Задаваясь величиной ожидаемой деформации ΔB и учитывая конструктивный размер деформатора a и b , требуемое увеличение достигается соответствующим изменением параметра b .

На практике применяют различные конструкции оптических деформометров, описанные в литературе [5].

Деформометры с емкостными преобразователями. В качестве примера рассмотрим деформометр с емкостным преобразователем в виде цилиндрического конденсатора (рис. 4.6).

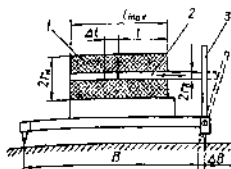


рис. 4.6. Принципиальная схема деформометра с емкостным преобразователем

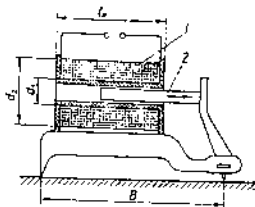


Рис. 4.7. Деформометр с индуктивным преобразователем соленоида типа

При перемещении подвижного рычага 3, в связи с изменением базы B на величину ΔB , происходит перемещение подвижного элемента 2 емкостного датчика 1 на величину Δl . При этом емкость цилиндрического конденсатора изменится на величину Δc :

$$\Delta c = 0,088 \frac{2\pi e \Delta l}{\ln r_n / r_a}, \quad (4.10)$$

где e — относительная диэлектрическая проницаемость (для воздуха $e = 1$); r_n , r_a — наружный и внутренний диаметры цилиндрического конденсатора.

При измерении изменения емкости в пределах $\Delta c/c = 10^4 \dots 10^9$ применяется мостовой метод, а для $\Delta c/c = 10^{-5} \dots 10^{-4}$ используется резонансный метод или метод биений [5].

На практике в зависимости от целей и величины ожидаемой деформации применяются различные емкостные преобразователи [5].

Деформометры с индуктивными преобразователями. Наиболее распространенными являются индуктивные преобразователи соленоида типа (рис. 4.7). В основе работы преобразователя лежит зависимость индуктивного и активного сопротивления катушки 1, питаемой переменным током, от перемещения подвижного элемента 2, связанного с рычажной системой деформометра. При этом изменяется воздушный зазор в катушке, приводящий к изменению сопротивления магнитной цепи и индуктивности L катушки.

Преобразователи питаются переменным током различной частоты. Для повышения чувствительности и контроля быстрых процессов рекомендуют частоту 3...15 кГц, но при этом магнитопроводы изготавливают из специальных материалов (ферриты).

Конструкции индуктивных преобразователей, применяющихся при исследованиях, описаны в работе [5].

Механотронные преобразователи. Механотронами называются электровакуумные приборы, в которых управляют электронным током при механическом перемещении электродов. Схема механотронного измерительного устройства приведена на рис. 4.8.

Перемещение рычагов деформометра 6 передается на измерительный стержень 5 механотрона 3. Перемещение стержня 5 относительно

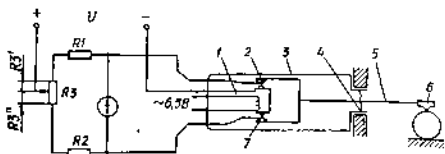


Рис. 4.8. Схема механотронного измерительного устройства

точки его закрепления 4 вызывает изменение расстояния между анодом 2 и 7 и катодом 1. Один анод удаляется от катода, а другой — приближается к нему. При этом ток между анодами и катодами изменяется.

Чтобы измерить ток на выходе из механотрона, его подключают по схеме моста постоянного тока, двумя плечами которого являются диоды механизма, а двумя другими плечами — сопротивления R_1 , R_2 и R_3 , с помощью которых перед измерениями осуществляется балансировка моста. Точность механотронного преобразователя зависит от стабильности напряжения питания, поэтому для питания применяют стабилизаторы напряжений. Промышленность выпускает несколько типов механотронов (6МХ1С, 6МХ3С, 6МХ4С, 6МХ5С и др.).

Пневмоконтактные преобразователи. В ИЭС им. Е. О. Патона АН УССР разработаны пневмоконтактные преобразователи, принципиальная схема которых показана на рис. 4.9.

Принцип их работы основан на измерении расхода воздуха через измерительные отверстия, вызванного перемещением подвижного рычага деформометра. Преобразователь имеет камеру 1 с двумя отверстиями: входное F_1 и выходное F_2 отверстия. При подаче в камеру воздуха при постоянном давлении H вследствие разности диаметров отверстий F_1 и F_2 скорость истечения из отверстия F_2 будет отличаться от скорости подачи воздуха, и в камере установится давление h , которое зависит от соотношения эффективных площадей F_1 и F_2 проходных сечений обоих отверстий. При этом эффективная площадь F_2 зависит от зазора z , который изменяется в результате перемещения подвижного рычага деформометра.

Для пневмоконтактных преобразователей используется подача воздуха в камеру под низким давлением ($H = 49,05 \cdot 10^3 \dots 117 \cdot 10^3$). Тогда справедливо выражение [5]:

$$h = H / \left[1 + \left(\frac{F_2}{F_1} \right)^2 \right], \quad (4.10)$$

которое позволяет количественно оценивать изменение параметра z по наблюдаемому изменению давления h .

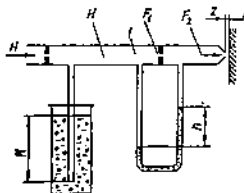


Рис. 4.9. Схема пневмоконтактного преобразователя деформаций

В качестве измерительных систем давления P используются манометрические и расходомерные системы. В манометрических системах в качестве чувствительного элемента используются трубка Бурдига, сильфоны, жидкостные манометры и т. д. В расходомерных системах чувствительным элементом является ротаметр, реагирующий на скорость потока.

Наиболее распространены манометрические системы с жидкостным чувствительным элементом — жидкостным манометром (водным, спиртовым, ртутным).

Отсчет показаний в жидкостных манометрах производится визуально по вертикальной линейной шкале по уровню жидкости.

Чтобы определить величину измеряемой деформации, перед измерением необходимо произвести тарировку тензометра и построить график зависимости

$$h = f(z).$$

Разнообразие механических деформаторов позволяет в зависимости от задач исследования обеспечить требуемую точность эксперимента и необходимый диапазон измерения ожидаемых деформаций. Точность измерения зависит от конструкции деформометра, регистрирующей и преобразующей аппаратуры и должна определяться в каждом конкретном случае по принятым в приборостроении методикам.

4.3. ЭЛЕКТРОТЕНЗОМЕТРИЯ

Электротензометрию широко применяют при определении напряжений, изменяющихся во времени. Сущность метода заключается в измерении деформации базы с помощью тензорезисторов. В основу работы тензорезистора положена зависимость активного (омического) сопротивления проводника R от его длины l , сечения проводника F и удельного сопротивления ρ :

$$R = \rho (l/F). \quad (4.12)$$

При действии на тензорезистор растягивающих или сжимающих деформаций будут изменяться геометрические размеры проводника тензорезистора и, как результат, его сопротивление.

Относительное изменение сопротивления

$$(\Delta R)/R = (\Delta l/l)S, \quad (4.13)$$

где S — коэффициент тензочувствительности тензорезистора, определяемый экспериментально для различных материалов проводника тензорезистора.

Поскольку в выражении (4.13) отношение $\Delta l/l$ есть относительная упругая деформация ϵ , то

$$\epsilon_{\text{упр}} = (\Delta R)/(RS). \quad (4.14)$$

Таким образом, измерение упругих деформаций $\epsilon_{\text{упр}}$ тензорезисторами заключается в определении изменения сопротивления ΔR проводника тензорезистора.

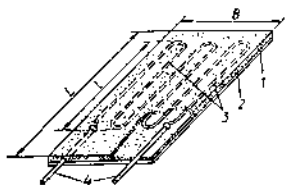


Рис. 4.10. Схема проводочного тензорезистора

тельным элементом электрически соединены выводные проволочки 4.

Основным элементом тензорезистора является чувствительный элемент. Наибольшее распространение получили чувствительные элементы из специальной константановой тензометрической проволоки диаметром 0,012...0,5 мм. Коэффициент тензочувствительности константановой проволоки практически не меняется вплоть до разрушения и $S = 2$. Чувствительный элемент тензорезистора изготавливается в виде петлеобразующей решетки различной конфигурации (рис. 4.11). Одной из определяющих характеристик тензорезистора является длина чувствительного элемента, которая называется базой. По длине базы тензорезисторы можно разделить на три группы: с малой ($l < 6$ мм), средней ($l = 10...30$ мм) и большой ($l > 30$ мм) базой. Сопротивление чувствительного элемента составляет 50, 80, 100, 120, 150, 200, 300, 400 и 600 Ом.

Подложка или основа тензорезистора предназначена для электрической изоляции чувствительного элемента от материала испытуемой детали и для закрепления тензорезистора на детали. В качестве основы для проводочных тензорезисторов используется тонкая (0,05 мм) бумага или пленки, изготовленные из полимеризующихся клеев и лаков (БФ-2, ВС-10Т, лак ВЛ-931, циакрин и др.). Пленочная основа имеет преимущества: более высокую влагостойкость, электросопротивление изоляции, высокую стабильность показаний с течением времени и др.

Выводы предназначены для подключения чувствительного элемента к измерительной схеме.

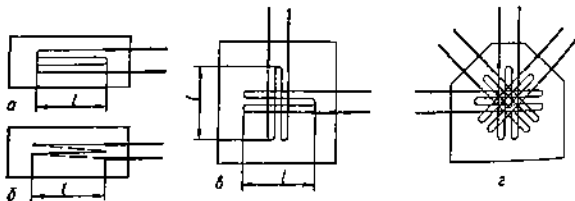


Рис. 4.11. Решетки тензочувствительных элементов проводочных тензорезисторов: а, б — многовитковая петлявая решетки; в — две решетки под углом 90°; г — четыре решетки под углом 45°

Характеристики различных отечественных тензорезисторов приведены в работе [5].

Фольговые тензорезисторы. Фольговые тензорезисторы (рис. 4.12) нашли широкое применение в последнее время благодаря высоким метрологическим характеристикам. Чувствительный элемент 1 изготавливается из тонколистового металла (фольги) толщиной 2...10 мкм шпательной или травленым. Обычно в качестве материала для чувствительных элементов используется константан при нормальных температурах и никром — для повышенных (до 300 °С).

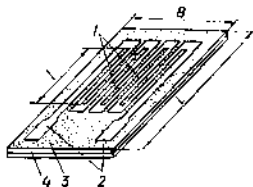


Рис. 4.12. Схема тензорезистора с фольговым чувствительным элементом

1 — чувствительный элемент, 2 — подложка, 3 — основа, 4 — клеевой слой

Решетка чувствительного элемента, в отличие от проводочных тензорезисторов, имеет не круглое, а прямоугольное сечение, что при малой толщине увеличивает площадь контакта с поверхностью исследуемого объекта, улучшает передачу деформации с объекта на чувствительный элемент, повышает надежность и стабильность измерений. Типовые решетки чувствительных элементов тензорезисторов приведены на рис. 4.13, а, б, в, г.

Фольговые тензорезисторы выпускаются с базой 0,3 мм и более. В качестве подложки (основы) используется пленка из синтетической

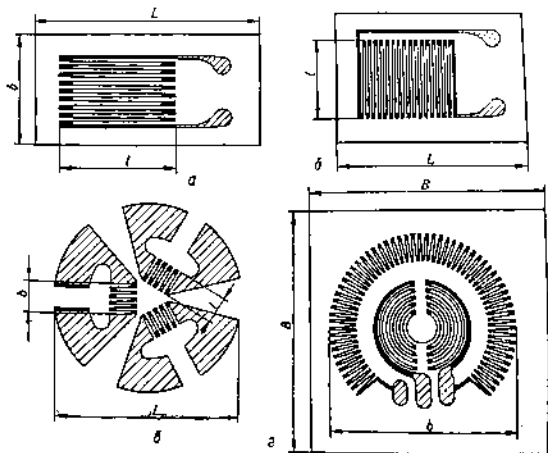


Рис. 4.13. Типовые конструкции решетки

смола, а также бумага, пропитанная клеем. Промышленность выпускает серийно несколько марок фольговых тензорезисторов [5].

Полупроводниковые тензорезисторы. При исследованиях малых деформаций рационально применять полупроводниковые тензорезисторы вследствие большого (до 50 %) изменения их удельного сопротивления при деформации. Чувствительный элемент изготавливают из монокристаллического полупроводника толщиной 20...50 мк, шириной до 0,5 мм и длиной 2...12 мм. Наиболее пригодны для этих целей германиевые и кремниевые полупроводники, сопротивление и коэффициент тензочувствительности которых зависят от количества примесей в кристалле.

При использовании полупроводниковых тензорезисторов необходимо учитывать, что их сопротивление и чувствительность сильно зависят от температуры и что они имеют ограниченный диапазон деформирования (линейная зависимость сохраняется до $\epsilon = \pm 10^{-3}$). Полупроводниковые тензорезисторы не имеют основы и закрепляются непосредственно на поверхности испытываемой детали.

В работе [5] приведены характеристики выпускаемых промышленностью полупроводниковых тензорезисторов.

Монтаж тензорезисторов. Монтаж тензорезисторов заключается в закреплении тензорезистора на выбранную базу измерения и состоит из следующих этапов: выбора типа тензорезистора, проверки качества тензорезистора, подготовки поверхности в месте закрепления тензорезистора, выбора клея, наклейки тензорезистора, проверки качества наклейки тензорезистора, защиты от влаги.

При выборе типа тензорезистора необходимо учитывать градиент напряжений, ожидаемую величину деформации, срок службы тензорезистора и т. д. Обратные для наклейки тензорезисторы проверяют на целостность чувствительного элемента с помощью омметра.

Поверхность для наклейки тензорезистора должна быть очищена от ржавчины, покрытия, грязи и т. п. и отшлифована наждачной шкуркой. Подготовленная поверхность перед наклейкой тензорезистора обезжиривается и затем удаляются следы влаги.

Тензорезистор закрепляется на подготовленной поверхности при помощи наклейки. Применяемые клеи можно разделить на две группы: клеи горячего отверждения (БФ-2, БФ-4, ВЛ-4, ВЛ-931, БФР-2), которые полимеризуются под действием нагрева, и клеи холодного отверждения (циакрин ЭО, 192Т и др.), полимеризующиеся при комнатной температуре.

Наклейку начинают с нанесения тонкого слоя клея на подготовленную поверхность и на тензорезистор. После просушки наносят второй слой клея, после чего тензорезистор укладывают на заранее намеченную базу, прокатывают резиновым валиком для удаления излишка клея и воздуха.

После полимеризации клея проверяют качество наклейки тензорезистора по замеру сопротивления чувствительного элемента, а также отсутствию короткого замыкания чувствительного элемента на корпус изделия.

Для защиты от воздействия окружающей среды на наклеенные тензорезисторы наносят слой защитного покрытия (лак, эмаль, краску и др.).

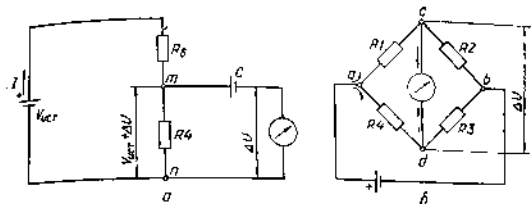


Рис. 4.14. Потенциометрическая (а) и мостовая (б) схемы включения тензорезисторов

Качество клеевого соединения тензорезистора с объектом исследования — один из важнейших факторов, определяющих достоверность полученных результатов.

Измерительные схемы. В результате деформации исследуемого объекта деформируется тензорезистор, сопротивление которого изменяется пропорционально деформации от единиц миллиом до нескольких десятых долей ома. Для измерения этих величин наиболее часто используют две схемы: потенциометрическую и мостовую (рис. 4.14).

Потенциометрическая схема включения тензорезистора в электрическую цепь состоит из источника питания $U_{ист}$, последовательно соединенных тензорезистора R_d и балластного сопротивления R_b . Если сопротивление тензорезистора изменяется, то между его крайними точками m и n кроме постоянного напряжения U появляется напряжение ΔU , пропорциональное изменению сопротивления тензорезистора R_d . Конденсатор C включен в цепь для задержки постоянной составляющей U , поэтому на регистрирующий прибор поступает только величина ΔU .

Для мостовой схемы наиболее часто используется мост Уитстона. Он состоит из четырех сопротивлений R_1, R_2, R_3, R_4 , источника питания и измерителя. К одной диагонали моста подключается источник тока, а к другой — измерительный прибор. Если сопротивления подобраны так, что $R_1 R_3 = R_2 R_4$, то мост будет сбалансированным и через измерительный прибор никакой ток не протекает. При изменении сопротивления R_4 на ΔR_4 равновесие моста нарушается, и через измерительный прибор протекает ток разбаланса, величина которого пропорциональна изменению ΔR_4 . Для балансировки моста перед измерениями одно из сопротивлений является переменным. Чтобы повысить чувствительность измерительной схемы, можно применить и другие мостовые схемы [5].

4.4. ОПРЕДЕЛЕНИЕ НАПРЯЖЕНИЙ В ГЛУБИНЕ МЕТАЛЛА

Определение трехосных остаточных напряжений — наиболее сложная задача. Чтобы найти трехосные напряжения в сварных соединениях, применяют метод глубоких сверлений, разработанный в МВТУ

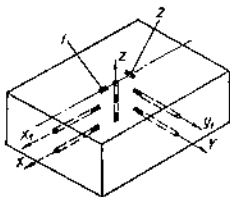


Рис. 4.15. Схема подготовки отверстий при измерении по методу глубоких сверлений: 1, 2 — тензорезисторы

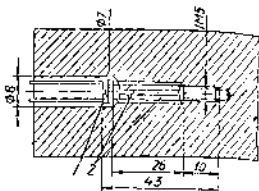


Рис. 4.16. Тензорезистор для измерения деформаций в глубине металла

ям Н. Э. Баумана, и метод, предложенный Киевским политехническим институтом.

Метод глубоких сверлений заключается в определении деформаций металла с помощью тензорезисторов, устанавливаемых в глубине металла.

В общем случае, чтобы найти компоненты объемного напряженного состояния в точке, необходимо измерить деформации в шести направлениях. Поскольку в сварных швах направление главных осей известно (гл. 3), достаточно произвести измерение только в трех направлениях.

Для установки тензорезисторов в изделии до сварки готовят отверстия диаметром 8 мм, которые располагают по возможности ближе к исследуемой точке в виде розетки для измерения объемных напряжений (рис. 4.15).

В подготовленные отверстия на резьбе устанавливают тензорезистор. Конструктивно (рис. 4.16) тензорезистор представляет собой болт 1 с двумя наклеенными по бокам проволоочными датчиками сопротивления 2, который ввинчивается с натягом в резьбовое отверстие.

Благодаря натягу тензорезистор реагирует как на деформации укорочения, так и на деформации удлинения, которые возникают при разрезе металла. По замеренным деформациям вычисляют остаточные напряжения.

В Киевском политехническом институте А. К. Гончаром и др. разработаны приближенная методика и прибор для измерения напряжений в глубине металла. Методика основана на измерении изменения диаметра отверстия на различных фиксированных уровнях по толщине металла. Используя решение теории упругости для напряженного состояния пластины с круговым отверстием, по замеренным изменениям диаметра определяют компоненты напряженного состояния. Если из пластины с отверстием радиуса a (рис. 4.17), нагруженной равномерными растягивающими напряжениями σ , вырезать концентрическое кольцо радиусом $c \geq 5a$, то для приведения кольца в состояние, в котором оно находилось до вырезки, необходимо по его наружной поверхности приложить нагрузку $\sigma_{\text{обшп}}$. Тогда в пластине с отверстием до вырезки кольца

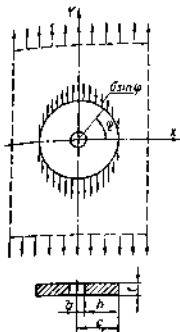


Рис. 4.17. Расчетная схема определения напряжений в пластине с отверстием

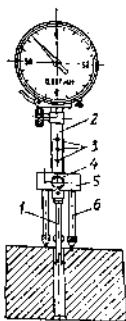


Рис. 4.18. Деформометр для измерения деформаций в глубине металла

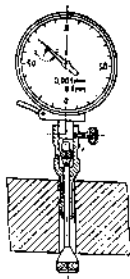


Рис. 4.19. Линейка для измерения толщины металла

$$\sigma_x = \frac{\alpha \Delta d_x + \beta \Delta d_y + 2\alpha \nu_z (\alpha + \beta)}{\alpha^2 - \beta^2};$$

$$\sigma_y = \frac{\alpha \Delta d_y + \beta \Delta d_x + 2\alpha \nu_z (\alpha + \beta)}{\alpha^2 - \beta^2}; \quad (4.15)$$

$$\sigma_z = \epsilon_z E + \nu \sigma_x + \nu \sigma_y,$$

где Δd_x , Δd_y — изменение диаметра отверстия в направлении осей X и Y в результате вырезки;

$$\alpha = \frac{c^2}{FE} \left(\frac{5c}{6l} + \frac{0,17h}{3l} - \frac{11,42h^2}{6cl} + \frac{1,7c}{3} + \frac{2h}{3c} - \frac{2l}{c} \right);$$

$$\beta = \frac{c^2}{FE} \left(\frac{2l}{c} + \frac{8,6}{3} + \frac{2h}{3c} + \frac{c}{3l} + \frac{h}{2l} + \frac{h^2}{6cl} \right); \quad (4.16)$$

$$\epsilon_z = \Delta t / t,$$

Δt — изменение толщины кольца;

$$l = \left(c - \frac{h}{2} \right) - \frac{h}{\ln \{ c / (c - n) \}};$$

ν — коэффициент Пуассона; F — площадь поперечного сечения кольца; E — модуль упругости.

Чтобы измерить остаточные напряжения, на исследуемом участке сварного соединения сверлят сквозное отверстие диаметром $d \approx 8$ мм. Для устранения шероховатости поверхности отверстия развертывают разверткой $\varnothing 8A_2$.

С помощью линейки и чертилки на поверхности через центр отверстия прочерчивают направляющие риски под углом 90° , на которых засверливают углубления для опорных конусов прибора.

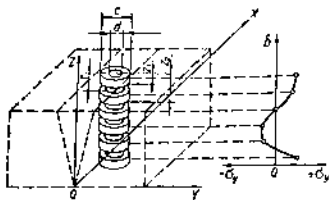


Рис. 4.20. Схема вырезки измерительного столбика

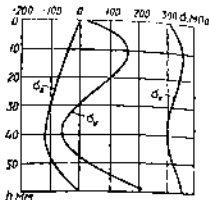


Рис. 4.21. Остаточные напряжения в многопроходном шне (толщина $\delta = 60$ мм)

Прибор (деформометр) представляет собой индикаторный нутромер 1 типа НИ (рис. 4.18). По его корпусу перемещается специальная насадка 5 с тремя одинаковой длины стержнями 6, заканчивающимися опорными конусами. На корпусе 2 через каждые 9 мм засверлены углубления 3. С помощью этих углублений и винта 4 насадка с опорными конусами фиксируется в определенном положении на корпусе нутромера, тем самым обеспечивая углубление измерительного устройства нутромера на фиксированную глубину. Нутромер комплектуется индикатором часового типа ИГМ с ценой деления 0,001 мм. Последовательно настраивая деформометр на заданные глубины, производят на этих глубинах измерение диаметра отверстия в двух взаимно перпендикулярных направлениях d_{ox} и d_{oy} . Одновременно с помощью специальной насадки (рис. 4.19) измеряется толщина металла.

Затем из сварного соединения полым сверлом вырезают ступенчато цилиндрический столбик металла, ось которого совпадает с осью базового отверстия. Радиус столбика $c = 5d$.

После высверловки полым сверлом паза на глубину z (рис. 4.20) повторно измеряют толщину металла и по разности замеров до вырезки t_0 и после вырезки t_1 определяют деформацию.

$$\varepsilon_1 = (t_1 - t_0)/t_0. \quad (4.17)$$

Таким же образом находят изменение толщины металла после проточки кольцевого паза на глубину $z_2(x_2)$, и так до полной вырезки столбика.

Затем столбик протачивают (рис. 4.20) на кольца равной высоты l для освобождения их от напряжений и производят замеры диаметров d_{ix} и d_{iy} на тех же расстояниях от поверхности и в тех же направлениях, что и до вырезки. Определяют изменение диаметров:

$$\Delta d_{ix} = d_{ix} - d_{ox}; \quad \Delta d_{iy} = d_{iy} - d_{oy}.$$

Полученные значения Δd_{ix} , Δd_{iy} , ε_2 подставляют с обратным знаком в выражение (4.15) и, предположив, что напряжения распределены по высоте каждого кольца равномерно, вычисляют объемные напряжения в каждом слое на глубине металла, действовавшие в нем до вырезки столбика. Высоту каждого кольца и ширину проточки

выбирают так, чтобы уровни измерения диаметров оказывались на средней высоте кольца.

На рис. 4.21 показано распределение остаточных сварочных напряжений по толщине многопроходного шва при сварке встык пластин из стали 12ХМ толщиной 60 мм, определенных по описанной методике.

4.5. ОПРЕДЕЛЕНИЕ НАПРЯЖЕНИЙ НЕРАЗРУШАЮЩИМ МАГНИТОУПРУГИМ МЕТОДОМ

Описанные выше экспериментальные методы исследования напряженного состояния связаны с разрушением (разрезкой) исследуемого объекта. Если при проведении экспериментальных работ такое разрушение может быть допущено, то при определении напряжений в реальных сварных конструкциях разрушение конструкции не допускается, хотя по условию изготовления или эксплуатации конструкции знание уровня напряжений необходимо, например, для оценки эффективности термообработки и т. п.

В последнее время для оценки остаточных сварочных напряжений применяют неразрушающий магнитоупругий метод.

Известно, что под действием механических напряжений значительно изменяются свойства ферромагнитных материалов. Это объясняется тем, что при наличии в кристаллическом теле напряжений деформируется решетка, и атомы смещаются относительно положения, которое они занимали в отсутствие напряжений, в результате чего изменяется и характер магнитного взаимодействия между атомами кристалла. Иными словами, изменяется либо магнитная проницаемость μ , либо индукция B . Связь между изменением магнитной проницаемости μ и действующим напряжением σ можно описать выражением

$$\frac{\Delta\mu}{\mu_0} = \frac{1}{\pi} \lambda_0 \mu_0 \sigma, \quad (4.18)$$

где $\Delta\mu$ — относительное изменение магнитной проницаемости; μ_0 — начальная магнитная проницаемость; λ_0 — коэффициент магнитоэластичности.

На рис. 4.22 приведена зависимость $\epsilon_\mu = f(\sigma)$, которая имеет нелинейный характер. Однако при значении $\sigma > 20$ МПа эта зависимость практически линейная в пределах упругих деформаций металла. Причем максимальное изменение магнитной проницаемости будет иметь место по направлению действия максимальных (главных) напряжений. В направлении действия напряжений растяжения магнитная проницаемость возрастает, а в направлении сжимающих напряжений — падает.

Таким образом, измерив изменение магнитной проницаемости в результате действия напряжений и пользуясь графиком

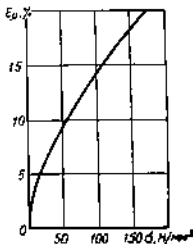


Рис. 4.22. Зависимость магнитной проницаемости от механических напряжений

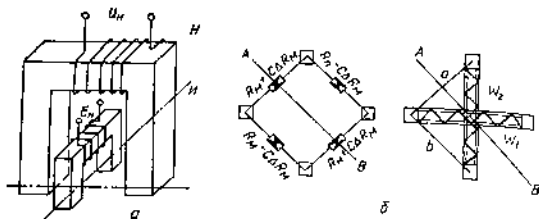


Рис. 4.23. Схема измерения четырехполюсным магнитоупругим датчиком: а — схема датчика; б — мостовой мост; в — условное обозначение датчика

$\epsilon_M = f(\sigma)$, можно определить величину действующего в теле напряжения.

Задача по определению напряжений сводится к измерению изменения магнитной проницаемости и построению графика $\epsilon_M = f(\sigma)$ для данного ферромагнитного материала.

Для измерения изменений магнитной проницаемости предложены различные конструкции магнитоупругих датчиков.

На практике применяют конструкции четырехполюсных магнитоупругих датчиков Ю. А. Мехонцева и др. Датчик представляет собой дифференциальный преобразователь трансформаторного типа, первичная обмотка которого является обмоткой намагничивания, а вторичная — индикаторной обмоткой. Обе обмотки размещены под углом 90° друг к другу на П-образных сердечниках (рис. 4.23).

На поверхности испытываемого металла в зоне действия датчика образуется магнитный мост (рис. 4.23), плечами которого являются участки поверхности, заключенные между следами башмаков сердечника.

Для напряженного состояния металла магнитное сопротивление в соседних плечах будет равно $R_M + \Delta R_M$, где R_M — магнитное сопротивление участка без напряжений; ΔR_M — приращение магнитного сопротивления в результате действия упругих напряжений. Поскольку ΔR_M во взаимно перпендикулярных направлениях не равны, то произойдет разбаланс магнитного моста. Возникающая в результате разбаланса магнитного моста ЭДС в индикаторной обмотке будет соответствовать упругим напряжениям.

Как в первом, так и во втором случае полученный с датчика сигнал в виде ЭДС индикаторной обмотки поступает на вход электронного усилителя.

Усиленный сигнал — величина электрическая, поэтому для определения соответствующих этому сигналу упругих напряжений необходимо произвести тарировку прибора. Тарировку производят ступенчатым нагружением специальных образцов с одновременным отсчетом показаний нагрузочного устройства и электрического усилителя.

Образцы для тарировки готовят из материала изделия, подлежащего контролю уровня упругих напряжений и прошедшего аналогичную технологическую обработку.

4.6. ПОЛЯРИЗАЦИОННО-ОПТИЧЕСКИЙ МЕТОД

Поляризационно-оптический метод, или метод фотоупругости, позволяет выявить общую картину распределения напряжений в элементах конструкции, в то время как тензорезисторы дают сведения только для отдельных точек. Отмеченная особенность метода позволяет исследовать поля напряжений и определять таким образом направления и величины напряжений для всех точек. В связи с этим рассматриваемый метод особенно полезен при последовании концентрации напряжений, а также для выбора оптимальных размеров, формы деталей и узлов сварных конструкций при их проектировании.

Поляризационно-оптический метод предусматривает применение моделей из оптически чувствительных материалов. Он основан на поляризации света и свойстве прозрачных изотропных материалов приобретать под действием нагрузки способность двойного лучепреломления.

Естественный свет (белый и монохроматический) представляет собой совокупность световых волн со всевозможными направлениями поперечных колебаний, беспорядочно сменяющими друг друга. *Поляризованным* является свет, в котором упорядочены направления колебаний световых волн. При этом поперечные колебания совершаются по определенным траекториям в плоскости, перпендикулярной к направлению распространения света. Если такая траектория представляет собой прямую линию, перпендикулярную к направлению распространения света, свет является *плоскополяризованным*. Если траектория представляет собой эллипс, то свет называется *эллиптически поляризованным*. Частным случаем эллиптической поляризации является *круговая поляризация*.

Для получения поляризованного света в поляризованных приборах используют поляроиды, представляющие собой поляроидную пленку, вклеенную между стеклянными пластинками. Поток световых лучей, прошедших через поляроид, имеет колебания только в одной плоскости. Если на пути прошедших через один поляроид лучей поставить второй поляроид так, чтобы плоскости поляризации поляроидов были параллельны, то свет пройдет полностью. Если плоскости поляризации поляроидов взаимно перпендикулярны, происходит полное поглощение света. При расположении плоскостей поляризации под каким-либо углом наблюдается частичное прохождение света.

Основным необходимым свойством прозрачного изотропного материала модели является его способность к двойному лучепреломлению под действием напряжений. Двойное лучепреломление — оптическое свойство кристаллов. При прохождении света через анизотропную или через прозрачную кристаллическую среду световой луч разделяется на две плоскополяризованные составляющие, распространяющиеся с разными скоростями. Скорости компонент света, поляризованного в двух взаимно перпендикулярных плоскостях, обратно пропорциональны показателям преломлений среды в этих плоскостях.

Следовательно, прозрачные изотропные материалы становятся при нагружении оптически анизотропными и ведут себя как двоякопреломляющие кристаллы. Обладающие таким свойством прозрачные материалы называются *оптически чувствительными*.

Для света, падающего перпендикулярно к плосконапряженной пластине, связь главных показателей преломления с главными напряжениями σ_1 и σ_2 выражается уравнениями:

$$\begin{aligned} n_1 - n_0 &= C_1 \sigma_1 + C_2 \sigma_2; \\ n_2 - n_0 &= C_1 \sigma_2 + C_2 \sigma_1, \end{aligned} \quad (4.19)$$

где n_1 и n_2 — коэффициенты преломления для двух главных направлений в нагруженной пластине; n_0 — коэффициент преломления для ненапряженного тела (находящегося в изотропном состоянии); C_1 и C_2 — оптические коэффициенты, характеризующие для данного материала зависимость между двойным лучепреломлением и напряжениями.

Из уравнений (4.19) следует, что

$$n_1 - n_2 = C (\sigma_1 - \sigma_2), \quad (4.20)$$

где $C = C_1 - C_2$ — относительный оптический коэффициент напряжений, $\text{мм}^2/\text{кг}$ (определяется опытным путем).

При входе в пластину, находящуюся в плосконапряженном состоянии, поляризованный луч света разлагается на два луча, которые распространяются с разными, но постоянными скоростями по толщине пластины:

$$V_1 = V_0/n_1; \quad V_2 = V_0/n_2, \quad (4.21)$$

где V_1 и V_2 — скорости распространения двух составляющих света; V_0 — скорость света в вакууме.

Плоскости поляризации лучей, распространяющихся в нагруженной пластине, совпадают с плоскостью главных напряжений σ_1 и σ_2 . Отставание одного луча от другого представляет собой линейную разность хода δ , которая пропорциональна разности коэффициентов преломления в толщине пластины d :

$$\delta = d (n_1 - n_2). \quad (4.22)$$

Из уравнений (4.20) и (4.22) следует, что

$$\delta = cd (\sigma_1 - \sigma_2). \quad (4.23)$$

Таким образом, при нормальном просвечивании поляризованным светом прозрачной оптически изотропной плосконапряженной модели с напряжениями в пределах упругости оптическая разность хода для двух составляющих волны света, распространяющихся в плоскостях главных напряжений σ_1 и σ_2 , пропорциональна толщине модели и разности напряжений $\sigma_1 - \sigma_2$ в исследуемой точке.

Соотношение (4.23) — основной закон в поляризационно-оптическом методе (закон Вертгайма), выражающий количественную связь между оптическим эффектом и разностью главных напряжений $\sigma_1 - \sigma_2$.

Оптическую разность хода δ и направления главных напряжений σ_1 и σ_2 определяют при просвечивании плоских моделей в полярироскопе. Полярироскоп — оптический прибор, принцип действия которого основан на использовании свойств поляризованного света. Для демонстрационных целей чаще используют простые по устройству плоские полярироскопы.

Плоский полярископ состоит из источников света, поляризатора и анализатора. Напряженную модель устанавливают в рабочем поле полярископа между поляризатором и анализатором.

Поляризатор представляет собой поляроид, после прохождения которого свет становится плоскополяризованным. Анализатор — второй поляроид, который аналогично поляризатору пропускает световые колебания только в одной плоскости. На выходе анализатора наблюдается интерференционная картина, образуемая в результате совмещения в одной плоскости со сдвигом фаз колебаний двух световых волн, выходящих из модели.

При расположении плоскостей поляризации поляризатора и анализатора под углом 90° получается картина интерференции в черном поле. Соответственно при параллельных плоскостях возникает картина интерференции в белом поле.

Интерференционные картины, наблюдаемые на изображении модели, называются *картинами полос*, или *картинами изохром*. При просвечивании модели белым светом на экране полярископа наблюдают картину цветных изохром, а при просвечивании монохроматическим светом — картину чередующихся темных и светлых полос.

Последовательность появления цветов при нагружении моделей из оптически активных материалов, а также соответствующие им разности хода лучей приведены в табл. 4.1.

Таблица 4.1. Значение разности хода лучей при различных цветах интерференции

Интерференционный цвет	Разность хода лучей, $\mu\text{м}$	Интерференционный цвет	Разность хода лучей, $\mu\text{м}$
Черный	0	Зеленовато-голубой	726
Серо-синий	158	Зеленый	747
Белый	259	Зеленовато-желтый	866
Светло-желтый	306	Оранжевый	948
Красновато-оранжевый	505	Темно-фиолетово-красный	1101
Огненно-красный	536	Светло-зеленовато-фиолетовый	1128
Темно-красный	561	Индиго (фиолетовый с зеленой)	1158
Пурпурный	565	Голубой с зеленой	1258
Фиолетовый	575	Морской волны	1334
Индиго (фиолетовый с зеленой)	589	Ярко-зеленый	1376
Небесно-голубой	664		

Однако на практике визуальным методом тяжело различить приведенные в табл. 4.1 цвета, поэтому при проведении исследований регистрируют следующие интерференционные цвета: черный, серо-синий, белый, светло-желтый, огненно-красный, фиолетовый и небесно-голубой.

В качестве оптически чувствительного материала, используемого для изготовления моделей, все более широко применяют поликарбонат. Он представляет собой полиэфир дифенилпропана и угольной кислоты, отличающийся редким сочетанием физико-химических и оптико-механических свойств.

Для оценки напряженно-деформированного состояния методом фотоупругости применяется лабораторная поляризационная уста-

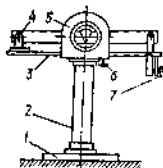


Рис. 4.24. Схема лабораторной поляризационной установки

новка, представляющая собой плоский поларископ с нагрузочным устройством (рис. 4.24). Лабораторная поляризационная установка (ЛПУ) состоит из основания 1, стойки 2, подвижной траверсы 3, перемещаемой по направляющим, двух обоям 5 с поляроидами, осветительного тубуса, кронштейна 4 для шарнирного крепления исследуемой модели и винторычажного нагрузочного устройства 7.

Исследуемая модель одним концом шарнирно соединяется с винторычажным нагрузочным устройством 7, а другим — с кронштейном 4, который может устанавливаться

и фиксироваться в требуемом месте траверсы с помощью двух зажимных винтов. Траверса фиксируется винтом 6.

Просвечивание модели обеспечивается белым светом через поляризатор. Осветитель установки питается от электрической сети. При нагружении модели винторычажным устройством в последней возникают напряжения, которые приводят к появлению на экране анализатора интерференционных цветов. По интерференционным цветам и соответствующим значениям разности хода лучей можно проанализировать характер распределения напряжений в любом сечении исследуемого образца.

Для разделения напряжений по полученной на модели разности $\sigma_1 - \sigma_2$ применяются различные способы.

Поскольку модель отличается от натурального изделия масштабом, упругими характеристиками и внешними нагрузками, необходимо полученные результаты перенести на натуру.

Для двумерной модели используют соотношение

$$\sigma_n = \sigma_m \frac{l_m d_m P_m}{l_n d_n P_n}, \quad (4.24)$$

где σ_n , l_n , d_n и P_n — соответственно напряжение, линейный размер, толщина и внешняя нагрузка натуре;

σ_m , l_m , d_m и P_m — то же модели.

Соотношение (4.24) справедливо в пределах упругих деформаций однородного изотропного материала.

4.7. ИССЛЕДОВАНИЕ КИНЕТИКИ СВАРОЧНЫХ ДЕФОРМАЦИЙ И НАПРЯЖЕНИЙ

Исследование кинетики сварочных деформаций и напряжений позволяет более глубоко изучить и понять механизм протекания термомеханических процессов при сварке, произвести анализ образования сварочных напряжений и рассчитать их величину.

Возникающая при сварке внутренняя деформация

$$\varepsilon_{вв} = \varepsilon_{под} - \varepsilon_{св}.$$

(4.26)

С помощью тензометров, закрепленных на сварном соединении, определяется полная деформация $\epsilon_{пол}$ практически во всех интервалах температурного цикла сварки. Свободная температурная деформация $\epsilon_{св}$ характеризуется dilatометрической кривой для данного материала.

Таким образом, существующие экспериментальные методы исследования позволяют определить внутреннюю деформацию $\epsilon_{ин}$, которая состоит из упругой и пластической составляющих:

$$\epsilon_{ин} = \epsilon_{упр} + \epsilon_{пл}. \quad (4.26)$$

Под воздействием температур меняются упругоэластические свойства материала, поэтому с учетом этих изменений выражение (4.26) примет вид

$$\epsilon_{ин}(T) = \epsilon_{упр}(T) + \epsilon_{пл}(T), \quad (4.27)$$

где

$$\epsilon_{упр}(T) = \sigma_1(T)/E(T);$$

T — текущая температура.

При этом значения $\sigma_1(T)$ определяются для всех температур со скоростью нагружения соответствующей скорости деформирования при сварке.

В зависимости от температуры процесс деформирования может идти в упругой стадии или в пластической.

В случае упругой деформации внутренняя деформация $\epsilon_{ин}(T)$ должна быть меньше $\epsilon_T(T)$, т. е.

$$\epsilon_{ин}(T) = \epsilon_{упр}(T) < \epsilon_T(T). \quad (4.28)$$

Напряжения на этом интервале температур будут непосредственно определяться величиной

$$\sigma_1(T) = \epsilon_{ин}(T) E(T). \quad (4.29)$$

Если имеет место пластическое деформирование, то внутренняя деформация $\epsilon_{ин}(T) > \epsilon_T(T)$ и выполняется условие

$$\epsilon_{упр}(T) = \epsilon_T(T). \quad (4.30)$$

Напряжения в этом интервале температур

$$\sigma_1(T) = \epsilon_T(T) E(T). \quad (4.31)$$

Следовательно, для экспериментальной оценки кинетики сварочных деформаций и напряжений необходимо иметь следующие зависимости: $\epsilon_{св}(T)$; $E(T)$; $\epsilon_T(T)$; $\epsilon_{пол}(T)$.

В качестве примера рассмотрим кинетику продольных сварочных деформаций и напряжений для точки, находящейся в пластической зоне вблизи шва.

На рис. 4.25 приведена схема развития продольных деформаций, которая строится следующим образом. По экспериментально замеренной температуре в исследуемой точке строим зависимость $T(t)$, а по замеренной полной деформации — кривую изменения $\epsilon_{пол}(T)$. Затем рассчитывают свободную температурную деформацию $\epsilon_{св}(T)$ по фор-

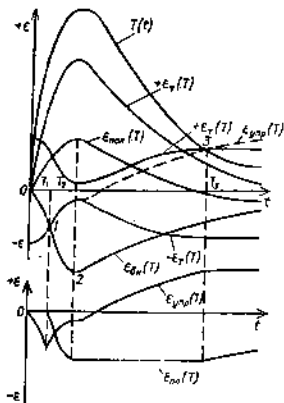


Рис. 4.25. Развитие продольных деформаций при сварке стык

На участке $0 \dots 1$ (рис. 4.25) внутренняя деформация $\epsilon_{ин}(T_i < \epsilon_{\gamma}(T)$, т. е. растет упругая деформация сжатия от нулевого значения до значения, соответствующего пределу текучести при температуре T_1 . Напряжения на этом участке определяем выражением

$$\sigma(T_0 - T_1) = \epsilon_{ин}(T_0 - T_1) E (T_0 - T_1). \quad (4.32)$$

При температуре T_1 упругие деформации сжатия достигнут значения $\epsilon_{\gamma}(T_1)$. В дальнейшем, поскольку $\epsilon_{сп}(T) > \epsilon_{\gamma}(T)$, деформирование будет сопровождаться развитием пластических деформаций сжатия на участке $1 \dots 2$, т. е.

$$\epsilon_{сп}(T) = \epsilon_{\gamma}(T) + \epsilon_{пл}(T). \quad (4.33)$$

Упругие напряжения сжатия соответствуют значению $\epsilon_{\gamma}(T)$. Такое развитие деформаций и напряжений будет до температуры T_2 . Температура T_2 соответствует максимальному значению температуры в данной точке. Затем начинается охлаждение. При понижении температуры ниже T_2 упругие напряжения не могут следовать по кривой $\epsilon_{\gamma}(T)$, так как при этом должна уменьшаться пластическая деформация сжатия, а это невозможно (для уменьшения пластической деформации сжатия необходимо, чтобы протекали пластические деформации удлинения, т. е. должны быть в этот момент напряжения растяжения, превышающие $\sigma_{\gamma}(T)$, а в действительности действуют напряжения сжатия). При этом нет условий для роста пластических деформаций сжатия, так как это может быть при условии, что упругая деформация сжатия остается на уровне $\epsilon_{\gamma}(T)$, что противоречит сказан-

ному $\epsilon_{сп}(T) = \alpha T(T)$, где α — коэффициент линейного расширения при данной температуре (в случае материала, имеющего заметные структурные превращения, и как следствие строим дилатометрическую кривую). Кривая, характеризующая изменение $\epsilon_{ин}(T)$, получена как разность $\epsilon_{пол}(T) - \epsilon_{сп}(T)$. Поскольку на схеме имеется зависимость $T(t)$, то остальные зависимости, которые представлены в функции от t , одновременно являются и функцией от T , т. е. $\epsilon_{сп}(t) \rightarrow \epsilon_{сп}(T)$;

$$\epsilon_{сп}(t) \rightarrow \epsilon_{сп}(T); \quad \epsilon_{ин}(t) \rightarrow \epsilon_{ин}(T).$$

На эту же схему наносим кривую относительной деформации на уровне σ_{γ} при растяжении и сжатии в зависимости от температуры $\epsilon_{\gamma}(T)$.

Теперь проведем анализ развития деформаций и напряжений при нагреве и охлаждении сварного соединения.

кому выше. Значит кривая упругой деформации может следовать только эквидистантно кривой $\epsilon_{\text{уп}}(T)$, которая показывает начало развития упругих напряжений растяжения при постоянной пластической деформации (рис. 4.25). На участке 2...3 упругие напряжения определяем по выражению

$$\sigma(T_2 - T_3) = [\epsilon_{\text{уп}}(T_2 - T_3) - (\epsilon_{\text{уп}}(T_2) - \epsilon_T(T_2))] E(T_2 - T_3). \quad (4.31)$$

Процесс будет продолжаться до пересечения $\epsilon_{\text{уп}}(T)$ с $\epsilon_T(T)$ при растяжении (точка 3, см. рис. 4.25). В дальнейшем в данном направлении будут протекать пластические деформации удлинения, так как $\epsilon_{\text{уп}}(T) > \epsilon_T(T)$, а напряжения будут равны σ_T .

4.8. ОПРЕДЕЛЕНИЕ ПОЛНОЙ ДЕФОРМАЦИИ ПРИ СВАРКЕ

Изучение кинетики развития сварочных деформаций и напряжений требует экспериментального определения изменения полной деформации $\epsilon_{\text{пол}}(t)$ в пределах термического цикла сварки.

В общем случае необходимо измерять полную деформацию вдоль (продольную) и поперек (поперечную) шва.

При измерении деформаций деформометры закрепляют на исследуемом объекте по одну сторону от сварного шва (рис. 4.26). Базовые отверстия готовят на выбранном расстоянии от оси шва и параллельно ему. Деформометр может быть закреплен сверху или снизу образца.

При исследовании поперечных деформаций измерения производят относительно оси шва, т. е. базовые отверстия располагаются симметрично по обе стороны шва. При таком расположении деформометра измеряемая деформация в поперечном направлении состоит из собственно поперечной деформации Δ_n^0 и составляющей в поперечном направлении $\Delta\varphi$ от угловой деформации (рис. 4.27). При отсутствии угловой деформации точка А в результате поперечной деформации смещается в положение А' и $\Delta_n^0 = l/2$ — $-l/2$, а при угловой деформации вследствие поворота на угол φ точка А' займет положение А'', и в измеряемом направлении появится составляющая $\Delta\varphi$, т. е. измеряемая деформометром величина

$$\Delta_{\text{пол}} = (\Delta_n^0 + \Delta\varphi) 2. \quad (4.35)$$

Для учета деформаций, вызванных угловыми перемещениями в процессе сварки, предложена следующая методика измерения временных поперечных деформаций. Собранные под сварку пластины укладывают в специальное приспособление с подкладкой 3 (рис. 4.28). Деформометр 7 прикрепляется к подкладке 3 с помощью пружинной подвески, которая обеспечивает эластичное крепление прибора и надежное сопряжение измерительных конусов 4 с базовыми углублениями в пластинах.

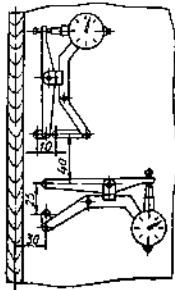


Рис. 4.26. Примеры установки деформометров для измерения

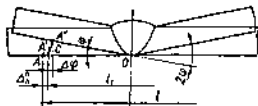
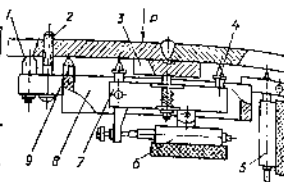


Рис. 4.27. Составляющие поперечной деформации

Рис. 4.28. Схема измерения поперечной деформации



Показания индикатора 6 определяют величину $\Delta_{\text{пол}}$. Одновременно в том же поперечном сечении измеряются перемещения при помощи измерителя 8, который с помощью винта 2, опорной плиты 1 и призмы 9 закрепляют на одной из пластин сварного соединения. Призма 9 и измерительный стержень индикатора 5 сопрягаются с точками, симметричными относительно оси шва. По показаниям индикатора 5 определяют угол 2φ (рис. 4.27).

Поскольку угловые перемещения вызывают изменение длины базы измерения l (рис. 4.27), то для определения неточного значения поперечной деформации Δ_n^* необходимо найти величину составляющей в поперечном направлении от углового перемещения $\Delta\varphi$ при известном угле φ , т. е., учитывая (4.35),

$$\Delta_n^* = \Delta_{\text{пол}}/2 - \Delta\varphi, \quad (4.36)$$

где $\Delta_{\text{пол}}$ — измеряемая деформометром деформация.

Согласно схеме (рис. 4.27) величину поправки $\Delta\varphi$ можно определить из $\Delta A'O A''$ и $\Delta A' C A''$ по зависимости

$$\Delta\varphi = (l/2 - \Delta_n^*) \lg \varphi \lg \varphi/2. \quad (4.37)$$

Тогда из (4.36) и (4.37) получим

$$\Delta_n^* = \frac{0,5l \lg \varphi \lg \varphi/2 + \Delta_{\text{пол}} (1 + \lg \varphi \lg \varphi/2)}{1 + 2 \lg \varphi \lg \varphi/2}. \quad (4.38)$$

Таким образом, при одновременном снятии показаний с индикатора 5 (угол φ) и индикатора 6 (поперечное перемещение $\Delta_{\text{пол}}$) в помощью зависимости (4.38) легко определить полную деформацию в процессе сварки и ее остаточное значение.

4.9. ОПРЕДЕЛЕНИЕ ОСТАТОЧНЫХ ПРОДОЛЬНЫХ ПЛАСТИЧЕСКИХ ДЕФОРМАЦИЙ УКОРОЧЕНИЙ ПРИ СВАРКЕ

При сварке в пластической зоне образуются остаточные продольные пластические деформации укорочения, кроме случаев сварки материалов, претерпевающих структурные превращения. Характер распределения остаточных пластических деформаций укорочения по ширине пластической зоны и ширина этой зоны представляют интерес при экспериментальных и теоретических исследованиях напряженно-деформированного состояния в сварных изделиях.

Экспериментально определяют остаточные продольные пластические деформации укорочения следующим образом.

После полного охлаждения в поперечном сечении пластической зоны пластические деформации определяют зависимостью

$$\varepsilon_{пл} = \varepsilon_{пол} - \varepsilon_{упр}, \quad (4.39)$$

где $\varepsilon_{пол}$ — полная деформация после сварки.

Если затем произвести разгрузку сварного соединения от упругих деформаций ($\varepsilon_{упр} = 0$), то в пластической зоне будут только пластические деформации

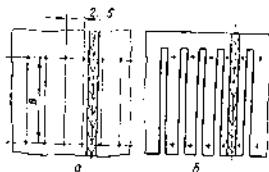


Рис. 4.29. Подготовка измерительных баз B_1 и B_2 для определения остаточной продольной пластической деформации

$$\varepsilon_{пл} = \varepsilon_{пол}^*, \quad (4.40)$$

где $\varepsilon_{пол}^*$ — полная деформация после разгрузки.

Полную деформацию после разгрузки $\varepsilon_{пол}^*$ исследователю и $\varepsilon_{пол}$ можно найти по разности замеров деформометром измерительных баз до сварки B_1 и после разгрузки B_2 , т. е.

$$\varepsilon_{пол}^* = \varepsilon_{пол} = (B_1 - B_2)/B_1. \quad (4.41)$$

Для этого в исследуемом поперечном сечении сварного соединения до сварки готовят в продольном направлении измерительные базы через каждые 5...10 мм, начиная с расстояния 2...5 мм от линии сплавления основного металла и металла шва (рис. 4.29, а). Поскольку в продольном направлении величина остаточной продольной пластической деформации практически не изменяется, как показала практика, для повышения точности измерений следует выбирать базу 50...100 мм.

После замеров баз получают значение B_1 и выполняют сварку. Затем после полного охлаждения сварного соединения производят его разгрузку от упругих деформаций, разрезав сварное соединение между измерительными базами на узкие продольные полоски, как показано на рис. 4.29, б. При этом каждая продольная полоска с измерительной базой освобождается от связей с остальной частью соединения, и поэтому в ней исчезает упругая деформация, что проявляется в изменении измерительной базы. Измеряя это изменение, получают значение B_2 , и по формуле (4.41) рассчитывают остаточную пластическую деформацию для каждой измерительной базы. Таким образом определяют ее эпюру в поперечном сечении сварного соединения и ширину пластической зоны.

Рассмотренный метод определения остаточной продольной пластической деформации получил название «метод гребенки» [2].

РАСЧЕТНОЕ ОПРЕДЕЛЕНИЕ ОСТАТОЧНЫХ СВАРОЧНЫХ ДЕФОРМАЦИЙ

5.1. КЛАССИФИКАЦИЯ СВАРОЧНЫХ ДЕФОРМАЦИЙ

Процесс изготовления сварных конструкций сопровождается искажением их проектных размеров и форм, которое называют *сварочными деформациями*.

Количественная оценка ожидаемых сварочных деформаций — важный этап производства сварных конструкций. Знание величины и характера ожидаемых сварочных деформаций позволяет еще на стадии проектирования сварной конструкции вносить соответствующие изменения, направленные на обеспечение требуемой точности. Не менее важно оценить сварочные деформации при проектировании технологического процесса изготовления сварной конструкции, так как на основе такой оценки производится выбор метода снижения сварочных деформаций и назначаются соответствующая технологическая оснастка, а также обоснованные технологические припуски заготовок.

Процесс формирования сварного соединения происходит в условиях неравномерного нагрева, приводящего к развитию деформаций, которые называются *временными деформациями*, изменяющими размеры и форму сварного соединения в процессе сварки.

Временные деформации предопределяют характер и величину *остаточных деформаций*, выражающихся в послесварочных изменениях геометрии сварной конструкции.

В зависимости от типа сварного соединения, его геометрических размеров и сочетания свариваемых элементов все многообразие изменения геометрии сварной конструкции можно разделить на несколько основных видов:

1. *Деформации продольного укорочения*. Они проявляются в изменении первоначальных размеров свариваемых элементов в направлении, параллельном продольной оси сварного шва. Продольное укорочение вызывается остаточными продольными пластическими деформациями укорочения (только при продольных швах), а также остаточными поперечными пластическими деформациями укорочения (при продольных и поперечных швах).

2. *Деформации поперечного укорочения*. В этом случае происходит изменение первоначальных размеров свариваемых элементов в направлении, перпендикулярном к продольной оси сварного шва. Поперечное укорочение вызывается остаточными поперечными пластическими деформациями укорочения в литейной усадкой в поперечном направлении расплавленного металла, начиная с температуры восстановления его упругих свойств.

3. *Угловые деформации*. Эти деформации проявляются при повороте свариваемых листов на некоторый угол относительно исходного положения.

Угловые деформации, например, возникают при односторонней или многопроходной сварке встык вследствие неравномерной по тол-

динг поперечной пластической деформации укорочения; при сварке тавровых соединений в результате неравномерной пластической деформации по толщине поясного листа или в результате неравномерного поперечного сокращения металла углового шва

4. *Деформации потери устойчивости листовых элементов конструкций.* Наиболее часто они встречаются при сварке тонколистовых элементов (до 3...4 мм) и проявляются в виде значительных перемещений из исходной плоскости листовых (оболочковых) элементов

Эти деформации вызываются напряжениями сжатия, возникающими в конструкции преимущественно из-за остаточных пластических продольных деформаций укорочения.

5. *Деформации изгиба свариваемых элементов,* например, продольный изгиб сварных тавровых или двутавровых балок. Эти деформации обуславливаются несовпадением центра тяжести поперечного сечения зоны остаточных продольных и поперечных пластических деформаций укорочения с центром тяжести поперечного сечения свариваемых элементов.

6. *Деформации скручивания относительно продольной оси конструкции.* Они наиболее часто встречаются при сварке конструкций балочного типа. Деформации скручивания вызываются взаимным смещением свариваемых кромок, например, при приварке стенок балок к полкам.

В случае изготовления конструкций сложной геометрической формы, насыщенной сварными швами, изменения проектных размеров и форм конструкции вызываются не одним из перечисленных видов деформаций, а их совокупностью, однако, они могут быть дифференцированы на отдельные виды.

5.2. ОПРЕДЕЛЕНИЕ УСАДОЧНОЙ СИЛЫ

Образование в сварном соединении остаточных продольных и поперечных пластических деформаций укорочения, имеющих местный характер, вызывает в сварном соединении уравновешенную систему внутренних напряжений. Действие распределенных внутренних напряжений при решении деформационных задач заменяют статически эквивалентными сосредоточенными силами, называемыми *усадочными*.

Различают усадочную силу $P_{yc}^{пр}$ от продольных остаточных пластических деформаций укорочения и $P_{yc}^{пол}$ от остаточной поперечной пластической деформации укорочения, когда она распределена неравномерно в сечении, перпендикулярном к направлению ее действия.

Усадочная сила $P_{yc}^{пр}$ пропорциональна площади эпюры остаточных продольных пластических деформаций укорочения $\epsilon'(x)$ (рис. 5.1). Она определяется зависимостью

$$P_{yc}^{пр} = \delta E \int_{-b_{II}}^{b_{II}} \epsilon'(x) dx. \quad (5.1)$$

Докажем зависимость (5.1). Полная продольная деформация после сварки в точках произвольного поперечного сечения

$$\epsilon_{пол}(x) = \epsilon_{уст}(x) + \epsilon'(x). \quad (5.2)$$

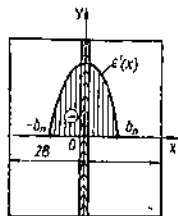


Рис. 5.1. Распределение продольных остаточных пластических деформаций укорочения ε'

Принтегрируем (5.2) по ширине сварного соединения:

$$\int_{-B}^B \varepsilon_{\text{пол}}(x) dx = \int_{-B}^B \varepsilon_{\text{упр}}(x) dx + \int_{-B}^B \varepsilon'(x) dx. \quad (5.3)$$

Первое слагаемое в правой части (5.3) равно нулю вследствие уравновешенности по сечению упругих деформаций. Тогда

$$\int_{-B}^B \varepsilon_{\text{пол}}(x) dx = \int_{-B}^B \varepsilon'(x) dx. \quad (5.4)$$

Умножим правую и левую части (5.4) на δL

$$\delta L \int_{-B}^B \varepsilon_{\text{пол}}(x) dx = \delta L \int_{-B}^B \varepsilon'(x) dx.$$

С учетом того, что $\varepsilon'(x)$ распределена только в пределах зоны $2\delta_n$, данное выражение можно переписать в виде

$$\delta L \int_{-B}^B \varepsilon_{\text{пол}}(x) dx = \delta L \int_{-\delta_n}^{\delta_n} \varepsilon'(x) dx. \quad (5.5)$$

В левой части (5.5) имеем объем продольного укорочения $V_{\text{ук}}^{\text{пр}}$ сварного соединения, обусловленного действием сварочных напряжений. Формально объем продольного укорочения можно получить при действии на пластину, размеры которой равны сварному соединению, внешней сосредоточенной усадочной силы. Эту силу при известном объеме продольного укорочения $V_{\text{ук}}^{\text{пр}}$ определяем по закону Гука:

$$P_{\text{ус}}^{\text{пр}} = \frac{\Delta L_{\text{ук}}^{\text{пр}} E E}{L} = \frac{V_{\text{ук}}^{\text{пр}} E}{L}. \quad (5.6)$$

Подставляя в (5.6) вместо $V_{\text{ук}}^{\text{пр}}$ правую часть (5.5), получаем

$$P_{\text{ус}}^{\text{пр}} = \delta E \int_{-\delta_n}^{\delta_n} \varepsilon'(x) dx,$$

что и требовалось доказать.

Как следует из § 3.5, для сварного соединения произвольной ширины

$$\varepsilon' = -\frac{\varepsilon_{\tau} \sqrt{b_n^2 - x^2}}{b_n - [(b_n^2)/4B]}. \quad (5.7)$$

Следовательно, подставляя (5.7) в (5.1) получаем

$$P_{\text{ук}}^{\text{пр}} = 2\delta\sigma_{\tau} [b_n/(4 - \lambda\pi)], \quad \lambda = b_n/B. \quad (5.8)$$

При выполнении шва на бесконечной плоскости ($B = \infty$) из (5.8) следует, что

$$P_{\text{ук}}^{\text{пр}} = \delta\sigma_{\tau} (b_n/2). \quad (5.9)$$

В некоторых случаях необходимо определить продольную усадочную силу при сварке пластин различной ширины. Тогда усадочную силу исходя из (5.8) можно найти как сумму усадочных сил, возникающих при выполнении шва по кромкам отдельных пластин, т. е.

$$P_{сг}^{np} = \delta \lambda \sigma_T \left(\frac{b_{n1}}{4\lambda_1 \pi} + \frac{b_{n2}}{4\lambda_2 \pi} \right), \quad (5.10)$$

где $\lambda_1 = b_{n1}/B_1$; $\lambda_2 = b_{n2}/B_2$.

Если представить e' в виде прямоугольника (метод Трочуна), то

$$P_{ус}^{np} = (e_T + e_p) E \delta 2b_n, \quad (5.11)$$

где e_p — абсолютная величина упругих деформаций сжатия зоны $2b_n$.

Известны и другие зависимости для $P_{ус}^{np}$. Например, по данным В. А. Винокурова значение $P_{ус}^{np}$ при стыковой сварке весьма жестких элементов, выраженное в ньютонах, может быть определено по формуле:

$$P_{ус}^{np} = - [230000/(q_n + 12600) + 3,58] q/v, \quad (5.12)$$

где q — эффективная мощность, Дж/с; v — скорость сварки, см/с; $q_n = q/\delta_{расч}$ — удельная погонная энергия сварки, Дж/см²; $\delta_{расч}$ — расчетная толщина свариваемых элементов, см. $\delta_{расч} = 0,5(\delta_1 + \delta_2)$ в стыковых или угловых соединениях или $\delta_{расч} = 0,5(2\delta_n + \delta_n)$ в тавровом или нахлесточном соединении.

Для прерывистых швов величину $P_{ус}^{np}$ определяем по формуле

$$P_{ус.пр}^{np} = P_{ус}^{np} (t_{ш}/l),$$

где $t_{ш}$ — длина проваренного участка; l — шаг прерывистого шва.

Связь между остаточными пластическими поперечными деформациями укорочения и усадочной силой $P_{ус}^{np}$ установим, рассмотрев процесс поперечного укорочения сварного соединения. При сварке стык свободных (незакрепленных) пластин (рис. 5.2, а) в результате свободной поперечной усадки пластины укоротятся в поперечном направлении на величину $\Delta_{сг.пр}^{св}$. При этом в поперечном направлении никакие силы не возникнут.

Если же свариваются пластины, закрепленные по продольным кромкам (рис. 5.2, б), то в процессе охлаждения свободное поперечное укорочение $\Delta_{сг.пр}^{св}$ не может реализоваться, и в результате

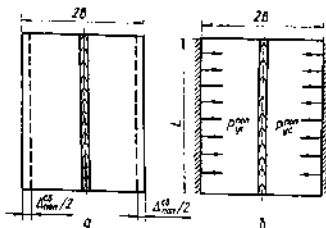


Рис. 5.2. Поперечные деформации при сварке свободных пластин (а) и образование поперечной усадочной силы при сварке закрепленных пластин (б)

реакции заделки в поперечном направлении возникнут растягивающие силы. Эти силы приведут к развитию поперечных пластических деформаций удлинения $\Delta_{\text{поп}}^{\text{пл.удл}}$ в зоне сварного соединения, где металл еще не восстановил упругих свойств. Значение $\Delta_{\text{поп}}^{\text{пл.удл}}$ зависит от жесткости заделки и в каждом конкретном случае для его определения требуется постановка соответствующего эксперимента.

Таким образом, после освобождения сваренных пластин от закрепления наблюдается поперечное укорочение

$$\Delta_{\text{поп}}^{\text{закр}} = \Delta_{\text{поп}}^{\text{св}} - \Delta_{\text{поп}}^{\text{пл.удл}}. \quad (5.13)$$

Поперечное укорочение $\Delta_{\text{поп}}^{\text{закр}}$ в условиях закрепления не может реализоваться, что приведет к возникновению в заделке реактивной силы

$$P_{\text{ус}}^{\text{поп}} = \Delta_{\text{поп}}^{\text{закр}} EL\delta/2B. \quad (5.14)$$

Определение усадочной силы представляет собой решение термо-механической задачи и является первым этапом расчета сварочных деформаций. На втором этапе методами сопротивления материалов или теории упругости определяют деформации конструкции, используя данные, полученные на первом этапе.

5.3. ДЕФОРМАЦИИ ПРОДОЛЬНОГО УКОРОЧЕНИЯ ОТ ПРОДОЛЬНЫХ ШВОВ

Деформации продольного укорочения определяются действием e' в пластической зоне с поперечным сечением $F_{\text{пл}}$. Как было уже показано, действие e' можно представить в виде продольной усадочной силы $P_{\text{ус}}^{\text{пр}}$, приложенной в центре тяжести зоны $F_{\text{пл}}$.

Продольное укорочение будет определяться как результат решения задачи нагружения свободного от внутренних сил тела сосредоточенной внешней сжимающей силой $P_{\text{ус}}^{\text{пр}}$. Тогда по закону Гука продольное укорочение можно найти по формуле

$$\Delta L_{\text{ук}}^{\text{пр}} = (P_{\text{ус}}^{\text{пр}} L) / EF, \quad (5.15)$$

где L — длина соединения; E — модуль упругости; F — площадь поперечного сечения соединения.

Согласно расчетному методу Трочуна (см. § 2.5), продольное укорочение можно также определить через напряжения сжатия σ_p в реактивной зоне сварного соединения:

$$F_p = F - F_{\text{пл}}.$$

Это легко установить. Если после сварки из сварного соединения вырезать по границам $F_{\text{пл}}$ пластическую зону, то эта часть соединения будет короче остальной части (реактивной) на величину $e'L$. Чтобы из этих отдельных частей сложить снова сварное соединение с размерами, которые были после сварки, необходимо пластическую зону удлинить на некоторую величину ($e_p L$), а реактивную часть

укоротить так, чтобы совместились торцевые сечения (на величину $\epsilon_p L$). Общее укорочение всего соединения определяется величиной $\epsilon_p L$, т. е. напряжениями сжатия в реактивной зоне:

$$\Delta L_{\text{ук}}^{\text{пр}} = \sigma_p L / E, \quad (5.16)$$

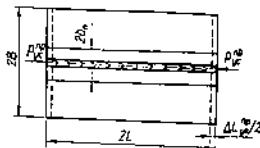


рис. 5.3. Расчетная схема для определения продольного укорочения при сварке стык

Пример. Определить продольное укорочение при автоматической сварке свободных пластин (рис. 5.3)

стык. Материал — сталь марки Ст3. Режим сварки $I_s = 800$ А; $U_s = 36$ В; $v = 36$ м/ч; к. п. д. нагрева $\eta = 0,85$. Размеры, соответствующие рис. 5.3: $2B = 800$ мм; $2L = 1000$ мм; $\delta = 10$ мм.

Решение. 1. Определяем ширину зоны пластических деформаций укорочения $2b_n$:

1.1. Удельная тепловая мощность сварочного нагрева

$$q_s = \frac{q}{v\delta_s} = \frac{800 \cdot 36 \cdot 0,85 \cdot 3600}{36 \cdot 0,02} = 1,221 \cdot 10^5 \text{ Дж/м}^2.$$

1.2. Ширина зоны, нагретой до пластического состояния,

$$b_1 = \frac{0,484 q_n}{c\gamma \cdot 600} = \frac{0,484 \cdot 1,221 \cdot 10^5}{5,2 \cdot 10^4 \cdot 600} = 1,8 \text{ см.}$$

1.3. Ширина зоны упругоэластических деформаций

$$b_2 = k_2 (B - b_1).$$

По графику на рис. 2.17 $k_2 = f(q_0) = 0,22$.

Поскольку $B > 300$ мм, для расчета принимаем $B = 300$ мм:

$$b_2 = 0,22 (30 - 1,8) = 5,64 \text{ см.}$$

1.4. Ширина зоны остаточных пластических деформаций укорочения

$$2b_n = 2(b_1 + b_2) = 2(1,8 + 5,64) = 15 \text{ см.}$$

2. Находим продольное укорочение через усадочную силу:

2.1. Продольная усадочная сила соответственно формуле (5.8)

$$P_{\text{ус}}^{\text{пр}} = 2\delta \rho_{\tau} \frac{b_n}{4 - \lambda_{\text{п}}} = \frac{2 \cdot 10 \cdot 3,14 \cdot 250 \cdot 75}{4 - 0,18 \cdot 3,14} = 3,39 \cdot 10^4 \text{ Н.}$$

2.2. По формуле (5.16) продольное укорочение

$$\Delta L_{\text{ук}}^{\text{пр}} = \frac{P_{\text{ус}}^{\text{пр}} 2L}{EF} = \frac{3,39 \cdot 10^4 \cdot 1000}{2 \cdot 10^5 \cdot 8 \cdot 10^3} = 0,21 \text{ мм.}$$

3. Определяем продольное укорочение через реактивные напряжения сжатия:

3.1. Из условия равновесия продольных внутренних сил в поперечном сечении соединения реактивные напряжения сжатия по формуле (2.33)

$$\sigma_p = -\frac{\sigma_{\tau} F_{\text{пл}}}{F - F_{\text{пл}}} = -\frac{\sigma_{\tau} b_n}{B - b_n} = -\frac{250 \cdot 75}{400 - 75} = -67 \text{ МПа.}$$

3.2. Продольное укорочение

$$\Delta L_{\text{ук}}^{\text{пр}} = \frac{\sigma_p 2L}{E} = \frac{57 \cdot 1000}{2 \cdot 10^5} = 0,28 \text{ мм.}$$

Как видно, расчет укорочения по методу Троицна дает несколько завышенный результат в связи с тем, что в этом случае

$$\int_{(F_{пл})} v'(x) dx$$

имеет большее значение.

5.4. ДЕФОРМАЦИИ ПОПЕРЕЧНОГО УКОРОЧЕНИЯ

Поперечное укорочение $\Delta_{\text{поп}}$ при сварке наблюдается, когда отсутствуют препятствия (закрепления) свободному перемещению точек свариваемых элементов в направлении поперек шва либо когда имеется закрепление, частично ограничивающее это перемещение. Определим свободное поперечное укорочение $\Delta_{\text{поп}}^{\text{св}}$ для двух случаев сварки: с зазором и без зазора.

При сварке с зазором в результате нагрева дугой свариваемые крошки будут перемещаться в зазор, так как отсутствуют какие-либо препятствия для их перемещения. Перемещение крошки в свободном стыковом соединении с зазором показано на рис. 5.4. Максимально возможное перемещение одной крошки

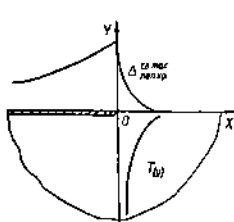
$$\Delta_{\text{поп.кр}}^{\text{св. макс}} = \int_0^{\infty} \epsilon_i dy = \int_0^{\infty} \alpha T(y) dy. \quad (5.17)$$

При отсутствии теплоотдачи в воздух

$$\Delta_{\text{поп.кр}}^{\text{св. макс}} = \frac{\alpha}{c\gamma} \frac{q}{v\delta}, \quad (5.18)$$

где ϵ_i — температурная деформация; $T(y)$ — температура точек рассматриваемого поперечного сечения; α — коэффициент линейного расширения; $c\gamma$ — удельная теплоемкость; q — эффективная мощность источника нагрева; v — скорость сварки; δ — толщина свариваемого металла.

На стадии охлаждения, начиная с момента кристаллизации ме-



талла ванны, т. е. температуры $T_{\text{пл}}$, вследствие температурного укорочения начнут развиваться поперечные по отношению к шву пластические деформации удлинения, так как свободному температурному укорочению будут препятствовать менее нагретые поперечные волокна металла впереди и сзади ванны. Эта пластическая деформация будет на участке, где металл находился в температурном интервале от температуры плавления $T_{\text{пл}}$ до температуры восстановления упругих свойств металла T^* , т. е. на ширине зоны b_1 .

Рис. 5.4. Свободное перемещение крошки

Следовательно, поперечное пластическое удлинение

$$\Delta_{\text{пол}}^{\text{пл.удл}} = \int_0^{b_1} \alpha (T_{\text{пл}} - T^*) dy \approx \approx \alpha b_1 (T_{\text{пл}} - T^*). \quad (5.19)$$

Дальнейшее понижение температуры от T^* будет вызывать в поперечном направлении упругие деформации растяжения. Как показывают исследования временных и остаточных поперечных напряжений при сварке встык, величина этих напряжений не достигает значений предела текучести, что говорит об отсутствии на этой стадии охлаждения пластических деформаций удлинения.

Значит, остаточное поперечное перемещение одной кромки

$$\Delta_{\text{пол.кр}}^{\text{ост}} = \Delta_{\text{пол.кр}}^{\text{св.мах}} - \Delta_{\text{пол}}^{\text{пл.удл}^*} = \alpha \left[\frac{q}{c\gamma\delta b} - b_1 (T_{\text{пл}} - T^*) \right]. \quad (5.20)$$

Если величина зазора превышает $2\Delta_{\text{пол.кр}}^{\text{св.мах}}$, то это означает, что такое перемещение каждой кромки возможно и, следовательно, остаточное поперечное укорочение будет равно остаточному перемещению двух кромок:

$$\Delta_{\text{пол}}^{\text{сн}} = 2\Delta_{\text{пол.кр}}^{\text{ост}}.$$

В случае *сварки без зазора* свободное перемещение кромок не реализуется, оно все трансформируется в пластическое укорочение ε^* , неравномерно распределенное по ширине зоны $2b_1$, изменяясь от нуля на границе b_1 до максимума на оси шва (рис. 5.5).

Учитывая пластическое поперечное удлинение на ширине $2b_1$ при охлаждении в этой зоне величина остаточного пластического укорочения будет меньше (рис. 5.5).

Для случая сварки без зазора

$$\Delta_{\text{пол}}^{\text{сн}} = 2 \int_0^{b_1} \varepsilon_{\text{ост}}^*(y) dy. \quad (5.21)$$

Закон распределения $\varepsilon_{\text{ост}}^*$ по ширине пластической зоны в настоящее время мало изучен. По экспериментальным данным

$$\varepsilon_{\text{ост}}^* = (\alpha T^*) \sqrt{b_1^2 - y^2/b_1}. \quad (5.22)$$

Подставляя (5.22) в (5.21), получаем

$$\Delta_{\text{пол}}^{\text{сн}} = \pi \alpha T^* b_1 / 2. \quad (5.23)$$

Если же зазор меньше, чем $2\Delta_{\text{пол.кр}}^{\text{св.мах}}$, полное свободное перемещение кромок в зазор может реализоваться только на величину $\Delta_{\text{кр}}/2$.

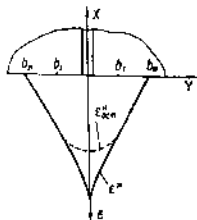


Рис. 5.5. Распределение поперечной пластической деформации укорочения ε^*

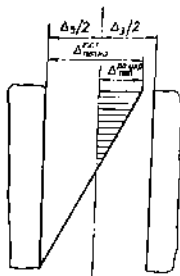


Рис. 5.6. Поперечное укорочение при сварке с зазором $\Delta_z < \Delta_{\text{пол. кр}}^{\text{max}}$

так как при этом кромки сомкнутся, а первоначальное перемещение трансформируется в пластическое укорочение в поперечном направлении (рис. 5.6). Остаточное поперечное укорочение сварного соединения

$$\Delta_{\text{пол}}^{\text{св}} = \Delta_z + \Delta_{\text{пол}}^{\text{пл. укр}} - 2\Delta_{\text{пол}}^{\text{пл. укл}}, \quad (5.24)$$

где $\Delta_{\text{пол}}^{\text{пл. укл}}$ определяем по формуле (5.19), а

$$\Delta_{\text{пол}}^{\text{пл. укр}} = 2\Delta_{\text{пол. кр}}^{\text{св. max}} - \Delta_z. \quad (5.25)$$

Следовательно,

$$\Delta_{\text{пол}}^{\text{св}} = 2[\alpha q / \gamma \nu b - \alpha b_1 (T_{\text{пл}} - T^*)] \quad (5.26)$$

Из формулы (5.26) следует, что при сварке с промежуточным зазором, когда зазор больше нуля и меньше максимального свободного поперечного перемещения кромок от нагрева, остаточное поперечное укорочение сварного соединения определяется как и в случае сварки с большим зазором, превышающим максимальное свободное поперечное перемещение кромок от нагрева при сварке. Следовательно, при сварке с промежуточным зазором поперечное укорочение можно определять по формуле (5.20), а изложенные рассуждения показывают механизм его образования. В случае сварки, когда имеются закрепления, частично ограничивающие свободное поперечное укорочение, значение остаточной поперечной деформации можно определить по формуле (5.13):

$$\Delta_{\text{пол}}^{\text{укр}} = \Delta_{\text{пол}}^{\text{св}} - \Delta_{\text{пол}}^{\text{пл. укл}}.$$

Предложенные зависимости являются приближенными, однако они позволяют с достаточной для практических целей точностью оценивать поперечные деформации при сварке.

Пример. Для случая сварки пластины, указанного в § 5.3, определить остаточные поперечные укорочения при условии сварки с зазором $\Delta_z = 2$ мм и без зазора.

Решение 1. Находим максимальное свободное поперечное перемещение двух кромок по формуле (5.16):

$$2\Delta_{\text{пол. кр}}^{\text{св. max}} = 2 \frac{\alpha q}{\gamma \nu b} = \frac{2 \cdot 12 \cdot 10^4 \cdot 24480 \cdot 3600}{5,2 \cdot 10^4 \cdot 36 \cdot 0,01} = 1,12 \text{ мм.}$$

2. Поскольку свободное перемещение двух кромок меньше зазора, это означает, что оно возможно. Остаточное поперечное укорочение определяем по формуле (5.20):

$$\Delta_{\text{пол}}^{\text{св}} = 2\alpha \left[\frac{q}{\gamma \nu b} - b_1 (T_{\text{пл}} - T^*) \right].$$

где для стали Ст3 температура $T^* = 600^\circ\text{C}$,

$$\Delta_{\text{пол}}^{\text{св}} = 2 \cdot 12 \cdot 10^4 \left[\frac{24480 \cdot 3600}{5,2 \cdot 10^4 \cdot 36 \cdot 0,01} - 0,018 (1500 - 600) \right] = 0,80 \text{ мм.}$$

3 Для сравнения находим поперечное укорочение в случае сварки без зазора, используя формулу (5.23).

$$\Delta L_{\text{поп}}^{\text{св}} = \frac{\pi \alpha T^* b_{\text{ш}}}{2} = \frac{3,14 \cdot 12 \cdot 10^{-4} \cdot 600 \cdot 7,5}{2} = 11,021 \text{ см} = 110,21 \text{ мм}.$$

Таким образом, зазор можно выбирать на величину поперечного укорочения.

5.5. ДЕФОРМАЦИИ ПРОДОЛЬНОГО УКОРОЧЕНИЯ ПРЯ СВАРКЕ ПРОДОЛЬНЫХ И ПОПЕРЕЧНЫХ ШВОВ

Если сварное соединение имеет продольные и поперечные швы, то продольное укорочение сварного соединения состоит из собственно продольного укорочения от сварки продольного шва и деформации в продольном направлении от поперечного укорочения поперечного шва, т. е.

$$\Delta L_{\text{ук}}^{\text{св}} = \Delta L_{\text{ук}}^{\text{пр}} + \Delta L_{\text{ук}}^{\text{поп}}. \quad (5.27)$$

Значение $\Delta L_{\text{ук}}^{\text{пр}}$ определяем по формуле (5.15). Значение $\Delta L_{\text{ук}}^{\text{поп}}$ находим в зависимости от условий, в которых происходит поперечное укорочение. Если отсутствуют какие-либо закрепления, то значение $\Delta L_{\text{ук}}^{\text{поп}} = \Delta L_{\text{поп}}^{\text{св}}$ и будет определяться формулами (5.20), (5.23), (5.26).

Рассмотрим, чему будет равно $\Delta L_{\text{ук}}^{\text{поп}}$ в условиях свободного поперечного укорочения шва (рис. 5.7, а). Если из сварного соединения вырезать полосу шириной, равной длине поперечного шва b , то эта полоса укоротилась бы в соответствии с (5.13) на величину $\Delta L_{\text{поп}}^{\text{св}} = \Delta L_{\text{поп}}^{\text{св}} - \Delta L_{\text{поп}}^{\text{пл.звл}}$ (рис. 5.7, б).

В дальнейшем задачу решаем методом сшивания. Приложим к торцам средней части соединения (рис. 5.7, б) растягивающую нагрузку

$$\sigma_0 = (\Delta L_{\text{поп}}^{\text{св}} E) / 2L, \quad (5.28)$$

которая обеспечивает удлинение этой части до длины крайних полос $2L$. «Сшьем» среднюю и крайние полосы, не снимая приложенной нагрузки. После снятия нагрузки σ_0 в работу включается все поле-

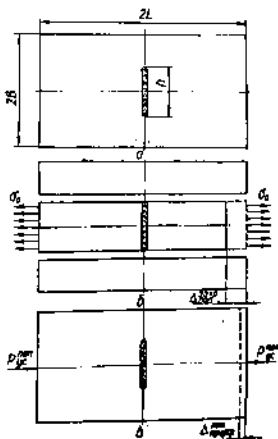


Рис. 5.7. Расчетная схема определения продольного укорочения от сварки поперечного шва

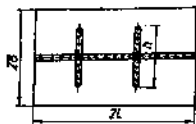


Рис. 5.6. Схема сварного соединения

речное сечение сварного соединения. Действие растягивающей нагрузки P можно заменить сосредоточенной эквивалентной силой

$$P = \sigma_0 \delta h.$$

Учитывая (5.28), получаем (5.14)

$$P_{yc}^{пол} = (\Delta_{пол}^{закр} \delta h E) / 2L.$$

Под действием $P_{yc}^{пол}$ (рис. 5.7, а) сварное соединение укоротится на величину

$$\Delta_{ук}^{пол} = (P_{yc}^{пол} 2L) / EF. \quad (5.29)$$

Пример. Определить продольное укорочение сварного соединения, приведенного на рис. 5.6, где $2L = 1000$ мм, $h = 500$ мм, $2B = 800$ мм, $\delta = 10$ мм. Пластины из стали марки Ст3, $\sigma_T = 250$ МПа. Режим сварки $I_d = 600$ А, $U_d = 40$ В, $v = 28$ м/ч, к. п. д. нагрева $\eta = 0,85$. Сварка без зазора

Решение. 1. Определим продольное укорочение от сварки продольного шва:

1.1. Ширина зоны продольных пластических деформаций укорочения

$$b_n = b_1 + b_2;$$

$$b_1 = \frac{0,484 q}{v \delta_0 c \gamma 600} = \frac{0,484 \cdot 800 \cdot 10 \cdot 3600 \cdot 0,85}{28 \cdot 2,5 \cdot 10^3 \cdot 600 \cdot 0,02} = 2,7 \text{ см};$$

$$b_2 = k_2 (B - b_1).$$

По графику (рис. 2.17) $k_2 = 0,245$;

$$b_2 = 0,245 (30 - 2,7) = 6,7 \text{ см}; \quad b_n = 2,7 + 6,7 = 9,4 \text{ см}.$$

1.2. Продольная усадочная сила

$$P_{yc}^{пр} = 2\delta \sigma_T \left(\frac{b_n}{4 - \lambda_T} \right) = \frac{2 \cdot 10 \cdot 3,14 \cdot 250 \cdot 94}{4 - 0,23 \cdot 3,14} = 4,41 \cdot 10^3 \text{ Н}.$$

1.3. Продольное укорочение от сварки продольного шва

$$\Delta L_{ук}^{пр} = \frac{P_{yc}^{пр} 2L}{EF} = \frac{4,41 \cdot 10^3 \cdot 1000}{2 \cdot 10^4 \cdot 8000} = 0,2 \text{ мм}.$$

2. Определяем продольное укорочение от сварки поперечных швов:

2.1. По формуле (5.23) значение свободного поперечного укорочения для одного шва, принимая $T^* = 600$ °С,

$$\Delta_{пол}^{св} = \frac{\pi \alpha T^* b_n}{2} = \frac{3,14 \cdot 12 \cdot 10 \cdot 600 \cdot 94}{2} = 0,8 \text{ мм}.$$

2.2. При $\Delta_{пол}^{пл, удл} = 0,2$ мм по формуле (5.13)

$$\Delta_{пол}^{закр} = \Delta_{пол}^{св} - \Delta_{пол}^{пл, удл} = 0,8 - 0,2 = 0,6 \text{ мм},$$

а для двух швов

$$\Delta_{пол}^{закр} = 1,2 \text{ мм}.$$

2.3. Поперечная усадочная сила

$$P_{пол}^{закр} = \frac{\Delta_{пол}^{закр} \delta F h}{2L} = \frac{1,2 \cdot 10 \cdot 2 \cdot 10^4 \cdot 500}{1000} = 1,2 \cdot 10^3 \text{ Н}.$$

2.4 Продольное укорочение от поперечных швов по формуле (5.29)

$$\Delta_{\text{ук}}^{\text{пол}} = \frac{\rho_{\text{yc}}^{\text{пол}} 2L}{E\pi} = \frac{1,2 \cdot 10^6 \cdot 1000}{2 \cdot 10^4 \cdot 3000} = 0,7 \text{ мм.}$$

Остаточное продольное укорочение

$$\Delta L_{\text{ук}}^{\text{зпр}} = \Delta L_{\text{ук}}^{\text{пр}} + \Delta_{\text{ук}}^{\text{пол}} = 0,9 \text{ мм.}$$

5.6 ДЕФОРМАЦИИ ИЗГИБА

Деформации изгиба при сварке являются наиболее значительными по сравнению с другими в тех случаях, когда центры тяжести поперечного сечения зон остаточных пластических деформаций (продольных и поперечных) не совпадают с центром тяжести поперечного сечения сварного соединения, т. е. имеется внецентренное приложение усадочных сил $P_{\text{yc}}^{\text{пр}}$ и $P_{\text{yc}}^{\text{пол}}$.

Рассмотрим наиболее характерные случаи изгиба сварных соединений.

При сварке *встык* двух пластин различной ширины (рис. 5.9, а) из-за внецентренного приложения продольной усадочной силы на сварное соединение будет действовать изгибающий момент

$$M = P_{\text{yc}}^{\text{пр}} e_{\text{пр}},$$

где $e_{\text{пр}}$ — эксцентриситет приложения усадочной силы,

$$e_{\text{пр}} = (B_2 - B_1)/2. \quad (5.30)$$

Остаточный прогиб (рис. 5.9, б) при этом значении изгибающего момента

$$f_{\text{пол}} = [M (2L)^2] / 8EI, \quad (5.31)$$

где $2L$ — длина пластин; I — момент инерции поперечного сечения соединения.

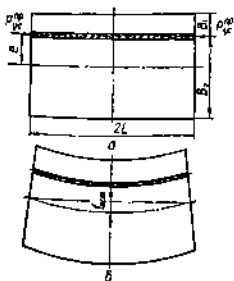


Рис. 5.9. Деформации изгиба при сварке *встык* пластин различной ширины

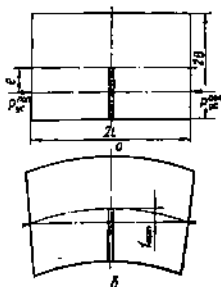


Рис. 5.10. Деформации изгиба от сварки *встык* пластин различной ширины

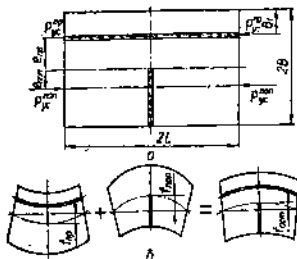


Рис. 5.11. Расчетная схема (а) и деформации изгиба (б) от действия P_{yc}^{np} и P_{yc}^{nop}

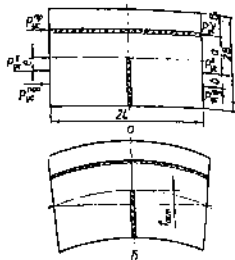


Рис. 5.12. Расчетная схема (а) и деформации изгиба (б) от действия P_{yc}^L

Поперечные швы (рис. 5.10, а, б) также могут вызвать изгиб пластин, если поперечное укорочение будет происходить в условиях закрепления, приводящих к появлению усадочной силы P_{yc}^{nop} . Применительно к рис. 5.10 изгибающий момент $M = P_{yc}^{nop} e_{nop}$, где $e_{nop} = B/2$.

Если в сварном соединении внецентренно расположено несколько усадочных сил, то остаточный прогиб можно определить как сумму прогибов от действия каждой усадочной силы (рис. 5.11) или как результат действия суммарной усадочной силы (рис. 5.12):

$$f = f_{np} + f_{nop}, \quad (5.32)$$

либо

$$f = [P_{yc}^L e^L (2L)^2] / 8EJ, \quad (5.33)$$

где

$$P_{yc}^L = P_{yc}^{np} + P_{yc}^{nop}, \quad (5.34)$$

Эксцентриситет находим из условия, что

$$e^L = B/2 - b,$$

где

$$b = aP_{yc}^{np}/P_{yc}^{nop}; \quad a + b = \frac{3}{2} B - B_1.$$

Деформации изгиба имеют более сложный характер, когда усадочная сила приложена в точке, не лежащей на центральных осях поперечного сечения соединения. Это, например, можно наблюдать при сварке таврового соединения односторонним угловым швом (рис. 5.13). Поскольку площадь зоны остаточных пластических деформаций несимметрична относительно оси Y , точка приложения усадочной силы

будет смещена относительно осей X и Y . В результате такого положения точки приложения P_{yc} возникнут моменты: относительно оси X момент $M_x = P_{yc}e_x$, а относительно оси Y момент $M_y = P_{yc}e_y$ и соответствующие им прогибы

$$f_x = (M_x L^2) / 8 E J_x;$$

$$f_y = (M_y L^2) / 8 E J_y,$$

где L — длина балки; J_x , J_y — моменты инерции поперечного сечения соответственно относительно осей X и Y .

Таким образом, остаточный прогиб

$$f_{ост} = \sqrt{f_x^2 + f_y^2} \quad (5.35)$$

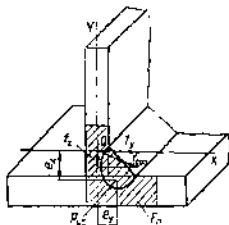


Рис. 5.13. Внецентренное приложение усадочной силы при односторонней сварке таврового соединения

Пример. Определить остаточный прогиб в результате сварки пластины, приведенных на рис. 5.11. Размеры пластины: $2L = 1000$ мм, $2B = 600$ мм, $B_1 = 200$ мм, $b = 10$ мм, предел текучести материала — $\sigma_T = 250$ МПа. Режим сварки: $I_d = 800$ А, $U_d = 32$ В, $v_c = 40$ м/м, к. п. д. нагрева $\eta = 0,85$.

Решение 1. Определяем усадочную силу от сварки продольного шва:

1.1. Ширина зоны пластических деформаций

$$b_1 = \frac{0,48 \eta q}{v \delta_0 c \gamma 600} = \frac{0,484 \cdot 800 \cdot 32 \cdot 0,85 \cdot 3600}{4 \cdot 0,02 \cdot 5,2 \cdot 10^3 \cdot 600} = 1,5 \text{ см.}$$

1.2. Находим ширину зоны упругопластических деформаций b_2 .

Удельная тепловая мощность

$$q_0 = \frac{q}{v \delta_0} = \frac{800 \cdot 32 \cdot 0,85 \cdot 3600}{40 \cdot 0,02} = 9,79 \cdot 10^6 \text{ Дж/м}^3.$$

По графику (рис. 2.17) значение $k_2 = 0,28$.

Для пластины шириной B_1

$$b_1' = k_2 (B_1 - b_1) = 0,28 (20 - 1,5) = 5,2 \text{ см.}$$

Для пластины шириной $2B - B_1$

$$b_2'' = k_2 (30 - b_2) = 0,28 (30 - 1,5) = 8 \text{ см.}$$

Для пластины шириной B_1 зона пластических деформаций укорочения

$$b_{II}' = b_1 + b_1' = 1,5 + 5,2 = 6,7 \text{ см.}$$

Для пластины шириной $2B - B_1$ ширина зоны пластических деформаций укорочения

$$b_{II}'' = b_1 + b_2'' = 1,5 + 8,0 = 9,5 \text{ см.}$$

1.3. Соответственно формуле (5.10) усадочная сила от сварки продольного шва

$$P_{yc}^{var} = \delta \lambda \sigma_T \left(\frac{b_{II}'}{4 - \lambda_1 \pi} + \frac{b_{II}''}{4 - \lambda_2 \pi} \right) = 4,2 \cdot 10^3 \text{ Н.}$$

2. Находим усадочную силу от сварки поперечного шва:

2.1. Ширина воиш пластических деформаций продольного укорочения (полуширина пластин равна 500 мм)

$$b_n = b_n^0 = 9,5 \text{ см.}$$

2.2. С учетом того что аззор отсутствует, свободное поперечное укорочение по формуле (5.23)

$$\Delta_{\text{поп}}^{\text{св}} = \frac{\mu \alpha T^* b_n}{2} = \frac{3,14 \cdot 12 \cdot 10^{-4} \cdot 600 \cdot 9,5}{2} = 0,1 \text{ см.}$$

2.3. Нерезализованное поперечное укорочение ($\Delta_{\text{поп}}^{\text{пл. удл}} = 0,02 \text{ см}$)

$$\Delta_{\text{поп}}^{\text{вар}} = \Delta_{\text{поп}}^{\text{св}} - \Delta_{\text{поп}}^{\text{пл. удл}} = 0,08 \text{ см.}$$

2.4. Усадочная сила от сварки поперечного шва

$$P_{\text{ус}}^{\text{поп}} = \Delta_{\text{поп}}^{\text{вар}} \frac{E B \delta}{2L} = 6 \cdot 10^4 \text{ Н.}$$

3. Определяем остаточный прогиб пластин:

3.1. Эксцентриситет приложения продольной усадочной силы

$$e_{\text{пр}} = (B - 200) - \left(b_n - \frac{b_n^0 - b_n^{\text{пл}}}{2} \right) = (30 - 20) - \left(9,5 - \frac{6,7 - 9,5}{2} \right) = 8,0 \text{ см}$$

3.2. Эксцентриситет приложения усадочной силы от поперечного шва

$$e_{\text{поп}} = B/2 = 15 \text{ см.}$$

3.3. Момент инерции поперечного сечения пластин

$$J = \frac{\delta (2B)^3}{12} = 1,8 \cdot 10^8 \text{ мм}^4.$$

3.4. Прогиб от продольной усадочной силы

$$f_{\text{пр}} = \frac{P_{\text{ус}}^{\text{пр}} e_{\text{пр}} (2L)^2}{8 E J} = \frac{4,2 \cdot 10^4 \cdot 86 \cdot 10^8}{8 \cdot 2 \cdot 10^5 \cdot 1,8 \cdot 10^8} = 0,127 \text{ мм.}$$

3.5. Прогиб от силы $P_{\text{ус}}^{\text{поп}}$

$$f_{\text{поп}} = \frac{P_{\text{ус}}^{\text{поп}} e_{\text{поп}} (2L)^2}{8 E J} = \frac{6 \cdot 10^4 \cdot 15 \cdot 10^8}{8 \cdot 2 \cdot 10^5 \cdot 1,8 \cdot 10^8} = 0,3 \text{ мм.}$$

3.6. С учетом направления прогибов $f_{\text{пр}}$ и $f_{\text{поп}}$ остаточный прогиб

$$f = f_{\text{поп}} - f_{\text{пр}} = 0,3 - 0,127 = 0,173 \text{ мм}$$

6.7. УГЛОВЫЕ ДЕФОРМАЦИИ

Наряду с другими видами деформаций при сварке может также возникать угловая деформация, заключающаяся в повороте свариваемых листов на некоторый угол относительно исходного положения. Угловая деформация возникает при сварке однопроводных и многопроводных сварных соединений со стыковыми и угловыми швами. На рис. 5.14 показана угловая деформация в стыковом и тавровом соединениях. Величина угловой деформации равна углу β .

При сварке *стыковых соединений* основной причиной образования угловой деформации является неравномерность поперечной усадки различных слоев металла по толщине вследствие неравномерного

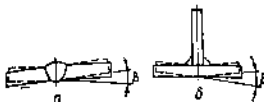


Рис. 5.14. Угловые деформации в стыковом (а) и тавровом (б) соединениях

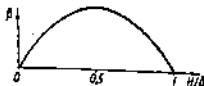


Рис. 5.15. Зависимость угловой деформации от относительной глубины провара

разогрева. В наибольшей степени угловая деформация проявляется при односторонней стыковой сварке свободных пластин с V-образной разделкой кромок.

Величина угловой деформации β зависит от многих факторов: относительной глубины провара H/b , относительной ширины провара B/b , формы провара, механических и теплофизических свойств металла и др. На рис. 5.15 показано изменение угловой деформации от относительной глубины провара. Форма и величина определяются сосредоточенностью, мощностью и скоростью движения источника нагрева, а также свойствами материала.

При двусторонней сварке стыковых соединений совсем не обязательно, чтобы суммарная угловая деформация была равна нулю. Здесь также необходимо принимать во внимание различные факторы и, в первую очередь, разлнчную жесткость соединения (EJ) после сварки швов с одной и с другой стороны. Правильным подбором режимов сварки швов с лицевой и обратной сторон соединения практически можно добиться почти полного отсутствия суммарной угловой деформации.

При сварке в свободном состоянии тавровых соединений угловыми швами суммарная угловая деформация β (рис. 5.16, а) будет определяться не только неравномерностью разогрева поясного листа по толщине (β_1) (рис. 5.16, б), но и поворотом этого листа как жесткого целого относительно стенки на некоторый угол β_2 (рис. 5.16, в) за счет поперечного сокращения металла углового шва.

В настоящее время многие вопросы развития угловых деформаций при сварке в достаточной мере не исследованы. Часто бывает затруднительным не только количественное определение угловой деформации, но даже предсказание ее знака. Это связано как с большим числом факторов, влияющих на угловые деформации и по-разному оцениваемых исследователями, так и с неопределенностью теплового

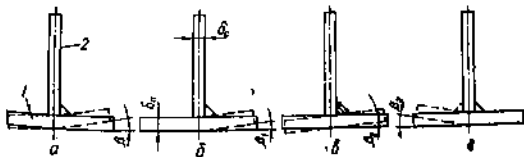


Рис. 5.16. Угловые деформации при сварке тавровых соединений: 1 — пояс; 2 — стенка

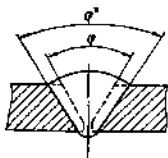


Рис. 5.17. Угол разделки кромок φ и угол провара φ^*

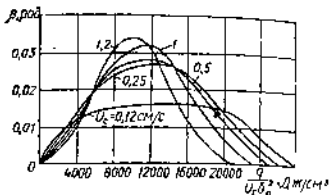


Рис. 5.18. Номограмма для определения угловой деформации при сварке встык

воздействия дуги на различные элементы в процессе сварки. При одной и той же погонной энергии сварки в зависимости от перераспределения тепла дуги между элементами сварного соединения величина угловой деформации может быть различной. Все это затрудняет экспериментальную проверку расчетных зависимостей.

При сварке стыковых соединений с одной стороны с V-образной разделкой кромок И. П. Троцюк рекомендует определять угловую деформацию по формуле

$$\beta = 2\alpha T_{cp} \operatorname{tg} \varphi / 2, \quad (5.36)$$

где α — температурный коэффициент линейного расширения металла; T_{cp} — средняя температура слоя наплавленного металла к моменту перехода наиболее нагретых точек из пластического состояния в упругое; φ — угол разделки свариваемых кромок.

В ряде случаев при автоматической сварке угол провара может существенно отличаться от угла разделки кромок φ (рис. 5.17). Например, при автоматической сварке без скоса кромок угол $\varphi = 0$, но при неравномерном проплавлении металла по толщине проявляется угловая деформация. Это связано с тем, что угол $\varphi^* \neq 0$.

С. А. Кузьмин (7) рекомендует определять угловую деформацию при сварке встык и втавр малоуглеродистых и низколегированных сталей по номограмме (рис. 5.18) в зависимости от условий сварки и расчетной толщины δ_p . На рисунке $q = \eta U I$ — эффективная мощность сварочной дуги Вт; u_c — скорость сварки, см/с; δ_p — расчетная толщина, см, равная при полном проваре толщине листов δ , а при неполном — глубине проваренного слоя (или слоя при многопроходной сварке).

При многопроходной сварке угловую деформацию стыкового сварного соединения определяют по формуле

$$\beta = \sum_{k=1}^i \beta_k m_k - \sum_{j=1}^{i_1} \beta_j m_j, \quad (5.37)$$

где i — число проходов с лицевой стороны; j — число проходов с обратной стороны; β_k — угловая деформация от k -го прохода с лицевой

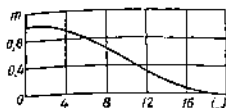


рис. 5.19. Зависимость поправочного коэффициента m от числа проходов

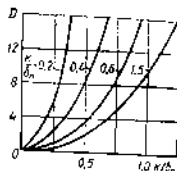


рис. 5.20. Номограмма для определения коэффициента D

стороны; β_s — угловая деформация от s -го прохода с обратной стороны; m — поправочный коэффициент, учитывающий номер прохода (определяют по графику рис. 5.19).

В случае сварки товаров соединений угол β_1 также находят по номограмме (рис. 5.18). Угол β_2 свободного поворота поясного листа от поперечной усадки углового шва мало зависит от режима сварки и равен 0,024 рад. При определении β_1 по номограмме необходимо учитывать, что расчетной толщиной δ_p является толщина пояса δ_n , и в пояс вводится количество тепла

$$q_n = q \frac{2\delta_n}{2\delta_n + \delta_e} \quad (5.38)$$

При сварке второго углового шва в тавровом соединении поворот поясного листа как жесткого целого относительно стенки невозможен ($\beta_2 = 0$). Однако за счет той же поперечной усадки углового шва в направлении гипотенузы пояс со стороны второго углового шва повернется на угол β_k (см. рис. 5.16, а):

$$\beta_k = \epsilon_r D, \quad (5.39)$$

где ϵ_r — деформация, соответствующая пределу текучести металла; D — коэффициент, зависящий от величины катета K , толщины пояса δ_n и стенки δ_e (определяют по графику на рис. 5.20).

Пример 1. Определить угловую деформацию при автоматической сварке стык двух пластин толщиной $\delta = 10$ мм за один проход с полным проваром на режиме: $I_d = 700$ А, $U_d = 32$ В, $v = 36$ м/ч, к. п. д. нагрева $\eta = 0,85$ (рис. 5.21).

Решение 1. Определяем эффективную мощность сварочной дуги

$$q = \eta UI = 0,85 \cdot 32 \cdot 700 = 19040 \text{ Вт.}$$

2. Находим значение параметра (принимая $\delta_p = \delta = 10$ мм)

$$\frac{q}{v\delta_p^2} = \frac{19040 \cdot 3600}{3600 \cdot 1} = 19040 \text{ Дж/см}^2.$$

3. По номограмме (рис. 5.18) для скорости сварки $v = 1$ см/с определяем значение угла поворота $\beta = 0,012$ рад.

Пример 2. Определить угловую деформацию при сварке пластин (см. пример 1).

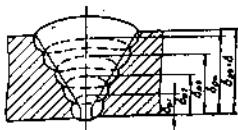


рис. 5.21. Изменение расчетной толщины при односторонней штыковой сварке

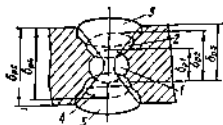


Рис. 5.22. Изменение расчетной толщины при двусторонней многослойной сварке

с непроваром 30 %. Режим сварки: $I_d = 400$ А, $U_d = 26$ В, $v = 40$ м/ч.

Решение. 1. Находим значение параметра (принимая $\delta_p = 0,7$ см)

$$\frac{q}{v\delta_p^2} = \frac{0,85 \cdot 400 \cdot 26 \cdot 3600}{4000 \cdot 0,49} = 16236 \text{ Дж/см}^2.$$

2. По номограмме (рис. 5.18) для скорости сварки $v = 1,1$ см/с определяем значение угла поворота

$$\beta = 0,018 \text{ рад.}$$

При сравнении результатов, полученных в примерах 1 и 2, видно, что с уменьшением глубины проплавления значение угловой деформации возрастает.

Пример 3. Определить угловую деформацию при односторонней многопроходной (пять проходов) автоматической сварке стык пластины толщиной $\delta = 45$ мм. Толщина заваренного слоя $\delta_p = 10$ мм. Режим сварки:

$I_d = 700$ А, $U_d = 32$ В, $v = 36$ м/ч, к. п. д. нагрева $\eta = 0,85$ (рис. 5.21).

Решение. 1. Находим эффективную мощность сварочной дуги

$$q = \eta UI = 0,85 \cdot 700 \cdot 32 = 19040 \text{ Вт.}$$

2. Определяем значение параметра $\frac{q}{v\delta_p^2}$ ($\delta_p = 10$ мм); для первого слоя

$$\frac{q}{v\delta_p^2} = \frac{19040 \cdot 3600}{3600 \cdot 1^2} = 19040 \text{ Дж/см}^2;$$

для второго слоя ($\delta_p = 19$ мм)

$$\frac{q}{v\delta_p^2} = \frac{19040 \cdot 3600}{3600 \cdot 1,9^2} = 5274 \text{ Дж/см}^2;$$

для третьего слоя ($\delta_p = 28$ мм)

$$\frac{q}{v\delta_p^2} = \frac{19040 \cdot 3600}{3600 \cdot 2,8^2} = 2015 \text{ Дж/см}^2;$$

для четвертого слоя ($\delta_p = 37$ мм)

$$\frac{q}{v\delta_p^2} = \frac{19040 \cdot 3600}{3600 \cdot 3,7^2} = 1390 \text{ Дж/см}^2;$$

для пятого слоя ($\delta_p = 45$ мм)

$$\frac{q}{v\delta_p^2} = \frac{19040 \cdot 3600}{3600 \cdot 4,5^2} = 940 \text{ Дж/см}^2.$$

3. По номограмме (см. рис. 5.18) определяем углы поворота при сварке каждого слоя:

$$\beta_1 = 0,012 \text{ рад; } \beta_2 = 0,018 \text{ рад; } \beta_3 = 0,008 \text{ рад;}$$

$$\beta_4 = 0,003 \text{ рад; } \beta_5 = 0,001 \text{ рад.}$$

4. По графику (см. рис. 5.19) находим значение поправочного коэффициента:

$$m_1 = 1; m_2 = 1; m_3 = 1; m_4 = 0,9; m_5 = 0,85.$$

5. Определяем остаточную угловую деформацию по формуле (5.37)

$$\beta = 0,012 + 0,018 + 0,08 + 0,03 + 0,9 + 0,001 \cdot 0,85 = 0,039 \text{ рад.}$$

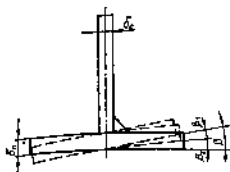


Рис. 5.23. Элементы угловой деформации при сварке шва от первого углового шва

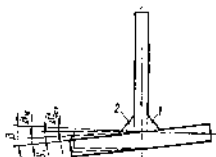


Рис. 5.24. Элементы угловой деформации при сварке шва от второго углового шва

Пример 4. Определить угловую деформацию при сварке пластины (см. пример 3) при выполнении проходов 1...3 с лицевой стороны и проходов 4, 5 с обратной стороны (рис. 5.22).

Решение. 1. Находим значение расчетных толщин сваренного слоя:

$$\delta_{p1} = 10 \text{ мм}; \delta_{p2} = 19 \text{ мм}; \delta_{p3} = 28 \text{ мм}; \delta_{p4} = 37 \text{ мм}; \delta_{p5} = 45 \text{ мм}$$

2. Поскольку с одной стороны заваривается не более трех слоев, для всех проходов $m = 1$.

3. Определяем остаточную угловую деформацию, используя данные примера 3, по формуле (5.37):

$$\beta = \beta_1 + \beta_2 + \beta_3 - (\beta_4 + \beta_5) = 0,012 + 0,018 + 0,008 - (0,0037 + 0,001) = 0,034 \text{ рад.}$$

Пример 5. Определить угловую деформацию при сварке полки тавровой балки толщиной $\delta_n = 15 \text{ мм}$ к стенке толщиной $\delta_c = 10 \text{ мм}$ тавровой балки односторонним угловым швом с катетом $K = 8 \text{ мм}$ (рис. 5.23). Режим сварки: $I_d = 600 \text{ А}$, $U_d = 36 \text{ В}$, $v = 30 \text{ м/ч}$, к. п. д. нагрева $\eta = 0,65$.

Решение. 1. Находим эффективную мощность нагрева

$$q = \eta U I = 21600 \text{ Вт.}$$

2. Определяем количество теплоты, вводимой в полку,

$$q_n = q 2\delta_n / (2\delta_n + \delta_c) = 15915 \text{ Вт.}$$

3. Находим параметр

$$\frac{q}{v \delta_n} = \frac{15915 \cdot 3600}{3000 \cdot 0,014^2} = 9743 \text{ Дж/см}^2.$$

4. По номограмме (рис. 5.18) определяем угол изгиба поясного листа. Если скорость сварки $v = 0,8 \text{ см/с}$, то $\beta_1 = 0,028 \text{ рад.}$

5. Учитывая, что угол свободного поворота поясного листа $\beta_2 = 0,022 \dots 0,024 \text{ рад.}$, определяем остаточную угловую деформацию:

$$\beta = \beta_1 + \beta_2 = 0,028 + 0,022 = 0,05 \text{ рад.}$$

Пример 6. Определить угловую деформацию при сварке тавровой балки, указанную в примере 5, двусторонним угловым швом (рис. 5.24).

Решение. 1. В этом случае после сварки шва 1 будет угловая деформация, определенная в примере 5, где угол $\beta = 0,05 \text{ рад.}$

2. После сварки шва 2 полка не может повернуться как жесткое тело относительно стенки. Однако в результате поперечной усадки второго углового шва в направлении гипотенузы пояс повернется на угол

$$\beta_k = \varphi D.$$

$$\sigma_T = 250 \text{ МПа}; \quad \epsilon_T = 250/2 \cdot 10^3 = 1,25 \cdot 10^{-2}.$$

4. По графику (рис. 5.20) определяем значение

$$D = I(K/\delta_w), \quad D = 6.$$

5. Находим угол

$$\beta_K = 1,25 \cdot 10^{-4} \cdot 6 \cdot 1,25 \cdot 10^{-2} \cdot 6 = 7,50 = 0,0075 \text{ рад.}$$

Учитывая, что $\beta'_1 = \beta_1$, остаточный прогиб

$$\beta_{\text{ост}} = \beta = \beta_K - \beta_1 = 0,0295 \text{ рад.}$$

5.6 ДЕФОРМАЦИИ ПОТЕРИ УСТОЙЧИВОСТИ

Потеря устойчивости — это мгновенная потеря первоначальной формы равновесия под действием сжимающих сил, например, для пластин переход из плоской формы в криволинейную форму равновесия.

Потере устойчивости в основном подвержены плоские листовые элементы небольшой толщины (3...8 мм).

При сварке мгновенная потеря первоначальной формы равновесия встречается редко, так как с момента начала выполнения сварного шва в результате временных перемещений из плоскости свариваемые элементы изменяют свою первоначальную форму и действие последующих сжимающих сил осуществляется на элемент, имеющий начальное искажение формы.

Однако поскольку временные перемещения незначительны по величине или их развитие принудительно устраняется применением сборочно-сварочного приспособления в сварочных задачах по определению потери устойчивости, принимаем, что листовые элементы не имеют начальных искажений формы вплоть до момента действия остаточных сварочных напряжений сжатия.

Тогда условие возможности потери устойчивости имеет вид

$$\sigma_{\text{сж}} > \sigma_{\text{кр}}. \quad (5.40)$$

В этом условии напряжения сжатия $\sigma_{\text{сж}}$ представляют собой собственные сварочные напряжения или соответствующим образом просуммированные сварочные и рабочие напряжения, если необходимо определить устойчивость при эксплуатации.

Критические напряжения $\sigma_{\text{кр}}$ зависят от многих факторов и в общем случае их определяют по формуле

$$\sigma = k \frac{\pi^2 D}{b^3 \delta}, \quad (5.41)$$

где k — коэффициент, зависящий от геометрических размеров; D — цилиндрическая жесткость пластины; b — ширина (радиус) пластины; δ — толщина пластины.

Таким образом, решение задачи о возможности потери устойчивости сводится в основном к двум этапам: определению $\sigma_{\text{сж}}$ и коэффициента k . Методика определения остаточных сжимающих напряже-

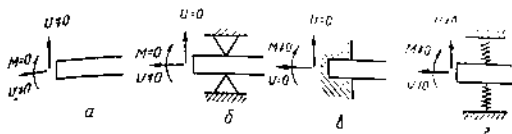


рис. 5.25. Схемы заделки кромок листовых элементов

ний подробно изложена в гл. 3. Поэтому в настоящем параграфе рассмотрим методику определения только коэффициента k .

Условие (характер) закрепления кромок листового элемента зависит от соотношения $I_{\text{зад}}/I_{\text{лист}} \text{ эл.}$ Чем больше это соотношение, тем более жесткие условия заделки кромок.

По степени жесткости заделки различают следующие случаи закрепления кромок (рис. 5.25):

кромка свободна (рис. 5.25, а), т. е. на кромку не действует изгибающий момент M , но возможны перемещения как в плоскости $u \neq 0$, так и из плоскости $u \neq 0$ точек на кромке;

кромка шарнирно опирается (рис. 5.25, б), когда отсутствует на кромке момент, ограничено перемещение из плоскости $u = 0$. Возможно только перемещение в плоскости; $u \neq 0$.

кромка упруго защемлена (рис. 5.25, в); точки кромки имеют перемещение $u \neq 0$ и $u \neq 0$, изгибающий момент не равен нулю ($M \neq 0$). Жесткость упругого защемления можно оценивать коэффициентом $\alpha = (bD)/GI_k$, где b — ширина (радиус) пластины; GI_k — крутильная жесткость продольных кромок вместе с сопрягаемым элементом. При $\alpha = \infty$ имеется шарнирное опирание, а при $\alpha = 0$ — жесткое защемление;

кромка жестко защемлена (рис. 5.25, г); точки кромки не могут иметь перемещений u и u ; момент $M \neq 0$.

Задача определения условий закрепления листовых элементов в реальной сварной конструкции требует тщательного анализа возможной деформации кромки в месте ее сопряжения с другими элементами в условиях соответствующего нагружения сварочными силами.

Определив характер закрепления кромок, находим схему действия на элемент сил и с учетом размеров элемента по таблицам [4] выбираем значение коэффициента k .

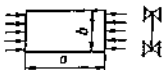
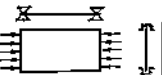
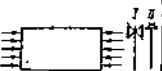
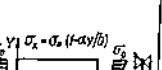
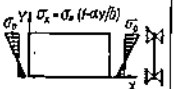
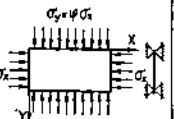
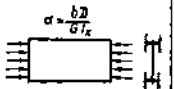
В табл. 5.1 приведено несколько примеров определения коэффициента k для наиболее часто встречающихся условий нагружения и закрепления листовых элементов в сварных конструкциях.

Для круглых и кольцевых пластин, нагруженных радиальным сжатием (рис. 5.26), критическое значение $\sigma_r^{\text{кр}}$ определим по формуле

$$\sigma_r^{\text{кр}} = k \frac{D}{d^2 \delta} \quad (5.42)$$

В формуле (5.42) коэффициент k определяется по графику [4] (рис. 5.27).

Таблица 5.1. Примеры определения коэффициента k

Схема нагружения закрепления концов	Значения α и φ	k при a/b											
		0,6	0,8	1,0	1,2	1,4	1,6	1,8	2	3	4		
	1	5,14	4,20	4,0	4,13	4,47	4,20	4,05	4	4	4		
	1	7,05	7,29	7,69	7	7,32	7	7	7	7	7		
Для варианта 1													
	1	3,65	2,15	1,44	1,14	0,95	0,84	0,76	0,7	0,56	—		
Для варианта 2													
	—	—	2,7	1,7	1,47	1,36	1,33	1,31	1,29	1,25	1,22		
	$\alpha = 2$ $\alpha = 4/3$ $\alpha = 1$ $\alpha = 4/5$ $\alpha = 2/3$	24,1 12,9 9,7 8,9 7,1	24,4 11,2 8,1 6,9 5,0	25,6 11,0 7,8 6,6 5,8	— — — — —	— — — — —	24,3 11,5 8,4 7,1 5,1	— — — — —	— — — — —	— — — — —	— — — — —		
	$\phi = 0,1$ $\phi = 0,2$ $\phi = 0,3$ $\phi = 0,4$ $\phi = 0,5$ $\phi = 0,6$ $\phi = 0,8$ $\phi = 1$ $\phi = 2$	— — — — — — — — —	— — — — — — — — —	3,7 3,6 3,3 2,8 2,7 2,6 2,3 2,0 1,4	3,6 3,4 3,0 2,95 2,5 2,3 2,0 1,8 1,2	3,6 3,2 3,35 2,9 2,4 2,1 1,8 1,5 1,0	3,9 3,3 2,8 2,5 2,2 2,1 1,9 1,6 0,8	3,8 3,3 2,9 2,4 2,1 2,1 1,8 1,6 0,7	3,5 2,8 2,8 2,4 2,1 2,1 1,8 1,6 0,75	3,5 3,1 2,4 2,4 2,0 2,0 1,7 1,3 0,7	3,5 3,1 2,7 2,4 2,0 2,0 1,7 1,3 0,7		
	$\alpha = 0$ $\alpha = 0,8$ $\alpha = 2,1$ $\alpha = 5,7$ $\alpha = 8$	— — — — —	— — — — —	— — — — —	см. жесткое защемление								
					6,08	6,1	5,4	6,12	6,08	6,10	6,2	6,15	6,03
					5,8	5,25	5,32	5,85	5,6	5,35	5,26	5,26	5,08
					5,0	4,51	4,7	5,0	4,9	4,76	4,51	4,51	4,51
					см. широкое защемление								

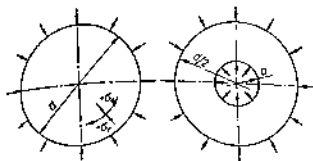


Рис. 5.28. Нагруженные кольцевые пластины радиальным сжатием

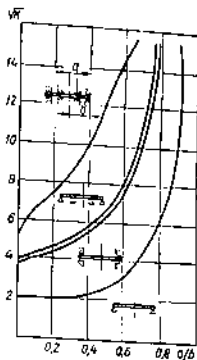
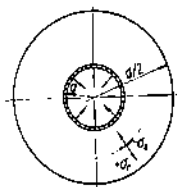


Рис. 5.27. График определения коэффициента \$k\$ для кольцевых пластин

Практический интерес представляет определение устойчивости кольцевой пластины, нагруженной по внутреннему краю растягивающими силами (рис. 5.28). Если $d \gg a$ (сварка патрубков, фланцев и др.), то кольцевая пластина теряет устойчивость не от радиального сжатия, а от окружных сжимающих сил σ_t . При этом значение критических окружных напряжений не зависит от внешнего радиуса и условий закрепления:

$$\sigma_t^{кр} = 3D/a^2\delta. \quad (5.43)$$

Рис. 5.29. Радиальное растяжение кольцевой пластины



Определение деформаций листовых элементов в результате потери устойчивости представляет собой самостоятельную задачу и в настоящем пособии не рассматривается.

Пример 1. Определить возможность потери устойчивости листового элемента толщиной $\delta = 6$ мм, приваренного по продольным кройкам к равнобоким уголкам 50 X 50. Материал: сталь марки Ст3, $\sigma_t = 250$ МПа; $E = 2 \cdot 10^4$ МПа. Пусть ширина зоны пластических деформаций δ_n от сварки одного шва равна 8 см (рис. 5.29).

Решение. 1. Определяем продольную усадочную силу $P_{ус}^{пр}$ от сварки двух швов по формуле

$$P_{ус}^{пр} = 4\delta\sigma_t \frac{\lambda B}{4 - \lambda\pi} = 4 \cdot 6 \cdot 3,14 \cdot 250 \frac{0,1 \cdot 800}{4 - 0,1 \cdot 3,14} = 4 \cdot 10^4 \text{ Н.}$$

2. Находим площадь поперечного сечения соединения

$$F = 2F_L + B\delta = 2 \cdot 4,8 + 80 \cdot 0,6 = 67,6 \text{ см}^2.$$

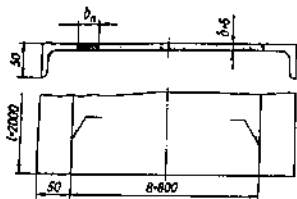


Рис. 5.26. Определение потери устойчивости листового элемента

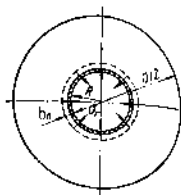


Рис. 5.30. Определение потери устойчивости пластины с круглым швом

3. Определяем напряжения сжатия

$$\sigma_{сж} = P_{yc}/F = 40729/57,6 = 70,7 \text{ МПа.}$$

4. Находим коэффициент жесткости заделок кромок

$$\alpha = \frac{BD}{GI_{кр}} = \frac{80 \cdot 2 \cdot 10^8 \cdot 0,6^3}{12(1 - 0,09) \cdot 0,7 \cdot 10^8 \cdot 0,8} \approx 4,2; I_{кр} = 0,8 \text{ мм}^4.$$

5. По табл. 5.1 принимаем упругое защемление продольных кромок и для расчетной схемы 2 по отношению $L/B = 2,5$ выбираем значение коэффициента $k = 5$.

6. По формуле (5.41) находим значение критических напряжений

$$\sigma_{кр} = k \frac{\pi^2 D}{B^3 \delta} = 5 \frac{3,14^2 \cdot 2 \cdot 10^8 \cdot 0,6^3}{12(1 - 0,09) 800^3} = 46 \text{ МПа.}$$

7. Поскольку $\sigma_{сж} > \sigma_{кр}$, листовый элемент потеряет устойчивость.

Пример 2. Определить возможность потери устойчивости плоского круглого диска радиусом $d/2 = 1600$ мм и толщиной $\delta = 10$ мм при сварке встык резного элемента радиусом $R = 150$ мм. Ширина зоны пластических деформаций b_n равна 7 см (рис. 5.30).

Решение. 1. Находим радиальные напряжения на границе пластической зоны: На основании зависимостей (3.27), (3.42), (3.54) и (3.67) и предположив, что $\epsilon_r' = \epsilon_T \sqrt{b_n^2 - (r - R)^2}/b_n$

$$\sigma_r' = \frac{2\sigma_T \alpha}{m^2 (\kappa + 1) (1 + \nu)} = \frac{2 \cdot 2500 \cdot 3,14 \cdot 0,46}{1,46^2 (2,8 + 1) (1 + 0,3)} = 68,5 \text{ МПа.}$$

$$\alpha = b_n/R = 7/15 = 0,46; \kappa = 3 - 4\nu = 2,8; m = (R + b_n)/R = 22/15 = 1,46.$$

2. Определяем значение критических напряжений:

$$\sigma_r^{кр} = -\sigma_\theta^{кр} = \frac{3D}{a^2 \delta}; D = \frac{E \delta^3}{12(1 - \nu^2)}; a = R + b_n = 22 \text{ см.}$$

$$\sigma_r^{кр} = -\sigma_\theta^{кр} = \frac{3 \cdot 2 \cdot 10^8 \cdot 10^3}{12(1 - 0,09) \cdot 220^2 \cdot 10} = 99 \text{ МПа.}$$

3. Если $\sigma_r^{кр} > \sigma_\theta$, то диск не потеряет устойчивость.

5.9. ДЕФОРМАЦИИ СКРУЧИВАНИЯ

Деформации скручивания наиболее часто встречаются в конструкциях балочного типа со значительной протяженностью продольных швов.

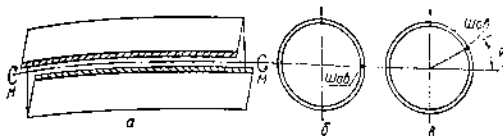


Рис. 5.31. Скручивание тонкостенной цилиндрической оболочки при сварке продольного шва

Основной причиной появления такого вида деформации является различная величина временных продольных перемещений свариваемых кромок, приводящих к их взаимному смещению. Смещение кромок может быть вызвано неодинаковым тепловым состоянием металла свариваемых кромок, различной жесткостью сопрягаемых элементов, упругим сдвигом элементов в результате сборки и др.

Рассмотрим сварку с теплоотводом тонкостенной цилиндрической оболочки одним продольным швом (рис. 5.31). Выделим впереди дуги на кромках элементы бесконечно малой длины. Если по каким-либо причинам имеется неодинаковый тепловой контакт теплоотводящих прижимов по обе стороны шва, то в результате неодинакового теплового состояния металла элементы получают различное тепловое удлинение: на одной кромке удлинение $\Delta l_1 = \alpha T_1 l$, а на второй кромке $\Delta l_2 = \alpha T_2 l$. При $T_1 > T_2$ имеем $\Delta l_1 > \Delta l_2$, что приводит к смещению $\Delta l = \Delta l_1 - \Delta l_2$. Последующее выполнение шва на участке l «связает» эти два элемента, и при охлаждении, начиная с момента восстановления упругих свойств металла, будет происходить совместная деформация этих элементов, вызывая в элементе первой кромки напряжение растяжения, а в элементе второй кромки — напряжение сжатия, пропорциональное смещению.

Если в таком состоянии оболочку разрезать по оси шва, то она деформируется, как показано на рис. 5.31, а, б, в. Чтобы вернуть ее в состояние после сварки, необходимо по торцам оболочки приложить моменты M , вызывающие ее закручивание.

Угол закручивания φ определяем по формуле [2]:

$$\varphi = (\Delta_x L) / \omega_k, \quad (5.44)$$

где L — длина продольного шва; $\Delta_x = \int_0^L \Delta l dx$ — смещение кромок; ω_k — удвоенная площадь, охватываемая средней линией тонкостенного сечения.

Таким образом, основная задача при определении деформации скручивания — нахождение значения взаимного смещения в каждом конкретном случае с учетом факторов, вызывающих такое смещение. В настоящее время вопрос этот мало изучен.

Пример. Определить угол закручивания при сварке продольного шва стальной тонкостенной ($\delta = 1$ мм) цилиндрической трубы длиной $L = 1000$ мм и внутренним диаметром $d = 100$ мм при условии, что теплоотвод обеспечивается на кромок разность температур $\Delta T = 30^\circ \text{C}$.

Решение 1. Находим взаимное смещение кромок:

$$\Delta_s = \int_0^L \Delta t \, dx = \int_0^L \alpha \Delta T \, dx = \alpha \Delta T L = 12 \cdot 10^{-6} \cdot 90 \cdot 1000 = 36 \cdot 10^{-2} \text{ см.}$$

2. Определяем значение

$$\omega_k = (2 \cdot 3,14 \cdot 101^2) / 4 = 16015 \text{ мм}^2.$$

3. Находим угол закручивания по формуле (5.44):

$$\varphi = (\Delta_s L) / \omega_k = (36 \cdot 1000) / 16015 = 0,22 \text{ рад} = 1^\circ 18'.$$

5.10. ОПРЕДЕЛЕНИЕ ПЕРЕМЕЩЕНИЯ ПРИ СВАРКЕ ОБОЛОЧКОВЫХ КОНСТРУКЦИЙ

Оболочковые конструкции характеризуются большим разнообразием конструктивных вариантов сварных соединений. Наиболее часто встречаются цилиндрические оболочки с продольными швами, цилиндрические и сферические оболочки с круговыми швами, цилиндрические оболочки с кольцевыми швами — все это в основном стыковые сварные соединения.

Особенностью деформаций при сварке оболочковых конструкций является то, что возникающие перемещения направлены перпендикулярно к исходной поверхности, и, учитывая пониженную жесткость листовых элементов оболочек, имеют значительную величину. Рассмотрим некоторые типовые задачи.

Перемещения при сварке кольцевых швов цилиндрических оболочек. После сварки кольцевого шва окружные остаточные напряжения в сечении цилиндрической оболочки по образующей распределены, как показано на рис. 5.32. Обычно реактивные напряжения сжатия вне зоны $2b_n$ имеют незначительную величину, особенно для сравнительно больших диаметров ($D > 10b_n$) и при общей длине $2L > 2b_n$. Поэтому для приближенного расчета можно принять, что действуют остаточные равномерно распределенные окружные напряжения на уровне σ_r в пределах зоны $2b_n$ ($k\sigma_r$ — для цветных сплавов, $k < 1$). Их действие на оболочку с точки зрения образования радиальных прогибов эквивалентно действию на обо-

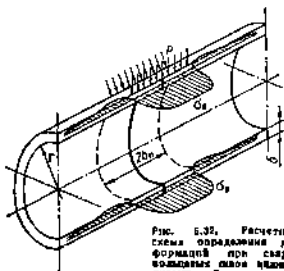


Рис. 5.32. Расчетная схема образования деформаций при сварке кольцевых швов цилиндрических оболочек

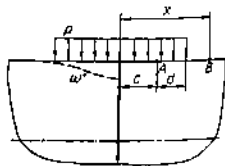


Рис. 5.33. Распределение окружных напряжений при сварке кольцевого шва

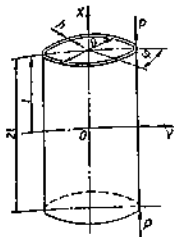


Рис. 5.34. Расчетная схема определения деформации при сварке продольных швов цилиндрических оболочек

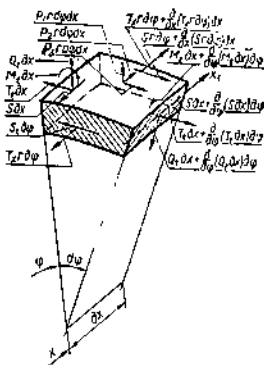


Рис. 5.35. Схема действия усилий на элемент цилиндрической оболочки

дочку равномерно распределенной в зоне $2b_n$ по поверхности оболочки нагрузки p . Из условия равновесия элемента оболочки шириной $2b_n$ легко получим

$$p = (\sigma_0 \delta) / r. \quad (5.45)$$

Тогда расчетная схема определения радиального прогиба w имеет вид, приведенный на рис. 5.33, и в соответствии с теорией изгиба тонкостенных оболочек для точки A

$$w_A = \frac{pr^2}{2E\delta} (2 - e^{-\beta x} \cos \beta x - e^{-\beta d} \cos \beta d), \quad (5.46)$$

а для точки B вне зоны $2b_n$

$$w_B = \frac{pr^2}{2E\delta} [e^{-\beta(x-b_n)} \cos \beta(x-b_n) - e^{-\beta(x-b_n)} \cos \beta(x-b_n)]. \quad (5.47)$$

Определение деформаций цилиндрической оболочки при сварке продольного шва. Деформации цилиндрических оболочек от продольных швов выражаются в нарушении прямолинейности образующих и изменении кривизны в поперечном сечении (некруглость). Эти деформации — следствие внецентренного приложения усадочной силы P_{uc} к оболочке, как показано на рис. 5.34.

Задачу о несимметричной деформации цилиндрической оболочки можно решать по полубезмоментной теории В. З. Власова.

В этой теории приняты следующие допущения:

1. Нормальные напряжения в сечениях, перпендикулярных к оси оболочки, равномерно распределены по толщине стенки (по перемещениям по окружности).

2. Касательные напряжения $\tau_{\theta r}$, перпендикулярные к срединной поверхности, в соответствующая им поперечная сила Q_θ принимаются равными нулю. Касательные напряжения $\tau_{\theta t}$, направленные по окружности, считаются равномерно распределенными по толщине стенки; они приводятся к сдвигающей силе S , интенсивность которой также переменна по окружности.

3. Оболочка считается нестяжимой в окружном направлении. Относительное удлинение срединной поверхности в окружном направлении принимается равным нулю.

4. Угловая деформация срединной поверхности также принимается равной нулю.

5. Взаимное влияние продольной и поперечной деформации не учитывается, т. е. коэффициент Пуассона считается равным нулю.

Расчетная схема оболочки приведена на рис. 5.34, а равновесие элемента оболочки под действием приложенных усилий показано на рис. 5.35.

По граням бесконечно малого элемента, перпендикулярным к оси оболочки, действуют только сжимающая T_x и сдвигающая S силы.

В продольном сечении возникают: нормальная сила $T(t)$, сдвигающая сила S , поперечная сила Q , и изгибающий момент M_t . С увеличением координат все силы получают соответствующие приращения.

Рассмотрим случай нагружения цилиндрической оболочки внешенно приложенной силой P (равной усадочной силе P_{yc}), как показано на рис. 5.34, и определим перемещения оболочки под действием этой силы.

В данном случае решение задачи сводится к решению уравнения

$$\frac{\partial^4 v}{\partial x^4} + c\Omega(v) = 0, \quad (5.48)$$

$$\text{где } c = h^2/12r^3;$$

Ω — дифференциальный оператор В. З. Власова,

$$\Omega = \frac{\partial^4}{\partial \varphi^4} + \frac{\partial^2}{\partial \varphi^2}.$$

Поскольку нагрузка симметрична относительно плоскости $\varphi = 0$, решение будем искать в виде ряда по синусам:

$$v = \sum_{k=1}^{\infty} \bar{v}_k(x) \sin k\varphi. \quad (5.49)$$

Подстановка (5.49) в (5.48) дает обыкновенное дифференциальное уравнение для определения частного решения:

$$\frac{d^4 \bar{v}_k(x)}{dx^4} + 4\beta_k^4 \bar{v}_k(x) = 0, \quad (5.50)$$

$$\text{где } \beta_k = \sqrt{\frac{h^3 k^4 (k^2 - 1)^2}{48r^3}}.$$

решение уравнения (5.50) можно выразить через функции Кларка.

$$\bar{v}_2(x) = A_{1k}V_1(\beta_{kx}) + A_{2k}V_2(\beta_{kx}) + A_{3k}V_3(\beta_{kx}) + A_{4k}V_4(\beta_{kx}), \quad (5.51)$$

где

$$\begin{aligned} V_1(\beta_{kx}) &= \operatorname{ch}(\beta_{kx}) \cos(\beta_{kx}); \\ V_2(\beta_{kx}) &= \frac{1}{2} [\operatorname{ch}(\beta_{kx}) \sin(\beta_{kx}) + \operatorname{sh}(\beta_{kx}) \cos(\beta_{kx})]; \\ V_3(\beta_{kx}) &= \frac{1}{2} \operatorname{sh}(\beta_{kx}) \sin(\beta_{kx}); \\ V_4(\beta_{kx}) &= \frac{1}{4} [\operatorname{ch}(\beta_{kx}) \sin(\beta_{kx}) - \operatorname{sh}(\beta_{kx}) \cos(\beta_{kx})]. \end{aligned} \quad (5.52)$$

Постоянные A_{ik} определяем из граничных условий. При $k=1$, $\beta_1=0$ уравнение (5.50) принимает вид

$$d^4\bar{v}(x)/dx^4 = 0.$$

Общее решение запишем в виде

$$\bar{v}(x) = D_1 + D_2x + D_3x^2 + D_4x^3$$

В рассматриваемой задаче зададим силовые граничные условия: на торцах $S=0$, а T_x задана в виде сосредоточенной силы P при $\varphi=0$.

Раскладываем нагрузку P , заданную на торце, в ряд Фурье как δ -функцию Дирака:

$$q = P/r (1/2\pi - 1/\pi \sum_1^{\infty} \cos k\varphi).$$

Определяем постоянные.

Силу T_x , направленную по образующей, выразим через функцию $v(x, \varphi)$ в виде

$$T_x = Eh \frac{\partial u}{\partial x}; \quad u = - \int_0^{\varphi} \frac{\partial v}{\partial x} r d\varphi; \quad v = \sum_1^{\infty} \bar{v}_k \sin k\varphi.$$

Вместо перемещения $v(x, y)$ подставляем его выражение через ряд (5.49):

$$\begin{aligned} \frac{\partial v}{\partial x} &= \sum_1^{\infty} \frac{d\bar{v}_k(x)}{dx} \sin k\varphi; \\ u &= \sum_1^{\infty} \int \frac{d\bar{v}_k}{dx} r \sin k\varphi d\varphi = - \sum_1^{\infty} \frac{d\bar{v}_k(x)}{dx} \cdot \frac{r}{k} \cos k\varphi; \\ \frac{du}{dx} &= - \sum_1^{\infty} \frac{d^2\bar{v}_k(x)}{dx^2} \cdot \frac{r}{k} \cos k\varphi; \\ T_x &= Eh \frac{du}{dx} = Eh \sum_1^{\infty} \frac{d^2\bar{v}_k(x)}{dx^2} \cdot \frac{r}{k} \cos k\varphi. \end{aligned} \quad (5.63)$$

С учетом найденной силы T_x выражаем поперечные силы S через функцию перемещения (5.49):

$$\begin{aligned} S &= \int_{\varphi} \left(\frac{\partial T_x}{\partial x} r d\varphi = \int_{\varphi} \left[\int_{\varphi} \frac{\partial^2 v_k(x)}{\partial x^2} r^2 E h d\varphi \right] d\varphi = \right. \\ &= \sum_1^{\infty} \int_{\varphi} \left[\int_{\varphi} \frac{d^2 v_k(x)}{dx^2} r^2 E h \sin k\varphi d\varphi \right] d\varphi = \\ &= \sum_1^{\infty} \frac{d^2 v_k(x)}{dx^2} r^2 E h \int_{\varphi} \frac{1}{k} \cos k\varphi d\varphi; \\ S &= \sum_1^{\infty} \frac{d^2 \tilde{v}_k(x)}{dx^2} \frac{r^2}{k^3} E h \sin k\varphi. \end{aligned} \quad (5.54)$$

Выражаем перемещения по направлению нормали $w(x, \varphi)$ через функцию перемещения $v(x, \varphi)$, взятую в виде (5.49):

$$w = -\frac{\partial v}{\partial \varphi} = -\sum_1^{\infty} \tilde{v}_k(x) k \cos k\varphi.$$

Подставляя в формулы (5.53) и (5.54) выражения для осевой и поперечной сил через функции Крылова (5.51) и используя граничные условия, в соответствии с которыми

$$S(l, \varphi) = 0, \quad T_x = \frac{P}{2\pi r} + \frac{P}{\pi r} \sum_1^{\infty} \cos k\varphi,$$

получаем систему линейных уравнений, из которой находим постоянные A_{ik} :

$$\begin{aligned} S = E h \sum_1^{\infty} \beta_k^3 \{ &-4A_{1k}V_2(\beta_{kx}) - 4A_{2k}V_3(\beta_{kx}) - 4A_{3k}V_4(\beta_{kx}) + \\ &+ A_{4k}V_1(\beta_{kx}) \} \frac{r^2}{k^3} \sin k\varphi. \end{aligned}$$

При $S(\pm l) = 0$ можно записать:

$$\begin{cases} -4A_{1k}V_2(\beta_{kl}) - 4A_{2k}V_3(\beta_{kl}) - 4A_{3k}V_4(\beta_{kl}) + 4A_{4k}V_1(\beta_{kl}) = 0; \\ 4A_{1k}V_2(\beta_{kl}) - 4A_{2k}V_3(\beta_{kl}) - 4A_{3k}V_4(\beta_{kl}) + 4A_{4k}V_1(\beta_{kl}) = 0, \end{cases}$$

откуда

$$\begin{cases} -4A_{2k}V_3(\beta_{kl}) + A_{4k}V_1(\beta_{kl}) = 0; \\ 4A_{1k}V_2(\beta_{kl}) + A_{3k}V_4(\beta_{kl}) = 0; \end{cases}$$

$$\begin{aligned} T_x = + E h \sum_1^{\infty} \beta_k^2 \{ &-4A_{1k}V_3(\beta_{kx}) - 4A_{2k}V_4(\beta_{kx}) + \\ &+ A_{3k}V_1(\beta_{kx}) + A_{4k}V_2(\beta_{kx}) \} \frac{r^2}{k} \cos k\varphi; \end{aligned}$$

$$\begin{cases} -4A_{1k}V_3(\beta_{ki}) - 4A_{2k}V_4(\beta_{ki}) + A_{3k}V_1(\beta_{ki}) + A_{4k}V_2(\beta_{ki}) = -\frac{kP}{\pi r^2} \left(-\frac{1}{Eh\beta_k^2} \right); \\ -4A_{1k}V_2(\beta_{ki}) + 4A_{2k}V_3(\beta_{ki}) + A_{3k}V_1(\beta_{ki}) - 4A_{4k}V_4(\beta_{ki}) = \frac{kP}{\pi r^2} \left(-\frac{1}{Eh\beta_k^2} \right). \end{cases}$$

Тогда

$$\begin{cases} -4A_{1k}V_3(\beta_{ki}) + A_{3k}V_1(\beta_{ki}) = \frac{kP}{\pi r^2} \left(-\frac{1}{Eh\beta_k^2} \right); \\ -4A_{2k}V_3(\beta_{ki}) + A_{4k}V_2(\beta_{ki}) = 0; \\ \begin{cases} -4A_{2k}V_3(\beta_{ki}) + A_{4k}V_4(\beta_{ki}) = 0; \\ -4A_{2k}V_4(\beta_{ki}) + A_{4k}V_2(\beta_{ki}) = 0. \end{cases} \end{cases}$$

Решение системы тривиально, если

$$-4V_3(\beta_{ki})V_2(\beta_{ki}) + 4V_4(\beta_{ki})V_1(\beta_{ki}) = 0,$$

что невозможно при любом k . Поэтому

$$\begin{aligned} A_{2k} &= 0; \quad A_{4k} = 0; \\ A_{1k}V_2(\beta_{ki}) + A_{3k}V_4(\beta_{ki}) &= 0; \\ 4A_{1k}V_3(\beta_{ki}) + A_{3k}V_1(\beta_{ki}) &= \frac{P}{\pi r^2} \frac{k}{Eh\beta_k^2}; \\ A_{1k} &= \frac{P}{\pi r^2} \frac{k}{Eh\beta_k^2} \frac{V_3(\beta_{ki})}{V_1(\beta_{ki})V_2(\beta_{ki}) + 4V_3(\beta_{ki})V_4(\beta_{ki})}; \\ A_{3k} &= \frac{P}{\pi r^2} \frac{k}{Eh\beta_k^2} \frac{V_2(\beta_{ki})}{V_1(\beta_{ki})V_2(\beta_{ki}) + 4V_3(\beta_{ki})V_4(\beta_{ki})}. \end{aligned} \quad (5.55)$$

Таким образом, находим

$$\bar{v}_k(x) = A_{1k}V_1(\beta_{kx}) + A_{3k}V_3(\beta_{kx}),$$

так как

$$A_{2k} = A_{4k} = 0.$$

Окончательно получаем

$$\begin{aligned} T_x &= Eh \sum_2 \beta_k^2 \{ -4A_{1k}V_3(\beta_{kx}) + A_{3k}V_1(\beta_{kx}) \} \frac{r}{h} \cos k\varphi + \\ &+ \frac{P}{2\pi r} (\cos \varphi + 1), \end{aligned} \quad (5.56)$$

где A_{ik} определяем по формулам (5.55):

$$w = - \sum_2 \bar{v}_k(x) k \cos k\varphi - \frac{P}{\pi r^2} \frac{1}{2Eh} x^3 \cos \varphi; \quad (5.57)$$

$$S = Eh \sum_2 \beta_k^2 \{ -4A_{1k}V_3(\beta_{kx}) - 4A_{3k}V_4(\beta_{kx}) \} \frac{r^2}{h^2} \sin k\varphi; \quad (5.58)$$

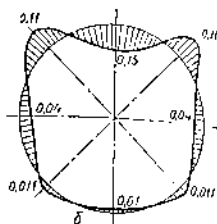
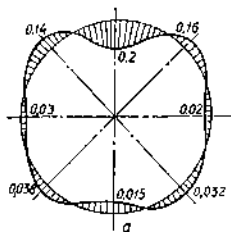


Рис. 5.36. Деформации при сварке продольного шва:
а — расчетные значения; б — экспериментальные значения

$$v = \sum_2 \bar{v}_k(x) \sin k\varphi - \frac{P}{\pi r^2} \frac{1}{2Eh} x^2 \sin \varphi. \quad (5.59)$$

При $k = 1$ получаем жесткое смещение сечения — балочный изгиб.

На рис. 5.36 приведены расчетные и экспериментальные значения перемещений в среднем сечении цилиндрической оболочки из сплава АМг-6 толщиной 3 мм, диаметром 500 мм и длиной $2L = 1000$ мм при сварке одного продольного шва.

Перемещения при сварке круговых швов в оболочках. При сварке круговых швов перемещения возникают не только в результате продольной усадки, но и от поперечной усадки, которая происходит в условиях определенного закрепления. Как было показано ранее, свободная поперечная усадка сопровождается появлением реактивных усилий, которые вызывают дополнительные перемещения. Задача определения перемещений при сварке круговых швов в оболочках — одна из сложных в теории сварочных деформаций и напряжений.

Методика определения перемещений при сварке круговых швов в сферическую оболочку разработана В. А. Винокуровым [2].

Глава 6

ОСТАТОЧНЫЕ НАПРЯЖЕНИЯ КАК СИЛОВОЙ ФАКТОР В ХРУПКОМ РАЗРУШЕНИИ СВАРНЫХ СОЕДИНЕНИЙ

6.1. СИЛОВОЙ И ДЕФОРМАЦИОННЫЙ КРИТЕРИЙ ХРУПКОГО РАЗРУШЕНИЯ

Под *хрупким* понимают разрушение, которое происходит без образования заметных пластических деформаций. Требование отсутствия заметных пластических деформаций означает, что если разрушенные части склеить, то получим тело исходных размеров. Так разру-

шается оконное стекло в обычных условиях, керамика, чугун, высокопрочная закаленная сталь. Такое же разрушение может быть в элементах конструкций из обычных широко распространенных конструктивных материалов при совокупном действии факторов, которые переводят металл в хрупкое состояние. К этим факторам прежде всего относятся: низкие температуры, низкотемпературная пластическая деформация, скорость нагружения, большие толшины, концентраторы напряжений, остаточные напряжения и др. Роль остаточных сварочных напряжений в хрупком разрушении можно рассматривать в трех аспектах: 1) суммирование их с напряжениями от внешних нагрузок и, таким образом, уменьшение необходимой для разрушения внешней нагрузки; 2) повышение объемности напряженного состояния в отдельных зонах конструкции из-за наличия остаточных сварочных напряжений; 3) влияние на устойчивость процесса распространения хрупкой трещины в элементе конструкции в связи с учетом сложного характера распределения остаточных сварочных напряжений в различных сечениях сварных соединений.

В конструкционных сталях хрупкое разрушение протекает с образованием на поверхности разрушения тонкого слоя, претерпевшего пластическую деформацию. Толщина этого слоя — не более 0,5 мм. Внешний вид поверхности излома при таком разрушении характерен для чисто хрупкого разрушения. Часто называют данное разрушение квазихрупким, что означает не вполне (как-будто, якобы) хрупкое. В вершине трещины из-за концентрации напряжений возникает область, называемая *пластической зоной*, в каждой точке которой выполняется условие пластичности. Форма и размеры пластической зоны определяются свойствами материала, характером и величиной действующих на тело нагрузок, геометрией тела и трещины в нем. Для больших пластических зон процесс разрушения в вершине трещины определяется не полем упругих напряжений в окрестности вершины трещины, а критической величиной пластической деформации, которую способен выдержать материал. Если же характерный размер пластической зоны мал по сравнению с длиной трещины, то упруго-пластическую задачу по распространению трещины заменяют упругой пренебрегая пластической зоной полностью или же ее учитывают при соответствующем увеличении длины трещины. В этом случае процесс распространения хрупкой трещины будет определяться полем упругих напряжений вблизи вершины трещины, с одной стороны, и свойствами материала — с другой стороны.

В настоящее время наиболее широко распространен силовой критерий хрупкого разрушения Д. Ирвина, основанный на использовании представлений об интенсивности напряженного состояния вблизи вершины хрупкой трещины.

Чтобы с достаточной глубиной уяснить вопрос о рассматриваемом критерии, необходимо прежде всего отметить принципиально возможные типы трещин. Перемещение каждой точки тела с трещиной при действии нагрузки, за исключением вершины трещины, имеет однозначный характер и определяется проекциями вектора перемещений на координатные оси X , Y , Z (трещина расположена в плоскости XOZ), соответственно обозначаемыми u , v , w . Если тре-

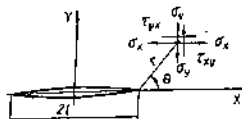


Рис. 6.1. Напряжения в произвольной точке vicinity вершины трещины

щина распространяется, то и точка, принадлежащей вершине, происходит разрыв какой-то одной из компонент u, v, w вектора перемещений. Если терпит разрыв нормальная к плоскости трещины компонента вектора перемещений v , то такая трещина (тип 3) называется *трещиной нормального сдвига*. Можно увеличить длину трещины за счет разрыва на фронте разрушения компоненты u . Для этого необходимо в плоскости трещины создать требуемой величины касательные напряжения τ_{yx} . При этом сдвигающая нагрузка будет направлена поперек к фронту трещины (тип II), которая называется *трещиной поперечного сдвига*. Трещина может распространяться от касательных напряжений в ее плоскости τ_{yx} за счет сдвигающей нагрузки, направленной вдоль фронта трещины. В этом случае терпит разрыв компонента w , и возникает трещина продольного сдвига (тип III). Такую деформацию тела часто называют *антиплоской*. Иных возможностей распространения трещины не существует. Очень часто одновременно могут терпеть разрыв две компоненты вектора перемещений, например, u и v . Это уже будет трещина смешанного типа. Трещина типа III чаще всего образуется при резании ножницами. Наиболее часто встречается трещина типа I, у которой разрыв компоненты v происходит от действия напряжений, нормальных к плоскости трещины.

Известно [1], что напряженное состояние в пластине с трещиной длиной $2l$ в точке r, θ (рис. 6.1)

$$\sigma_{ij} = C_1 \left(\frac{r}{l}\right)^{-\frac{1}{2}} f_{1ij}(\theta) + C_2 \left(\frac{r}{l}\right)^0 f_{2ij}(\theta) + C_3 \left(\frac{r}{l}\right)^{\frac{1}{2}} f_{3ij}(\theta) + \dots,$$

или

$$\sigma_{ij} = \frac{C_1}{\sqrt{\frac{r}{l}}} f_{1ij}(\theta) + \sum_{n=2, 3, 4, \dots} C_n \left(\frac{r}{l}\right)^{(n-2)/2} f_{nij}(\theta), \quad (6.1)$$

где C_1, C_n — коэффициенты, зависящие от нагрузки; $f_{nij}(\theta)$ — функция угла θ .

В окрестности вершины трещины членами высших порядков можно пренебречь и тогда

$$\sigma_{ij} = \frac{C_1}{\sqrt{\frac{r}{l}}} f_{ij}(\theta) = \frac{K}{\sqrt{2\pi l}} f_{ij}(\theta). \quad (6.2)$$

Из (6.2) видно, что $K = C_1 \sqrt{2\pi l}$. Формула (6.2) является приближенной в любой точке возле вершины трещины. Точность ее тем выше, чем ближе точка расположена к вершине трещины. Вершина трещины представляет собой особую (сингулярную) точку, в которой напряжения согласно (6.2) обращаются в бесконечность.

Формула (6.2) справедлива для любых перечисленных выше типов трещин. При этом для каждого типа трещины K будет различным и его

необходимо обозначить соответствующим индексом, например, K_I , K_{II} , K_{III} . Если изменять характер и величину нагрузки на пластину с трещиной, сохраняя неизменным тип трещины, то будет изменяться напряженное состояние вблизи вершины трещины. Значенатель $\sqrt{2\pi r}$ и сомножитель $f_{II}(\theta)$ в формуле (6.2) от нагрузки никак не зависят. Значит, напряженное состояние может изменяться только при изменении параметра K в (6.2). В процессе изменения величины и характера нагрузки может наступить момент, когда трещина начнет распространяться в данной вершине. Этот момент будет определяться только величиной K , которую можно назвать критической. Поэтому параметр K рассматривается как критерий хрупкого разрушения, который записывают в виде неравенства

$$K > K_c, \quad (6.3)$$

в котором правая часть K_c называется вязкостью разрушения материала. Иногда вязкость разрушения называют трещиностойкостью. Поскольку чаще всего встречаются трещины нормального отрыва в условиях плоской деформации, то критерий (6.3) принимает вид

$$K_I > K_{Ic}. \quad (6.4)$$

Вязкость разрушения K_{Ic} для трещин типа I в данных условиях разрушения является константой материала. Для определения K_{Ic} разработаны специальные методики испытания материалов.

Чтобы воспользоваться критерием (6.4), необходимо определить его левую часть K_I . Обычно K_I должен определяться из решения задачи теории упругости для заданного тела с трещиной или системой трещин и приложенными нагрузками. Принципиальное решение этого вопроса вытекает из выражения (6.2), которое для трещин типа I запишем в виде

$$\sigma_{II} = \frac{K_I}{\sqrt{2\pi r}} f_{II}(\theta). \quad (6.5)$$

Из (6.5) видно, что K_I как-будто можно определить по зависимости

$$K_I = (\sigma_{II} \sqrt{2\pi r}) / f_{II}(\theta),$$

если в точке (r, θ) знать σ_{II} и $f_{II}(\theta)$. Однако это не так, так как σ_{II} в (6.5) есть величина приближенная. Можно было бы взять точную зависимость (6.1) для σ_{II} , но из нее тогда никак не следует формула (6.5), если удерживаются в (6.1) кроме первого и остальные члены ряда. В результате для определения K_I необходимо воспользоваться все-таки зависимостью (6.5), но только в точке $r=0$ (вершина трещины), в которой эта зависимость является абсолютно точной и совпадающей с (6.1). Отсюда следует, что K_I необходимо определять предельным переходом:

$$K_I = \lim_{r \rightarrow 0} (\sigma_{II} \sqrt{2\pi r} / f_{II}(\theta)), \quad (6.6)$$

причем к точке $r=0$ можно стремиться по любому направлению. Целесообразно взять направление, совпадающее с углом $\theta=0$ (длины

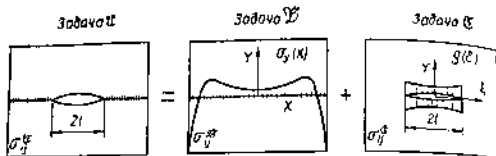


Рис. 6.2. Напряженное состояние в сварном соединении с трещиной под действием остаточных напряжений

продолжения трещины), для которого $f_{II}(\theta = 0) = 1$ у компонентов нормальных напряжений, так как [11]

$$\begin{aligned}\sigma_x &= \frac{K_I}{\sqrt{2\pi r}} \cos \frac{\theta}{2} \left(1 - \sin \frac{\theta}{2} \sin \frac{3\theta}{2} \right); \\ \sigma_y &= \frac{K_I}{\sqrt{2\pi r}} \cos \frac{\theta}{2} \left(1 + \sin \frac{\theta}{2} \sin \frac{3\theta}{2} \right); \\ \tau_{xy} &= \frac{K_I}{\sqrt{2\pi r}} \cos \frac{\theta}{2} \sin \frac{\theta}{2} \cos \frac{3\theta}{2}.\end{aligned}\quad (6.7)$$

В связи с этим (6.6) упрощается к виду

$$K_I = \lim_{r \rightarrow 0} \sigma_{II} \sqrt{2\pi r}. \quad (6.8)$$

Напряженному состоянию σ_{II} присвоим индекс II (новое обозначение — σ_{II}^{II}), так как согласно [11] задача II есть задача о напряженном состоянии в теле с трещиной при заданных нагрузках. Тогда

$$K_I = \lim_{r \rightarrow 0} \sigma_{II}^{II} \sqrt{2\pi r}. \quad (6.9)$$

На основании принципа Сен-Венана напряженное состояние

$$\sigma_{II}^{II} = \sigma_{II}^B + \sigma_{II}^E, \quad (6.10)$$

где σ_{II}^B — напряженное состояние в задаче B; σ_{II}^E — то же, в задаче E (рис. 6.2).

Задача B — задача о напряженном состоянии в теле без трещины при заданных нагрузках. Задача E — задача о напряженном состоянии в теле с трещиной, к берегам которой приложена нагрузка $g(\xi)$; равная напряжениям с обратным знаком в теле без трещины с приложенными нагрузками в сечении, где расположена трещина в пределах длины трещины.

Поскольку в задаче B трещины нет, коэффициент интенсивности напряжений у вершины трещины в задаче II не определяется задачей B. Следовательно, данный коэффициент определяется задачей E, т. е.

$$K_I = K_I^E$$

$$K_I = \lim_{r \rightarrow 0} \sigma_{II}^E \sqrt{2\pi r}. \quad (6.11)$$

В (6.11) для определения K_I берут компоненту $\sigma_y^G(x)$ на продолжении трещины, хотя это не имеет никакого значения в связи с тем, что на продолжении трещины $\sigma_y^G(x) = \sigma_x^G(x)$, а $\tau_{xy}^G(x) = 0$, как это видно из (6.7). Таким образом,

$$K_I = \lim_{x \rightarrow 0} \sigma_y^G(x) \sqrt{2\pi x}. \quad (6.12)$$

Если систему координат XOY перенести параллельно в центр трещины из ее вершины, то (6.12) преобразуется к виду

$$K_I = \lim_{x \rightarrow l} \sigma_y^G(x) \sqrt{2\pi(x-l)}. \quad (6.13)$$

Зависимость (6.13) чаще всего применяют при решении различных задач по определению K_I .

Напряженное состояние σ_{ij}^G в задаче \mathcal{G} находят по формулам [11]:

$$\begin{aligned} \sigma_x^G &= \operatorname{Re} Z_I - y \operatorname{Im} Z_I'; \\ \sigma_y^G &= \operatorname{Re} Z_I + y \operatorname{Im} Z_I'; \\ \tau_{xy}^G &= -y \operatorname{Re} Z_I'; \end{aligned} \quad (6.14)$$

$$\begin{aligned} Z_I(z) &= \frac{1}{\pi \sqrt{z^2 - l^2}} \int_{-l}^l \frac{g(\xi) \sqrt{l^2 - \xi^2}}{z - \xi} d\xi; \\ Z_I' &= dZ_I/dz; \quad z = x + iy. \end{aligned} \quad (6.15)$$

Для определения коэффициента интенсивности напряжений K_I известна и другая формула, которую можно получить из (6.15) следующим образом. Рассмотрим правую вершину трещины. Комплексное число $(z - l)$ равно нулю в точке $z = l$, т. е. в правой вершине трещины. Значит, в локальной системе координат (r, φ) , связанной с данной вершиной, это число можно представить в показательной форме:

$$z - l = re^{i\varphi}. \quad (6.16)$$

Вблизи вершины трещины, т. е. при малых $r = |z - l|$, приближенно можно принять $z = l$ и зависимость (6.15) преобразовать к виду

$$\begin{aligned} Z_I(z) &= \frac{1}{\pi \sqrt{(z+l)(z-l)}} \int_{-l}^l \frac{g(\xi) \sqrt{l^2 - \xi^2}}{z - \xi} d\xi = \\ &= \frac{1}{\pi \sqrt{(l+l)(z-l)}} \int_{-l}^l \frac{g(\xi) \sqrt{l^2 - \xi^2}}{l - \xi} d\xi = \\ &= \frac{1}{\sqrt{2\pi(z-l)}} \frac{1}{\sqrt{\pi l}} \int_{-l}^l g(\xi) \sqrt{\frac{l+\xi}{l-\xi}} d\xi = \end{aligned}$$

$$\begin{aligned}
&= \frac{1}{\sqrt{2\pi r}} \frac{1}{\sqrt{\pi l}} \int_{-l}^l g(\xi) \sqrt{\frac{l+\xi}{l-\xi}} d\xi = \\
&= \frac{f(0)}{\sqrt{2\pi}} \frac{1}{\sqrt{\pi l}} \int_{-l}^l g(\xi) \sqrt{\frac{l+\xi}{l-\xi}} d\xi.
\end{aligned} \quad (6.17)$$

Для точек на продолжении трещины при $\theta = 0$ выражение (6.17) принимает вид

$$\operatorname{Re} Z_1 = \frac{1}{\sqrt{2\pi}} \frac{1}{\sqrt{\pi l}} \int_{-l}^l \sigma_y(x) \sqrt{\frac{l+x}{l-x}} dx, \quad (6.18)$$

Из (6.14) видно, что если $y=0$, то $\operatorname{Re} Z_1 = \sigma_y^G(x)$. Поэтому (6.18) запишем в виде

$$\sigma_y^G(x) = \frac{1}{\sqrt{2\pi}} \frac{1}{\sqrt{\pi l}} \int_{-l}^l \sigma_y(x) \sqrt{\frac{l+x}{l-x}} dx. \quad (6.19)$$

Из (6.19) ясно, что второй множитель в правой части представляет K_1 для правой вершины трещины. Под знаком интеграла $\sigma_y(x)$ есть напряжения в задаче \mathfrak{M} на месте трещины. Полагая для левой вершины трещины $z+l=re^{i\theta}$, совершенно аналогично можно получить выражение, подобное (6.19), но с противоположным знаком в числителе и знаменателе подкоренного выражения под знаком интеграла. В общем случае можно записать формулу

$$K_1 = \frac{1}{\sqrt{\pi l}} \int_{-l}^l \sigma_y(x) \sqrt{\frac{l \pm x}{l \mp x}} dx. \quad (6.20)$$

В окрестности вершины трещины можно построить поверхность для любого компонента тензора напряжений в произвольных или главных осях, откладывая на перпендикулярах к плоскости пластины в точках вокруг вершины трещины значения указанных компонентов и соединяя их концы между собой. Эта поверхность будет напоминать шатер, и по мере удаления от вершины трещины по любому направлению она будет понижаться пропорционально $1/\sqrt{2\pi r}$. С увеличением или уменьшением K данная поверхность пропорционально во всех точках будет подниматься или опускаться. Иначе можно сказать, что K указывает, как высоко поднята рассматриваемая поверхность, т. е. насколько интенсивным является напряженное состояние вокруг данной вершины трещины. Поэтому параметр K называется *коэффициентом интенсивности напряжений*.

При разрушении с образованием в вершинах трещины развитых по длине пластических зон процесс разрушения будет определяться уже не напряженным состоянием в окрестности вершины трещины, а величиной линейной деформации в вершине в направлении, перпендикулярном к плоскости трещины. В этих условиях невозможно применять силовой критерий, использующий коэффициент интенсивности

напряжений. Для таких случаев разработан деформационный критерий разрушения в виде $\delta > \delta_k$, где δ — раскрытие берегов трещины в вершине, а δ_k — критическое значение раскрытия для данного материала и условий разрушения. Определяется δ_k лабораторным путем по специальным методикам. Теоретические основы использования данного деформационного критерия базируются на так называемой σ_k -модели хрупкой трещины Леонова — Паласюка — Дагдейла. Согласно этой модели, пластические зоны у вершин реальной трещины длиной $2l_0$ заменяются прямолинейными разрезами в плоскости трещины, длина которых равна длине пластических зон. Противоположные берега разрезов притягиваются между собой с напряжениями σ_k . Таким образом, в пластике возникает новая эффективная трещина, имеющая большую длину $2l$ (с учетом длины пластических зон), чем реальная трещина. При определенной нагрузке на берега эффективной трещины в точках, соответствующих координатам вершин реальной трещины, раскрытие $2u(x = \pm l_0) = \delta$ берегов эффективной трещины может достигать критического значения δ_k , при котором между берегами нарушаются межатомные связи и увеличивается длина реальной трещины $2l_0$. Так происходит процесс ее распространения. При использовании данного деформационного критерия разрушения необходимо определять три величины: длину пластических зон на продолжении трещины применительно к заданной геометрии трещины и рассматриваемого конструктивного элемента в данном силовом поле внешних или внутренних нагрузок; раскрытие δ трещины в ее вершине; критическое раскрытие δ_k для данного материала и условий разрушения.

1.2. ПОСТАНОВКА СВАРОЧНЫХ ЗАДАЧ

ТЕОРИЯ ТРЕЩИН ХРУПКОГО РАЗРУШЕНИЯ, ПУТИ ИХ РЕШЕНИЯ И СУЩЕСТВУЮЩИЕ ПРОБЛЕМЫ

Большое разнообразие сварных соединений, отличающихся видами швов, толщинами материала и его свойствами, габаритами и формами конструктивных элементов, характером и величиной внешних нагрузок, полем остаточных сварочных напряжений, а также количеством, геометрией и месторасположением возможных хрупких трещин, делает эту область исследований весьма обширной. Основой исследований в данной области является линейная механика разрушения.

Ниже будут рассмотрены сварочные задачи теории хрупких трещин для плоских листовых элементов сварных конструкций относительно малой толщины в виде сварных соединений с односторонними стыковыми швами, содержащими плоские сквозные трещины и находящиеся в силовом поле остаточных сварочных напряжений.

Сварочные задачи теории трещин хрупкого разрушения в большинстве случаев ставят в следующем виде: для заданного сварного соединения с трещиной или системой трещин определить коэффициенты интенсивности напряжений или раскрытие трещин и установить закономерности их изменения при распространении трещин в силовом поле сварочных напряжений, а также установить возможность распространения трещин заданной начальной длины. Задача состоит из двух частей: 1) определение параметров K и δ ; 2) сравнение их с парамет-

раки K_0 и δ_k (вязкость разрушения и критическое раскрытие трещины). Решение второй части задачи при известной вязкости разрушения материала затруднений не представляет. В некоторых случаях могут быть поставлены и другие задачи, например, связанные с определенным траектории движения трещины, ее скорости, возможности восстановления, установленном устойчивости процесса распространения трещины и др.

Случаи разрушения конструкций или их отдельных элементов в силовом поле только сварочных напряжений без воздействия внешних нагрузок не типичны, хотя встречаются достаточно часто. Большие значения имеют задачи по определению коэффициентов интенсивности напряжений для хрупких трещин в элементах конструкций (сварных соединениях) при совместном действии внешних нагрузок и остаточных напряжений. При этом надо иметь в виду, что под действием внешних нагрузок происходит в общем случае определенная релаксация поля остаточных сварочных напряжений в конструкции, и поэтому суммарный коэффициент интенсивности напряжений необходимо определять как сумму таких коэффициентов от внешних нагрузок и от частично прорелаксированных остаточных напряжений. В литературе имеется много решенных задач по определению коэффициентов интенсивности напряжений в элементах конструкций при действии различных внешних нагрузок. Вопрос о закономерностях изменения поля остаточных сварочных напряжений в конструкциях при действии внешних нагрузок пока еще мало изучен. Несмотря на важность изучения поведения трещины в суммарном силовом поле внешних нагрузок и частично прорелаксированных остаточных напряжений, вначале необходимо всесторонне исследовать трещины в силовом поле обычных, не прорелаксировавших остаточных напряжений.

Трещину в сварном соединении в общем можно расположить в любом месте и различным образом по отношению к шву (вдоль, поперек, под углом). В каждом плоском сечении сварного соединения, где расположена трещина, в общем случае могут быть нормальные и касательные напряжения. В связи с этим трещины в таких сечениях являются трещинами смешанного типа, которые могут распространяться от действия нормальных и касательных напряжений. Для них необходимо вычислять K_I и K_{II} . Случай антиплоской деформации (трещины типа III) в сварных соединениях относительно малой толщины от действия остаточных напряжений не реализуется, поэтому для рассматриваемых трещин в таких соединениях всегда $K_{III} = 0$.

В плоскостях симметрии напряженного состояния в сварных соединениях касательных напряжений нет. Если в них расположены трещины, то они являются в чистом виде трещинами нормального отрыва (тип I) и для них необходимо вычислять только K_I .

Исходным для решения сварочных задач теории хрупких трещин будет знание поля остаточных напряжений в сварных соединениях. Это следует учитывать при любом подходе к вычислению K , как это видно из формул (6.20) или (6.13). Решение задачи E также не может быть выполнено без знания остаточных напряжений в сварном соединении без трещины (задача IR).

Анализ решений классических задач теории трещин для различных внешних нагрузок показывает, что относительно просто они могут

быть решены только для случаев, когда можно использовать модель бесконечной плоскости. То же самое можно сказать и в отношении аналогичных сварочных задач. Однако на практике часто возникает необходимость решения этих задач для пластин (сварных соединений) ограниченных размеров. В работе [1] указывалось, что трещины в пластинах конечных размеров представляют огромный практический интерес, но для таких случаев не существует замкнутых форм решений; эти задачи сложны из-за граничных условий. При решении рассматриваемых задач для сварных соединений ограниченных размеров с трещинами, сравнимыми по длине с размерами соединений, проблема учета поправок для K в связи с наличием границ соединения вблизи трещины возникает во всей своей полноте и часто может исказить существенным образом не только количественную, но и качественную сторону результата. Однако больший интерес представляет возможность распространения относительно малых трещин, так как потенциальными очагами хрупкого разрушения в сварных соединениях являются сравнительно небольшие по длине трещиноподобные дефекты технологического происхождения, обусловленные сваркой. При решении задач для небольших трещин в ограниченных сварных соединениях можно исходить из модели бесконечной плоскости.

Если получено аналитическое решение для поля остаточных напряжений в сварном соединении, то для модели бесконечной плоскости задача вычисления K в этом поле напряжений в принципиальном отношении может считаться решенной на основе использования зависимостей (6.13) или (6.20). Принципиальность здесь понимается в том смысле, что интеграл в (6.20) в случае сложных зависимостей для напряжений в плоскости трещины всегда может быть вычислен численными методами. Если необходимо получить аналитическое решение, то часто возникают непреодолимые математические трудности, хотя приближенные решения обычно можно получить.

При решении задач на основе зависимости (6.13) всегда возникает необходимость решения следующего интеграла в плоскости комплексной переменной z :

$$I(z) = \int_{-1}^1 \frac{g(\xi) \sqrt{1-\xi^2}}{z-\xi} d\xi. \quad (8.21)$$

В работе [10] показано, что

$$I(z) = \pi [g(z) \sqrt{z^2-1} - \sum_n G_n(z)], \quad (8.22)$$

где $G_n(z)$ — главные части функции $g(z) \sqrt{z^2-1}$ в ее полюсах; $g(z)$ — рациональная функция (нагрузка на берега трещины) в задаче \mathcal{G} .

Если $g(z)$ есть полином какой-то степени, то функция $g(z) \sqrt{z^2-1}$ имеет полюс (обращается в бесконечность) в точке $z = \infty$. Когда в окрестности бесконечно удаленной точки для некоторой функции $I(z)$ существует зависимость

$$I(z) = O(z) + f_0(z), \quad (8.23)$$

где $f_0(z)$ — функция, голоморфная в окрестности точки $z = \infty$, т. е. ее можно разложить в окрестности этой точки в ряд Тейлора, а при $z = 0$ она исчезает и одновременно

$$G(z) = A_0 + A_1 z + \dots + A_k z^k \quad (6.24)$$

(A_0, A_1, \dots, A_k — постоянные), то говорят, что $f(z)$ имеет в точке $z = \infty$ полюс порядка k с главной частью $G(z)$.

Приведем разложения типа (6.23) для нескольких функций вида $z^k \sqrt{z^2 - l^2}$ с выделением их главных частей $G(z)$, которые могут встретиться при решении задач:

$$\sqrt{z^2 - l^2} = z - \frac{l^2}{2z} - \frac{l^4}{8z^3} - \frac{l^6}{16z^5} - \frac{5l^8}{128z^7} - \dots; \quad (6.25)$$

$$G(z) = z;$$

$$z \sqrt{z^2 - l^2} = z^2 - \frac{l^2}{2} - \frac{l^4}{8z^2} - \dots; \quad (6.26)$$

$$G(z) = z^2 - \frac{l^2}{2};$$

$$z^2 \sqrt{z^2 - l^2} = z^3 - \frac{z l^2}{2} - \frac{l^4}{8z} - \dots; \quad (6.27)$$

$$G(z) = z^3 - \frac{z l^2}{2};$$

$$z^3 \sqrt{z^2 - l^2} = z^4 - \frac{z^2 l^2}{2} - \frac{l^4}{8} - \frac{l^6}{16z^2} - \dots; \quad (6.28)$$

$$G(z) = z^4 - \frac{z^2 l^2}{2} - \frac{l^4}{8};$$

$$z^4 \sqrt{z^2 - l^2} = z^5 - \frac{z^3 l^2}{2} - \frac{z l^4}{8} - \frac{l^6}{16z} - \dots; \quad (6.29)$$

$$G(z) = z^5 - \frac{z^3 l^2}{2} - \frac{z l^4}{8}.$$

Сложные в общем случае зависимости для остаточных напряжений в плоскости расположения трещины в частных случаях для соединений и трещин, размеры которых не выходят из определенного диапазона, могут быть аппроксимированы с высокой степенью точности сравнительно простыми зависимостями, позволяющими получить аналитические решения для K . Возможность аппроксимации устанавливают на основе более полных и точных значений поля остаточных напряжений при сварке.

6.3. РАСЧЕТ ПАРАМЕТРОВ K_1 В СПЛОВОМ ПОЛЕ ОСТАТОЧНЫХ НАПРЯЖЕНИЙ ДЛЯ НЕКОТОРЫХ ТИПОВЫХ ТРЕЩИН

6.3.1. Симметричная поперечная трещина в сварном соединении бесконечных размеров с бесконечным прямолинейным швом

Как было показано в гл. 3, в рассматриваемом сварном соединении поперечных напряжений нет, поэтому не имеет смысла постановка вопроса о расчете параметра K_1 для продольных трещин. Продольные трещины в данном соединении распространяться не будут.

Для такого соединения может рассматриваться вопрос о распределении поперечных трещин. В поперечных сечениях касательных напряжений нет и поэтому рассматриваемые поперечные трещины являются трещинами нормального отрыва (тип I). Значит, для них необходимо определять только параметры K_I .

Остаточные продольные напряжения в соединении

$$\sigma_y(x) = \begin{cases} \frac{k\sigma_r}{b_n} \sqrt{b_n^2 - x^2}, & 0 \leq |x| \leq b_n; \\ 0, & |x| > b_n. \end{cases} \quad (6.30)$$

Координатная система XOY выбрана так, что ее центр находится на оси шва, ось X направлена перпендикулярно к шву, а ось Y — вдоль оси шва.

Для решения задачи воспользуемся формулой (6.20). Если длина $2l$ симметричной относительно оси шва трещины меньше ширины $2b_n$ пластической зоны, то

$$K_I = \frac{1}{\sqrt{\pi l}} \int_{-l}^l \frac{k\sigma_r}{b_n} \sqrt{b_n^2 - x^2} \sqrt{\frac{l+x}{l-x}} dx, \quad 0 \leq l \leq b_n. \quad (6.31)$$

Для заданной зависимости $\sigma_y(x)$ решение интеграла в (6.31) затруднительно. Поэтому целесообразно $\sigma_y(x)$ аппроксимировать следующим образом в пределах длины трещины:

$$\sigma_y(x) = \frac{k\sigma_r}{b_n} \sqrt{b_n^2 - l^2} + A \sqrt{l^2 - x^2}. \quad (6.32)$$

Коэффициент A определим из условия, что

$$\int_0^l \frac{k\sigma_r}{b_n} (\sqrt{b_n^2 - x^2} - \sqrt{b_n^2 - l^2}) dx = \int_0^l A \sqrt{l^2 - x^2} dx. \quad (6.33)$$

Отсюда

$$A = \frac{2k\sigma_r b_n}{\pi l^2} \left(\arcsin \frac{l}{b_n} - \frac{l}{b_n^2} \sqrt{b_n^2 - l^2} \right). \quad (6.34)$$

Тогда

$$K_I = \frac{1}{\sqrt{\pi l}} \frac{k\sigma_r}{b_n} \int_{-l}^l \left[\sqrt{b_n^2 - l^2} + \frac{2b_n^2}{\pi l^2} \left(\arcsin \frac{l}{b_n} - \frac{l}{b_n^2} \sqrt{b_n^2 - l^2} \right) \sqrt{l^2 - x^2} \right] \sqrt{\frac{l+x}{l-x}} dx, \quad l \leq b_n. \quad (6.35)$$

Обозначая $\alpha = x/l$, $\varphi = l/b_n$, можно (6.35) представить в безразмерном виде:

$$\frac{K_I}{k\sigma_r \sqrt{b_n}} = \sqrt{\frac{\varphi}{\pi}} \int_{-1}^1 \left[\sqrt{1 - \varphi^2} + \frac{2}{\pi \varphi} (\arcsin \varphi - \varphi \sqrt{1 - \varphi^2}) \times \right. \\ \left. \times \sqrt{1 - \alpha^2} \right] \sqrt{\frac{1+\alpha}{1-\alpha}} d\alpha, \quad -1 \leq \alpha \leq 1. \quad (6.36)$$

Решение (6.36) дает

$$\frac{K_I}{k\sigma_T \sqrt{b_n}} = \sqrt{\pi\varphi(1-\varphi^2)} + \frac{4}{\pi\sqrt{\pi\varphi}} (\arcsin \varphi - \varphi \sqrt{1-\varphi^2}),$$

$$0 \leq \varphi \leq 1. \quad (6.37)$$

Для $\varphi = l/b_n = 1$ имеем

$$K_I/k\sigma_T \sqrt{b_n} = 2/\sqrt{\pi}. \quad (6.38)$$

Если длина трещины больше ширины пластической зоны, то кривую $\sigma_y(x)$ удобнее всего аппроксимировать в виде

$$\sigma_y(x) = B(x^2 - b_n^2), \quad (6.39)$$

где коэффициент B определяется из условия, что

$$\int_0^{b_n} \frac{k\sigma_T}{b_n} \sqrt{b_n^2 - x^2} dx = \int_0^{b_n} B(x^2 - b_n^2) dx. \quad (6.40)$$

Решение (6.40) дает

$$B = -(3k\sigma_T\pi)/8b_n^2. \quad (6.41)$$

Тогда

$$\sigma_y(x) = (3k\sigma_T\pi(b_n^2 - x^2))/8b_n^2. \quad (6.42)$$

Подставляя (6.42) в (6.20), получаем

$$K_I = \frac{1}{\sqrt{\pi l}} \int_{-b_n}^{b_n} \frac{3k\sigma_T\pi}{8b_n^2} (b_n^2 - x^2) \sqrt{\frac{l+x}{l-x}} dx, \quad (6.43)$$

или в безразмерных параметрах

$$\frac{K_I}{k\sigma_T \sqrt{b_n}} = \frac{3\sqrt{\pi\varphi}}{8} \int_{-1/\varphi}^{1/\varphi} (1 - \alpha^2\varphi^2) \sqrt{\frac{1+\alpha}{1-\alpha}} d\alpha. \quad (6.44)$$

Решая (6.44), получаем в окончательном виде

$$\frac{K_I}{k\sigma_T \sqrt{b_n}} = \frac{3\sqrt{\pi\varphi}}{8} [(2 - \varphi^2) \arcsin \frac{1}{\varphi} + \sqrt{\varphi^2 - 1}], \quad \varphi > 1. \quad (6.45)$$

Кривая для $K_I/(k\sigma_T \sqrt{b_n})$, соответствующая выражениям (6.37) и (6.45), показана на рис. 6.3. По мере увеличения длины поперечной трещины (увеличение φ) при $\varphi > 1$ (спадающая ветвь кривой) решение (6.45) все в большей мере приближается к решению для сосредоточенных сил P , приложенных к берегам трещины в ее середине:

$$K_I = P/\sqrt{\pi l}, \quad (6.46)$$

где сосредоточенную силу P для единичной толщины пластины определяем выражением

$$P = 2 \int_0^{b_n} \frac{k \sigma_y}{b_n} \sqrt{b_n^2 - x^2} dx = \frac{k \sigma_y b_n \pi}{2} \quad (6.47)$$

Подставляя (6.47) в (6.46), получаем

$$K_{II}/(k \sigma_y \sqrt{b_n}) = \sqrt{\pi}/\varphi/2, \quad \varphi > 1. \quad (6.48)$$

Зависимость (6.48) показана на рис. 6.3 штриховой линией. При $\varphi \gg 2$ можно пользоваться более простой зависимостью (6.48).

6.3.2. Симметричная поперечная трещина в сварном соединении ограниченных размеров при $c \gg 2$

При $c \gg 2$ неравномерной составляющей продольного сжатия в среднем поперечном сечении можно пренебречь. Это видно из рис. 3.14. Как было показано в гл. 3, остаточное напряженное состояние в сварном соединении ограниченных размеров зависит от жесткости сборочного приспособления.

Таким образом, синтезируя решения для продольных напряжений σ_y в среднем поперечном сечении сварных соединений ограниченных размеров при $c \gg 2$, приведенные в гл. 3, с учетом коэффициента жесткости приспособления k можно записать:

$$\sigma_y/\sigma_T = kf(a, \bar{k}) \begin{cases} \sqrt{1-\omega^2} - (\alpha\pi)/4, & 0 \leq \omega \leq 1; \\ -(\alpha\pi)/4, & \omega > 1. \end{cases} \quad (6.49)$$

$$f(a, \bar{k}) = \frac{1}{1 - a/[1,273(\bar{k} + 1)]}, \quad \omega = x/b_n; \quad a = b_n/B; \quad 0 \leq \bar{k} \leq \infty.$$

В среднем поперечном сечении такого соединения касательных напряжений нет и поэтому расположенная в этом сечении трещина, также как и в соединении бесконечных размеров, будет трещиной нормального отрыва.

При решении задачи определения K_I^{cr} в рассматриваемом случае в отличие от случая, рассмотренного выше, дополнительно необходимо учесть влияние на K_I равномерного по сечению продольного сжатия, как это видно из (6.49), а также влияние грани соединения, перпендикулярных и параллельных плоскости трещины. С учетом сказанного

$$K_I^{cr} = K_I^{cr} + K_I^I + K_I^I, \quad (6.50)$$

где K_I^{cr} — значение K_I для поперечной трещины в соединении бесконечных размеров, определяемое на основе (6.49).

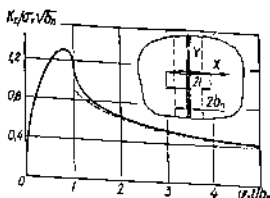


Рис. 6.3 Интенсивность напряжений у вершин симметричной поперечной хрупкой трещины в соединении бесконечных размеров с бесконечным швом

При определении K_I^m можно воспользоваться полученными выше решениями (6.37) и (6.45). Тогда

$$\frac{K_I^m}{k\sigma_\tau \sqrt{b_n}} = 2f(a, \bar{k}) \left\{ \sqrt{\pi\varphi(1-\varphi^2)} + \frac{4}{\pi\sqrt{\pi\varphi}} (\arcsin \varphi - \varphi\sqrt{1-\varphi^2}) - \frac{a\pi}{4} \right\}, \quad 0 \leq \varphi \leq 1; \quad (6.51)$$

$$\frac{K_I^m}{k\sigma_\tau \sqrt{b_n}} = 2f(a, \bar{k}) \left\{ (2-\varphi^2) \arcsin \frac{1}{\varphi} + \sqrt{\varphi^2-1} - \frac{2a\pi}{3} \right\}, \quad 1 \leq \varphi \leq \frac{1}{a}. \quad (6.52)$$

Поправку K_I^1 к значению K_I^m в связи с наличием боковых границ соединения, перпендикулярных к плоскости трещины, будем учитывать по видам составляющих нагрузки на берега трещины в задаче Г. До тех пор, пока $2l \leq 2b_n$, приближенно можно считать, что к берегам трещины приложена равномерная нагрузка в виде давления

$$\bar{\sigma}' = \frac{1}{l} \int_0^l \sigma_\nu(x) dx, \quad (6.53)$$

Подставляя в (6.53) выражение (6.49), получаем

$$\bar{\sigma}' = f(a, \bar{k}) k \sigma_\tau \left(\sqrt{1-\varphi^2} + \frac{1}{\varphi} \arcsin \varphi - \frac{a\pi}{2} \right). \quad (6.54)$$

Для учета поправки при равномерной нагрузке можно воспользоваться различными известными [10] поправками Исида, Брауна и Сроули, Койтера, Ирвина, Тада, Фелддерсена и др. Примем здесь наиболее простую, на наш взгляд, обеспечивающую при $\lambda_1 = l/B$ в пределах от 0 до 0,6 погрешность до 1 %:

$$\frac{K_I^1}{k\sigma_\tau \sqrt{b_n}} = f(a, \bar{k}) \sqrt{\pi\varphi} \left(\sqrt{1-\varphi^2} + \frac{1}{\varphi} \arcsin \varphi - \frac{a\pi}{2} \right) (\lambda_1^2 - 0,1\lambda_1), \quad 0 \leq \lambda_1 \leq a, \quad (6.55)$$

В случае $2l > 2b_n$ нагрузку на берега трещины представим в виде суммы сосредоточенных сил P , раскрывающих трещину и приложенных к ее берегам в середине, и равномерно распределенной по длине трещины закрывающей нагрузки $\bar{\sigma}''$:

$$P = 4f(a, \bar{k}) \int_0^{b_n} \frac{k\sigma_\tau}{b_n} \sqrt{b_n^2 - x^2} dx = f(a, \bar{k}) k\sigma_\tau b_n \pi; \quad (6.56)$$

$$\bar{\sigma}'' = -f(a, \bar{k}) k\sigma_\tau a\pi. \quad (6.57)$$

Тогда согласно [10]

$$\frac{K_I^I}{k\sigma_r \sqrt{b_n}} = f(a, \bar{k}) \sqrt{\pi \varphi} \left\{ \frac{1}{\varphi} \left(\frac{1 + 0,6896\lambda_1^2 + 0,2144\lambda_1^4 - 0,0702\lambda_1^6}{1 - \lambda_1^2} - 1 \right) - \frac{\alpha\pi}{2} (\lambda_1^2 - 0,1\lambda_1) \right\}, \quad a < \lambda_1 < 1. \quad (6.58)$$

Сохраняя тот же характер нагрузки на берега трещины в задаче \mathcal{C} , что и при вычислении K_I^I , найдем на основании того же источника [10] поправку K_I^I на наличие грани соединения, параллельных трещине:

$$\frac{K_I^I}{k\sigma_r \sqrt{b_n}} = f(a, \bar{k}) \sqrt{\pi \varphi} (1,1418\lambda_2^2 - 0,6048\lambda_2^4), \quad 0 \leq \lambda_2 \leq \frac{a}{c}; \quad (6.59)$$

$$\frac{K_I^II}{k\sigma_r \sqrt{b_n}} = f(a, \bar{k}) \pi \sqrt{\pi \varphi} \left\{ \frac{1}{\pi \varphi} (2,2838\lambda_2^2 - 0,7554\lambda_2^4 - \frac{\alpha\pi}{2} (1,1418\lambda_2^2 - 0,6048\lambda_2^4)) \right\}, \quad a/c < \lambda_2 < 1/c. \quad (6.60)$$

Если учесть, что

$$\lambda_1 = \frac{l}{B} = \frac{l}{B} \cdot \frac{b_n}{b_n} = \frac{b_n}{B} \cdot \frac{l}{b_n} = \alpha \varphi; \quad (6.61)$$

$$\lambda_2 = \frac{l}{L} = \frac{l}{L} \cdot \frac{B}{B} = \frac{l}{B} \cdot \frac{B}{L} = \frac{\lambda_1}{c} = \frac{\alpha \varphi}{c},$$

то все приведенные выше зависимости для вычисления поправочных значений K_I легко можно преобразовать и привести в виде функций любых двух параметров из четырех: a , φ , λ_1 , λ_2 , что удобно при построении графиков.

Анализ поправочных зависимостей (6.59) и (6.60) для K_I^I показывает, что при $c = 2$, а также при $c > 2$ поправкой на наличие параллельных грани для трещины в среднем поперечном сечении в общем можно пренебречь. Более или менее ощутимо это влияние при $\lambda_1 > 0,8$, для $0,4 \leq a \leq 0,5$, но таким а сварные соединения на практике встречаются редко.

Влияние перпендикулярных грани проявляется существенным образом. На рис. 6.4 при $k=1$ сплошными линиями показана зависимость $K_I^{opp}/(k\sigma_r \sqrt{b_n})$ от λ_1 с учетом влияния грани соединения для двух, почти диаметрально противоположных, $a = 0,5$ и $a = 0,05$. Там же штриховыми линиями показана рассматриваемая зависимость без учета влияния грани соедине-

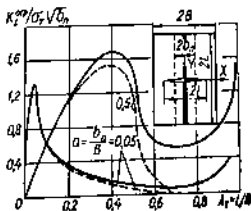


Рис. 6.4. Интенсивность напряжений у вершины симметричной поперечной трещины в соединении ограниченной ширины

ния. Видно, что чем больше α , тем в большей мере проявляется влияние боковых границ, которое становится заметным уже при $\lambda_1 > 0,4$, а при $\lambda_1 > 0,8$ проявляется наиболее резко в сторону увеличения K_1 . Кривые для K_1 имеют максимум для трещины с $l \approx 0,8b$, изменяющийся в пределах примерно от 1,3 до 1,7 при изменении α соответственно от 0 до 0,5 в случае сварки соединения в свободном состоянии. При сварке в приспособлении, жесткость которого \bar{k} , значения K_1 будут более низкими, и это учитывается поправочной функцией $f(\alpha, \bar{k})$. Спадающая ветвь кривых на рис. 6.4 обусловлена в данном случае двумя причинами: 1) все большим по мере увеличения длины трещины сосредоточением растягивающих продольных напряжений в центре трещины (как и для соединения бесконечных размеров); 2) влиянием равномерно распределенных по длине трещины сжимающих напряжений.

6.3.3. Симметричная продольная трещина в шве сварного соединения прямоугольной формы при $c < 1$

Выберем прямоугольную систему координат XOY так, чтобы ее начало находилось на оси шва в центре, а ось Y была направлена вдоль шва.

Для заданного $c < 1$, как это следует из зависимости (3.129), а также из многочисленных экспериментальных данных различных авторов, поперечные напряжения $\sigma_x(y)$ на оси шва можно достаточно точно аппроксимировать параболической зависимостью

$$\sigma_x(y) = \sigma_m \left(1 - \frac{3y^2}{L^2} \right), \quad (6.62)$$

где σ_m — поперечное напряжение в шве в средней точке по его длине, определяемое экспериментальным путем или же по выражению, вытекающему из (3.129):

$$\sigma_m = f(\alpha, \bar{k}) k \sigma_0 \sum_{m=1}^{\infty} \frac{J_1(\alpha \pi m)}{m} \frac{1 \operatorname{ch} t - \operatorname{sh} t}{2t + \operatorname{sh} 2t},$$

$$t = m\pi c; \quad c = L/B; \quad \alpha = b_n/B. \quad (6.63)$$

Коэффициент интенсивности напряжений находим согласно зависимости (6.20), пригодной для бесконечной плоскости:

$$K_1 = \frac{1}{\sqrt{\pi l}} \int_{-l}^l \sigma_x(y) \sqrt{\frac{l+y}{l-y}} dy. \quad (6.64)$$

Подставляя (6.62) в (6.64), после интегрирования находим

$$K_1 = \sigma_m \sqrt{\pi l} [1 - (3l^2/2L^2)]. \quad (6.65)$$

Обозначая $\alpha = l/L$, зависимость (6.65) можно переписать в удобном безразмерном виде:

$$K_1/(\sigma_m \sqrt{L}) = \frac{1}{2} \pi \alpha [1 - (3\alpha^2/2)]. \quad (6.66)$$

Далее, так же как и в задаче для поперечной трещины, необходимо учесть поправку на наличие перпендикулярных и параллельных трещин границ соединения. В связи с тем что рассматриваемая здесь задача относится к соединениям со значением $c < 1$, можно предположить, основываясь на предыдущей задаче для поперечной трещины, что влияние параллельных границ в данной задаче будет незначительным. Поэтому введем поправку только на перпендикулярные границы. При произвольном расположении нагрузки на берегах трещины точных решений для учета поправки K_1^\perp нет. В связи с этим предлагается метод, основанный на следующих соображениях. Если на берега трещины действует симметричная относительно середины трещины, но в общем неравномерная по длине трещины нагрузка $\sigma_x(y)$, то в бесконечной плоскости на продолжении трещины она создает такие напряжения $\sigma_x^E(y)$, что

$$\int_0^l \sigma_x(y) dy = \int_0^l \sigma_x^E(y) dy. \quad (6.67)$$

При наличии боковых границ часть эпюры напряжений $\sigma_x^E(y)$ отсекается в пределах от L до ∞ . В результате нарушается равновесие и возрастают напряжения $\sigma_x^E(y)$ в оставшейся перемычке шириной $(L - l)$, что соответственно повышает K_1 . Следовательно, необходимо определять некоторые корректирующие напряжения $\bar{\sigma}_x^E(y)$ на продолжении трещины, при которых

$$\int_0^l \bar{\sigma}_x^E(y) dy = \int_0^l \sigma_x(y) dy - \int_l^L \sigma_x^E(y) dy. \quad (6.68)$$

Здесь возникает вопрос о том, какой должна быть корректирующая нагрузка $\bar{\sigma}_x(y)$ на берега трещины, создающая на продолжении трещины нужные напряжения $\bar{\sigma}_x^E(y)$. Можно указать алгоритм дальнейшего решения этой задачи, обеспечивающий оптимальное определение $\bar{\sigma}_x(y)$, но точность от этого повысится не существенно, а громоздкость выкладок возрастет значительно. В связи с этим примем, что $\bar{\sigma}_x(y)$ распределены по длине трещины равномерно. Напряжения $\bar{\sigma}_x(y) = \bar{\sigma} = \text{const}$ необходимо определить. Для этого в соответствии с (6.68) запишем

$$\bar{\sigma}l = \int_0^l \sigma_x(y) dy - \int_l^L \sigma_x^E(y) dy. \quad (6.69)$$

Далее для определения $\sigma_x^E(y)$ необходимо воспользоваться зависимостью (6.62) и найти предварительно функцию напряжений $Z_1(z)$ по формуле

$$Z_1(z) = \frac{1}{\pi \sqrt{z^2 - l^2}} \int_{-l}^l \frac{g(\xi) \sqrt{l^2 - \xi^2}}{z - \xi} d\xi. \quad (6.70)$$

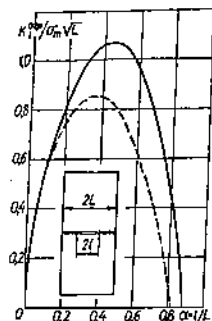


рис. 6.5. Интенсивность напряжений у вершины симметричной продольной хрупкой трещины в шве сварного соединения ограниченных размеров при $s < l$: — с учетом влияния перпендикулярных границ соединения; - - - то же, без учета

Подставляя в (6.70) вместо $g(\xi)$ напряжения $\sigma_x(y)$ согласно (6.62) с обратным знаком и заменяя y на ξ , получаем

$$Z_1(z) = \sigma_m \left\{ \frac{z}{\sqrt{z^2 - l^2}} \left(\frac{3z^2}{2L^2} - \frac{3z^2}{L^2} + 1 \right) + \frac{3z^4}{L^2} - 1 \right\}. \quad (6.71)$$

Следовательно,

$$\sigma_x^B(y) = \operatorname{Re} Z_1 = \sigma_m \left\{ \frac{y}{\sqrt{y^2 - l^2}} \left(\frac{3y^2}{2L^2} - \frac{3y^2}{L^2} + 1 \right) + \frac{3y^4}{L^2} - 1 \right\}. \quad (6.72)$$

После подстановки (6.62) и (6.72) в правую часть (6.69) и интегрирования получим

$$\bar{\sigma} = \sigma_m (\alpha \sqrt{1 - \alpha^2})/2, \quad \alpha = l/L. \quad (6.73)$$

Таким образом,

$$K_I^1 / (\sigma_m \sqrt{L}) = \sqrt{\pi \alpha} (\alpha \sqrt{1 - \alpha^2})/2. \quad (6.74)$$

При сложении (6.66) и (6.74) находим

$$K_I^{\text{св}} / (\sigma_m \sqrt{L}) = \sqrt{\pi \alpha} [(\alpha \sqrt{1 - \alpha^2} - 3\alpha^2)/2 + 1]. \quad (6.75)$$

График зависимости (6.75) для случая сварки соединения в жестком приспособлении ($f(a, k) = 1$) показан на рис. 6.5 сплошной линией. Там же штриховой линией показана та же зависимость без учета поправки на боковые границы соединения. Из рисунка видно, что максимальные значения K_I имеют место примерно при $\alpha \approx 0,5$. Дальнейшее снижение кривой для K_I при $\alpha > 0,5$ обусловлено постепенным снижением с переходом в область отрицательных значений поперечных напряжений в шве по мере приближения к торцам соединения. Значительные по величине поперечные напряжения сжатия в концевых участках шва играют существенную роль в снижении K_I так, что даже несмотря на большое влияние в сторону увеличения K_I боковых границ соединения, все же кривая для K_I переходит через нуль в пределах длины шва примерно при $\alpha \approx 0,9$. Значит невозможно полное разрушение сварного соединения по шву при любом значении вязкости разрушения для металла шва.

6.3.4. Несимметричная продольная трещина в шве сварного соединения прямоугольной формы при $s < l$

Пусть середина трещины находится на расстоянии s от левого торца сварного соединения. Рассмотрим случай $\omega = l/s \leq 0,25$.

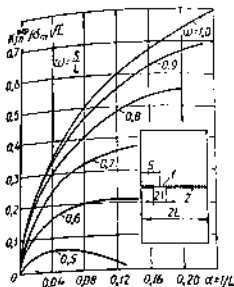


Рис. 6.6. Интенсивность напряжений у левой вершины несимметричной продольной эллиптической трещины (1) в шве (2) сварного соединения ограниченных размеров при $\epsilon < 1$

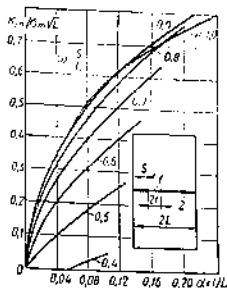


Рис. 6.7. Интенсивность напряжений у правой вершины несимметричной продольной эллиптической трещины (1) в шве (2) сварного соединения ограниченных размеров при $\epsilon < 1$

Согласно [10] при таком l/s можно не учитывать поправку K_I^1 . Поправку K_I^1 также можно не учитывать, так как $\epsilon < 1$. Преобразуем выражение (6.62) для поперечных напряжений в шве $\sigma_x(y)$ к новой координатной системе XOY , связанной с центром трещины, но смещенной из центра шва влево вдоль его оси. Тогда

$$\sigma_x(y) = \sigma_m [6L(y+s) - 3L^2(y+s)^2 - 2]. \quad (6.76)$$

В связи с несимметрией нагрузки на берега трещины относительно ее середины, необходимо определять параметры K_I отдельно для правой $K_{Iп}$ и левой $K_{Iл}$ вершины трещины. Поэтому

$$K_{Iп, л} = \frac{1}{\sqrt{\pi L}} \int_{-l}^l \sigma_x(y) \sqrt{\frac{L \pm y}{L \mp y}} dy. \quad (6.77)$$

Здесь и ниже верхние знаки под корнем соответствуют правой, а нижние — левой вершинам трещины.

Подставляя (6.76) в (6.77), получаем

$$K_{Iп, л} / (\sigma_m \sqrt{L}) = \sqrt{\pi \alpha} [3\omega(2-\omega) \pm 3\alpha(1-\omega) - 1,5\alpha^2 - 2], \quad (6.78)$$

$$\omega = s/L; \quad \omega \geq 4\alpha; \quad 0 \leq \omega \leq 1; \quad 0 \leq \alpha \leq 0,25\omega.$$

Зависимость (6.78) показана на рис. 6.6 и 6.7. У правой вершины трещины значения K_I больше, чем у левой. Поэтому в случае $K_I = K_{II}$ трещина будет сначала распространяться правой вершиной до тех пор, пока она не станет симметричной относительно середины шва. Для трещин одинаковой длины наибольшие значения K_I достигаются в том случае, когда трещина является симметричной относительно середины шва.

6.3.5. Симметричная продольная трещина в шве сварного соединения прямоугольной формы при произвольном c

Как показано в гл. 3, для соединения прямоугольной формы в системе координат, связанной с центром шва, при произвольном c поперечные напряжения на оси шва

$$\sigma_x(y) = f(a, \bar{k}) k \sigma_T \sum_{m=1, 2, 3, \dots} \frac{J_1(m\pi)}{m} \sum_{n=0, 2, 4, \dots} \frac{(t_m - n s_m) v_m^n \beta^n}{n!}; \quad (6.76)$$

$$v_m = m c \pi; \quad \beta = y/L; \quad a = b_n/B; \quad c = L/B;$$

$$t_m = \frac{v_m \operatorname{ch} v_m - \operatorname{sh} v_m}{2 v_m + \operatorname{sh} 2 v_m}; \quad s_m = \frac{\operatorname{sh} v_m}{2 v_m + \operatorname{sh} 2 v_m}.$$

С учетом поправок на наличие параллельных и перпендикулярных грани соединения в итоге получено

$$\frac{K_I^{\text{орг}}}{k \sigma_T \sqrt{L}} = f(a, k) 4 \sum_m \frac{J_1(m\pi)}{m} \sum_{n=0, 2, 4, \dots} \frac{(t_m - n s_m) v_m^n}{(n+1)!} \left\{ \alpha^n \sqrt{\pi \alpha} + \right.$$

$$+ \frac{\sqrt{\pi \alpha} (1 - \alpha)^2}{\alpha + \sqrt{1 - \alpha^2}} \left[1 - n (1 - \alpha^2) \left(\frac{1}{n+1} + \right. \right.$$

$$\left. \left. + \sum_{k=2, 3, 4, \dots} \frac{\alpha^{2k-2} (n+2-2k)!}{(n+1)(n+3-2k)!} \right] \right\} + \alpha^n \sqrt{3 \alpha} (c \alpha)^{3/2}, \quad \alpha = l/L. \quad (6.80)$$

Зависимость (6.80) при $f(a, \bar{k}) = 1$ для $a = 0,3$, $k = 1$ и различных c приведена на рис. 6.8. Из рисунка явно видна тенденция снижения величины K_I практически до нуля по мере увеличения длины соединения для трещин с $\alpha \leq 0,5$. Это объясняется уменьшением также почти до нуля в средней части шва поперечных напряжений в нем

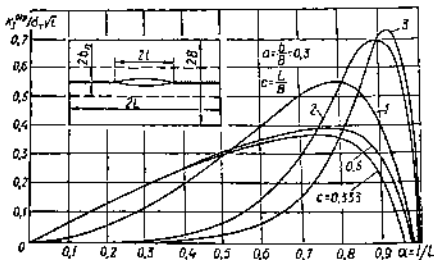


Рис. 6.8. Интенсивность напряжений у вершины симметричной продольной трещины в шве сварного соединения ограниченных размеров при произвольном c с учетом влияния всех границ соединения

по мере увеличения длины сварного соединения при сохранении неизменной его ширины. Все кривые на рисунке имеют спадающую ветвь, пересекающую ось α при значениях $\alpha < 1$. Это дает основание утверждать, что за счет разрушения по шву невозможно полностью разделить соединение на две части при любом малом K_{Ic} .

6.6. ОБОБЩЕННЫЙ МЕТОД РАСЧЕТА K_I И K_{II} ДЛЯ ПРОИЗВОЛЬНЫХ ТРЕЩИН БЕЗ ПРЕДВАРИТЕЛЬНОГО ОПРЕДЕЛЕНИЯ ОСТАТОЧНЫХ НАПРЯЖЕНИЙ

Дислокационные представления об остаточных напряжениях при сварке, описанные в гл. 3, могут быть успешно использованы и для разработки обобщенного метода расчета K_I и K_{II} (далее будем обозначать $K_{I,II}$) в плоских стыковых соединениях технологически больших размеров, минуя процедуру предварительного определения остаточных напряжений.

Рассмотрим бесконечную плоскость с прямолинейной трещиной длиной $2l$ произвольной ориентации, расположенной под углом α к оси X_0 (рис. 6.9). Центр трещины смещен по осям ξ и η соответственно на расстояния x_0 и y_0 . Единичный элементарный закрытый вырез-трещина длиной $2b_0$ в сечении AA создает в плоскости с трещиной

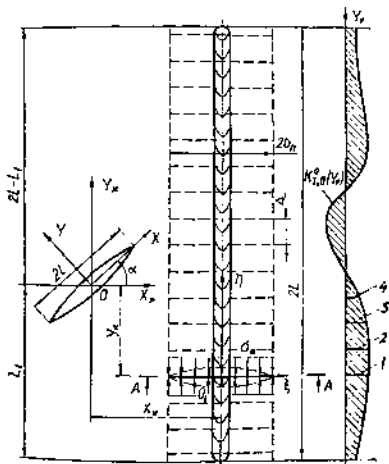


Рис. 6.9. Расчетная схема к определению коэффициентов интенсивности напряжений для произвольной трещины в плоскости со швом ограниченной длины

определенное поле напряжений, и у вершины трещины в данной точке напряжений возникают соответствующие значения $K_{I,II}$. Пусть то значение $K_{I,II}$, которое имеет место, например, у правой вершины трещины, определяется отрезком 1. Закрытый вырез можно перемещать вдоль оси η вверх и вниз в любое положение. Для различных других его положений значения $K_{I,II}$ у правой вершины трещины будут определяться подобными отрезками 2, 3, 4, Иначе говоря, перемещая единичный элементарный закрытый вырез по оси η , можно построить линию влияния $K_{I,II}^*$ для рассматриваемой вершины трещины, расположенной произвольным образом в плоскости со швом. Совокупность положений элементарного закрытого выреза в пределах, соответствующих длине шва в плоскости, определяет, как известно, суммарное статическое напряженное состояние в соединении. Следовательно, искомое значение $K_{I,II}$ в рассматриваемой вершине трещины будет определяться величиной площади, заштрихованной на рис 6.9, которая ограничена линией влияния $K_{I,II}^*$ и осью Y_* .

В принципиальном отношении уравнения линии влияния $K_{I,II}^*$ в вершинах рассматриваемой трещины от поля напряжений, вызванных закрытым единичным элементарным вырезом в сечении AA , определяют по формулам:

$$K_I^*(y_*) = \frac{1}{\sqrt{\pi l}} \int_{-l}^l \sigma_y(x, y_*) \sqrt{\frac{l \pm x}{l \mp x}} dx; \quad (6.81)$$

$$K_{II}^*(y_*) = \frac{1}{\sqrt{\pi l}} \int_{-l}^l \tau_{xy}(x, y_*) \sqrt{\frac{l \pm x}{l \mp x}} dx. \quad (6.82)$$

Верхние знаки в подкоренных выражениях зависимостей (6.81) и (6.82) соответствуют правой вершине трещины, а нижние — левой.

В системе координат $\xi O_1 \eta$ на линии трещины напряжения σ_ξ^0 запишем в виде:

$$\sigma_\xi^0 = \operatorname{Re} Z_I(\xi, \eta) - \eta \operatorname{Im} Z_I'(\xi, \eta); \quad (6.83)$$

$$\sigma_\eta^0 = \operatorname{Re} Z_I(\xi, \eta) + \eta \operatorname{Im} Z_I'(\xi, \eta); \quad (6.84)$$

$$\tau_{\xi, \eta}^0 = -\eta \operatorname{Re} Z_I'(\xi, \eta). \quad (6.85)$$

Далее необходимо перейти в систему координат XOY , связанную с центром трещины. Такой переход сопровождается следующими преобразованиями координат:

$$\begin{aligned} \xi &= x \cos \alpha - y \sin \alpha + x_*; \\ \eta &= x \sin \alpha + y \cos \alpha + y_*. \end{aligned} \quad (6.86)$$

Поскольку в системе XOY интересуют только напряжения на линии трещины, то, принимая $y = 0$, формулы (6.86) упрощаются:

$$\begin{aligned} \xi &= x \cos \alpha + x_*; \\ \eta &= x \sin \alpha + y_*. \end{aligned} \quad (6.87)$$

Следующим шагом является представление напряжений σ_{ij}^0 на линии трещины в системе XOY через напряжения σ_{ij}^0 в тех же точках в системе $\xi O_1 \eta$. Это можно сделать на основании известных зависимостей для напряжений на произвольной наклонной площадке:

$$\sigma_y^0 = \sigma_{\xi}^0 \sin^2 \alpha + \sigma_{\eta}^0 \cos^2 \alpha - \tau_{\xi\eta}^0 \sin 2\alpha; \quad (6.88)$$

$$\tau_{xy}^0 = \tau_{\xi\eta}^0 \cos 2\alpha - \frac{1}{2} (\sigma_{\xi}^0 - \sigma_{\eta}^0). \quad (6.89)$$

Подставляя в (6.88) и (6.89) зависимости (6.83) ... (6.86), выражим напряжения на линии трещины σ_y^0 , τ_{xy}^0 через функцию напряжений Z_I :

$$\sigma_y^0 = \operatorname{Re} Z_I + \eta \operatorname{Im} Z_I' \cos 2\alpha + \eta \operatorname{Re} Z_I \sin 2\alpha; \quad (6.90)$$

$$\tau_{xy}^0 = \eta \operatorname{Im} Z_I \sin 2\alpha - \eta \operatorname{Re} Z_I' \cos 2\alpha. \quad (6.91)$$

В формулах (6.90), (6.91) напряжения выражены через координаты ξ , η , а то время как для использования их в выражениях (6.81) и (6.82) они должны быть представлены через координату x системы XOY (см. рис. 6.9). Таким образом, в формулах (6.90), (6.91) необходимо заменить ξ , η их выражениями через x согласно (6.87). Тогда

$$\sigma_y^0 = \operatorname{Re} Z_I(x, y_*) + (x \sin \alpha + y_*) [\operatorname{Im} Z_I'(x) \cos 2\alpha + \operatorname{Re} Z_I'(x) \sin 2\alpha]; \quad (6.92)$$

$$\tau_{xy}^0 = (x \sin \alpha + y_*) [\operatorname{Im} Z_I'(x) \sin 2\alpha + \operatorname{Re} Z_I'(x) \cos 2\alpha], \quad (6.93)$$

где

$$\operatorname{Re} Z_I(x, y_*) = \sigma_* \left[\frac{r}{\sqrt{R}} \cos \left(\psi - \frac{\theta}{2} \right) - 1 \right];$$

$$\operatorname{Im} Z_I'(x, y_*) = \sigma_* b_n^3 \sin \frac{3\theta}{2} / R \sqrt{R};$$

$$\operatorname{Re} Z_I'(x, y_*) = -\sigma_* b_n^3 \cos \frac{3\theta}{2} / R \sqrt{R};$$

$$Z_I(\zeta) = \sigma_* \left(\frac{r}{V \zeta^2 - b_n^2} - 1 \right);$$

$$Z_I'(\zeta) = -\sigma_* b_n^2 / V (\zeta^2 - b_n^2)^{3/2};$$

$$\zeta = (x \cos \alpha + x_*) + i(x \sin \alpha + y_*);$$

$$r = V \xi^2 + \eta^2 = V (x \cos \alpha + x_*)^2 + (x \sin \alpha + y_*)^2;$$

$$R = V (r^2 \cos 2\psi - b_n^2)^2 + r^4 \sin^2 2\psi;$$

$$\psi = \operatorname{arctg} \frac{\eta}{\xi} + n\pi = \operatorname{arctg} \frac{x \sin \alpha + y_*}{x \cos \alpha + x_*} + n\pi;$$

$$\theta = \operatorname{arctg} \frac{\eta_1}{\xi_1} + n\pi = \operatorname{arctg} \frac{r^2 \sin 2\psi}{r^2 \cos 2\psi - b_n^2} + n\pi,$$

$$n = \begin{cases} 0; & \left\{ \begin{array}{l} \xi, \xi_1 > 0; \eta, \eta_1 > 0; \\ \xi, \xi_1 > 0; \eta, \eta_1 < 0; \\ \xi, \xi_1 < 0; \end{array} \right. \\ 2; & \text{при} \\ 1; & \end{cases}$$

Подставляя (6.92) и (6.93) в (6.81) и (6.82), получаем уравнения линий влияния $K_{I, II}^0$ в виде:

$$K_I^0(y_*) = \frac{1}{\sqrt{\pi l}} \int_{-l}^l \{ \operatorname{Re} Z_I(x, y_*) + (x \sin \alpha + y_*) [\operatorname{Im} Z_I'(x, y_*) \cos 2\alpha + \operatorname{Re} Z_I'(x, y_*) \sin 2\alpha] \} \sqrt{\frac{l \pm x}{l \mp x}} dx, \quad (6.94)$$

$$K_{II}^0(y_*) = \frac{1}{\sqrt{\pi l}} \int_{-l}^l \{ (x \sin \alpha + y_*) [\operatorname{Im} Z_I'(x, y_*) + \operatorname{Re} Z_I'(x, y_*) \cos 2\alpha] \} \sqrt{\frac{l \pm x}{l \mp x}} dx, \quad (6.95)$$

В результате интегрирования выражений (6.94) и (6.95) получаем $K_{I, II}^0$ как функции переменного параметра y_* , определяющего положение сечения AA с единичным закрытым вырезом по отношению к центру трещины. Следовательно, для получения суммарного значения $K_{I, II}$ в рассматриваемой вершине трещины необходимо произвести интегрирование $K_{I, II}^0(y_*)$ по y_* в пределах длины шва, т. е. является справедливым выражение

$$K_{I, II} = \lim_{\Delta \rightarrow 0} \frac{1}{\Delta} \int_{L_1}^{2L-L_1} K_{I, II}^0(y_*) dy_*, \quad (6.96)$$

где Δ — расстояние между единичными элементарными закрытыми вырезами. Действительные и мнимые части функций Z_I и Z_I' зависят от нагрузки σ_* , закрывающей берега единичного элементарного выреза. Нагрузка σ_* и расстояние Δ между отдельными вырезами взаимосвязаны. Чем меньше Δ , тем меньше σ_* . При $\Delta \rightarrow 0$ имеем $\sigma_* \rightarrow 0$. Выражение (6.96) предполагает необходимость определения коэффициента

$$A = \lim_{\Delta \rightarrow 0} \frac{\sigma_*(\Delta)}{\Delta}. \quad (6.97)$$

Коэффициент A был определен в гл. 3 при расчете остаточных напряжений. Там было установлено, что

$$A = -k\sigma_T/4b_n. \quad (6.98)$$

Таким образом, представление (6.96) с учетом (6.94), (6.95) и (6.96) распадается на два следующих выражения:

$$K_I = -\frac{k\sigma_T}{4b_n\sigma_*\sqrt{\pi l}} \int_{L_1}^{2L-L_1} \int_{-l}^l \{ \operatorname{Re} Z_I(x, y_*) + (x \sin \alpha + y_*) \times \\ \times [\operatorname{Im} Z_I'(x, y_*) \cos 2\alpha + \operatorname{Re} Z_I'(x, y_*) \sin 2\alpha] \} \sqrt{\frac{l \pm x}{l \mp x}} dx dy_*. \quad (6.99)$$

$$K_{II} = - \frac{k\sigma_\tau}{4b_n\sigma_n \sqrt{\pi l}} \int_{L_1}^{2L-L_1} \int_{-l}^l \{ (x \sin \alpha + y_\tau) [\operatorname{Im} Z_I(x, y_*) + \\ + \operatorname{Re} Z_I'(x, y_*) \cos 2\alpha] \} \sqrt{\frac{l \pm x}{l \mp x}} dx dy_*. \quad (6.100)$$

Зависимости (6.99), (6.100) можно представить в безразмерном виде, если ввести следующие обозначения: $\lambda = x/l$, $\varphi_* = l/b_n$, $\varphi = y/l$, $\chi = y_*/b_n$, $t = x_*/b_n$, $\gamma_1 = L_1/b_n$. Тогда окончательно

$$\frac{K_I}{k\sigma_\tau} \sqrt{\frac{\pi}{b_n\varphi_*}} = \frac{K_I}{k\sigma_\tau} \sqrt{\frac{\pi}{l\varphi}} = \frac{1}{4} \int_{-\gamma_1}^{2\gamma-\gamma_1} \int_{-1}^1 \{ \operatorname{Re} Z_I(\lambda, \chi, \varphi_*, t) + \\ + (\lambda\varphi_* \sin \alpha + \chi) [\operatorname{Im} Z_I'(\lambda, \chi, \varphi_*, t) \cos 2\alpha + \\ + \operatorname{Re} Z_I'(\lambda, \chi, \varphi_*, t) \sin 2\alpha] \} \sqrt{\frac{1 \pm \lambda}{1 \mp \lambda}} d\lambda d\chi; \quad (6.101)$$

$$\frac{K_{II}}{k\sigma_\tau} \sqrt{\frac{\pi}{b_n\varphi_*}} = \frac{K_{II}}{k\sigma_\tau} \sqrt{\frac{\pi}{l\varphi}} = \frac{1}{4} \int_{\gamma_1}^{2\gamma-\gamma_1} \int_{-1}^1 \{ (\lambda\varphi_* \sin \alpha + \chi) \times \\ \times [\operatorname{Re} Z_I(\lambda, \chi, \varphi_*, t) + \operatorname{Re} Z_I'(\lambda, \chi, \varphi_*, t) \cos 2\alpha] \} \sqrt{\frac{1 \pm \lambda}{1 \mp \lambda}} d\lambda d\chi, \quad (6.102)$$

где

$$\operatorname{Re} Z_I(\lambda, \chi, \varphi_*, t) = \frac{t}{\sqrt{R}} \cos \left(\psi - \frac{\theta}{2} \right) - 1;$$

$$\operatorname{Re} Z_I'(\lambda, \chi, \varphi_*, t) = - \frac{1}{R\sqrt{R}} \cos \frac{3\theta}{2};$$

$$\operatorname{Im} Z_I'(\lambda, \chi, \varphi_*, t) = \frac{1}{R\sqrt{R}} \sin \frac{3\theta}{2};$$

$$r = \sqrt{(\lambda\varphi_* \cos \alpha + t)^2 + (\lambda\varphi_* \sin \alpha + \chi)^2};$$

$$R = \sqrt{(r^2 \cos 2\psi - 1)^2 + r^4 \sin^2 2\psi};$$

$$\psi = \operatorname{arctg} \frac{\eta}{\xi} + n\pi = \operatorname{arctg} \frac{\lambda\varphi_* \sin \alpha + \chi}{\lambda\varphi_* \cos \alpha + t} + n\pi;$$

$$\theta = \operatorname{arctg} \frac{\eta_1}{\xi_1} + n\pi = \operatorname{arctg} \frac{r^2 \sin 2\psi}{r^2 \cos 2\psi - 1} + n\pi,$$

$$n = \begin{cases} 0; \\ 2; \\ 1; \end{cases} \text{ при } \begin{cases} \xi, \xi_1 \geq 0; & \eta, \eta_1 \geq 0; \\ \xi, \xi_1 \geq 0; & \eta, \eta_1 < 0; \\ \xi, \xi_1 < 0; \end{cases}$$

Если центр трещины расположен ниже или выше шва на расстоянии L_1 от его начала или конца, то вычисление интеграла по длине шва в (6.101) и (6.102) необходимо осуществлять соответственно в пределах от γ_1 до $(2\gamma + \gamma_1)$ или от $-(2\gamma + \gamma_1)$ до $-\gamma_1$.

Аналогичный подход можно использовать и для расчета коэффициентов интенсивности напряжений для произвольной прямолинейной трещины в бесконечной плоскости с круговым швом от действия окружающей остаточной пластической деформации укорочения.

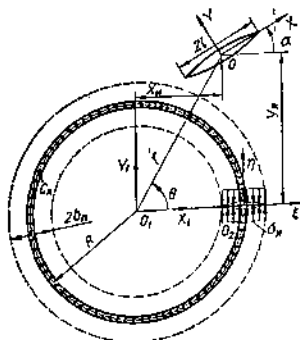


Рис. 6.10. Расчетная схема и определение коэффициентов интенсивности напряжений для произвольной трещины в плоскости с круговым швом

деформаций определяет напряженное состояние в соединении от рассматриваемой остаточной пластической деформации и, следовательно, для $K'_{I, II}$ справедливо выражение

$$K'_{I, II} = \lim_{\Delta_r \rightarrow 0} \frac{1}{\Delta_r} \int_0^{2\pi} K'_{I, II}(\theta) r d\theta, \quad (6.103)$$

где Δ_r — расстояние по дуге окружности радиуса r между закрытыми единичными вырезами, определяемое согласно (3.27). Здесь

$$A = \lim_{\Delta_r \rightarrow 0} \frac{1}{\Delta_r} = -\frac{k\sigma_r R}{4b_n r \sigma_n}. \quad (6.104)$$

Функции влияния $K'_{I, II}(\theta)$ определяются зависимостями

$$K'_I(\theta) = \frac{1}{\sqrt{\pi l}} \int_{-l}^l \sigma_v^0(x, \theta) \sqrt{\frac{l \pm x}{l \mp x}} dx; \quad (6.105)$$

$$K'_{II}(\theta) = \frac{1}{\sqrt{\pi l}} \int_{-l}^l \tau_{xy}^0(x, \theta) \sqrt{\frac{l \pm x}{l \mp x}} dx. \quad (6.106)$$

Напряжения на линии трещины при ее отсутствии в локальной системе координат XOY , связанной с центром трещины (рис. 6.10), будем искать на основании зависимостей (6.83)...(6.85) для тех же напряжений в системе $\xi O\eta$, формул преобразования координат (6.87) и выражений (6.88), (6.89) для напряжений на наклонной площадке. После преобразований получим:

Пусть трещина в сварном соединении и единичный элементарный закрытый вырез расположены так, как показано на рис. 6.10. При этом в вершинах трещины возникают какие-то значения $K'_{I, II}$, определяемые нормальными $\sigma_v^0(x)$ и касательными $\tau_{xy}^0(x)$ напряжениями на линии трещины в предположении ее отсутствия. Вращением по окружности радиального сечения с единичным закрытым вырезом можно описать линию влияния $K'_{I, II}$ как функцию угла θ для рассматриваемой вершины трещины. Совокупность бесконечно большого числа близко расположенных единичных закрытых вырезов в кольце зоны пластических

$$K_1^0(0) = \frac{1}{V n l} \int_{-l}^l \{ \operatorname{Re} Z_1(x, \theta) + (x \sin \alpha + r \sin \theta) [\operatorname{Im} Z_1'(x, \theta) \cos 2\alpha + \\ + \operatorname{Re} Z_1'(x, \theta) \sin 2\alpha] \} \sqrt{\frac{l \pm x}{l \mp x}} dx; \quad (6.107)$$

$$K_{11}^0(0) = \frac{1}{V n l} \int_{-l}^l (x \sin \alpha + r \sin \theta) [\operatorname{Im} Z_1'(x, \theta) + \\ + \operatorname{Re} Z_1'(x, \theta) \cos 2\alpha] \sqrt{\frac{l \pm x}{l \mp x}} dx, \quad (6.108)$$

где

$$Z_1(\xi) = \sigma_* \left(\frac{\xi}{V \xi^2 - b_n^2} - 1 \right);$$

$$Z_1'(\xi) = -\sigma_* b_n^2 / V(\xi^2 - b_n^2)^{3/2};$$

$$\operatorname{Re} Z_1(x, \theta) = \sigma_* \left[\frac{\bar{r}}{V \bar{R}} \cos \left(\psi - \frac{\bar{\theta}}{2} \right) - 1 \right];$$

$$\operatorname{Re} Z_1'(x, \theta) = -\frac{\sigma_* b_n^2}{\bar{R} V \bar{R}} \cos \frac{3\bar{\theta}}{2};$$

$$\operatorname{Im} Z_1'(x, \theta) = \frac{\sigma_* b_n^2}{\bar{R} V \bar{R}} \sin \frac{3\bar{\theta}}{2};$$

$$\bar{r} = V \xi^2 + \eta^2 = V (x \cos \alpha + r \cos \theta - R)^2 + (x \sin \alpha + r \sin \theta)^2;$$

$$\bar{R} = V (\bar{r}^2 \cos 2\psi - b_n^2)^2 + \bar{r}^4 \sin^2 2\psi;$$

$$\xi = (x \cos \alpha + r \cos \theta - R) + i(x \sin \alpha + r \sin \theta);$$

$$\psi = \operatorname{arctg} \frac{\eta}{\xi} + n\pi = \operatorname{arctg} \frac{x \sin \alpha + r \sin \theta}{x \cos \alpha + r \cos \theta - R} + n\pi;$$

$$\bar{\theta} = \operatorname{arctg} \frac{\eta_1}{\xi_1} + n\pi = \operatorname{arctg} \frac{\bar{r}^2 \sin 2\psi}{\bar{r}^2 \cos 2\psi - b_n^2} + n\pi,$$

$$n = \begin{cases} 0; \\ 2; \\ 1; \end{cases} \text{ при } \begin{cases} \xi, \xi_1 \geq 0; & \eta, \eta_1 \geq 0; \\ \xi, \xi_1 \geq 0; & \eta, \eta_1 < 0; \\ \xi, \xi_1 < 0; \end{cases}$$

Подставляя (6.107), (6.108) в (6.103) с учетом (6.104) и вводя безразмерные параметры $m = r/R$, $\bar{\alpha} = b_n/R$, $\lambda = x/l$, $\varphi_* = l/b_n$, окончательно получаем

$$\frac{K_1'}{k_{a1} V \bar{b}_n} = \frac{1}{4\bar{\alpha}} V \frac{\varphi_*}{\pi} \int_0^{2\pi} \int_{-1}^1 [\operatorname{Re} Z_1(\lambda, \theta) + (m \sin \theta + \lambda \varphi_* \bar{\alpha} \sin \alpha) \times \\ \times [\operatorname{Im} Z_1'(\lambda, \theta) \cos 2\alpha + \operatorname{Re} Z_1'(\lambda, \theta) \sin 2\alpha]] \sqrt{\frac{1 \pm \lambda}{1 \mp \lambda}} d\lambda d\theta; \quad (6.109)$$

$$\frac{K'_{II}}{k\alpha_r \sqrt{b_n}} = \frac{1}{4\alpha} \sqrt{\frac{\eta_0}{\pi}} \int_0^{2\pi} \int_{-1}^1 (m \sin \theta + \lambda \varphi_* \bar{\alpha} \sin \alpha) [\operatorname{Im} Z'_I(\lambda, \theta) + \\ + \operatorname{Re} Z'_I(\lambda, \theta) \cos 2\alpha] \sqrt{\frac{1 \pm \lambda}{1 \mp \lambda}} d\lambda d\theta, \quad (6.110)$$

где

$$\operatorname{Re} Z_I(\lambda, \theta) = \frac{\bar{r}}{\sqrt{\bar{R}}} \cos\left(\psi - \frac{\bar{\theta}}{2}\right) - 1;$$

$$\operatorname{Re} Z'_I(\lambda, \theta) = -\frac{1}{\bar{R} \sqrt{\bar{R}}} \cos \frac{3\bar{\theta}}{2};$$

$$\operatorname{Im} Z'_I(\lambda, \theta) = \frac{1}{\bar{R} \sqrt{\bar{R}}} \sin \frac{3\bar{\theta}}{2};$$

$$\bar{r} = \sqrt{(\lambda \varphi_* \bar{\alpha} \cos \alpha + m \cos \theta - 1)^2 + (m \sin \theta + \lambda \varphi_* \bar{\alpha} \sin \alpha)^2};$$

$$\bar{R} = \sqrt{(\bar{r}^2 \cos 2\psi - 1)^2 + \bar{r}^4 \sin^2 2\psi};$$

$$\psi = \operatorname{arctg} \frac{\eta}{\xi} + n\pi = \operatorname{arctg} \frac{m \sin \theta + \lambda \varphi_* \bar{\alpha} \sin \alpha}{\lambda \varphi_* \bar{\alpha} \cos \alpha + m \cos \theta - 1} + n\pi;$$

$$\bar{\theta} = \operatorname{arctg} \frac{\eta_1}{\xi_1} + n\pi = \operatorname{arctg} \frac{\bar{r}^2 \sin 2\psi}{\bar{r}^2 \cos 2\psi - 1} + n\pi;$$

$$n = \begin{cases} 0; \\ 2; \\ 1; \end{cases} \text{ при } \begin{cases} \xi, \xi_1 \geq 0; & \eta, \eta_1 \geq 0; \\ \xi, \xi_1 \geq 0; & \eta, \eta_1 < 0; \\ \xi, \xi_1 < 0; \end{cases}$$

Вклад в $K_{I,II}$ остаточной поперечной (радиальной) пластической деформации также должен быть учтен при выполнении круговых штов. Для этого необходимо использовать зависимости (3.40)...(3.42), заменить в них r по формуле

$$r = x_1 / \cos [\operatorname{arctg} (y_1/x_1) + n\pi], \quad (6.111)$$

где

$$n = \begin{cases} 0; \\ 2; \\ 1; \end{cases} \text{ при } \begin{cases} x_1 \geq 0; & y_1 \geq 0; \\ x_1 \geq 0; & y_1 < 0; \\ x_1 < 0; \end{cases}$$

перейти к напряжениям $\sigma_{x_1}, \tau_{x_1 y_1}$ на линии трещины в системе координат $X_1 O_1 Y_1$ по формулам

$$\sigma_{x_1} = \sigma_\theta \sin^2 (\theta - \alpha) + \sigma_r \cos^2 (\theta - \alpha); \quad (6.112)$$

$$\tau_{x_1 y_1} = \frac{1}{2} (\sigma_r - \sigma_\theta) \sin (2\theta - 2\alpha), \quad (6.113)$$

заменить в формулах (6.112), (6.113) координаты x_1 и y_1 по формулам

$$\begin{aligned} x_1 &= x \cos \alpha + x_*; \\ y_1 &= x \sin \alpha + y_*, \end{aligned} \quad (6.114)$$

перейти к безразмерным параметрам m , λ , φ_* , \bar{a} и выразить через них в окончательном виде напряжения на линии трещины σ_{xx} и τ_{xy} (λ). Далее по формулам

$$\frac{K_{II}^*}{\epsilon \sigma_y \sqrt{b_n}} = \sqrt{\frac{\varphi_*}{\pi}} \int_{-1}^1 \sigma_y(\lambda) \sqrt{\frac{1-\lambda}{1+\lambda}} d\lambda; \quad (6.115)$$

$$\frac{K_{II}^I}{\epsilon \sigma_y \sqrt{b_n}} = \sqrt{\frac{\varphi_*}{\pi}} \int_{-1}^1 \tau_y(\lambda) \sqrt{\frac{1-\lambda}{1+\lambda}} d\lambda \quad (6.116)$$

вычислить K_{II}^I от радиальной остаточной пластической деформации. Суммирование соответствующих значений K_{II}^I , вычисленных по формулам (6.109), (6.110) и (6.115), (6.116) определяет их полную величину для произвольной прямолинейной трещины в данном сварном соединении.

Разработанный расчетный метод аналогично можно применить для получения расчетных зависимостей и к другим соединениям в плоскости, если возможно использование модели бесконечной плоскости.

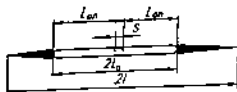
6.5. РАСЧЕТНЫЙ МЕТОД ОПРЕДЕЛЕНИЯ РАСКРЫТИЯ ТРЕЩИНЫ В ЕЕ ВЕРШИНЕ

Применение δ_n -модели хрупкой трещины Леонова—Павласюка — Дагдейла позволяет перевести рассматриваемую упругопластическую задачу в чисто упругую, что открывает более широкие пути для поиска необходимых методов ее решения.

Образующиеся в вершинах реальной трещины длиной $2l_0$ пластические зоны устраняют в вершинах эффективной трещины длиной $2l$ сингулярность напряжений, обеспечивают их конечность и плавное смыкание противоположных берегов эффективной трещины.

Рассмотрим две основные задачи с произвольной прямолинейной трещиной, которые рассматривались в § 6.4 применительно к сварным соединениям с прямолинейным и круговым швом в бесконечной плоскости.

Предположим, что напряжения σ_y с которыми притягиваются противоположные берега эффективной трещины на длине пластических зон отсутствуют. Тогда в вершинах эффективной трещины в силовом поле остаточных напряжений будут возникать определенные значения коэффициентов интенсивности напряжений K_{I0} и K_{II0} соответственно для левой и правой вершин трещины. Эти коэффициенты можно определить по зависимостям, совпадающим по своей структуре с зависимостями (6.101), а также (6.109) и (6.115) совместно, в которых необходимо изменить параметры интегрирования в связи с тем, что в общем случае пластические зоны у вершин реальной трещины имеют различную длину и это приводит к смещению на некоторую величину центра эффективной трещины из центра реальной трещины. Величину смещения s можно определять из следующих соображений. Пусть l_{00} и l_{0n} (рис. 6.11) обозначают отрезки реальной трещины соответ-



ственно со стороны левой и правой вершины. Тогда безразмерные параметры $\psi_n = l_{0n}/l$ и $\psi_n = l_{0n}/l$ будут определять длину пластических зон. Можно записать

$$\psi_n + \psi_n = (l_{0n} + l_{0n})/l = 2l_{0n}/l, \quad (6.117)$$

откуда

$$l = 2l_{0n}/(\psi_n + \psi_n). \quad (6.118)$$

Расстояние l_{0n} от центра эффективной трещины до правой вершины реальной трещины

$$l_{0n} = \psi_n l. \quad (6.119)$$

Подставляя (6.118) в (6.119), получаем

$$l_{0n} = 2l_{0n}\psi_n/(\psi_n + \psi_n). \quad (6.120)$$

В соответствии с рис. 6.11

$$s = l_0 - l_{0n} = 0,5l(\psi_n - \psi_n). \quad (6.121)$$

Таким образом, теперь можно произвести необходимую замену безразмерных параметров λ и χ , входящих в зависимости (6.101), (6.109) и (6.115). Параметры λ и χ преобразуются соответственно в параметры $\bar{\lambda}$ и $\bar{\chi}$ согласно зависимостям:

$$\bar{\lambda} = \bar{x}/l = (x - s)(\psi_n + \psi_n)/2l_0 = 0,5(\psi_n(\lambda - 1) + \psi_n(\lambda + 1)); \quad (6.122)$$

$$\begin{aligned} \bar{\chi} = \bar{y}_*/b_n &= (y_* + s \sin \alpha)/b_n = \chi + 0,5\bar{\varphi}_*(\psi_n - \psi_n) = \\ &= \chi + \varphi_*(\psi_n - \psi_n)/(\psi_n + \psi_n). \end{aligned} \quad (6.123)$$

Тогда

$$\lambda = (2\bar{\lambda} + \psi_n - \psi_n)/(\psi_n + \psi_n); \quad (6.124)$$

$$\chi = \bar{\chi}(\psi_n + \psi_n) - \varphi_*(\psi_n - \psi_n). \quad (6.125)$$

Если теперь к свободным от нагрузки берегам эффективной трещины, находящейся в поле остаточных напряжений, приложить на длине пластических зон закрывающую нагрузку, равную по величине σ_t , то она должна обратить в нуль суммарные коэффициенты интенсивности напряжений в вершинах эффективной трещины. Это положение определяет два условия, из которых может быть найдена длина пластических зон. Итак, длина пластических зон должна определяться из следующей системы уравнений:

$$\int_{-l_{0n}}^{l_{0n}} \sigma_{\sigma t}(\bar{x}) \sqrt{\frac{l+x}{l-x}} d\bar{x} - \sigma_t \left(\int_{-l}^{-l_{0n}} \sqrt{\frac{l+\bar{x}}{l-\bar{x}}} d\bar{x} + \int_{l_{0n}}^l \sqrt{\frac{l+\bar{x}}{l-\bar{x}}} d\bar{x} \right) = 0;$$

$$\int_{-\psi_n}^{\psi_n} \sigma_{\psi}^{\text{сст}}(\bar{\lambda}) \sqrt{\frac{1-\bar{\lambda}}{1+\bar{\lambda}}} d\bar{\lambda} - \sigma_{\tau} \left(\int_{-\psi_n}^{\psi_n} \sqrt{\frac{1-\bar{\lambda}}{1+\bar{\lambda}}} d\bar{\lambda} + \int_{\psi_n}^{\pi} \sqrt{\frac{1-\bar{\lambda}}{1+\bar{\lambda}}} d\bar{\lambda} \right) = 0, \quad (6.126)$$

Вторые слагаемые в системе (6.126) решим аналитически, и тогда данную систему в безразмерных параметрах запишем в виде:

$$\int_{-\psi_n}^{\psi_n} \sigma_{\psi}^{\text{сст}}(\bar{\lambda}) \sqrt{\frac{1+\bar{\lambda}}{1-\bar{\lambda}}} d\bar{\lambda} - \sigma_{\tau} \{ \sqrt{1-\psi_n^2} - \sqrt{1-\psi_n^2} + \pi - \arcsin \psi_n - \arcsin \psi_n \} = 0; \quad (6.127)$$

$$\int_{-\psi_n}^{\psi_n} \sigma_{\psi}^{\text{сст}}(\bar{\lambda}) \sqrt{\frac{1-\bar{\lambda}}{1+\bar{\lambda}}} d\bar{\lambda} - \sigma_{\tau} \{ \sqrt{1-\psi_n^2} - \sqrt{1-\psi_n^2} + \pi - \arcsin \psi_n - \arcsin \psi_n \} = 0,$$

Первые слагаемые в системе (6.127) представляют собой произведения в безразмерном виде коэффициентов интенсивности напряжений, обусловленных остаточными напряжениями, на некоторый постоянный множитель. Поэтому их можно в зависимости от вида сварного соединения (с прямолинейным или круговым швом) представить в соответствии с выражениями (6.111), а также (6.109) и (6.115) совместно в следующем виде:

а) для прямолинейного шва

$$\int_{-\psi_n}^{\psi_n} \int_{-\psi_n}^{\psi_n} F_{np}(\bar{\lambda}, \bar{\lambda}, \varphi_*, t, \alpha) \sqrt{\frac{1+\bar{\lambda}}{1-\bar{\lambda}}} d\bar{\lambda} d\bar{\lambda} - \frac{4}{k} (\sqrt{1-\psi_n^2} - \sqrt{1-\psi_n^2} + \pi - \arcsin \psi_n - \arcsin \psi_n) = 0; \quad (6.128)$$

$$\int_{-\psi_n}^{\psi_n} \int_{-\psi_n}^{\psi_n} F_{np}(\bar{\lambda}, \bar{\lambda}, \varphi_*, t, \alpha) \sqrt{\frac{1-\bar{\lambda}}{1+\bar{\lambda}}} d\bar{\lambda} d\bar{\lambda} - \frac{4}{k} (\sqrt{1-\psi_n^2} - \sqrt{1-\psi_n^2} + \pi - \arcsin \psi_n - \arcsin \psi_n),$$

где

$$F_{np} = \operatorname{Re} Z_1(\bar{\lambda}, \bar{\lambda}, \varphi_*, t, \alpha) + [(2\bar{\lambda} + \psi_n - \psi_n) \varphi_* \sin \alpha / (\psi_n + \psi_n) + \bar{\lambda} - \varphi_* (\psi_n - \psi_n) / (\psi_n + \psi_n)] [\operatorname{Im} Z_1(\bar{\lambda}, \bar{\lambda}, \varphi_*, t, \alpha) \cos 2\alpha + \operatorname{Re} Z_1'(\bar{\lambda}, \bar{\lambda}, \varphi_*, t, \alpha) \sin 2\alpha]; \quad (6.129)$$

$$\operatorname{Re} Z_1(\bar{\lambda}, \bar{\lambda}, \varphi_*, t, \alpha) = \frac{1}{\sqrt{R}} \cos \left(\psi - \frac{\theta}{2} \right) - 1;$$

$$\operatorname{Re} Z_1'(\bar{\lambda}, \bar{\lambda}, \varphi_*, t, \alpha) = -\frac{1}{R \sqrt{R}} \cos \frac{3\theta}{2};$$

$$\operatorname{Im} Z_1'(\tilde{\lambda}, \tilde{\lambda}, \varphi_0, t, \alpha) = \frac{1}{R\sqrt{R}} \sin \frac{3\theta}{2};$$

$$r = \sqrt{[(2\tilde{\lambda} + \psi_n - \psi_n) \varphi_0 \cos \alpha / (\psi_n + \psi_n) + t]^2 + \\ + [(2\tilde{\lambda} + \psi_n - \psi_n) \varphi_0 \sin \alpha / (\psi_n + \psi_n) + \tilde{\lambda} - \varphi_0 (\psi_n - \psi_n) / (\psi_n + \psi_n)]^2};$$

$$R = \sqrt{(r^2 \cos 2\psi - 1)^2 + r^4 \sin^2 2\psi};$$

$$\psi = \operatorname{arctg} \eta / \xi + n\pi =$$

$$= \operatorname{arctg} \frac{(2\tilde{\lambda} + \psi_n - \psi_n) \varphi_0 \sin \alpha + \tilde{\lambda} (\psi_n + \psi_n) - \varphi_0 (\psi_n - \psi_n)}{(2\tilde{\lambda} + \psi_n - \psi_n) \varphi_0 \cos \alpha + t (\psi_n + \psi_n)} + n\pi;$$

$$\theta = \operatorname{arctg} \frac{\eta_1}{\xi_1} + m\pi = \operatorname{arctg} \frac{r^2 \sin 2\psi}{r^2 \cos 2\psi - 1} + m\pi;$$

$$n = \begin{cases} 0; \\ 2; \\ 1; \end{cases} \text{ при } \begin{cases} \xi, \xi_1 \geq 0; \eta, \eta_1 \geq 0; \\ \xi, \xi_1 \geq 0; \eta_1, \eta_1 < 0; \\ \xi, \xi_1 < 0; \end{cases}$$

б) для кругового шва

$$\frac{1}{\alpha} \int_0^{2\pi} \int_{-\varphi_n}^{\varphi_n} F_{\kappa\varphi}(\tilde{\lambda}, \theta) \sqrt{\frac{1+\tilde{\lambda}}{1-\tilde{\lambda}}} d\tilde{\lambda} d\theta + 4 \int_{-\varphi_n}^{\varphi_n} \sigma_\nu(\tilde{\lambda}) \sqrt{\frac{1+\tilde{\lambda}}{1-\tilde{\lambda}}} d\tilde{\lambda} - \\ - \frac{4}{k} (V\sqrt{1-\varphi_n^2} - V\sqrt{1-\psi_n^2} + \pi - \arcsin \varphi_n - \arcsin \psi_n) = 0; \\ \frac{1}{\alpha} \int_0^{2\pi} \int_{-\varphi_n}^{\varphi_n} F_{\kappa\varphi}(\tilde{\lambda}, \theta) \sqrt{\frac{1-\tilde{\lambda}}{1+\tilde{\lambda}}} d\tilde{\lambda} d\theta + 4 \int_{-\varphi_n}^{\varphi_n} \sigma_\nu(\tilde{\lambda}) \sqrt{\frac{1-\tilde{\lambda}}{1+\tilde{\lambda}}} d\tilde{\lambda} - \\ - \frac{4}{k} (V\sqrt{1-\varphi_n^2} - V\sqrt{1-\psi_n^2} + \pi - \arcsin \varphi_n - \arcsin \psi_n) = 0, \quad (8.130)$$

где

$$F_{\kappa\varphi}(\tilde{\lambda}, \theta) = \operatorname{Re} Z_1(\tilde{\lambda}, \theta, m, \alpha) + [m \sin \theta + \\ + (2\tilde{\lambda} + \psi_n - \psi_n) \varphi_0 \alpha \sin \alpha / (\psi_n + \psi_n)] [\operatorname{Im} Z_1'(\tilde{\lambda}, \theta, m, \alpha) \cos 2\alpha + \\ + \operatorname{Re} Z_1'(\tilde{\lambda}, \theta, m, \alpha) \sin 2\alpha]; \quad (8.131)$$

$$\operatorname{Re} Z_1(\tilde{\lambda}, \theta, m, \alpha) = -\frac{1}{R\sqrt{R}} \cos \frac{3\theta}{2};$$

$$\operatorname{Im} Z_1'(\tilde{\lambda}, \theta, m, \alpha) = \frac{1}{R\sqrt{R}} \sin \frac{3\theta}{2};$$

$$\bar{r} = \sqrt{[(2\tilde{\lambda} + \psi_n - \psi_n) \varphi_0 \alpha \cos \alpha / (\psi_n + \psi_n) + m \cos \theta - 1]^2 + \\ + [m \sin \theta + (2\tilde{\lambda} + \psi_n - \psi_n) \varphi_0 \alpha \sin \alpha / (\psi_n + \psi_n)]^2};$$

$$\bar{R} = \sqrt{(\bar{r}^2 \cos 2\psi - 1)^2 + \bar{r}^4 \sin^2 2\psi};$$

$$\psi = \arctg \eta / \xi + n\pi =$$

$$= \arctg \frac{(2\bar{\lambda} + \psi_n - \psi_0) \varphi_* \bar{\alpha} \sin \alpha + m \sin \theta (\psi_n + \psi_0)}{(2\bar{\lambda} + \psi_n - \psi_0) \varphi_* \bar{\alpha} \cos \alpha + (m \cos \theta - 1) (\psi_n + \psi_0)} + n\pi;$$

$$\bar{\theta} = \arctg \frac{r}{\xi_1} + n\pi = \arctg \frac{\bar{r}^2 \sin 2\psi}{r^2 \cos 2\psi - 1} + n\pi;$$

$$n = \begin{cases} 0; \\ 2; \\ 1; \end{cases} \text{ при } \begin{cases} \xi, \xi_1 \geq 0; \eta, \eta_1 \geq 0; \\ \xi, \xi_1 \geq 0; \eta, \eta_1 < 0; \\ \xi, \xi_1 < 0; \end{cases}$$

Если в соединении с прямолинейным швом ограниченной длины центр трещины расположен ниже или выше шва на расстоянии L_1 от его начала или конца, то вычисление интеграла в (6.128) по длине шва необходимо осуществлять соответственно в пределах от γ_1 до $(2\gamma + \gamma_1)$ или от $-(2\gamma + \gamma_1)$ до $-\gamma_1$, где $\gamma_1 = L_1/b_n$. В итоге после решения системы (6.128) или (6.130) получаем два параметра ψ_n и ψ_0 , определяющие длину пластических зон у левой и правой вершин трещины.

В случае симметричных трещин, когда у вершин возникают пластические зоны одинаковой длины, системы (6.128) и (6.130) двух уравнений с двумя неизвестными вырождаются в одно уравнение с одним неизвестным. Например, для поперечных трещин в соединении с прямолинейным швом, которые симметричны относительно оси шва и угол $\alpha = 0$, в системе (6.128) достаточно сохранить одно первое уравнение. Поскольку в этом случае $\psi_n = \psi_0 = \psi_*$, $l = 0$, $\alpha = 0$, то оно существенно упрощается и принимает вид:

$$\int_{-\gamma_1}^{2\gamma + \gamma_1} \int_{-\psi_*}^{\psi_*} F_{np}(\bar{\lambda}, \chi, \varphi_*) \sqrt{\frac{1+\bar{\lambda}}{1-\bar{\lambda}}} d\bar{\lambda} d\chi - \frac{4}{k} (\pi - 2\arcsin \psi_*) = 0, \quad (6.132)$$

где

$$F_{np}(\bar{\lambda}, \chi, \varphi_*) = \operatorname{Re} Z_I(\bar{\lambda}, \chi, \varphi_*) + \chi \operatorname{Im} Z_I(\bar{\lambda}, \chi, \varphi_*); \quad (6.133)$$

$$\operatorname{Re} Z_I(\bar{\lambda}, \chi, \varphi_*) = \frac{r}{\sqrt{R}} \cos\left(\psi - \frac{\theta}{2}\right) - 1;$$

$$\operatorname{Im} Z_I(\bar{\lambda}, \chi, \varphi_*) = \frac{1}{R\sqrt{R}} \sin \frac{3\theta}{2};$$

$$r = \sqrt{(\bar{\lambda}\varphi_*/\psi_*)^2 + \chi^2};$$

$$R = \sqrt{(r^2 \cos 2\psi - 1)^2 + r^4 \sin^2 2\psi};$$

$$\psi = \arctg \frac{\eta}{\xi} + n\pi = \arctg \frac{\chi\varphi_*}{\bar{\lambda}\varphi_*} + n\pi;$$

$$\theta = \arctg \frac{\eta_1}{\xi_1} + n\pi = \arctg \frac{r^2 \sin 2\psi}{r^2 \cos 2\psi - 1} + n\pi;$$

$$n = \begin{cases} 0; \\ 2; \\ 1; \end{cases} \text{ при } \begin{cases} \xi, \xi_1 \geq 0; \eta, \eta_1 \geq 0; \\ \xi, \xi_1 \geq 0; \eta, \eta_1 < 0; \\ \xi, \xi_1 < 0; \end{cases}$$

Система координат XOY связана с центром трещины, ось X направлена вдоль трещины и перпендикулярно к шву, ось Y направлена вдоль шва. Длина реальной трещины равна $2l_0$, а эффективной — $2l$.

Для центральной осесимметричной продольной трещины в эле уравнение имеет вид

$$\int_{-\gamma/2-\psi_0}^{\gamma/2-\psi_0} \int_{\lambda_0}^{\lambda_1} F_{np}(\tilde{\lambda}, \chi, \varphi_0) \sqrt{\frac{1+\tilde{\lambda}}{1-\tilde{\lambda}}} d\tilde{\lambda} d\chi - \frac{4}{\lambda} (\pi - 2 \arcsin \gamma_0) = 0; \quad (6.134)$$

где

$$F_{np}(\tilde{\lambda}, \chi, \varphi_0) = \operatorname{Re} Z_1(\tilde{\lambda}, \chi, \varphi_0) - (\tilde{\lambda}\varphi_0/\psi + \chi) \ln Z_1(\tilde{\lambda}, \chi, \varphi_0); \quad (6.135)$$

$$r_s = (\tilde{\lambda}\varphi_0/\psi_0 + \chi); \quad \psi = \arcsin g \frac{1}{\xi} + \pi = \pm \frac{\pi}{2} + \pi.$$

Знак «+» берется при $r_s > 0$, знак «—» — при $r_s < 0$. Угол $\psi = \pi$ при $r_s = 0$.

Остальные обозначения совпадают с обозначениями, относящимися к уравнению (6.132).

Теперь перейдем к рассмотрению вопроса об определении раскрытия δ реальной трещины длиной $2l_0$ в ее вершинах. Известно, что перемещение v берегов трещины длиной $2l$ при отсутствии пластических зон, когда берега загружены нормальной нагрузкой $q_n(\xi)$, можно найти по формуле

$$v = -c \int_{-l}^l q_n(\xi) \Gamma(l, x, \xi) d\xi. \quad (6.136)$$

где

$$c = \begin{cases} 1/\pi E & \text{— для плоского напряженного состояния;} \\ (1-\nu^2)/\pi E & \text{— для плоского деформированного состояния;} \end{cases}$$

$$\Gamma(l, x, \xi) = \ln \frac{(l^2 - x\xi - \sqrt{(l^2 - x^2)(l^2 - \xi^2)})}{(l^2 - x\xi + \sqrt{(l^2 - x^2)(l^2 - \xi^2)}}. \quad (6.137)$$

Формулу (6.136) можно применить и для эффективной трещины и на ее основе, используя принцип суммирования перемещений берегов реальной трещины от закрываемых единичных вырезов в зоне пластических деформаций при сварке, построить необходимые зависимости, численное решение которых позволит определить раскрытие реальной трещины в ее вершинах в общем случае. Таким образом, для раскрытия в левой δ_n и правой δ_p вершинах можно записать следующие выражения:

а) прямолинейный шов

$$\delta_n = -\frac{cl_0 k \sigma_T}{\psi_n + \psi_0} \left\{ \int_{-\psi_0}^{2\gamma-\psi_0} \int_{-\tilde{\lambda}_n}^{\psi_0} F_{np}(\tilde{\lambda}, \tilde{\chi}, \varphi_0, l, \alpha) \Gamma(l, -\psi_n, \tilde{\lambda}) d\tilde{\lambda} d\tilde{\chi} + \right. \\ \left. + \frac{4}{\lambda} [(\psi_n + \psi_0) \Gamma(l, -\psi_n, \psi_n) + 2\sqrt{1-\psi_n^2} (\arccos \psi_n + \arccos \psi_0)] \right\}; \quad (6.138)$$

$$\begin{aligned} \delta_T = -\frac{d_0 k \sigma_T}{\psi_n + \psi_n} \left\{ \int_{-\psi_n}^{2\gamma-1} \int_{-\psi_n}^{\psi_n} F_{np}(\tilde{\lambda}, \tilde{\gamma}, \varphi_n, l, \alpha) \Gamma(1, \psi_{np}, \tilde{\lambda}) d\tilde{\lambda} d\tilde{\gamma} + \right. \\ \left. + \frac{4}{k} [(\psi_n + \psi_n) \Gamma(1, \psi_n - \psi_n) + 2 \sqrt{1 - \psi_n^2} (\arccos \psi_n + \arccos \psi_n)] \right\}; \end{aligned} \quad (6.139)$$

в выражениях (6.138) и (6.139) функция F_{np} определяется согласно (6.129):

б) круговой шов

$$\begin{aligned} \delta_T = -\frac{d_0 k \sigma_T}{\psi_n + \psi_n} \left\{ \frac{1}{\alpha} \int_0^{2\pi} \int_{-\psi_n}^{\psi_n} F_{np}(\tilde{\lambda}, 0, m, \alpha) \Gamma(1, -\psi_n, \tilde{\lambda}) d\tilde{\lambda} d\theta + \right. \\ \left. + 4 \int_{-\psi_n}^{\psi_n} \sigma_y(\tilde{\lambda}) \Gamma(1, -\psi_n, \tilde{\lambda}) d\tilde{\lambda} + \frac{4}{k} [(\psi_n + \psi_n) \Gamma(1, -\psi_n, \psi_n) + \right. \\ \left. + 2 \sqrt{1 - \psi_n^2} (\arccos \psi_n + \arccos \psi_n)] \right\}; \end{aligned} \quad (6.140)$$

$$\begin{aligned} \delta_n = -\frac{d_0 k \sigma_T}{\psi_n + \psi_n} \left\{ \frac{1}{\alpha} \int_0^{2\pi} \int_{-\psi_n}^{\psi_n} F_{np}(\tilde{\lambda}, \theta, m, \alpha) \Gamma(1, \psi_n, \tilde{\lambda}) d\tilde{\lambda} d\theta + \right. \\ \left. + 4 \int_{-\psi_n}^{\psi_n} \sigma_y(\tilde{\lambda}) \Gamma(1, \psi_n, \tilde{\lambda}) d\tilde{\lambda} + \frac{4}{k} [(\psi_n + \psi_n) \Gamma(1, \psi_n, \psi_n) + \right. \\ \left. + 2 \sqrt{1 - \psi_n^2} (\arccos \psi_n + \arccos \psi_n)] \right\}, \end{aligned} \quad (6.141)$$

В выражениях (6.140) и (6.141) функция F_{np} определяется согласно (6.131), напряжения $\sigma_y(\tilde{\lambda})$ — те же, что и в системе уравнений (6.130). Для симметричных трещин приведенные выше выражения соответствующим образом упрощаются.

Глава 7

УМЕНЬШЕНИЕ СВАРОЧНЫХ НАПРЯЖЕНИЙ В ДЕФОРМАЦИИ

7.1. ПРИНЦИПАЛЬНЫЕ ОСНОВЫ СНИЖЕНИЯ ОСТАТОЧНЫХ ДЕФОРМАЦИЙ И НАПРЯЖЕНИЙ

Анализ образования остаточных сварочных деформаций и напряжений показывает, что существуют следующие факторы, вызывающие напряженно-деформационное состояние сварной конструкции:

а) остаточные продольные пластические деформации укорочения в пластической зоне;

б) равномерная или неравномерная по толщине пластическая деформация укорочения в поперечном направлении;

в) несовпадение центра тяжести поперечного сечения зоны пластических деформаций укорочения с центром тяжести поперечного сечения свариваемых элементов (внешнее приложение P_{Σ});

г) структурные изменения, вызванные сварочным нагревом

Сварочные остаточные деформации и напряжения в конструкциях в большинстве случаев являются недопустимым дефектом, снижающим эксплуатационные показатели конструкции и ухудшающим ее внешний вид. Поэтому при производстве многих сварных конструкций возникает необходимость их снижения до значений, обусловленных техническими условиями на изготовление конструкции. Другими словами, возникает производственная необходимость управлять развитием сварочных деформаций и напряжений, чтобы получить оптимальное их значение. Эту задачу можно решить на основе знаний физической сущности методов и способов снижения деформаций и напряжений.

Рассмотрим возможные пути снижения остаточных деформаций и напряжений в зависимости от факторов, их вызывающих.

Продольные пластические деформации укорочения в пластической зоне. Эти деформации вызывают при сварке стыковых и угловых швов напряженно-деформированное состояние, характеризующееся продольным укорочением свариваемых элементов, их изгибом и образованием продольных и поперечных напряжений.

Снижение указанных деформаций и напряжений может осуществляться на *двух этапах*:

- 1) в процессе выполнения сварного шва, когда формируются пластические деформации укорочения;
- 2) после полного охлаждения сварного соединения, т. е. когда пластические деформации укорочения уже сформировались.

На первом и втором этапах стоит задача изменения в благоприятную сторону площади эпюры остаточных пластических деформаций укорочения для уменьшения величины усадочной силы.

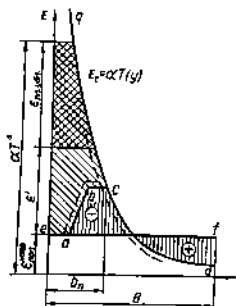


Рис. 7.1. Уменьшение объема остаточных пластических деформаций укорочения

Рассмотрим возможные пути изменения площади эпюры остаточных пластических деформаций укорочения на *первом этапе* (рис. 7.1). Как видно из рисунка, площадь эпюры остаточных пластических деформаций укорочения зависит от значения ϵ' и положения линий qd ($\epsilon_i = dT(y)$, $\epsilon_f(\epsilon_{con})$ и $abc(\epsilon_T(T))$). Имеются следующие

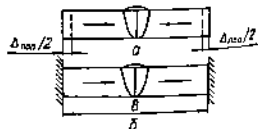


Рис. 7.2. Свободная (а) и несвободная (б) поперечная усадка

путя уменьшения площади элюры остаточных, пластических деформаций укорочения, а именно: 1 — смещение линии qd к осям координат; 2 — смещение линии ef вверх; 3 — смещение линии abc вверх; 4 — увеличение $\Delta_{\text{пол}}$ на стадии охлаждения.

Поскольку линия qd отображает температурное состояние в данном сечении, ее можно сместить при изменении теплового состояния сварного соединения в процессе сварки.

Линия ef характеризует полную деформацию плоского поперечного сечения сварного соединения, и ее смещение вверх при постоянной ширине соединения может быть осуществлено предварительным напряжением свариваемых элементов деформацией удлинения (предполагается, что гипотеза плоских сечений соблюдается).

Положение линии abc для данного материала зависит от значения предела текучести, и ее смещение вверх возможно только при условии его повышения, т. е. если в деформируемом объеме создана силовая обстановка, приближающаяся к гидростатическому давлению.

Увеличение пластического удлинения $\epsilon_{\text{пл.уд.}}$ в процессе охлаждения сварного шва принципиально можно достигнуть либо путем сжатия предела текучести материала, либо путем силового воздействия на зону пластических деформаций с целью создания в ней на этом этапе деформаций удлинения.

На втором этапе снижения сварочных деформаций и напряжений, когда остаточные пластические деформации уже сформировались, уменьшение пластических деформаций может быть достигнуто только созданием в этой зоне пластических деформаций противоположного знака, т. е. удлинения. Создание пластических деформаций удлинения можно достигнуть либо применением внешних сил, либо соответствующим нагревом сварной конструкции.

Равномерная или неравномерная по толщине пластическая деформация укорочения в поперечном направлении. Равномерная пластическая деформация укорочения по толщине в поперечном относительно оси шва направлении происходит в свободном состоянии (рис. 7.2, а) либо в условиях закрепления (рис. 7.2, б). В свободном состоянии изменяются размеры свариваемых листов в поперечном направлении $\Delta_{\text{пол}}$ без образования остаточных напряжений. Величина поперечного укорочения $\Delta_{\text{пол}}$ для данного материала зависит только от параметров режима сварки, а именно, вводимой в свариваемые элементы удельной тепловой мощности дуги $q_0 = q'_{\text{об}}$. Если же можно получить качественное сварное соединение с меньшим значением удельной тепловой мощности q_0 , то можно и снизить эффект поперечной пластической деформации, направленно изменив вводимую удельную тепловую мощность q_0 , т. е. тепловое состояние при сварке. Однако на практике для получения качественного сварного соединения равномерным проплавлением по толщине существует один режим сварки, характеризующийся оптимальным значением q_0 , т. е. существенного изменения поперечного укорочения осуществить практически невозможно.

Поперечная пластическая деформация в условиях закрепления не вызывает изменения размеров свариваемых элементов, но является причиной образования практически равномерно распределенных по длине шва поперечных напряжений растяжения, величина которых

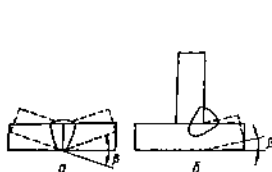


Рис. 7.3. Угловая деформация при сварке стыковых (а) и тавровых (б) соединений

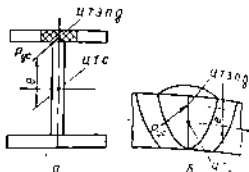


Рис. 7.4. Центрифугальные силы при удлинении сварных швов от центра тяжести (а, б) поперечного сечения соединения (а) и при неравномерной пластической деформации укорочения по толщине свариваемых элементов (б)

зависит от базы закрепления свариваемых элементов. Чем меньше база закрепления, тем больше остаточные поперечные напряжения, которые могут достигать значения σ_T . Значит, можно регулировать величину этих напряжений: на стадии проектирования сварной конструкции назначать оптимальную базу закрепления.

Неравномерная по толщине пластическая деформация в поперечном направлении может быть при неравномерном проплавлении, когда температура металла по толщине свариваемых элементов распределена неравномерно. Такое явление наиболее часто встречается при сварке встык металла средней и большой толщины, а также при выполнении угловых швов. Свободная неравномерная пластическая деформация в поперечном направлении не вызывает образования остаточных напряжений, но приводит к деформации свариваемых элементов из плоскости или угловой деформации (рис. 7.3).

Величина угловой деформации при выполнении стыковых швов зависит от степени неравномерности распределения температур по толщине. Следовательно, величину деформации можно регулировать только при соответствующем изменении теплового состояния свариваемых элементов. При сварке угловым швом величина деформации зависит от степени неравномерности нагрева свариваемых элементов по толщине и от величины катета шва. В этом случае наряду с регулированием теплового состояния металла при сварке необходимо стремиться к минимальным катетам (конечно, не забывая требования обеспечения необходимой прочности сварного соединения).

Неравномерная пластическая деформация в поперечном направлении в условиях закрепления свариваемых элементов приводит к образованию напряжений, распределенных неравномерно по толщине шва, и к местной деформации из плоскости зоны сварного соединения, прилегающего к шву.

Характер распределения напряжений и деформаций, а также их величина зависят главным образом от степени неравномерности нагрева свариваемых элементов по толщине и условий закрепления. Изменяя эти два фактора, можно регулировать развитие напряжений и деформаций для получения оптимального характера их распределения и величины.

Значит, если имеется пластическая деформация укорочения в поперечном направлении, то наиболее целесообразно применять способы снижения остаточных напряжений и деформаций, связанных с созданием оптимального распределения теплоты по толщине свариваемого металла и с применением минимально допустимых катетов угловых швов. База закрепления свариваемых элементов в основном зависит от конструктивных особенностей свариваемых элементов, и поэтому возможности ее изменения ограничены или вообще отсутствуют.

Несопадение центра тяжести зоны пластических деформаций (з.п.д.) укорочения с центром тяжести поперечного сечения свариваемых элементов. Это явление может быть в двух случаях:

- 1) сварные швы удалены от центра тяжести поперечного сечения свариваемых элементов (несимметричное расположение швов);
- 2) пластические деформации распределены по толщине неравномерно (рис. 7.4).

Если сварные швы удалены от центра тяжести поперечного сечения свариваемых элементов, то происходит изгиб свариваемых элементов в одной или двух плоскостях. При этом возникают напряжения (изгибные) и деформации в виде прогиба. Величина напряжений и деформаций зависит от значения изгибающего момента, определяемого по выражению

$$M_{изг} = P_{yc}e,$$

где e — расстояние от центра тяжести поперечного сечения свариваемых элементов до точки приложения P_{yc} .

Следовательно, при оптимальных режимах сварки ($P_{yc} = P_{yc}^{min}$) величина $M_{изг}$ зависит от значения e . Другими словами, чтобы снизить изгибающий момент, необходимо расположить сварные швы как можно ближе к центру тяжести поперечного сечения свариваемых элементов или так, чтобы возникающие изгибающие моменты компенсировали друг друга.

Напряжения и деформации в этом случае можно также снизить приложением после сварки изгибающего момента, направленного в противоположную сторону. Такой момент может быть вызван внешним нагружением или направленным тепловым воздействием.

Если пластические деформации распределены по толщине неравномерно, то происходит продольный изгиб свариваемых элементов с образованием соответствующих напряжений. Поскольку характер распределения пластических деформаций по толщине зависит только от распределения температур по толщине свариваемых элементов, то при изменении соответствующим образом теплового состояния во время сварки можно управлять развитием пластических деформаций по толщине для их равномерного распределения.

Структурные изменения при сварочном нагреве. При сварке материалов, подверженных структурным изменениям, в сварном соединении также возникают остаточные напряжения и могут быть местные и общие деформации свариваемых элементов. Структурные изменения вызываются сварочным нагревом и полностью зависят от его характера. Направленное изменение термического цикла сварки позволяет в некоторых случаях снизить эффект структурных изменений. Однако

основной путь снижения напряжений и деформаций, вызванных структурными изменениями, — послесварочная термическая обработка.

Анализ вышеизложенного показывает, что для снижения сварочных деформаций и напряжений на практике можно применять способы, основой которых являются:

1) направленное изменение при сварке теплового состояния металла сварного соединения;

2) предварительное нагружение свариваемых элементов активными внешними усилиями, создающими в зоне сварного шва упругие деформации удлинения;

3) оптимизация конструктивных решений сварных конструкций и технологий их изготовления;

4) послесварочная обработка сварного соединения внешними силами или тепловым воздействием.

Эти способы в разной степени используются в технологическом процессе изготовления сварной конструкции. Они могут быть разделены на два вида: 1) предупреждающие образование сварочных деформаций и напряжений; 2) устраняющие их.

Дефект устранять всегда труднее, чем его предупреждать, поэтому более рациональным является применение способов, предупреждающих образование деформаций и напряжений. Кроме того, в этом случае упрощается технологический процесс изготовления, так как операция выполнения сварного шва и операция по снижению совмещены по времени и месту. На практике применяют отдельные пути снижения и их комбинации.

7.2. КЛАССИФИКАЦИЯ МЕТОДОВ СНИЖЕНИЯ ОСТАТОЧНЫХ ДЕФОРМАЦИЙ И НАПРЯЖЕНИЙ

По вопросам сварочных деформаций и напряжений имеются различные классификации методов их снижения. Рассмотрим классификацию, основанную на принципиальных возможностях предупреждения или устранения их.

Методы предупреждения. К ним относятся:

1. Регулирование теплового состояния металла сварного соединения при сварке.

2. Активное нагружение свариваемых элементов в процессе сварки.

3. Компенсация деформаций.

Регулирование теплового состояния металла при сварке можно достигнуть интенсивным теплоотводом от зоны шва, а также применением сварки концентрированными источниками нагрева.

Среди наиболее известных способов активного нагружения отметим растяжение деталей в процессе сварки, сопутствующую вибрационную и ультразвуковую обработку.

Компенсация деформаций может быть достигнута рациональным конструированием, применением рациональной последовательности сборки и сварки конструкции, закреплением изделий в процессе сварки в приспособлениях, созданием предварительной деформации конструкции, обратной сварочной.

Методы устранения. К ним относятся:

1. Силовое (механическое) воздействие на сварное соединение внешними силами.
2. Тепловое воздействие на сварное соединение.

Силовое воздействие на сварное соединение может быть осуществлено растяжением сварного соединения, прокаткой роликами зоны шва, вибрационной или взрывной обработкой зоны шва.

Среди способов теплового воздействия наиболее распространены: термообработка, термофиксация и термическая правка сварного соединения.

7.2. СВАРКА КОНЦЕНТРИРОВАННЫМИ ИСТОЧНИКАМИ НАГРЕВА

Концентрированные источники нагрева характеризуются повышенной проплавляющей способностью, что приводит к изменению параметров режима сварки, а именно, к снижению сварочного тока либо к повышению скорости сварки. Другими словами, применение концентрированных источников нагрева позволяет получить качественное сварное соединение на более низких значениях удельной тепловой энергии q_0 . Это означает, что расплавляется меньший объем металла, а при условии сохранения глубины проплавления уменьшается ширина сварного шва.

Рассмотрим, как уменьшение q_0 (ширина шва) влияет на площадь эюры остаточных продольных пластических деформаций укорочения, а также на величину остаточных деформаций и напряжений. Формирование остаточных продольных пластических деформаций укорочения происходит на двух этапах: при нагреве и охлаждении. Уменьшение значения q_0 равносильно смещению линии $\varepsilon_{\text{пл1}}$ в положение $\varepsilon_{\text{пл2}}$ (рис. 7.5) и понижению линии $\varepsilon_{\text{пол}}$, что приводит при нагреве, во-первых, к уменьшению ширины зоны пластических деформаций $b_{\text{п}}$, во-вторых, к увеличению степени пластического укорочения ($b_{\text{п2}} < b_{\text{п1}}$). ($\alpha T_2 - \varepsilon_{\text{пол2}} > \alpha T_1 - \varepsilon_{\text{пол1}}$).

На рис. 7.6 приведены эюры пластических деформаций укорочения при нагреве для сварки широкой (рис. 7.6, а) и узким швом (рис. 7.6, б).

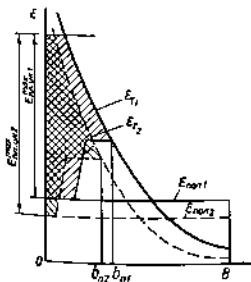


Рис. 7.5. Уменьшение площади эюры пластических деформаций укорочения при сварке концентрированными источниками нагрева

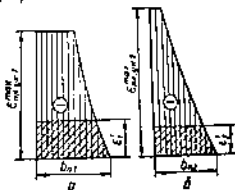


Рис. 7.6. Пластические деформации укорочения при сварке широкой (а) и узким (б) швом

При охлаждении в зоне b_n развиваются упругие деформации удлинения. Поскольку пластическая деформация укорочения на этапе нагрева значительно превышает $\epsilon_r (\epsilon_{пл.ук}^{max} \gg \epsilon_r, \epsilon_{пл.ук}^{max} \gg \epsilon_r)$, возникающая при охлаждении в зонах b_{n1} и b_{n2} упругая деформация удлинения при условии соблюдения гипотезы плоских сечений достигает значения ϵ_r . В остальной части сечения ($B - b_n$) устанавливаются соответствующие упругие деформации укорочения:

$$\epsilon_{p1} = -\frac{\epsilon_r b_{n1}}{B - b_{n1}}; \epsilon_{p2} = -\frac{\epsilon_r b_{n2}}{B - b_{n2}}.$$

Учитывая, что $b_{n2} < b_{n1}$, получим $\epsilon_{p2} < \epsilon_{p1}$, т. е. из уравнения $\epsilon' = \epsilon_r + |\epsilon_p|$ следует, что $\epsilon'_2 < \epsilon'_1$. Следовательно, при сварке более узким швом происходит уменьшение площади эпюры остаточных пластических деформаций укорочения, так как $b_{n2} < b_{n1}$ и $\epsilon'_2 < \epsilon'_1$ (рис. 7.6). При смещении линии ϵ_r к координатным осям уменьшение площади эпюры остаточных пластических деформаций укорочения происходит в основном в результате уменьшения ширины зоны пластических деформаций b_n .

На практике широко применяют следующие способы сварки концентрированным источником нагрева: электронно-лучевой, плазменный, импульсно-дуговой, голым электродом, по слою флюса и др.

В качестве примера снижения остаточных сварочных напряжений и деформаций рассмотрим два способа сварки.

Импульсно-дуговую сварку неплавящимся электродом широко применяют для снижения деформаций и напряжений при сварке малых и средних толщин черных и цветных металлов. При импульсно-дуговой сварке между электродом и свариваемым изделием постоянно поддерживается малоамперная дуга. Регулируя ток, скорость, а также длительность импульса и паузы, можно в широких пределах изменить тепловую мощность дуги, а значит, и размеры шва. Импульсно-дуговая сварка обладает широким диапазоном регулирования теплого воздействия источника тепла на металл. Это связано с более эффективным использованием тепла за период импульса на расплавление свариваемого металла.

Так, при сварке неплавящимся электродом встык пластин из сплава АМг-6 размерами $750 \times 500 \times 6$ мм ширина шва составила 18 мм, а при импульсно-дуговой сварке плавящимся электродом — 10 мм. При этом распределение максимальных температур в поперечном сечении также изменилось (рис. 7.7). Как видно из приведенных данных, применение импульсно-дуговой сварки вызвало смещение линии $T(y)$ к оси ординат, что привело к изменению условий протекания пластических деформаций укорочения. При этом площадь зоны пластических деформаций меньше, чем при сварке неплавящимся электродом, и в основном за счет уменьшения ее ширины (рис. 7.8). Соответственно этим площадям в сварном соединении сформировались остаточные напряжения. На рис. 7.9 приведено распределение продольных остаточных напряжений в среднем сечении сварного соединения.

Поскольку остаточные деформации определяются величиной напряжений сжатия ($\Delta L_{укр} = \sigma_2 L / E$), продольное укорочение сварного

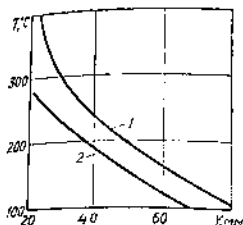


Рис. 7.7. Распределение максимальных температур при аргодуговой (1) и импульсно-дуговой сварке (2) сплава АМг

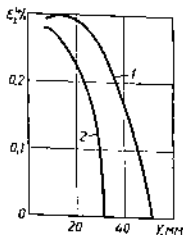


Рис. 7.8. Остаточные пластические деформации укорочения при аргодуговой (1) и импульсно-дуговой сварке (2) сплава АМг

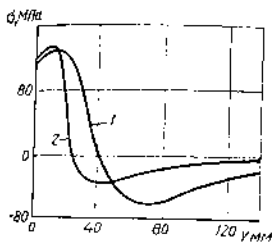


Рис. 7.9. Остаточные продольные напряжения при аргодуговой (1) и импульсно-дуговой (2) сварке сплава АМг

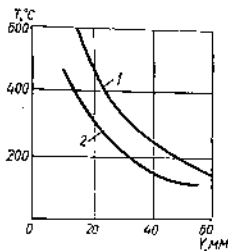


Рис. 7.10. Распределение максимальных температур при сварке сплава ВТ-1-0 без флюса (1) и по флюсу АНТ-25А (2)

соединения также уменьшается (от 1,2 до 0,5 мм). При импульсно-дуговой сварке изменяются объем расплавленного металла и форма проплавления (более равномерное), следовательно, снижается поперечное укорочение (от 1,7 до 0,8 мм) и угловая деформация.

В настоящее время для сварки титановых сплавов применяют способ сварки по слою бескислородного фторидно-хлоридного флюса.

Исследования, проведенные в ИЭС им. Е. О. Патона АН УССР, показали, что при сварке по флюсу образуются галотениды щелочных и щелочно-земельных металлов, которые контрагируют дугу, меняют характер проплавления. При этом происходит более равномерное и глубокое проплавление, что позволяет сваривать при меньших значениях погонной энергии q_0 . Сравнительное исследование деформаций и напряжений при аргодуговой сварке неплавящимся электродом по слою флюса АНТ-25А и без флюса стыковых соединений размерами $300 \times 250 \times 3$ мм из титанового сплава ВТ-1-0 показало эффективность применения сварки по флюсу для снижения деформаций и напряжений.

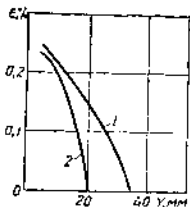


Рис. 7.11. Остаточные пластические деформации укорочения при сварке содами ВТ-1-0 без флюса (1) и по флюсу АНТ-25А (2)

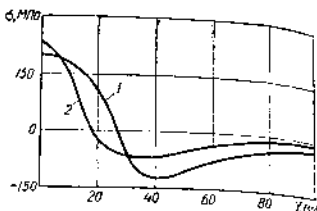


Рис. 7.12. Остаточные продольные напряжения при сварке содами ВТ-1-0 без флюса (1) и по флюсу АНТ-25А (2)

На рис. 7.10 приведено распределение максимальных температур. При снижении погонной энергии линия $T(y)$ сместилась к оси ординат, и ширина шва уменьшилась от 12 до 4 мм. Это привело к изменению площади зоны остаточных пластических деформаций укорочения (рис. 7.11) и, следовательно, к сокращению продольных и поперечных деформаций (рис. 7.12) соответственно от 0,7 до 0,4 мм и от 1,1 до 0,7 мм. Угловая деформация в среднем сечении составила при сварке по флюсу $\beta = 28^\circ$, а без флюса — $\beta = 44^\circ$.

При сварке угловых швов концентрированными источниками нагрева увеличивается глубина проплавления, что способствует более равномерному прогреву по толщине и снижению угловой деформации. При глубоком проплавлении можно выполнять сварку с меньшим значением катета, сохраняя требуемую прочность.

Таким образом, сварку концентрированными источниками тепла можно применять для снижения деформаций и напряжений в сварных соединениях со стыковыми и угловыми швами.

7.4. СВАРКА С ТЕПЛОТВОДОМ

Сварка с теплоотводом — принудительный отвод из зоны сварки теплоты, вводимой в свариваемое изделие источником нагрева (рис. 7.13). Вводимая теплота q при этом распространяется в изделие $q_{\text{изд}}$ и в теплоотвод q_t . Теплоотвод в этом случае представляет собой отрицательный источник теплоты по отношению к положительному источнику сварного нагрева. Взаимодействие этих двух источников приводит к снижению тепловложения и изменению теплового состояния металла свариваемых элементов, которое зависит от мощности теплоотвода и места его расположения относительно источника сварочного нагрева. Снижение тепловложения равнозначно смещению кривой максимальных температур к оси ординат, как и при сварке концентрированными источниками нагрева. Основное отличие состоит в том, что при сварке с теплоотводом кривая максимальных температур характеризуется большими градиентами температур (при усло-

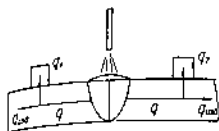


Рис. 7.13. Схема отвода тепла

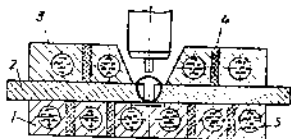


Рис. 7.14. Теплоотвод с регулируемой температурой охлаждающей жидкости

или равенства ширины шва), чем при сварке концентрированным источником.

Следовательно, механизм снижения деформаций и напряжений при сварке с теплоотводом один и тот же, что и при сварке концентрированными источниками нагрева. Поскольку для сварки с теплоотводом характерны большие градиенты температур, значительно снижаются площади эпюры остаточных пластических деформаций укорочения, в основном при более резком изменении ее ширины. При этом чем ближе расположен теплоотвод к линии сплавления и выше его теплоотводящие свойства, тем круче изменяются максимальные температуры и эффективнее снижаются деформации и напряжения.

Эффективность теплоотвода зависит от теплофизических свойств его материала и площади контакта теплоотвода с поверхностью, с которой осуществляется отбор тепла.

При производстве сварных конструкций применяют различные способы теплоотвода.

В качестве примера рассмотрим теплоотводящее устройство на рис. 7.14. Оно состоит из медной подкладки 1 и двух медных прижимов 3, располагаемых как можно ближе к стыку свариваемых листовых элементов 2, но не препятствующих перемещению сварочной головки. В подкладке и прижимах на всю их длину выполнены теплоизолирующие стенки 4 из асбоцемента и каналы 5 для циркуляции охлаждающего агента — тосола*. Для снижения продольных и поперечных деформаций интенсивность отвода тепла из свариваемого изделия в околошовной зоне должна быть выше, чем на периферийных участках изделия. Поэтому тосол, циркулирующий в каналах, охлаждается до различной температуры — при удалении от зоны сварки его температура повышается. Регулируя температуру тосола в каналах, можно управлять температурным состоянием металла свариваемого изделия и, следовательно, способствовать снижению временных и остаточных деформаций. Для уменьшения угловых перемещений сварного соединения по противоположным каналам подкладки и прижимов необходимая циркуляция охлажденного тосола, температура которого в каналах прижимов ниже, чем в подкладке. В результате достигаются более равномерное распределение температур от сварочного нагрева по толщине металла и снижение угловых перемещений.

* Тосол — жидкость, температура замерзания которой равна $-40 \dots -60^\circ\text{C}$

Сварка с предварительным растяжением заключается в том, что в свариваемых элементах создаются напряжения растяжения, которые после выполнения сварного шва снимаются. В процессе выполнения сварного шва эти напряжения влияют на развитие пластических деформаций.

Рассмотрим образование пластических деформаций укорочения (рис. 7.15). Если бы не было предварительного растяжения, то зона пластических деформаций укорочения ограничивалась бы линией $\alpha T(y)$ и ломаной линией abc . После приложения растяжения с напряжением σ_p поперечное сечение свариваемых элементов переместится на величину $\epsilon_{\text{раст}}^{\text{пред}}$ и займет положение $A'B'$. При этом положение кривой $\alpha T(y)$ не изменится (режим сварки тот же), а линии ab и bc переместятся параллельно на величину $\epsilon_{\text{раст}}^{\text{пред}}$ в положение $a'b'$ и $b'c'$, так как свойства металла (σ_s) при приложении растяжения не изменились. При этом ширина зоны пластических деформаций укорочения уменьшилась, в результате чего площадь эпюры остаточных пластических деформаций укорочения также уменьшилась.

Развитие напряжений и деформаций отличается от обычной сварки без растяжения. Рассмотрим это развитие на примерах сварки стык двух пластин.

В первом случае пластины (рис. 7.16, а) перед сваркой нагружались равномерным растяжением, создающим в пластинах различные начальные напряжения σ_1^0 и σ_2^0 , причем $\sigma_1^0 > \sigma_2^0$ (рис. 7.16, б). Пластины в таком состоянии удерживаются жесткими неподвижными закреплениями до полного охлаждения сварного соединения.

В результате сварочного нагрева в соединении произойдут продольные пластические деформации. Площадь поперечного сечения зоны этих деформаций $F_{\text{пл}}$, а соответствующие реактивные площади — F_1 и F_2 .

После полного охлаждения сварного соединения в зоне $F_{\text{пл}}$ напряжения растяжения достигнут значения σ_T , а в остальной части поперечного сечения соединения напряжения будут равны начальному значению σ_1^0 и σ_2^0 из-за постоянства деформаций (рис. 7.16, в).

При освобождении сварного соединения от напряжений в общем случае может быть продольное укорочение и изгиб в плоскости сварного соединения.

Наложим условные закрепления, препятствующие изгибу, и рас-

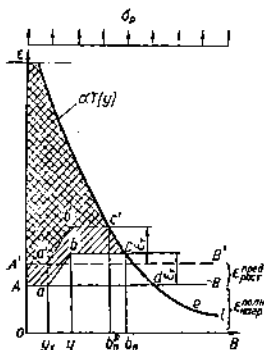


Рис. 7.15. Схема развития пластических деформаций при сварке с предварительным растяжением

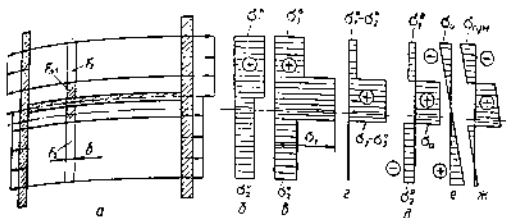


Рис. 7.16. Развитие напряжений при сварке с различными равномерными предварительным распределением элементов

смотрим изменение напряжений в результате разгрузки. Согласно гипотезе плоских сечений, сварное соединение разгрузится от напряжений σ_2^0 . Тогда в зоне $F_{пл}$ будут напряжения $\sigma_1 - \sigma_2^0$, в зоне F_1 — напряжения $\sigma_1^0 - \sigma_2^0$, а в зоне F_2 — нулевое значение напряжений (рис. 7.16, г). Поскольку рассмотренная эпюра напряжений существовать не может, произойдет распределение напряжений и установится равновесие внутренних сил (рис. 7.16, д). Исходя из условия равновесия и гипотезы плоских сечений

$$\begin{aligned}\sigma_1^0 F_1 + \sigma_2 F_{пл} + \sigma_2^0 F_2 &= 0; \\ \sigma_1^0 &= \sigma_1 - \sigma_2^0 + \sigma_2; \\ \sigma_2 &= \sigma_1 - \sigma_2^0 + \sigma_2^0.\end{aligned}\quad (7.1)$$

Откуда получим выражения для напряжений σ_1^0 , σ_2^0 и σ_2 :

$$\sigma_1^0 = \sigma_2 - \sigma_1 + [(\sigma_1^0 - \sigma_2^0) F_2 + (\sigma_1^0 - \sigma_2) F_{пл}] / F; \quad (7.2)$$

$$\sigma_1^0 = [(\sigma_2^0 - \sigma_2) F_2 + (\sigma_1^0 - \sigma_2) F_{пл}] / F; \quad (7.3)$$

$$\sigma_2 = \sigma_1 - \sigma_2^0 + [(\sigma_1^0 - \sigma_2^0) F_2 + (\sigma_1^0 - \sigma_2) F_{пл}] / F. \quad (7.4)$$

После освобождения от условного закрепления, препятствующего изгибу, произойдет изгиб в плоскости сваренных пластин под действием момента

$$M = P_{ус} e,$$

где $P_{ус} = (\sigma_1 - \sigma_2^0) F_{пл} + (\sigma_1^0 - \sigma_2^0) F_1$ — усадочная сила, действие которой на сварное соединение эквивалентно действию напряжений, возникающих в сварном соединении после его освобождения от начальных напряжений (рис. 7.16, г). Усадочная сила $P_{ус}$ приложена в центре тяжести, соответствующей площади эпюры напряжений; e — расстояние от точки приложения $P_{ус}$ до центра тяжести площади поперечного сечения сварного соединения.

Учитывая, что напряжения от изгиба определяются выражением

$$\sigma_x(y) = (M/J) y,$$

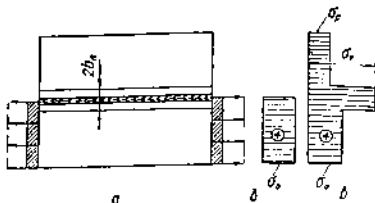


Рис. 7.17. Развитие напряжений при сварке с предварительным растяжением одного элемента

элюра остаточных напряжений (рис. 7.16, ж) будет определяться как сумма напряжений от изгиба (рис. 7.16, в) и напряжений σ_1 , σ_2 и σ_3 (рис. 7.17, б) на соответствующих участках.

Если к предварительно нагруженному элементу приварить элемент, свободный от начальных напряжений (рис. 7.17, а, б), то развитие напряжений будет протекать по следующему механизму. На стадии сварочного нагрева в нагруженной пластине предварительные напряжения релаксируют до нулевого значения. В ненагруженной пластине будут возникать в зоне пластических деформаций $F_{пл}$ напряжения сжатия, равные пределу текучести σ_T , а в реактивной части поперечного сечения F_2 — напряжения растяжения

$$\sigma_p = (\sigma_T F_{пл}) / (F - F_{пл}), \quad (7.5)$$

После полного охлаждения сварного соединения в предварительно нагруженной пластине в зоне $F_{пл}$ будут напряжения растяжения σ_r , а в остальной части поперечного сечения — напряжения растяжения σ_p (рис. 7.17, в). В ненагруженной пластине в зоне $2b_n$ возникнут напряжения растяжения σ_T , а в реактивной части поперечного сечения пластины — напряжения растяжения σ_p (рис. 7.17, в) из-за ее связи с закрепленной пластиной и, как результат, постоянства деформаций. Температурные же деформации реализуются в пластическую деформацию зоны $F_{пл}$.

В рассматриваемом случае перед освобождением от предварительного нагружения в сварном соединении имеется элюра напряжений, аналогичная случаю сварки с различным предварительным растяжением свариваемых элементов.

Анализ напряженно-деформированного состояния в рассматриваемом случае также необходимо приводить по зависимостям (7.2) ... (7.4), принимая в качестве σ_1^0 или σ_2^0 значение σ_p по формуле (7.5).

Сравнение значений остаточных напряжений при сварке с предварительным растяжением со значениями остаточных напряжений в случае сварки без растяжения (гл. 3) показывает, что предварительное растяжение приводит к снижению напряжений в зоне $F_{пл}$ и в остальной части поперечного сечения сварного соединения, а следова-

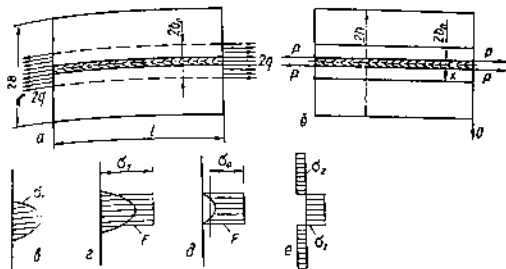


рис. 7.18. Развитие напряжений при сварке с предварительным растяжением в пределах пластической зоны

тельно, и к снижению продольного укорочения свариваемых пластин.

Анализ выражений (7.2) ... (7.4) показывает, что применение предварительного растяжения имеет наибольшую эффективность, если начальное нагружение свариваемых пластин осуществляется равномерным растяжением равными начальными напряжениями $\sigma_1^0 = \sigma_2^0 = \sigma^0$. При этом отсутствует изгиб в плоскости M , и значение остаточных напряжений на основании (7.2) ... (7.4) можно определить по выражениям:

$$\sigma_y = \sigma_y^0 = [(\sigma^0 - \sigma_y) F_{nn}] / F; \quad (7.6)$$

$$\sigma_x = [(\sigma_y - \sigma^0) (F - F_{nn})] / F. \quad (7.7)$$

Согласно выражениям (7.6), (7.7) основное влияние на снижение значения остаточных напряжений оказывает величина начальных напряжений в зоне F_{nn} . Поэтому (например, сварка широких пластин) целесообразно для снижения энергоемкости нагрузочных устройств применять предварительное растяжение в пределах ширины ожидаемой зоны $2b_n$ (рис. 7.18, а).

Во втором случае пластины перед сваркой нагружались только в пределах ширины ожидаемой зоны $2b_n$. Реализация предварительного растяжения в этом случае более рациональна и практически выполнима в большинстве случаев при сварке встык.

Поскольку в реальной сварной конструкции полуширина зоны пластических деформаций b_n значительно меньше полуширины сварного соединения B , представим распределенную нагрузку q эквивалентной сосредоточенной силой P , приложенной вдоль свариваемой кромки (рис. 7.18, б), и оценим возникающие при этом продольные напряжения σ_x . Приложенная сила P вызывает в пластине висячее растяжение, поэтому можно считать, что продольные напряжения σ_x равны сумме напряжений от сосредоточенной силы $P(\sigma_x^1)$ и изгибающего момента $M = PB/2(\sigma_x^2)$. Для определения напряжений σ_x^1 воспользуемся решением задачи Митчела, которая дает распре-

ление напряжений в бесконечном клине под действием сосредоточенной силы, приложенной в вершине клина. Решение задачи Митчелла можно представить зависимостью

$$\sigma_x^p = \frac{4P}{(x^2 + y^2)^2} \frac{(\pi x + 2y)}{(\pi - 4)h} x^2, \quad (7.6)$$

Напряжения σ_x^p от действия изгибающего момента определим по формуле

$$\sigma_x^p = \frac{M(B/2 - y)12}{B^3\delta} = \frac{6P}{B^2\delta}(B/2 - y). \quad (7.7)$$

Тогда перед сваркой в пластинках возникнут продольные растягивающие напряжения (рис. 7.18, в)

$$\sigma_{x(II)} = \frac{4P}{(x^2 + y^2)^2} \frac{(\pi x + 2y)}{(\pi - 4)h} x^2 + \frac{6P}{B^2\delta}(B/2 - y). \quad (7.10)$$

При сварке в зоне $2b_n$ эти напряжения упадут до нулевого значения, а после полного остывания сварного шва они достигнут значения предела текучести (рис. 7.18, г). После освобождения сварного соединения от предварительного нагружения все волокна освободятся от напряжения σ_x , и в зоне $2b_n$ останутся напряжения (рис. 7.18, д), усредненная величина которых

$$\sigma_0 = \frac{\sigma_1 2b_n - 2 \int_0^{b_n} \sigma_x dy}{2b_n}. \quad (7.11)$$

Поскольку такая эюра напряжений существовать не может, напряжения σ_0 перераспределятся в поперечном сечении сварного соединения и установится равновесие внутренних сил (рис. 7.18, е):

$$\sigma_1 2b_n \delta = \sigma_2 (2B - 2b_n) \delta, \quad (7.12)$$

Учитывая, что $\sigma_1 + \sigma_2 = \sigma_0$, получим:

$$\sigma_1 = (\sigma_0 (B - b_n))/B; \quad (7.13)$$

$$\sigma_2 = (\sigma_0 b_n)/B. \quad (7.14)$$

Как видно из (7.13) и (7.14), эффективность снижения напряжений и деформаций зависит от величины предварительных продольных растягивающих напряжений, которые создаются силой P . Следовательно, задаваясь величиной остаточных напряжений (или деформаций), можно по зависимостям (7.10), (7.11), (7.13), (7.14) определять необходимую растягиваемую силу, а также рассчитать силовой узел при проектировании технологической оснастки, обеспечивающей сварку изделий с предварительным растяжением.

В качестве примера определим необходимую растягивающую силу, обеспечивающую снижение остаточных сжимающих напряжений до значения $\sigma_2 = 20$ МПа при сварке встык пластин размером $1000 \times 250 \times 5$ мм из сплава АМг-6 $\sigma_T = 180$ МПа на режиме $I_d = 300$ А, $U_d = 12$ В, $v = 12$ м/ч при условии равномерного растяжения.

Находим полуширину ожидаемой зоны пластических деформаций по зависимостям

$$b_n = b_1 + b_2;$$

$$b_1 = \frac{0,484q}{2\delta_0 \sqrt{T^*}}; \quad b_2 = k_2(h - b_1).$$

Принимаем для сплава АМг-6 $T^* = 350^\circ\text{C}$, к. п. д. нагрева $\eta = 0,5$, тогда

$$b_1 = \frac{0,484 \cdot 300 \cdot 12 \cdot 0,5 \cdot 3600}{1200 \cdot 2,7 \cdot 10^3 \cdot 350} = 2,7 \text{ см.}$$

По графику рис. 2.17, на основании соотношения $k_2\sigma_r = k_2'\sigma_r'$, определяем значение $k_2 = 0,21$; $b_2 = 0,21(25 - 2,7) = 4,6 \text{ см}$; $b_n = 4,6 + 2,7 = 7,3 \text{ см}$.

Далее, исходя из формулы (7.6), находим значение напряжений предварительного растяжения:

$$\sigma_p = \frac{\sigma_r b_n - \sigma B}{b_n} = \frac{180 \cdot 73 - 20 \cdot 250}{73} = 111 \text{ МПа,}$$

что равно силе растяжения

$$P = \sigma_p 2\delta b = 111 \cdot 500 \cdot 5 = 2,7 \cdot 10^5 \text{ Н.}$$

Определяем силу растяжения для сварки этих же пластин, но по схеме предварительного растяжения на ширине ожидаемой зоны пластических деформаций $2b_n$. На основании выражения (7.14)

$$\sigma_0 = (\sigma_r \cdot B)/b_n = (20 \cdot 250)/73 = 68,5 \text{ МПа.}$$

При совместном решении уравнений (7.10), (7.11) и (7.14) получим выражение для силы предварительного растяжения:

$$P = \frac{2\sigma_r b_n - 2\sigma_0 b_n}{2 \left\{ \frac{4}{5(\pi^2 - 4)} \left[\frac{\pi b_n x - 2x^2}{2(x^2 + b_n^2)} + \frac{\pi}{2} \arctg \frac{b_n}{x} + 1 \right] + \frac{3b_n}{5B} \left(1 - \frac{b_n}{B} \right) \right\}}.$$

Определим значение силы, которое вызывает в среднем сечении образца ($x = 500 \text{ мм}$) необходимое напряжение $\sigma_0 = 68,5 \text{ МПа}$:

$$P = \frac{2 \cdot 180 \cdot 72 - 2 \cdot 68,5 \cdot 72}{2 \left\{ \frac{4}{5(3,14^2 - 4)} \left[\frac{3,14 \cdot 72 \cdot 500 - 2 \cdot 500^2}{2(500^2 + 72^2)} + \frac{3,14}{2} \arctg \frac{72}{500} + 1 \right] + \frac{3 \cdot 72}{5 \cdot 250} \left(1 - \frac{72}{250} \right) \right\}} = 4,6 \cdot 10^4 \text{ Н.}$$

На специальном стенде были сварены образцы данных размеров эргономической сваркой неплавящимся электродом с присадкой с предварительным растяжением ($P = 5 \cdot 10^4 \text{ Н}$) и без растяжения. На рис. 7.19 приведены эпюры распределения остаточных продольных напряжений в сечении $x = 500 \text{ мм}$ образцов, сваренных без растя-

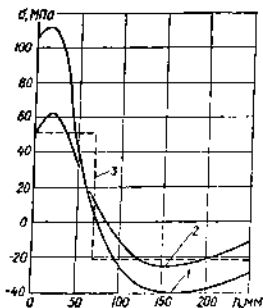


Рис. 7.19. Распределение продольных остаточных напряжений

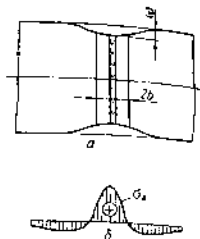


Рис. 7.20. Деформации прогиба (а) и распределение остаточных окружных напряжений (б) при сварке кольцевых швов цилиндрических обечаек

ния (кривая 1) и с растяжением (кривая 2). Расчетные значения напряжений изображает кривая 3. Таким образом, применение предварительного растяжения по второй схеме позволяет достигнуть аналогичных результатов, что и при растяжении по первой схеме, но с меньшими энергозатратами (сила растяжения значительно ниже).

Способ сварки с предварительным растяжением по второй схеме очень часто реализуется на практике при сварке кольцевых швов тонкостенных цилиндрических обечаек при сварке круговыми швами фланцев в оболочки (сферические, конические и др.).

При сварке встык цилиндрических оболочек после сварки наблюдается уменьшение диаметра оболочки в зоне сварного шва. Прогиб (рис. 7.20) зависит от окружных остаточных сварочных напряжений σ_0 , распределенных по ширине зоны $2b_n$, и может быть определен по выражениям (5.45), (5.46) и (5.47), т. е.

$$w = f(\sigma_0). \quad (7.15)$$

Снижением остаточных сварочных напряжений σ_0 в зоне $2b_n$ можно уменьшить прогиб w . Следовательно, используя выражение (7.15) и задаваясь значением остаточного прогиба w , можно определить соответствующее значение остаточных напряжений σ_0 . Чтобы снизить σ_0 до требуемого значения перед сваркой, в зоне $2b_n$ необходимо создать предварительные напряжения растяжения $\sigma_0^{\text{пред}}$, значения которых приближенно можно определить на основании выражения (7.13), принимая в качестве σ_1 величину σ_0 . Тогда

$$\sigma_0^{\text{пред}} = (\sigma_0 B) / (B - b_n). \quad (7.16)$$

где B — длина цилиндрической оболочки.

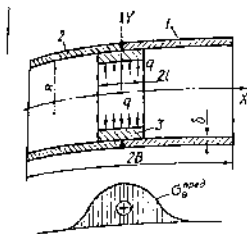
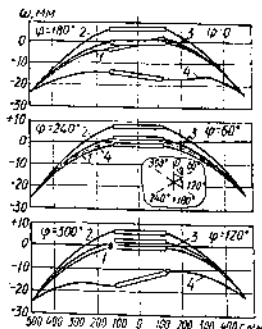


Рис. 7.21. Схема нагружения цилиндрической оболочки при сварке на разжимном кольце

Рис. 7.22. Деформации при сварке фланцев в сферическую оболочку



С другой стороны, как было показано в (7.11),

$$\sigma_0 = \frac{\sigma_\tau 2b_n - 2 \int_0^{b_n} \sigma_0^{\text{пред}} dx}{2b_n}, \quad (7.17)$$

где $\sigma_0^{\text{пред}}$ — предварительные напряжения расстояния.

Для создания напряжений $\sigma_0^{\text{пред}}$ применяются разжимные кольца.

Цилиндрические оболочки 1, 2 (рис. 7.21) перед сваркой собираются на разжимном кольце 3. При разжиме кольца 3 в свариваемых кромках будут возникать окружные (вдоль оси шва) напряжения $\sigma_0^{\text{пред}}$, закон распределения которых описывается выражением при $l \ll R$ [4]:

$$\sigma_0^{\text{пред}} = \frac{q l E}{R b_n^2 D} e^{-\beta x} \cos \beta x, \quad (7.18)$$

где q — интенсивность разжимного усилия, Па; l — полушарная колыва;

$$D = \frac{E \delta^3}{12(1 - \nu^2)}; \quad \beta = \sqrt{\frac{E \delta^3}{4 R^3 D}};$$

δ — толщина оболочки; R — радиус оболочки.

При совместном решении выражений (7.17) и (7.18) получаем

$$q = \frac{(\sigma_\tau 2b_n - 2\sigma_0 b_n) R b_n^2 D}{l E (e^{-\beta b_n} (\sin \beta b_n - \cos \beta b_n) + 1)}. \quad (7.19)$$

При сварке фланцев в сферические, цилиндрические и другие оболочки может быть деформация проседания фланца (рис. 7.22). Известно, что с такой деформацией можно успешно бороться, применяя предварительное растяжение кромки отверстия под фланец. В этом

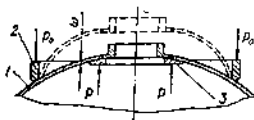


Рис. 7.23. Схема упругого изгиба оболочки

свая оболочка 1 устанавливается между поджимным кольцом 3 и опорным кольцом 2. При включении нагрузочного устройства P_0 кромка отверстия под фланец упруго выгибается и при этом в ней возникают окружные напряжения растяжения. После выполнения сварного шва предварительное нагружение снимается. На рис. 7.22 показано влияние предварительного растяжения кромки отверстия на остаточную деформацию при сварке фланца.

Для реализации упругого выгиба предложены приспособления, схемы которых приведены на рис. 7.24, а, б.

Приспособление (рис. 7.24, а) предназначено для сварки фланцев в отдельные элементы сферической оболочки. Приспособление состоит из портала 9, жестко связанного с опорной плитой 10 опорного кольца 4. Гидропресса 8, к штоку которой крепится подкладное кольцо 5. На подкладное кольцо перед сваркой устанавливается оболочка 1 и фланец 2 так, чтобы оболочка контактировала с опорным кольцом 4. При включении гидропресса 8 происходит перемещение опорного кольца 5, которое вызывает упругий выгиб оболочки в пределах опорного кольца 4. В таком состоянии с помощью сварочной горелки 3 производят сварку. Приспособление (рис. 7.24, б) конструктивно состоит из подкладного кольца 5, свободно связанного со штоком гидропресса 8 посредством звена 6, а также опорного контура 4, связанного с корпусом гидропресса 8 с помощью звена 7. Требуемая величина упругого выгиба оболочки 1 создается с помощью гидропресса 8, звеньев 7 и 6 и опорного кольца 5. Фланец 2, как и в предыдущем

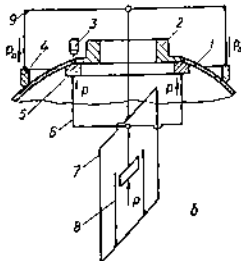
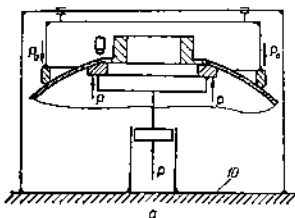


Рис. 7.24. Принципиальные схемы приспособлений для сварки фланцев в сферические оболочки

случае, не деформируется. Данная схема может быть применима при сварке фланцев и цельные сферические элементы.

Во всех случаях сварки с предварительным растяжением одной из основных задач является реализация нагружения. В настоящее время применяется несколько способов нагружения: механическое нагружение и создание градиентного напряжения; предварительное глубокое охлаждение свариваемых элементов и др.

При механическом нагружении сила растяжения прилагается к свариваемым элементам при помощи силового узла. В качестве силового узла могут применяться винтовые или гидравлические прессы.

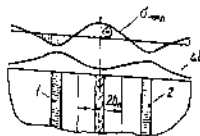


Рис. 7.23. Предварительное растяжение зоны сварки местным нагревом

В ИЭС им. Е. О. Патона разработан способ создания в свариваемых кромках предварительного растяжения при нагреве по определённому закону зоны сварного соединения, прилегающей к зоне сварного шва (рис. 7.23). Металл под нагревателями 1 и 2 в результате нагрева удлиняется и вызывает упругое растяжение зоны сварки. После выполнения сварного шва нагреватели отключаются и срабатывает механизм снижения деформаций и напряжений, описанный выше. Известен также метод глубокого охлаждения свариваемых элементов перед сваркой для создания предварительного растяжения. Наиболее часто он применяется при сварке фланцев в плоские листы или оболочки. Сущность метода заключается в том, что перед сваркой фланец охлаждается до определенной температуры так, чтобы его диаметр стал меньше номинального значения. Затем фланец устанавливается в отверстие обычно без зазора и его температура повышается до нормальной. Увеличение диаметра фланца сопровождается его давлением на кромку отверстия, в результате чего в ней возникают окружные напряжения растяжения, которые уменьшают остаточную окружную пластическую деформацию укорочения. Таким образом снижаются остаточные напряжения.

7.6. КОМПЕНСАЦИЯ ДЕФОРМАЦИЙ ПРИ СВАРКЕ

Компенсация деформаций при сварке — эффективное средство предупреждения деформаций изгиба, возникающих в результате несовпадения центра тяжести поперечного сечения зоны пластических деформаций укорочения с центром тяжести поперечного сечения свариваемых элементов, угловых деформаций и иногда деформаций продольного укорочения.

Компенсация деформаций включает: комплекс конструктивно-технологических мероприятий: рациональное проектирование конструкции; разработку оптимальной последовательности выполнения сварных швов; создание перед сваркой деформаций, обратных по знаку сварочным, и др.

Рациональное проектирование сварной конструкции заключается в разработке такого сочетания отдельных свариваемых узлов и дета-

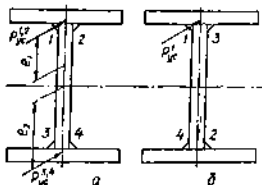


Рис. 7.26. Технологические варианты изготовления сварной двутавровой балки

жений играет последовательность выполнения сварных швов. При разработке оптимальной последовательности прорабатывается несколько вариантов с оценкой ожидаемых деформаций рассчитываемых методов и выбирается последовательность, которая обеспечивает требуемую точность. Влияние последовательности выполнения сварных швов на деформации изгиба рассмотрим на примере изготовления двутавровой сварной балки (рис. 7.26). В варианте, когда сваривается одна пара швов 1, 2, затем другая пара — 3, 4, швы выполняются поочередно или одновременно с обеих сторон (рис. 7.26, а).

При выполнении пары швов 1 и 2 на балку будет действовать усадочная сила $P_{yc}^{1,2}$ и, следовательно, изгибающий момент

$$M_{1,2} = P_{yc}^{1,2} e_1,$$

вызывающий прогиб

$$f_{1,2} = (M_{1,2} l^2) / (8EJ_1), \quad (7.20)$$

где e_1 — расстояние от центра тяжести поперечного сечения тавра до точки приложения; l — длина балки; J_1 — момент инерции таврового сечения, составленного верхней полкой и стенкой.

Нижняя полка присоединена к стенке только прихватками и поэтому она не оказывает практически никакого противодействия изгибу.

Затем сваривается другая пара смежных швов 3 и 4 и, следовательно, в работу включается и нижняя полоса сечения. При этом возникающий момент

$$M_{3,4} = P_{yc}^{3,4} e_2,$$

где e_2 — расстояние от центра тяжести полученного сечения двутавра до точки приложения $P_{yc}^{3,4}$ ($e_2 > e_1$). При условии равенства $P_{yc}^{1,2} = P_{yc}^{3,4}$ (режимы сварки всех швов одни и те же) момент $M_{3,4} > M_{1,2}$.

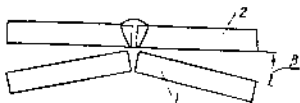
Прогиб от сварки швов 3 и 4

$$f_{3,4} = (M_{3,4} l^2) / (8EJ_2), \quad (7.21)$$

где J_2 — момент инерции поперечного сечения двутавровой балки, направлен в противоположную сторону прогиба $f_{1,2}$.

лей, при котором сварные швы располагаются как можно ближе к центру тяжести сечения либо симметрично относительно центральных осей сечения. В первом случае уменьшается изгибающий момент от усадочной силы P_{yc} . Во втором случае деформация изгиба от сварки первого или частично или полностью компенсируется изгибом из моментом от сварки симметрично расположенного шва.

Большую роль в формировании остаточных деформаций и напря-



Установим соотношение между $f_{1,2}$ и $f_{3,4}$:

$$\frac{f_{1,2}}{f_{3,4}} = \frac{M_{1,2} 8 E J_1 l^2}{M_{3,4} 8 E J_2 l^2} = \frac{P_{yc}^{1,2} e_1 J_2}{P_{yc}^{3,4} e_2 J_1} = \frac{e_1 J_2}{e_2 J_1} \quad (7.22)$$

Величина e_1 для таврового сечения составляет, примерно, одну треть высоты стенки, т. е. $e_1 = 0,33h_{ст}$. Поскольку момент инерции двутаврового сечения J_2 превышает момент инерции таврового сечения J_1 более чем в два раза, примем, что $J_2 = 2J_1$. Тогда, учитывая, что $e_2 = 0,5h_{ст}$, соотношение

$$\frac{f_{1,2}}{f_{3,4}} = \frac{2 \cdot 0,33h_{ст} J_2}{0,5h_{ст} J_1} > 1, \quad (7.23)$$

т. е. при такой последовательности выполнения сварных швов всегда будет остаточный прогиб $f = f_{1,2} - f_{3,4}$ в сторону полки, на которой выполнялась первая пара швов.

При выполнении сварных швов по второму варианту (рис. 7.26, б) остаточный прогиб будет меньше, так как в этом случае только усадочная сила одного первого шва P_{yc}^1 вызывает изгиб таврового сечения, а остальные три изгиб двутаврового сечения и прогибы, вызываемые противоположными швами компенсируют друг друга (в первом варианте усадочная сила двух швов вызывала изгиб таврового сечения, т. е. $P_{yc}^{1,2} > P_{yc}$). Практически при этой последовательности

$$f_{1,3}/f_{2,4} = 1. \quad (7.24)$$

Деформации и напряжения можно успешно компенсировать, создавая перед сваркой деформации, обратные по знаку сварочным. Например, чтобы уменьшить угловую деформацию при сварке встык, перед сваркой элементы собирают не в одной плоскости, а с развалом на угол β в сторону, противоположную ожидаемой деформации (рис. 7.27, положение 1).

После сварки в результате угловой деформации сварное соединение будет плоским (положение 2). Известен способ компенсации продольного укорочения при удлинении свариваемых кромок перед сваркой на величину ожидаемого продольного укорочения. Он состоит в том, что перед сваркой на заданном удалении от кромок с помощью магнитно-импульсной обработки создаются зоны пластического удлинения. Эти зоны способствуют удлинению кромок. После выполнения сварочного шва соединение в зоне сварки укоротится до проектных размеров. Поскольку нет продольного укорочения, то напряжения также отсутствуют.

7.7. ПРИМЕНЕНИЕ ЗАЖИМНЫХ ПРИСПОСОБЛЕНИЙ

При производстве сварных конструкций широко применяют сборно-сварочные приспособления, которые обеспечивают базирование, взаимное расположение деталей, их фиксацию, уменьшение сварочных напряжений и деформаций (временных и остаточных).

Временные деформации снижаются благодаря фиксации деталей. Остаточные деформации и напряжения уменьшаются вследствие увеличения пластических деформаций удлинения, которые развиваются при остывании деталей в жестком приспособлении. Следовательно, уменьшаются остаточные пластические деформации укорочения и снижается усадочная сила.

При сварке без приспособления пластина конечной ширины значительные остаточной пластической деформации укорочения можно определить по выражению

$$\epsilon' = -\frac{\epsilon_T \sqrt{b_n^2 - x^2}}{b_n - (b_n^2 \pi) / 4B}. \quad (7.25)$$

Согласно приведенной зависимости, при сварке пластин конечной ширины значение ϵ'_{\max} ($x=0$) всегда превышает значение ϵ_T (рис. 7.28, а).

При сварке в абсолютно жестком приспособлении пластины конечной ширины с учетом жесткости приспособления расчетную ширину в выражении (7.25) можно считать равной бесконечности. Тогда $\epsilon'_{\max} = \epsilon_T$ (рис. 7.28, б).

На эпюрах остаточных пластических деформаций укорочения построим эпюры остаточных упругих деформаций (напряжений) (рис. 7.28). При этом имеется в виду, что сварное соединение после охлаждения освобождено из приспособления.

Тогда абсолютные значения упругих деформаций определим из условий, что

$$\epsilon'_{\max} = \epsilon_1 + \epsilon_2; \quad \epsilon_1 E 2b_n \delta = \epsilon_2 E (2B - 2b_n) \delta,$$

откуда

$$\epsilon_1 = \epsilon'_{\max} (1 - b_n/B); \quad \epsilon_2 = \epsilon'_{\max} b_n/B. \quad (7.29)$$

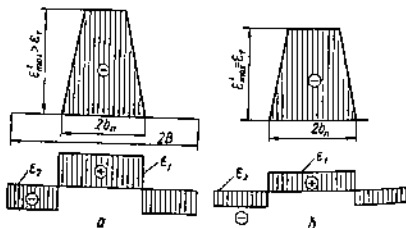


Рис. 7.28. Остаточные пластические деформации укорочения и остаточные упругие деформации при сварке без зажимного приспособления (а) и с приспособлением (б)

Учитывая, что ϵ_{max} в случае сварки в приспособлении меньше, чем при сварке в свободном состоянии, нетрудно заметить, что применение приспособлений снижает остаточные напряжения в пластической зоне $2b_n$ и в остальной части сечения. Одновременно применение приспособлений уменьшает площадь эпюры остаточных пластических деформаций укорочения, а значит, и величину усадочной силы, что приводит к снижению остаточных деформаций (перемещений). Оценим эффективность применения зажимных приспособлений по отношению значений усадочных сил, предположив, что площадь поперечного сечения зоны пластических деформаций остается неизменной:

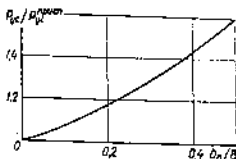


Рис. 7.29. Эффективность применения зажимных приспособлений для снижения деформации

$$\frac{P_{yc}}{P_{yc}^{\text{присп}}} = \frac{2 \cdot \pi \sigma_T \frac{b_n}{4 - (b_n/B) \pi}}{2 \Delta \sigma_T (b_n/4)} = \frac{1}{1 - \frac{(b_n/B) \pi}{4}} \quad (7.27)$$

По выражению (7.27) построим график (рис. 7.29), показывающий эффективность применения зажимных приспособлений. Как видно, для области реальных сварных соединений ($b_n/B = 0,1 \dots 0,3$) даже в случае абсолютно жесткого приспособления снижается усадочная сила на 7...30 %. В реальном производстве усадочную силу можно снизить на 10...15 %.

7.8. СТАТИЧЕСКОЕ НАГРУЖЕНИЕ

Статическое нагружение заключается в приложении после сварки к сварному соединению продольных растягивающих нагрузок для компенсации пластических деформаций укорочения, которые сформировались в процессе сварки. Механизм снижения напряжений (деформаций) проследим на примере растяжения стыкового соединения (рис. 7.30, а). После сварки в сварном стыковом соединении имеется эпюра напряжений (рис. 7.30, б). Приложим внешнее нагружение интенсивностью σ_0 . Поскольку в зоне $2b_n$ металл находится в пластическом состоянии, всю нагрузку σ_0 воспримут только участки шириной $2B - 2b_n$, а в зоне $2b_n$ будет пластическая деформация удлинения. Тогда напряжение на участках $2B - 2b_n$ от внешнего нагружения

$$\sigma_0^* = \frac{\sigma_0 2Bb_n}{(2B - 2b_n)b_n} = \frac{\sigma_0 B}{B - b_n} \quad (7.28)$$

Это напряжение в зоне $2B - 2b_n$ суммируется с напряжениями

$$\sigma_p = -(\sigma_T b_n)/(B - b_n) \quad (7.29)$$

от сварки, а в зоне $2b_n$ напряжения остаются без изменения и равны σ_T (рис. 7.30, в).

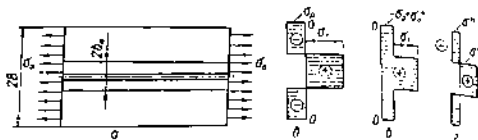


Рис. 7.30. Схематичные напряжения при статическом нагружении

После снятия внешней нагрузки в результате упругой разгрузки напряжения в зоне $2B - 2b_n$ полностью снимутся, а в зоне $2b_n$ будут равны $\sigma_t - \sigma_p - \sigma_s^*$, которые в соответствии с гипотезой плоских сечений перераспределятся до равновесного состояния (рис. 7.30, в). Определим значение напряжения σ' и σ'' из условий:

$$\begin{aligned} \sigma_t - \sigma_p - \sigma_s^* &= \sigma' - \sigma''; \\ \sigma' 2b_n \delta &= \sigma'' (2B - 2b_n) \delta. \end{aligned} \quad (7.30)$$

(7.31)

Тогда, учитывая (7.28) и (7.29), получим:

$$\begin{aligned} \sigma' &= \sigma_t - \sigma_p; \\ \sigma'' &= [(\sigma_t - \sigma_p) b_n] / (B - b_n). \end{aligned} \quad (7.32)$$

(7.33)

Полученные выражения для σ' и σ'' характеризуют эффективность применения статического растяжения после сварки. Как видно, для того чтобы полностью устранить остаточные напряжения и деформации, необходимо сварное соединение нагрузить напряжениями растяжения, равными пределу текучести материала.

Практически статическое нагружение можно реализовать только для ограниченного типа конструкций, например, балочного типа, резервуаров, трубопроводов.

7.9. ПРОКАТКА СВАРНЫХ СОЕДИНЕНИЙ

Сущность способа состоит в том, что зона пластических деформаций укорочения подвергается пластической осадке по толщине. В результате осадки происходит равномерное удлинение металла в продольном направлении и компенсация сварочных деформаций укорочения деформациями удлинения. Осадка металла по толщине может быть осуществлена различными способами. Наиболее эффективным способом является прокатка стальными роликами (рис. 7.31). Эффективность снижения остаточных деформаций

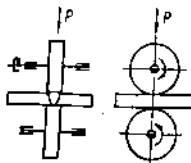


Рис. 7.31. Принципиальные схемы прокатки роликами

и напряжений зависит главным образом от диаметра и ширины роликов, а также от силы прокатки. На рис. 7.32 показаны эпюры напряжений при различных соотношениях между шириной прокатываемых зон и шириной зоны пластических деформаций укорочения $2b_n$.

Из рис. 7.32, а, б, в видно, что напряжения (деформации) наиболее снижаются, если ширина зоны прокатки примерно равна ширине зоны пластических деформаций укорочения.

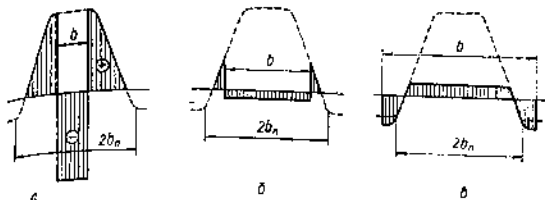


Рис. 7.32. Влияние ширины зоны прокатки на сжимающие остаточные напряжения

Увеличение ширины прокатки может вызвать обратный эффект. Установлено, что для каждого металла и его толщины существует определенное давление на ролики, при котором остаточные напряжения, равные после сварки пределу текучести, снижаются до нуля. Утонение металла по толщине при этом составляет 0,5...1 %. Давление, необходимое для создания этого утонения, зависит от предела текучести металла.

Экспериментальные данные по влиянию диаметра роликов на величину остаточных напряжений показывают, что с увеличением диаметра роликов уменьшается величина пластической деформации утонения, что приводит к снижению эффективности прокатки.

Таким образом, эффективность прокатки зависит от правильного выбора параметров прокатки: диаметра ролика, его ширины, давления в зависимости от толщины металла и его свойств.

В МВТУ им. Баумана разработана методика выбора оптимального режима прокатки для устранения остаточных деформаций и напряжений. Согласно этой методике силу прокатки определяем из условия прокатки всей зоны пластических деформаций по зависимости

$$P = c (\sigma_n - \sigma_k) \sqrt{\frac{6,7 \delta d (\sigma_n - 1,5 \sigma_k + 0,5 \sigma_r)}{E (0,7 \sigma_r + 0,3 \sigma_k)}}, \quad (7.34)$$

где c — ширина рабочего пояса ролика; σ_n и σ_k — соответственно начальное и конечное напряжения в металле до и после прокатки; δ — толщина металла в месте прокатки; d — диаметр роликов.

Если величина остаточных напряжений в зоне шва равна σ_r , а $\sigma_k = 0$, то формула (7.34) значительно упрощается:

$$P = c \sqrt{(10,1 \delta \sigma_r^2) / E}, \quad (7.35)$$

Если имеются параметры режима прокатки для конкретной конструкции, но изменяются условия прокатки, характеристики материала, то для определения новых параметров режима прокатки можно использовать следующие зависимости:

при переходе с диаметра d_1 на диаметр d_2 усилия прокатки относятся как

$$P_1 : P_2 = \sqrt{d_1} / \sqrt{d_2};$$

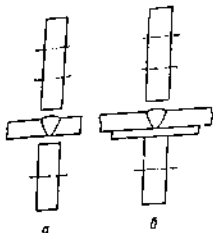


Рис. 7.32. Схема прокатки по шву

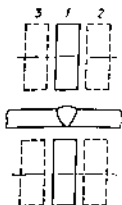


Рис. 7.34. Схема прокатки шва и зоны пластических деформаций



Рис. 7.35. Схема прокатки шва и зоны пластических деформаций

при изменении предела текучести и модуля упругости справедливы зависимости

$$P_1/P_2 = \sqrt{\sigma_{T1}^2/\sigma_{T2}^2}; \quad P_1/P_2 = \sqrt{E_2/E_1},$$

где P_2 — новая сила прокатки.

Определенные по этой методике режимы прокатки должны быть проверены на образцах и, если необходимо, сделана необходимая корректировка.

Принципиально существуют три технологические схемы прокатки для снижения остаточных деформаций и напряжений.

Первая схема предусматривает прокатку только по шву. Она осуществляется прокаткой между двумя роликами (рис. 7.33, а) или прокаткой на подкладке, когда только один ролик передает давление непосредственно на шов, второй же воспринимает давление через подкладку (рис. 7.33, б).

При прокатке только шва эпюра остаточных напряжений имеет вид, приведенный на рис. 7.32, а, т. е. собственные напряжения увеличиваются в пределах узкой зоны и не передают сжимающие усилия на остальную часть сварного соединения.

Вторая схема включает прокатку шва 1 и прокатку зоны пластических деформаций 2, 3 — последовательно шва, а затем зоны или наоборот. Причем, если ширина зоны значительная, а ролик узкий то прокатку осуществляют отдельными проходами (рис. 7.34). Эпюра остаточных напряжений после прокатки по второй схеме показана на рис. 7.32, б. В этом случае деформации и напряжения практически устраняются полностью.

Третья схема предусматривает прокатку только зоны пластических деформаций 1, 2 (исключая шов, рис. 7.35). Этот технологический процесс применяется в тех случаях, когда дополнительная пластическая деформация металла шва может снизить пластичность, коррозионную стойкость и др. При этом резко снижается ширина зоны растягивающих напряжений, а значит, и величина деформации.

Если прокатка не дала ожидаемого результата, то требуется повторная прокатка. Однако повторная прокатка по одному и тому же месту при постоянной силе вызывает затухающую пластическую деформацию. Это означает, что для получения эффекта от повторной прокатки необходимо повысить давление на роликах.

7.10. ВИБРАЦИОННАЯ ОБРАБОТКА

В последнее время для снятия остаточных сварочных напряжений широко применяют вибрационную обработку сварных конструкций. Сущность способа заключается в создании после сварки в сварной конструкции переменных напряжений определенной величины с помощью механических вибраторов.

Вибрирование производят на резонансных или близких к резонансным частотах определенное время.

Наложение вибрационных напряжений приводит к изменению напряженного состояния в конструкции, а именно: переменные напряжения суммируются со сварочными. Если сочетание сварочных напряжений с вибрационными таково, что их сумма превышает σ_s , то имеет место пластическая деформация. В случае, когда суммируются напряжения растяжения, в сварном соединении происходит пластическая деформация удлинения. Поскольку в сварном соединении напряжения растяжения действуют в зоне пластической деформации укорочения, суммирование приводит к компенсации остаточных пластических деформаций укорочения и к снижению остаточных сварочных напряжений. Таким образом, основное условие снижения остаточных сварочных напряжений — сумма сварочных и вибрационных напряжений в зоне пластических деформаций укорочения должна превышать значение предела текучести материала.

Механизм снижения остаточных напряжений в зоне $2b_n$ рассмотрим, используя схему на рис. 7.36. После сварки в сварном соединении будут остаточные пластические деформации укорочения, равные ϵ' . Соответственно этим деформациям в сварном соединении возникнут упругие деформации в зоне $2b_n(\epsilon_1)$ и в реактивной части соединения ϵ_p , т. е.

$$\epsilon' = \epsilon_1 + \epsilon_p. \quad (7.36)$$

Значение ϵ_1 может быть равным ϵ_T или меньше, чем ϵ_T (в зависимости от свойств материала). На рис. 7.36 упругой деформации ϵ_1 соответствует напряжение $\sigma_{\text{ост.}}^{\text{уст.}}$.

Примем, что материал характеризуется диаграммой растяжения упругопластического тела. Приложим переменные напряжения σ_n .

При первом цикле нагружения произойдет суммирование упругих напряжений $\sigma_{\text{ост.}}^{\text{уст.}} + \sigma_n$. Если бы материал был идеально упругим, то суммарному значению напряжений соответствовала бы точка В. Если бы материал был идеально упругопластическим и подчинялся модели непрерывной среды, то имела бы место пластическая деформация удлинения в зоне $2b_n$, равная длине отрезка АМ. Однако, поскольку в действительности металл состоит из конгломерата зерен, распределение напряжений по сечению будет в общем неравномерным, и

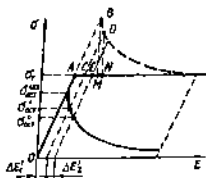


Рис. 7.36. Схема снижения остаточных напряжений при вибрационной обработке

и σ_p , что приведет к уменьшению исходного значения остаточных напряжений от $\sigma_{ост}^{исх}$ до $\sigma_{ост}$.

При втором цикле нагружения переменными напряжениями величина пластической деформации удлинения будет уменьшаться, так как

$$\sigma_{ост} + \sigma_n < \sigma_{ост}^{исх} + \sigma_n,$$

тогда $\Delta \epsilon'_2 < \Delta \epsilon'_1$. Это означает, что в результате второго цикла нагружения снижение напряжений происходит на меньшую величину, чем при первом цикле нагружения, т. е.

$$\sigma'_{ост} - \sigma''_{ост} < \sigma_{ост}^{исх} - \sigma'_{ост}.$$

Таким образом, каждый последующий цикл нагружения вибрационными напряжениями сопровождается падением величины пластической деформации удлинения (равносильно снижению сварочных напряжений). Этот процесс будет происходить до момента, когда сумма $\sigma'_{ост} + \sigma_n = \sigma_T$. Дальнейшая виброобработка не вызывает каких-либо изменений остаточного напряженного состояния. Для дальнейшего снижения напряжений необходимо изменить величину переменного напряжения так, чтобы вновь $\sigma'_{ост} + \sigma_n > \sigma_T$.

Эффективность вибрационной обработки зависит от материала. Так, при знакопеременном нагружении предел текучести материала может быть выше (циклически упрочняемые материалы) или ниже (циклически разупрочняемые материалы) предела текучести при статическом нагружении. Для материалов, циклически разупрочняемых, предел текучести может быть снижен в 2 раза по сравнению с пределом текучести при статическом нагружении. Остаточные сварочные напряжения могут быть снижены при сравнительно небольших значениях циклических напряжений.

Применение вибрационной обработки для снятия остаточных напряжений имеет преимущества по сравнению с термообработкой, а именно:

1). Оборудование сравнительно простое, универсальное, стоимость его значительно ниже стоимости оборудования для термообработки.

это приведет к набирательному применению пластической деформации в отдельных зернах. Поэтому среднее значение пластической деформации удлинений

$$\Delta \epsilon_i = AC < AM.$$

Прошедшая за этот цикл нагружения пластическая деформация удлинения $\Delta \epsilon_i$ снизит величину остаточных пластических деформаций укорочения ϵ'_i :

$$\epsilon'_i = \epsilon'_i - \Delta \epsilon_i.$$

Следовательно, в соответствии с выражением (7.36) снизится значение ϵ'_i и соответственно исходного значения остаточных

2 Продолжительность снятия сварочных напряжений невелика, так как процесс протекает быстро (не более 0,5 ч).

3. Поверхность деталей не требует последующей обработки (нет окислы, шлака и т. д.).

При вибрационной обработке происходит нагружение металла циклическими напряжениями растяжения-сжатия. Если это нагружение происходит в процессе выполнения сварного шва, то на участке, где уже сформировались сварочные напряжения, в результате взаимодействия их с напряжениями от вибрационной обработки снижаются сварочные напряжения и уменьшаются сварочные деформации. Другими словами, при сварке с вибрационной обработкой одновременно могут протекать два процесса — образование сварочных напряжений и их устранение. Основное преимущество этого способа заключается в том, что две технологические операции совмещены по времени в одну. Однако на практике этот способ еще не получил широкого применения в связи с отсутствием теоретически обоснованных рекомендаций. Приведенные в литературе сведения относятся к лабораторным исследованиям, которые показывают эффективность вибрационной обработки, хотя механизм снижения напряжений не раскрыт.

7.11. ТЕРМООБРАБОТКА СВАРНЫХ КОНСТРУКЦИЙ

Термообработка — наиболее распространенный (а иногда и единственный) способ снятия остаточных сварочных напряжений. Она применяется в тех случаях, когда нельзя использовать другие способы, например, для конструкций, насыщенных сварными швами, доступ к которым затруднен, характеризующихся большой жесткостью и металлоемкостью, требующих восстановления пластических свойств материала и др.

Наибольшее распространение для снижения остаточных сварочных напряжений получила термическая обработка в виде отпуска. При отпуске температура нагрева конструкции не превышает температуру A_1 для данной стали, которая составляет для конструкционных сталей 500...800 °C. При отпуске обработка конструкции состоит из трех стадий (рис. 7.37): стадия I — нагрев изделия, обеспечивающий выравнивание температур по сечению изделия (и по его длине); стадия II — выдержка изделия при постоянной температуре; стадия III — медленное остывание изделия.

Различают общий и местный отпуск. В процессе общего отпуска нагреву подвергается вся сварная конструкция.

Рассмотрим процессы, происходящие на каждой стадии отпуска, с точки зрения снижения напряжений (процесс восстановления пластических свойств не рассматривается).

Стадия I. В процессе нагрева в изделиях возникает неравномерное распределение температур по сечению: температура на поверхности детали выше, чем в глубине металла. В результате могут появиться температурные напряжения и деформации. Чтобы избежать их

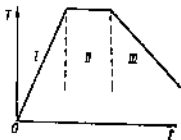


Рис. 7.37. Стадии термической обработки (отпуска)

вредного влияния, необходимо осуществлять нагрев изделия с определенной скоростью, которая зависит от массы, геометрии изделия, толщины и теплофизических свойств металла. Рекомендуемый диапазон скоростей нагрева до $T = 800^\circ\text{C}$ составляет 60...80 с на 1 мм толщины металла. Указанная скорость нагрева корректируется в зависимости от расположения деталей в печи.

Процесс нагрева и выравнивания температур происходит следующим образом: деталь загружают в печь при температуре печи 250...300 $^\circ\text{C}$ (если не оговорены специальные условия). Затем в зависимости от скорости нагрева повышают температуру в печи до температуры, несколько превышающей температуру отпуска. При этом температура на поверхности детали растет быстрее, чем в глубине металла. При достижении в какой-либо точке поверхности температуры отпуска начинается период выравнивания температур по поверхности. После выравнивания температур на поверхности происходит выравнивание температур по толщине металла. На этом стадии нагрева заканчивается процесс выравнивания температур.

На стадии нагрева вследствие повышения температуры изменяются свойства металла, а именно: снижается модуль упругости и предел текучести. Кроме того, нагрев может вызвать уменьшение или увеличение полной деформации $\epsilon_{\text{пол}}$.

Таким образом, при нагреве принципиально возможны три варианта процесса снижения напряжений в зависимости от значений полной деформации.

Вариант 1 (рис. 7.38, а). Полная деформация $\epsilon_{\text{пол}}^0$ в процессе нагрева остается постоянной. Перед нагревом полной деформации соответствовали начальные напряжения σ_0 и температура T_0 . При нагреве до температуры T_1 , когда $\epsilon_{\text{пол}}^0 < \epsilon_T(T)$, изменится диаграмма $\sigma - \epsilon$ металла, в результате чего полной деформации $\epsilon_{\text{пол}}^0$ будут соответствовать точка 1 и напряжение σ_1 , т. е. в этом случае происходит спад напряжений из-за снижения модуля упругости. При дальнейшем повышении температуры происходит спад напряжений в соответствии со снижением модуля упругости вплоть до температуры,

когда $\epsilon_{\text{пол}}^0 \geq \epsilon_T(T)$. В этом случае напряжения должны развиваться по линии 02', но такое развитие на участке 22' невозможно, так как металл находится в пластическом состоянии. Поэтому на этом участке упругая деформация переходит в пластическую $\epsilon_{\text{пл}}$, в результате чего падает напряжение до уровня $\sigma_2 = \sigma_T(T_2)$ при температуре T_2 .

Вариант 2 (рис. 7.38, б). Полная деформация $\epsilon_{\text{пол}}^0$ в процессе нагрева всегда меньше значения предела текучести металла при данной температуре ($\epsilon_{\text{пол}}^0 < \epsilon_T(T)$). Как видно из диаграммы $\sigma - \epsilon$, в этом случае спад напряжений происходит только за счет снижения модуля упругости (напряжения развиваются по линии 01).

Вариант 3 (рис. 7.38, в). Полная деформация $\epsilon_{\text{пол}}^0$ в процессе нагрева всегда превышает значения предела текучести металла при данной температуре. При нагреве до температуры T_1 напряжения должны развиваться по линии 011', на участке 11' это невозможно в связи с тем, что начиная с точки 1 металл находится в пластическом состоя-

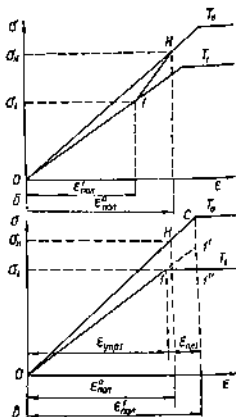
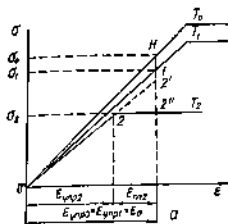


Рис. 1.33. Механизм снижения напряжений при отпуске

нии, т. е. упругая деформация переходит в пластическую с соответствующим спадом напряжений до уровня $\sigma_1 = \sigma_r$ при температуре T_1 .

Следовательно, на стадии нагрева спад напряжений происходит в результате снижения модуля упругости или перехода упругой деформации в пластическую по сдвиговому механизму. Причем этот переход происходит практически мгновенно.

Поскольку в реальных сварных соединениях имеются зоны с различным уровнем остаточных напряжений и величиной полной деформации, то по мере нагрева снижение напряжений происходит с различной скоростью. При этом напряжения постоянно перераспределяются, в результате чего к концу нагрева практически выравнивается уровень напряжений во всех точках сварного соединения.

Если в каких-либо объемах рост температуры прекратился (идет выравнивание температур), то свойства металла не изменяются и в этих объемах протекает процесс простой релаксации напряжений при постоянной температуре. Этот процесс имеет характер диффузионной пластичности. Он в количественном отношении менее эффективен, требует длительного времени и начинается с уровня напряжений, достигнутого вследствие изменения свойств металла при нагреве.

Поскольку период выравнивания температур с точки зрения релаксации напряжений незначительный, необходимо считать, что на первой стадии отпуска спад напряжений происходит в результате изменения механических свойств металла при его нагреве.

Стадия II — выдержка. На этой стадии отпуска изделие выдерживается в печи при постоянной температуре отпуска. В металле проис-

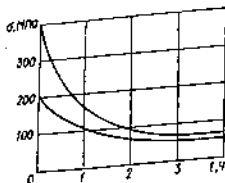


Рис. 7.39. Кривые релаксации напряжений для малоуглеродистой стали с различными уровнями начальных напряжений

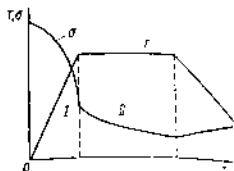


Рис. 7.40. Схема снижения напряжений при отпуске

ходит процесс релаксации напряжений при постоянной температуре. На этой стадии продолжается процесс релаксации напряжений, начатый на стадии нагрева. Основным параметром режима выдержки является продолжительность, которая зависит от требуемой полноты протекания релаксационных процессов.

На рис. 7.39 приведена кривая релаксации напряжений для образцов из малоуглеродистой стали. Как видно из рисунка, основной спад напряжений происходит в первые 2 ч выдержки. Дальнейшая выдержка практически не вызывает изменения величины напряжения. В работе [2] также указывается, что после 2...3 ч выдержки процесс снижения напряжений существенно замедляется. Если требуется получить после отпуска более низкие значения напряжений, то эффективнее повысить температуру отпуска, чем увеличивать время выдержки.

Стадия III — охлаждение. Охлаждение изделия требует определенной скорости, обеспечивающей такую разность температур по сечению изделия, при которой не образуются значительные собственные напряжения. При высоких температурах собственные напряжения могут вызвать местную пластическую деформацию из-за низкого значения предела текучести. Тогда после остывания в изделии возникнут дополнительные остаточные напряжения. Поэтому во избежание образования этих напряжений охлаждение, как правило, осуществляют вместе с остыванием печи до температуры 250...300 °С, затем изделие выгружается из печи и охлаждается на воздухе. С другой стороны, в процессе охлаждения восстанавливаются механические свойства металла, что приводит к повышению напряжений пропорционально возрастанию модуля упругости с понижением температуры.

Таким образом, процесс снижения напряжений при отпуске можно представить в виде схемы, приведенной на рис. 7.40. Как видно, напряжение падает главным образом на стадии нагрева, когда происходит переход упругой деформации в пластическую.

Наряду с общим отпуском в практике производства сварных конструкций применяется местный отпуск. Он отличается от общего тем, что нагреву подвергается часть изделия — шов и околошовная зона. Поскольку нагревается только часть конструкции, напряжения полностью не снимаются, а лишь перераспределяются. На перераспреде-

ление напряжений оказывает влияние характер температурного поля при местном нагреве, регулируя который можно в значительной степени изменить распределение остаточных сварочных напряжений.

Термическую обработку (общий отпуск) в некоторых случаях можно одновременно применять для снижения напряжений и остаточных деформаций (термофиксация). В случае снижения остаточных деформаций конструкции перед нагревом с помощью зажимных приспособлений придается такая форма, которая требуется после отпуска. В результате действия зажимных приспособлений в конструкции возникают упругие деформации (напряжения), которые в процессе отпуска переходят в пластические. При последующем охлаждении конструкция не изменяет своей формы и в ней не возникают остаточные напряжения. Освобождение после отпуска конструкции из зажимного приспособления не вызывает дополнительных деформаций, и конструкция имеет форму, заданную зажимным приспособлением. Эффективность снижения деформаций зависит от точности и жесткости зажимных приспособлений.

7.12. ТЕРМИЧЕСКАЯ ПРАВКА БАЛОК

При сварке конструкций балочного типа, особенно несимметричного профиля, по-видимому, наибольшие неприятности доставляет деформация изгиба продольной оси от сварки продольных и поперечных швов. Если точка приложения суммарной усадочной силы (от сварки всех швов) не совпадает с центром тяжести поперечного сечения балки, как это бывает на практике, то возникает изгибающий момент $M = P_{ус}e$, создающий прогиб балки в определенной плоскости. Обычно определяют составляющие $M_x = P_{ус}e_y$ и $M_y = P_{ус}e_x$ изгибающего момента, которые изгибают балку относительно оси x в вертикальной плоскости от действия M_x и относительно оси y в горизонтальной плоскости от действия M_y . При этом расчетная схема принимается в виде балки, нагруженной на опорах двумя изгибающими моментами. Для этой расчетной схемы максимальные значения составляющих f_x (в вертикальной плоскости от действия M_x) и f_y (в горизонтальной плоскости от действия M_y) общего прогиба определяют следующими зависимостями:

$$f_y = (M_x L^2) / 8EJ_x; \quad (7.37)$$

$$f_x = (M_y L^2) / 8EJ_y. \quad (7.38)$$

Общий прогиб находят геометрическим суммированием

$$f = \sqrt{f_x^2 + f_y^2}. \quad (7.39)$$

Если в центре тяжести поперечного сечения балки отложить векторы f_x , f_y и f , то направление вектора f определит положение плоскости изгиба балки, которая в общем случае не совпадает с плоскостью действия общего изгибающего момента. Из (7.37) и (7.38) видно, что отношение

$$f_y/f_x = (M_x/M_y) (J_y/J_x) \quad (7.40)$$

зависит не только от отношения составляющих изгибающего момента, но также и от отношения соответствующих моментов инерции поперечного сечения балки.

Цель термической правки балок — устранение или частичное уменьшение возникшего от сварки прогиба за счет дополнительного нагрева вдоль всей балки определенной зоны поперечного сечения. При этом в усталостной зоне за счет такого дополнительного нагрева должна возникнуть усадочная сила правки P_{yc}^{np} , которая на плече e^{np} от точки его приложения до центра тяжести поперечного сечения балки создаст изгибающий момент правки $M^{np} = P_{yc}^{np} e^{np}$ противоположного знака, чем у изгибающего момента от сварки, который устранит или уменьшит имеющийся прогиб. Термическая правка определяется расчетным параметром q_0 — удельной энергией нагрева, а также определением одного или нескольких (обычно двух) мест нагрева в поперечном сечении балки. Точное решение этой задачи представляется весьма сложным. В связи с тем, что в процессе нагрева балки для правки и последующего охлаждения будут изменяться остаточные пластические деформации в пластических зонах от сварки, то это приводит к изменению сварочных напряжений и сварочного изгибающего момента. Это изменение учесть трудно. Здесь рассматриваем относительно приближенное решение задачи и поэтому считаем, что при правочном нагреве усадочная сила от сварки, а значит, и соответствующий изгибающий момент не изменяются. Иначе говоря, будем считать условно, что сварка и правка выполняются параллельно и одновременно по всей длине балки. Оставаясь в рамках метода Трочука, можно записать следующие зависимости для усадочных сил P_{yc}^{np} и P_{yc}^{nom} от сварки продольных и поперечных швов соответственно:

$$P_{yc}^{np} = (\sigma_T F F_*) / (F - F_* - F_*^{np} - F'); \quad (7.41)$$

$$P_{yc}^{nom} = (\Delta_{деф}^{расч} E F') / L, \quad (7.42)$$

где σ_T — предел текучести; F — площадь поперечного сечения балки; F_* — площадь поперечного сечения пластической зоны от сварки всех продольных швов; F_*^{np} — площадь поперечного сечения пластической зоны, возникающей при правке; F' — площадь поперечного сечения той части общего сечения балки, на которой расположены поперечные швы; $\Delta_{деф}^{расч}$ — расчетная величина суммарной поперечной деформации укорочения от всех поперечных швов на балке; E — модуль упругости; L — длина балки. Общая усадочная сила в балке P_{yc} определяется суммой усадочных сил от сварки продольных и поперечных швов:

$$P_{yc} = P_{yc}^{np} + P_{yc}^{nom}. \quad (7.43)$$

Изгибающие моменты от сварки и правки соответственно можно найти по формулам:

$$M = P_{yc} e; \quad (7.44)$$

$$M^{np} = P_{yc}^{np} e^{np}. \quad (7.45)$$

Усадочная сила от правки

$$P_{yc}^{np} = (\sigma_s F F_*^{np}) / (F - F_* - F_*^{np} - F') \quad (7.46)$$

Приравняв правые части (7.44) и (7.45) с учетом (7.41), (7.42) и (7.46), получаем

$$F_*^{np} = \frac{\sigma_s F F_* L_c + \Delta_{\text{пол}}^{\text{расч}} E F' (F - F_* - F') \epsilon}{\sigma_s F L_{np} + \Delta_{\text{пол}}^{\text{расч}} E F' \epsilon} \quad (7.47)$$

Итак, зависимость (7.47) определяет величину площади поперечного сечения пластической зоны, которую необходимо создать за счет правочного нагрева.

Центр тяжести F_*^{np} должен лежать на линии, проходящей через центр тяжести сечения балки и точку приложения P_{yc} (центр тяжести площадей $F_* + F'$).

Далее в практических расчетах по термической правке, особенно для балок несимметричного профиля, необходимо выбрать один или два места нагрева в сечении балки. Линия, определяющая след плоскости действия изгибающих моментов от сварки и правки, может пересекать или не пересекать сечение балки со стороны возможного расположения зоны нагрева при сварке. Если она пересекает сечение, то тем самым и определяется место расположения F_*^{np} . При этом однако, необходимо установить, можно ли на данном элементе балки (полке, стенке, продольном ребре) создать нужную F_*^{np} , так как площадь поперечного сечения данного элемента балки F_s может быть меньше F_*^{np} . Наиболее подходящим является случай $F_*^{np} \ll F_s$. Затем необходимо обратить внимание, на каком расстоянии от места пересечения данного элемента балки плоскостью действия изгибающих моментов находится центр тяжести поперечного сечения элемента балки. Если это расстояние значительное, то может возникнуть большая погрешность из-за большого смещения в сторону центра тяжести F_*^{np} , который должен быть на линии, определяющей плоскость действия изгибающих моментов.

После предварительной оценки сложившейся конкретной ситуации на основе приведенных выше соображений необходимо подумать о возможности и целесообразности правки балки за счет нагрева не одного, а двух или даже трех определенных мест в сечении балки так, чтобы общий центр тяжести всех пластических зон правки F_*^{np} находился на линии, определяющей плоскость действия изгибающих моментов. При этом необходимо учитывать следующие рекомендации. Обычно все составные элементы в сечении балки расположены горизонтально или вертикально. Наиболее типичным будет вариант расположения мест нагрева в сечении балки на вертикальном и горизонтальном элементах, как показано на рис. 7.41. Возникает два вопроса: каким выбрать значение ϵ_{np} (этим самым сразу определяется согласно (7.47) значение F_*^{np}) и как распределить F_*^{np} между элементами балки на F_{*1}^{np} и F_{*2}^{np} ? Значение ϵ_{np} необходимо выбрать очень большое, чтобы значение F_*^{np} было самое маленькое. Как правило, выбор ϵ_{np} осуществляется опытным путем на основе детального анализа сечения балки по чертежу. Затем через точку С можно с опреде-

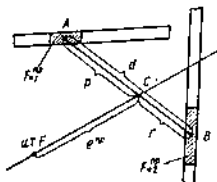


Рис. 7.41. Схема расположения мест измерения в сечении балки на вертикальном и горизонтальном элементах

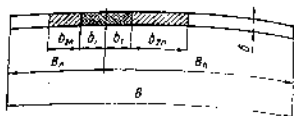


Рис. 7.42. Поперечное сечение пластической зоны в элементе балки

ленным произволом провести прямую AB , длину которой обозначим через d так, чтобы она пересекала горизонтальный и вертикальный элементы балки. Тогда площади F_{*1}^{np} и F_{*2}^{np} определим по формулам:

$$F_{*1}^{np} = F_{*}^{np} (r/d); \quad F_{*2}^{np} = F_{*}^{np} (r'/d).$$

Изменяя положение прямой AB , в определенных пределах можно изменять и соотношение между площадями F_{*1}^{np} и F_{*2}^{np} в нужную сторону.

После того, как площади пластических зон правки и места их расположения в сечении балки установлены, можно определить удельную энергию q_0 правки исходя из конкретного значения F_{*1}^{np} , F_{*2}^{np} или F_{*}^{np} .

Площадь поперечного сечения F_{*}^{np} , F_{*1}^{np} или F_{*2}^{np} пластической зоны правки в элементе балки, которую в общем случае обозначили через \bar{F} , можно представить согласно рис. 7.42 в виде

$$\bar{F} = b(2b_1 + b_{2n} + b_{2n}). \quad (7.48)$$

Перепишем (7.48) с учетом выражений для b_1 и b_2 :

$$N = 2Mq_0 + k_2(\bar{B} - 2Mq_0), \quad (7.49)$$

где

$$N = \bar{F}/\delta;$$

$$M = 0,484/(c\gamma T_{*n}^*);$$

T_{*}^* — температура потери металлом упругих свойств (условно); B — приведенная ширина элемента балки,

$$\bar{B} = \begin{cases} B; \\ B_n + 300 \text{ мм}; \\ B_n + 300 \text{ мм}; \\ 300 \text{ мм} + 300 \text{ мм}; \end{cases} \quad \text{при} \quad \begin{cases} B_n, B_n < 300 \text{ мм}; \\ B_n < 300 \text{ мм}; B_n > 300 \text{ мм}; \\ B_n < 300 \text{ мм}; B_n > 300 \text{ мм}; \\ B_n, B_n > 300 \text{ мм}. \end{cases}$$

Коэффициент k_2 в (7.49) необходимо аппроксимировать исходя из графика на рис. 2.17 для заданного σ , прямой линией:

$$k_2 = a q_0 + b. \quad (7.50)$$

Аппроксимацию k_2 необходимо делать для участка кривой $k_2 = f(q_0)$, которому ориентировочно соответствуют определяемые значения q_0 . Для этого целесообразно предварительно определить значение q_0 по зависимости

$$q_0 \approx \frac{\bar{F} c \gamma T^*}{(4 \dots 5) 0,4848}. \quad (7.51)$$

С учетом (7.50) зависимость (7.49) приводим к квадратному уравнению относительно q_0

$$2Maq_0^2 + q_0(2Mb - 2M - a\bar{B}) + N - \bar{B}b = 0, \quad (7.52)$$

при решении которого находим значение q_0 .

ПРИЛОЖЕНИЕ

КОНТРОЛЬНЫЕ ВОПРОСЫ

Глава I

1. В чем сущность задачи теории упругости?
2. В чем заключается различие между теорией упругости и сопротивлением материалов?
3. Назовите гипотезы теории упругости и дайте им пояснения.
4. Для чего нужны гипотезы в теории упругости?
5. В чем сущность принципа Сен-Венана?
6. Какие разновидности сил рассматривают в теории упругости?
7. Как вводится понятие о векторе полных напряжений в рассматриваемой точке в заданном сечении?
8. На какие составляющие можно разложить вектор полных напряжений в точке на площадке, перпендикулярной к одной из координатных осей?
9. На какие составляющие можно разложить вектор полных напряжений в данной точке рассматриваемой площадки?
10. Почему введена двойная индексация для обозначения заданного компонента напряжения?
11. Почему для полного определения напряженного состояния в точке достаточно знать компоненты в осях координат векторов полных напряжений в точке в произвольных трех взаимно перпендикулярных плоскостях, проходящих через данную точку?
12. Что означают первый и второй индексы в обозначении данного компонента напряжения?
13. В какой плоскости, проходящей через заданную точку, действуют компоненты напряжений, расположенные в первой, второй и третьей строках тензора напряжений?
14. Запишите тензор напряжений в произвольных осях координат.
15. Какими параметрами определяется положение в пространстве произвольной наклонной площадки, проходящей через заданную точку?
16. Из каких условий определяются зависимости в осях координат для компонентов вектора полных напряжений в данной точке на наклонной площадке?
17. Запишите зависимости в осях координат для компонентов вектора полных напряжений в данной точке на наклонной площадке.
18. Запишите зависимости вектора полных напряжений на наклонной площадке от его составляющих в координатных осях.
19. Как можно определить нормальное напряжение в точке на наклонной площадке, если известны компоненты в координатных осях вектора полных напряжений?
20. В чем состоит закон парности касательных напряжений?
21. Какая площадка, проведенная через точку, называется октаэдрической?
22. Как определяются нормальное и касательное напряжения на октаэдрической площадке?
23. Чему равны направляющие косинусы нормали к октаэдрической площадке?
24. Запишите компоненты в осях координат вектора полных напряжений на октаэдрической площадке.
25. Какая площадка, проведенная через точку, называется главной?
26. Какие напряжения действуют на главной площадке?
27. Как обозначаются главные нормальные напряжения?
28. Что такое нумерованные оси координат?
29. Сколько главных площадок может быть проведено через точку в общем случае?

30. Как присваиваются индексы главным нормальным напряжениям в рассматриваемой точке?
31. Запишите тензор напряжений в данной точке в главных осях.
32. Как на общего случая тензора напряжений в точке для трехосного напряженного состояния получить частный случай тензора напряжений для двухосного или одноосного напряженного состояния? Сколько существует таких вариантов? Дайте графическую интерпретацию таких напряженных состояний для элементарных объемов тела в заданной координатной системе.
33. Зависят ли компоненты напряженного состояния в произвольных и главных осях от выбора координатной системы?
34. Как определяются нормальные напряжения на площадках, где действуют максимальные касательные напряжения?
35. Как определяются максимальные касательные напряжения и в каких плоскостях они действуют?
36. Может ли быть такое напряженное состояние, при котором любая проведенная через точку площадка будет являться главной?
37. Как определяется среднее нормальное напряжение в точке?
38. Запишите выражение для инвариантов напряженного состояния в произвольных и главных координатных осях.
39. Можно ли тензор напряжений или любой из инвариантов напряженного состояния представить одним числом?
40. Чем определяются величина и направление главных нормальных напряжений в точке?
41. Запишите выражения для нормального и касательного напряжений на октаэдрической площадке через инварианты напряженного состояния.
42. Запишите выражение для интенсивности напряжений в точке.
43. Как зависит касательное октаэдрическое напряжение от интенсивности напряжений в точке?
44. Какие возможны изменения элемента объема тела при его деформации под действием нагрузок?
45. На какие составляющие части можно разложить тензор напряжений?
46. Запишите шаровой тензор напряжений, девиатор напряжений.
47. Чем определяется изменение объема или формы элемента тела при его деформации?
48. Какое напряженное состояние называется гидростатическим?
49. Запишите дифференциальные уравнения равновесия.
50. Что называется относительной линейной деформацией в точке по данному направлению?
51. Что называется линейным элементом данного направления?
52. Что называется сдвигом в данной точке в плоскости линейных элементов?
53. В чем состоит смысл индексов в обозначениях сдвиговых деформаций?
54. Дайте графическую интерпретацию заданной сдвиговой деформации.
55. Запишите тензор деформаций в точке в произвольных и главных координатных осях.
56. Что называется деформированным состоянием в точке тела?
57. Чем определяется деформированное состояние в точке тела?
58. Запишите инварианты деформированного состояния в точке тела.
59. Запишите зависимости для линейной и сдвиговой октаэдрических деформаций через главные линейные деформации.
60. Запишите уравнения Коши (геометрические) для деформаций.
61. В чем состоит физический и энергетический смысл уравнений неразрывности (совместности) деформаций в точке тела?
62. Между какими деформациями устанавливают связь первая и вторая группы уравнений неразрывности деформаций?
63. Запишите уравнения неразрывности деформаций.
64. Сколько неизвестных параметров необходимо определять в общем случае при решении задачи о напряженно-деформированном состоянии нагруженного тела?
65. Запишите физические уравнения (закон Гука) для объемного, плоского и линейного напряженных состояний.

66. Запишите формулы для статических граничных условий.
67. Что называется прямой и обратной задачами теории упругости?
68. Какие бывают граничные условия для нагруженного тела?
69. Какие граничные условия называются статическими, кинематическими и смешанными?
70. В чем суть первого и второго путей решения прямой задачи теории упругости?
71. Перечислите совокупность уравнений теории упругости, определяющих решение задачи о напряженно-деформированном состоянии. Сколько таких уравнений остается при переходе от объемной задачи к плоской?
72. В чем состоит отличие плоского напряженного состояния от плоского деформированного?
73. Запишите тензоры напряжений и деформаций для плоского напряженного и плоского деформированного состояний.
74. Сколько уравнений неразрывности деформаций остается и как они выглядят при переходе от общей объемной задачи к общей плоской?
75. Запишите бигармоническое уравнение, определяющее решение плоской задачи теории упругости.
76. Запишите зависимости в прямоугольных координатах метода комплексных переменных для решения плоской задачи теории упругости.
77. Дайте определение каждому виду линий из семейства, характеризующего напряженно-деформированное состояние в плоской задаче.

Глава 2

1. Покажите эмпирическую зависимость предела текучести от температуры для низкоуглеродистых и низколегированных сталей.
2. Покажите диаграмму растяжения для идеального упругопластического тела.
3. Из каких составляющих состоит полная деформация в точке?
4. Покажите зависимость от температуры упругой и пластической деформации в жестко закрепленном стержне при нагреве его до $T > T^*$ (T^* — температура перехода металла в пластическое состояние) и последующем охлаждении до нуля.
5. Действием каких факторов определяются слагаемые пластической деформации сжатия в стержне при нагреве его в интервале 500...600 °C (материал — сталь Ст3)?
6. Почему после охлаждения в стержне возникают остаточные напряжения?
7. Как доказать, что после охлаждения жестко закрепленного стержня остаточные упругая и пластическая деформации равны по величине и обратны по знаку?
8. Как определить температуру нагрева жестко закрепленного стержня, при которой напряжения сжатия достигают величины предела текучести?
9. Как определять температуру жестко закрепленного стержня на стадии охлаждения, при которой напряжения растяжения в нем достигают предела текучести?
10. Почему на начальном этапе нагрева жестко закрепленного стержня углы наклона линий температурной и упругой деформации к оси температур одинаковы?
11. Чему равна величина пластической деформации сжатия в жестко закрепленном стержне при температуре 600 °C (материал — сталь Ст3)?
12. Каким зонам сварного соединения соответствуют крайние и средние полосы пластины с прорезами?
13. На каком основании принимается равенство полных деформаций в средней и крайних полосах пластины с прорезами?
14. Покажите зависимость от температуры упругих, пластических и полных деформаций в полосах пластины при нагреве и охлаждении средней полосы.
15. Действием каких факторов определяются слагаемые пластической деформации сжатия в средней полосе при нагреве ее в интервале 500...600 °C (материал — сталь Ст3)?

16. Влияют ли напряжения растяжения в крайних полосах пластины с прорезами, возникающие при нагреве средней полосы, на величину пластической деформации сжатия в ней, достигшей в моменту T_1 ?
17. Запишите условие равновесия продольных внутренних усилий в пластине с прорезами.
18. Что является причиной образования остаточных продольных напряжений в полосах пластины с прорезами?
19. Почему в средней полосе пластины с прорезами при ее нагреве возникают напряжения сжатия?
20. Постройте диаграмму $\sigma - T$ для пластины с прорезами при $F_{cp} < F_{кр}$ или $F_{cp} > F_{кр}$.
21. Что означает соблюдение типотезы плоских сечений для коллих деформаций в полосах пластины?
22. Оказывает ли влияние на формирование остаточных напряжений в пластине с прорезами пластическая деформация в средней полосе, протекающая при температуре выше 601°C ?
23. Зависит ли величина остаточных напряжений в полосах пластины от предела текучести металла?
24. Что произойдет со средней и крайними полосами пластины с прорезами, если после охлаждения отрезать левую или правую перемычку?
25. Почему в крайних полосах пластины при нагреве и охлаждении средней полосы пластическая деформация не протекает?
26. Выделите зависимости для определения упругих деформаций в средней и крайних полосах пластины на начальном этапе нагрева средней полосы от 0 до T_1 .
27. От чего зависят углы наклона линий упругой деформации в средней и крайних полосах пластины к оси температур на участке нагрева от 0 до T_1 ?
28. Чему равна сумма абсолютных значений упругих деформаций в средней и крайних полосах пластины на участке от 0 до T_1 ?
29. Из каких соображений можно установить величину остаточной пластической деформации сжатия в средней полосе?
30. Как влияет общий подотпор пластины с прорезами на изменение диаграммы $\sigma - T$?
31. Покажите характер эпюры продольных напряжений в поперечном сечении сварного стыкового соединения на стадии нагрева и процессе сварки.
32. Какая область сварного соединения называется зоной пластических деформаций?
33. Покажите эпюру остаточных продольных пластических деформаций укорочения при сварке стыкового соединения, при нагреве кромок полосы (наплавка из кромок).
34. Протекают ли при сварке в сварном соединении пластические деформации удлинения в продольном по отношению к шву направлении?
35. Перечислите допущения, которые используются в расчетном методе Николаева.
36. В каком сечении рассматриваются деформации в расчетном методе Николаева?
37. Какие параметры необходимо определять в расчетном методе Николаева на стадии нагрева, в остаточном состоянии?
38. Запишите условия, из которых можно определить ширину зоны пластических деформаций и полную деформацию в поперечном сечении сварного соединения в расчетном методе Николаева.
39. Покажите эпюру максимальных продольных пластических деформаций укорочения, влияющих на формирование остаточных напряжений и деформаций в соединении.
40. Какие допущения положены в основу расчетного метода Троцуна?
41. Запишите условие равновесия продольных внутренних усилий в сварном соединении по методу Троцуна.
42. Как определить реактивные напряжения сжатия в сварном соединении в соответствии с расчетным методом Троцуна?
43. Как определяется ширина зоны чисто пластических деформаций при сварке согласно методу Троцуна?

44. Зависит ли ширина зоны чисто пластических деформаций от размеров свариваемых пластин?
45. Как зависит ширина зоны пластических деформаций при сварке от ширины свариваемых пластин?
46. Что такое активная и реактивная силы при сварке?
47. Запишите формулу для определения эффективной тепловой мощности сварочной дуги.
48. Запишите условие равновесия продольных внутренних усилий в сварном соединении в соответствии с методом Трочуна.
49. Чему равна разница в длинах пластической зоны и реактивных зон сварного соединения после разрезки сварного соединения по границам пластических зон (расчет выполнять в рамках метода Трочуна)?
50. Покажите эпюру остаточных пластических деформаций укорочения в сварном соединении в соответствии с расчетным методом Трочуна.

Глава 3

1. Запишите формулу для определения объема продольного укорочения при сварке, если известно распределение остаточных продольных пластических деформаций укорочения в поперечном сечении сварного соединения.
2. Запишите формулы для определения напряжений в проназальной точке плоскости с закрытым вырезом-трещиной.
3. Запишите формулу, определяющую функцию напряжений Z_1 в плоскости с закрытым вырезом-трещиной.
4. Запишите формулу для функции напряжений Z_1 в плоскости с закрытым вырезом-трещиной, если к его берегам приложена равномерно распределенная по длине выреза закрывающая нагрузка σ_0 .
5. Запишите интегральное представление для напряжений в любой точке произвольного поперечного сечения сварного соединения в бесконечной плоскости со швом ограниченной длины.
6. Какие особенности имеет напряженное состояние в плоскости с закрытым вырезом-трещиной?
7. Чему равен предел откошения равномерно распределенной нагрузки на берега выреза-трещины σ_0 к расстоянию Δ между закрытыми вырезами-трещинами, если Δ стремится к нулю.
8. Как установить зависимость между равномерно распределенной закрывающей нагрузкой σ_0 на берега выреза-трещины и расстоянием Δ между такими вырезами-трещинами?
9. Запишите интегральное представление для напряжений в сварном соединении с круговым швом в плоскости.
10. Каким образом можно учесть изгиб в напряженное состояние в сварном соединении с круговым швом в плоскости радиальной остаточной пластической деформации при известной ее зависимости от радиуса?
11. Какое остаточное напряженное состояние при сварке пластин называется базовым, в чем его особенности?
12. Докажите, что при базовом остаточном напряженном состоянии эпюра остаточных продольных напряжений всегда повторяет в определенном масштабе эпюру остаточных продольных пластических деформаций укорочения с обратным знаком.
13. Как можно представить напряженное состояние в сварном соединении ограниченных размеров, сваренном в абсолютно жестком приспособлении.
14. Покажите эпюры продольных напряжений в различных поперечных сечениях сварного соединения ограниченных размеров, сваренного в абсолютно жестком приспособлении.
15. В чем состоит особенность распределения продольных напряжений в соединении ограниченных размеров при сварке в абсолютно жестком приспособлении по мере приближения рассматриваемого сечения к торцам соединения?
16. Покажите эпюры поперечных напряжений на оси шва в соединении ограниченных размеров. Как изменится эта эпюра по мере увеличения длины соединения при постоянной ширине или при изменении ширины соединения при постоянной длине?

17. Как и почему влияет жесткость приспособления на величину остаточных напряжений в сварном соединении ограниченных размеров? В каких случаях влияние приспособления сказывается мало?
18. Что такое коэффициент продольной жесткости сборочно-сварного приспособления?
19. Почему при продольном растяжении сварного соединения после сварки происходит снижение остаточных напряжений?
20. Как влияет на изменение остаточных напряжений в сварном соединении равномерное продольное сжатие?

Глава 4

1. Какие виды напряженного состояния могут быть в сварных соединениях?
2. Какова связь между упругими деформациями и напряжениями при линейном, плоском и объемном напряженном состоянии?
3. Возможно ли с помощью экспериментальных методов непосредственно определить компоненты напряженного состояния?
4. Какие методы применяются для экспериментального определения напряжений?
5. В чем состоит сущность механических методов определения напряжений?
6. Для чего необходимо производить разрезку сварного соединения при определении в нем остаточных напряжений?
7. Как зависит точность определения остаточных напряжений экспериментальным путем от размера базы измерения?
8. В каких случаях при определении остаточных напряжений можно использовать большие базы измерения?
9. Что такое база измерения и как она подготавливается в зависимости от вида напряженного состояния?
10. Опишите методику экспериментального определения напряжений в зоне сварного соединения, в которой происходили только упругие деформации.
11. Опишите методику экспериментального определения напряжений в зоне сварного соединения, в которой происходили упругопластические деформации.
12. Как производится учет влияния на изменение длины базы измерения деформаций, вызванной изгибом?
13. Приведите принципиальную схему механического деформометра и опишите его работу.
14. Перечислите типы преобразователей деформаций, применяемых в конструкциях механических деформометров.
15. Приведите схему оптического преобразователя деформации и опишите его работу.
16. Приведите схему емкостного преобразователя деформации и опишите его работу.
17. Опишите принцип работы индуктивного преобразователя деформаций.
18. Расскажите об устройстве механотронного преобразователя деформаций и опишите его работу.
19. В чем состоит принцип работы пневмоконтактных преобразователей деформаций?
20. В чем состоит сущность электротензометрических методов измерения деформаций?
21. Что такое тензорезистор и каков принцип его работы?
22. Приведите типы тензорезисторов.
23. Из каких основных элементов состоит проволочный тензорезистор?
24. Из какого материала изготавливают чувствительный элемент с решеткой проволочного тензорезистора?
25. В чем состоит отличие фольгового тензорезистора от проволочного?
26. В каких случаях необходимо применять полупроводниковые тензорезисторы и почему?
27. Опишите методику монтажа тензорезисторов.

28. Какие измерительные схемы применяются для измерения сопротивления тенторезистора?
29. В чем состоит принцип работы мостовой схемы измерения сопротивления?
30. В скольких направлениях в общем случае необходимо измерить деформации в точке при определении всех компонент объемного напряженного состояния?
31. В скольких направлениях необходимо измерить деформации в точке для определения компонент объемного напряженного состояния, если направление главных осей известно?
32. В чем состоит метод глубоких сверлений для определения трехосных напряжений?
33. В чем состоит методика измерения трехосных напряжений методом стираний?
34. На каком физическом явлении основан магнитоупругий метод определения напряжений?
35. Для каких материалов можно применять магнитоупругий метод определения напряжений?
36. Как определить значения напряжений при применении магнитоупругого метода?
37. В каких случаях целесообразно применить поляризационно-оптический метод для определения напряжений?
38. Из какого материала изготавливают модели для определения напряжений поляризационно-оптическим методом?
39. На каком физическом явлении основан поляризационно-оптический метод?
40. Опишите методику определения напряжений поляризационно-оптическим методом.
41. Измерение каких деформаций необходимо произвести для определения величины внутренней деформации при сварке?
42. Опишите методику измерения поперечных деформаций при сварке.
43. Опишите методику определения остаточных продольных пластических деформаций укорочения.

Глава 5

1. Приведите классификацию сварочных деформаций.
2. Что представляет собой деформация продольного укорочения и каковы причины ее образования? Дайте определение продольной усадочной силы.
3. Докажите, что
$$P_{ус}^{пр} = \delta E \int_{-\delta/2}^{\delta/2} \epsilon^*(x) dx.$$
4. Зависит ли величина продольной усадочной силы от режима сварки и размеров сварного соединения?
5. В каких случаях возникает усадочная сила от поперечной усадки и как она определяется?
6. Запишите формулу для определения продольного укорочения при сварке продольного стыкового шва.
7. Что представляет собой деформация поперечного укорочения и каковы причины ее образования?
8. Дайте определение поперечной усадочной силы $P_{ус}^{поп}$ и запишите формулы для ее определения.
9. Как влияет скорость сварки на поперечное укорочение?
10. Как влияет зазор на величину поперечного укорочения?
11. Зависит ли поперечное укорочение от режима сварки и размеров свариваемых пластин?
12. Из каких слагаемых состоит продольное укорочение при сварке продольных и поперечных швов?
13. Как учитывается жесткость закрепления сварного соединения на поперечное укорочение при сварке веток?
14. Что представляет собой деформация изгиба и каковы причины ее образования?

15. Определите прогиб при сварке стык двух пластины различной ширины.
16. Какова методика определения деформации изгиба сварного соединения с несколькими швами?
17. В каких случаях образуется деформация изгиба сварного соединения в двух плоскостях?
18. В чем заключаются основные причины образования угловой деформации при сварке?
19. Какими составляющими определяется угловая деформация при сварке тавровых соединений?
20. Как зависит угловая деформация от относительной глубины привара?
21. Как зависит угловая деформация от скорости сварки?
22. Чем отличается угловая деформация при выполнении углового и стыкового швов?
23. Как определяется угловая деформация при многопроходной стыковой сварке?
24. Какое влияние оказывает количество проходов на величину угловой деформации?
25. В чем состоит явление потери устойчивости?
26. Какие элементы сварных конструкций подвержены деформации потери устойчивости?
27. Запишите в общем виде условие устойчивости.
28. В чем состоит решение сварочной задачи о потере устойчивости?
29. От чего зависит жесткость закрепления кромок листового элемента и как она учитывается при определении критического значения напряжений?
30. Какова причина образования деформации скручивания и при сварке каких конструкций она встречается?
31. Какой величиной характеризуется деформация скручивания и от каких параметров она зависит?
32. Запишите формулы для определения продольного укорочения и максимального прогиба балки от сварки продольных швов.
33. В чем состоит метод «сшивания» при определении продольных деформаций от сварки поперечных швов?
34. Совпадает ли в общем случае плоскость изгиба балки несимметричного профиля с плоскостью действия изгибающего момента?
35. Покажите на рисунке остаточную деформацию узкой полосы после нагрева одной из продольных кромок.
36. Какую деформацию будут иметь две половины сварного соединения после разрезки его по оси шва на две части?
37. Какую продольную деформацию будет иметь зона остаточных пластических деформаций сварного стыкового соединения после ее вырезки из соединения?
38. Какой вид имеет деформация при сварке кольцевых швов тонкостенных цилиндрических обечаек?
39. В результате действия каких сил образуется деформация при сварке кольцевых швов цилиндрических обечаек?
40. Какие деформации образуются при сварке продольных швов тонкостенных цилиндрических обечаек?

Глава 6

1. Какое разрушение называется хрупким, квазихрупким?
2. Какими особенностями характеризуется хрупкое и квазихрупкое разрушение?
3. Существует ли различие и почему в энергозатратах на хрупкое и квазихрупкое разрушение?
4. Является ли хрупкость состоянием материала или это его свойство?
5. В каких пределах ориентировочно находится толщина пластически деформированного слоя на поверхности излома у наиболее распространенных конструкционных сталей?
6. Какие факторы способствуют переходу металла в хрупкое состояние?
7. В каких аспектах можно рассматривать влияние остаточных сварочных напряжений на хрупкое разрушение сварных конструкций?

8. Что понимается под устойчивостью или неустойчивостью процесса хрупкого разрушения?
9. Какие существуют критерия хрупкого разрушения Гриффитса?
10. В чем сущность энергетического критерия хрупкого разрушения Гриффитса?
11. Запишите формулу для критических напряжений хрупкого разрушения пластины с трещинкой, установленную Гриффитсом применительно к плоскому напряженному состоянию или плоской деформации?
12. В чем состоит концепция квазихрупкого разрушения?
13. Что такое эффективная поверхностная энергия при квазихрупком разрушении?
14. Почему у вершины квазихрупкой трещины возникает пластическая зона?
15. Чем определяются форма и размеры пластической зоны у вершины трещины?
16. В каких условиях у вершины трещины возникает пластическая зона иглообразной формы?
17. В чем сущность так называемого силового критерия хрупкого разрушения Иринка?
18. Запишите обобщенную зависимость для компонентов тензора напряжений в произвольной точке плоскости с трещиной вблизи ее вершины.
19. Какие типы трещин, по Ирину, могут существовать в нагруженном теле?
20. Чем различаются между собой трещины нормального отрыва, поперечного сдвига, продольного сдвига?
21. Какие компоненты вектора перемещений на фронте разрушения терпят разрыв у трещины I, II и III типа?
22. Что такое коэффициент интенсивности напряжений у вершины хрупкой трещины и почему он так называется?
23. Почему коэффициент интенсивности напряжений у вершины хрупкой трещины может рассматриваться как критерий хрупкого разрушения?
24. Что собой представляет вязкость разрушения (трещиностойкость) материала?
25. Какова размерность коэффициента интенсивности напряжений?
26. Какие хрупкие трещины называются трещинами смешанного типа?
27. Почему в исходной зависимости для определения коэффициента интенсивности напряжений, вытекающей из обобщенной формулы для напряжений в точке вблизи вершины трещины, используется предельный переход?
28. Запишите формулы для напряжений в произвольной точке вблизи вершины трещины I типа в пластине.
29. Каким образом можно представить напряженное состояние в нагруженном теле с трещиной?
30. Дайте формулировку задач о напряженном состоянии в теле, обозначаемых в теории трещин как задачи А, В и С.
31. Запишите формулы для напряжений в задаче С.
32. Запишите исходную зависимость для определения K_I (или K_{II}), если известны соответствующие напряжения на линии трещины в задаче В.
33. Как влияют боковые границы тела на значения коэффициентов интенсивности напряжений?
34. В чем сущность деформационного критерия разрушения?
35. Что собой представляет б_н-модель хрупкой трещины Леонова—Панасюка—Далгелла?
36. Что такое эффективная трещина, чем она отличается от реальной трещины?
37. Какие нагрузки должны быть приложены к берегам эффективной трещины на длине пластических зон?
38. Чему равен коэффициент интенсивности напряжений у вершины эффективной трещины?
39. Существует ли сингулярность по напряжениям в вершине эффективной трещины?
40. В чем состоит особенность смыкания берегов эффективной трещины в ее вершине?

41. Какая зависимость используется для определения раскрытия δ берегов разрывной трещины в ее вершине?
42. Почему в плоских стыковых сварных соединениях всегда $K_{III} = 0$?
43. Покажите характер зависимости K_I от длины симметричной поперечной хрупкой трещины в стыковом сварном соединении технологически больших размеров, дайте необходимые пояснения.
44. Как влияют перпендикулярные к плоскости трещины боковые границы сварного соединения на величину K_I ?
45. Какова суть приближенного расчетного метода учета поправок K_I^1 в связи с наличием боковых границ соединения?
46. В какой мере оказывают влияние на K_I границы соединения, параллельные плоскости трещины?
47. Покажите характер зависимостей K_I от длины симметричной продольной трещины в шве стыкового соединения ограниченных размеров для различных значений s .
48. Почему с увеличением длины сварного соединения для центральных симметричных трещин в шве сравнительно небольшой длины значения K_I падают?
49. В чем заключается метод расчета K_I или K_{II} для произвольной трещины в соединении технологически больших размеров без предварительного определения остаточных напряжений?

Глава 7

1. На каком принципе основаны мероприятия по снижению сварочных деформаций и напряжений?
2. На каких этапах изготовления сваркой конструкции можно снижать сварочные деформации и напряжения?
3. Назовите возможные пути уменьшения площади эпюры остаточных пластических деформаций укорочения в процессе сварки.
4. Каким образом можно уменьшить площадь эпюры остаточных пластических деформаций укорочения после сварки?
5. Как влияет ширина базы закрепления продольных кромок свариваемых листов на величину поперечных напряжений?
6. Какие мероприятия обеспечивают снижение угловой деформации при сварке стыкового и тавровых соединений?
7. Какова причина сварочных деформаций в плоскости свариваемых листов?
8. Назовите методы, предупреждающие образование сварочных деформаций и напряжений.
9. Назовите методы, устраняющие сварочные деформации и напряжения.
10. Как влияет изменение удельной тепловой энергии при сварке на площадь эпюры остаточных пластических деформаций укорочения?
11. Достигается ли снижение остаточных сварочных напряжений в сварном шве при применении концентрированных источников нагрева?
12. В результате чего происходит уменьшение площади эпюры остаточных пластических деформаций укорочения?
13. Как влияет уменьшение ширины шва на остаточные сварочные напряжения?
14. Почему при уменьшении ширины шва снижаются остаточные продольные деформации укорочения?
15. Почему при сварке концентрированным источником теплоты снижаются угловые деформации?
16. Назовите способы сварки с концентрированным источником нагрева.
17. В чем сущность сварки с теплоотводом?
18. Как изменяется характер распределения максимальных температур в поперечном сечении сварного соединения при сварке с теплоотводом? Можно ли снизить величину остаточных продольных напряжений в сварном шве при сварке с теплоотводом?
19. Почему при сварке с теплоотводом уменьшается площадь эпюры остаточных пластических деформаций укорочения?

20. От чего зависит эффективность применения теплоотвода?
21. В каком случае применение теплоотвода может привести к снижению угловой деформации?
22. В чем состоит сварка с предварительным растяжением?
23. Опишите механизм уменьшения ширины зоны остаточных пластических деформаций укорочения при сварке с предварительным растяжением.
24. Приведите схемы предварительного растяжения при сварке встык.
25. Опишите механизм снижения остаточных продольных напряжений при сварке встык пластин с предварительным растяжением.
26. Как изменяется эволюция остаточных продольных напряжений при сварке с предварительным растяжением?
27. Какие остаточные напряжения оказывают основное влияние на выбор температур предварительного растяжения?
28. Какими должны быть предварительные растяжения, чтобы после сварки отсутствовали остаточные продольные напряжения?
29. Какие факторы влияют на эффективность снижения остаточных продольных напряжений при сварке с предварительным растяжением?
30. Опишите методику определения необходимой силы растяжения нагруженного устройства при сварке с предварительным растяжением.
31. Приведите схему сварки с предварительным растяжением встык толстолистовых цилиндрических оболочек.
32. Приведите схему сварки фланцев в сферические оболочки с предварительным растяжением.
33. Приведите примеры сварки с предварительным растяжением.
34. Какие деформации можно снизить с помощью метода компенсации?
35. Какие мероприятия необходимо предусмотреть при применении метода компенсации?
36. Как должны быть расположены сварные швы, чтобы после сварки конструкция имела минимальные деформации изгиба?
37. Как влияет последовательность выполнения локсных швов сварной дуга?
38. Как должны взаимно располагаться две пластины при сварке встык, чтобы угловая деформация после сварки отсутствовала?
39. В результате чего при сварке в зажимных приспособлениях снижаются остаточные деформации и напряжения?
40. Приведите эволюцию остаточных продольных пластических деформаций укорочения после сварки в зажимных приспособлениях.
41. Как изменяется эволюция остаточных продольных напряжений при сварке в зажимных приспособлениях?
42. Какова эффективность снижения деформаций при сварке в зажимных приспособлениях.
43. В чем заключается метод снижения деформаций и напряжений с помощью статического нагружения?
44. Опишите механизм снижения остаточных деформаций и напряжений при статическом нагружении сварного соединения.
45. Какова должна быть величина напряжений от статического нагружения, чтобы достигнуть полного устранения сварочных деформаций и напряжений?
46. В чем состоит сущность способа снижения сварочных деформаций и напряжений прокаткой роликами сварного соединения?
47. От каких параметров режима прокатки роликами зависит эффективность снижения остаточных деформаций и напряжений?
48. Приведите схемы прокатки роликами сварных соединений.
49. В чем состоит способ вибрационной обработки сварных соединений?
50. Какова должна быть сумма остаточных и вибрационных напряжений, чтобы было снижение напряжений?
51. Опишите механизм снижения напряжений при вибрационной обработке сварных соединений.
52. Какой вид термической обработки применяется для снижения напряжений?
53. Назовите стадии отпуска для снижения напряжений.
54. В чем состоит первая стадия отпуска?
55. Опишите процессы, происходящие на первой стадии отпуска.

66. В результате чего происходит снижение напряжений при отпуске на стадии нагрева?
67. В чем состоит вторая стадия отпуса?
68. Опишите процессы, происходящие на второй стадии отпуса.
69. В чем состоит третья стадия отпуса?
70. Опишите процессы, происходящие на третьей стадии отпуса.
71. Приведите схему снижения напряжений при отпусе.
72. На какой стадии отпуса происходит наибольший спад напряжений?
73. Опишите процесс снижения деформаций при термообработке.
74. В чем состоит сущность термической правки сварных балок?
75. На основании чего выбираются места нагрева при термической правке балок?
76. Опишите методику определения требуемой площади и удельной энергии нагрева при термической правке.

СПИСОК ИСПОЛЬЗОВАННОЙ ЛИТЕРАТУРЫ

1. Бросек Д. Основы механики разрушения: Пер. с англ. — М.: Высш. шк., 1980. — 368 с.
2. Винокуров В. А. Сварочные деформации и напряжения. — М.: Машиностроение, 1968. — 236 с.
3. Винокуров В. А., Григорьяни А. Г. Теория сварочных деформаций и напряжений. — М.: Машиностроение, 1984. — 280 с.
4. Вольмир А. С. Устойчивость деформируемых систем. — М.: Наука, 1967. — 603 с.
5. Касаткина Б. С., Кудрин А. Б., Лобанов Л. М. Экспериментальные методы исследования деформаций и напряжений: Справ. пособие. — К.: Наук. думка, 1981. — 583 с.
6. Киселев В. А. Плоская задача теории упругости. — М.: Высш. шк., 1976. — 151 с.
7. Кузьминков С. А. Сварочные деформации судовых корпусных конструкций. — Л.: Судостроение, 1974. — 286 с.
8. Лаврентьев М. А., Шабат Б. В. Методы теории функций комплексного переменного. — М.: Наука, 1965. — 716 с.
9. Мусхелишвили Н. И. Некоторые основные задачи математической теории упругости. — М.: Наука, 1966. — 707 с.
10. Ливасюк В. В., Самрук М. П., Давышин А. П. Распределение напряжений около трещин в пластинах и оболочках. — К.: Наук. думка, 1976. — 443 с.
11. Седов Л. И. Механика сплошной среды. — М.: Наука, 1970. — Т. 2. — 668 с.
12. Справочник по специальным функциям: Пер. с англ. / Под ред. М. Абрамсона и И. Стигиза — М.: Наука, 1979. — 831 с.
13. Тимошенко С. П., Гудьер Дж. Теория упругости: Пер. с англ. — М.: Наука, 1976. — 676 с.
14. Трочук И. П. Внутренние усилия и деформации при сварке — М.: Машиностроение, 1964. — 246 с.

ПРЕДМЕТНЫЙ УКАЗАТЕЛЬ

Б

Базы измерительные 99

В

Вектор полного напряжения 8
Вязкость разрушения 159

Г

Гипотезы механики твердого тела 6

Д

Девiator напряжений 13
Деформации:
— изгиба 135—138
— линейные 15
— обозначения 16
— оболочковых конструкций 150—156
— октаэдрические 17
— пластическая 33, 57, 60, 124
— продольного укорочения 128—133
— полная 33, 35, 121
— поперечного укорочения 130—133
— потери устойчивости 144—148
— сдвиговые 15
— скручивания 148—150
— температурная 33
— угловые 136—144
— упругая 33
Деформометры:
— емкостные 102
— индуктивные 103
— механические 101, 102
— металлоупругие 103
— оптические 102
— пневмоконтактные 104

З

Задачи теории упругости:

— вторая основная 20
— первая основная 20
— прямая 19
— смешанная 20

Зоны пластических деформаций:

— при сварке 48, 54
— у вершины трещины 157

И

Инварнанты:
— деформированного состояния 17
— напряженного состояния 12
Интегралы:
— в поперечном сечении соединения 40
— контурные 74
— определяющие 70
— полной линейной деформации 40

К

Коэффициент интенсивности напряже-
ний 159, 162

М

Методы расчетные:
— дислокационных представлений 57—
98
— Николаева 50
— определения K_I и K_{II} 177—185
— определения δ 185—191
— Трочина 54
Методы экспериментальные:
— механические 98—113
— физические 113—121

Н

Напряжения:
— базовые 77
— главные нормальные 11
— закон парности 13
— знаки 9
— интенсивность 13
— интегральные представления в
сварных соединениях 62—67
— обозначения 9
— октаэдрические 12
— экстремальные касательные 12

О

Объем продольного укорочения при
сварке 59
Оси координат:
— главные 11
— произвольные 11

п

Перемещения 15

Площадки:

— главные 11

— октаэдрические 12

— произвольные наклонные 9

Принцип Сен-Венана 7

Пути решения задач теории упругости:

— второй 21

— первый 20

— смешанный 21

р

Раскрытие трещины семейства линий
в плоской задаче теории упругости
30, 31

с

Силы:

— объемные 7

— поверхностные 7

— усадочные 125

Состояние деформированное 16

т

Тензор:

— деформаций 17

— напряжений 13

Температура перехода металла в пластическое состояние 34, 55

Теория упругости:

— линейная 5

— математическая 6

— нелинейная 6

— прикладная 6

Толщина приведенная сварных швов
стыля 55

Трещины:

— нормального отрыва 158

— поперечного сдвига 159

— продольного сдвига 158

— δ -модель 185

у

Уменьшение сварочных напряжений и
деформаций:

— Классификация методов 196, 197

— Принципиальные основы 191

— Применение

— — виброобработки 219—221

— — зажимных приспособлений 214—
215

— — концентрированного нагрева 197—
200

— — компенсации деформаций 211—211

— — предварительного растяжения
202—211

— — прокатки 216—219

— — статической нагрузки 215—216

— — теплоотводов 200—201

— — термообработки 221—225

— — термической правки 225—229

Уравнения:

— геометрические 17, 24

— Ламе 21

— неразрывности (совместности) де-
формаций 17, 25

— равновесия 15, 24

— физические 19, 25

Предисловие	3
Глава I. Элементы теории упругости	6
1.1. Теория упругости как наука	6
1.2. Теория напряжений	8
1.3. Теория деформаций и перемещений	15
1.4. Основные уравнения, задачи и пути их решения в теории упругости	18
1.5. Плоская задача теории упругости	22
1.6. Решение плоской задачи в напряжениях при помощи функции напряжений Эри	25
1.7. Решение плоской задачи при помощи функции комплексного переменного	27
1.8. Семейства линий в плоской задаче, характеризующие напряженно-деформированное состояние	30
Глава 2. Образование и расчет остаточных напряжений в симметричных одномерных задачах	32
2.1. Методологические основы анализа развития деформаций и напряжений в моделях сварных соединений	32
2.2. Деформации при нагреве и охлаждении стержня	34
2.3. Деформации и напряжения в пластине с прорезами	37
2.4. Образование напряжений и деформаций в сварном соединении	47
2.5. Расчетный метод Николаева	50
2.6. Расчетный метод Трочуна	54
Глава 3. Расчетный аналитический метод определения остаточных сварочных напряжений в условиях плоского напряженного состояния	57
3.1. Исходные положения и физико-математические основы расчетного метода	57
3.2. Разработка интегральной формулировки задачи	62
3.3. Решение определяющих интегралов	70
3.4. К вопросу о вычислении контурных интегралов	74
3.5. Базовое напряженное состояние при сварке пластин	77
3.6. Учет влияния на остаточные напряжения ограниченности размеров сварных соединений и продольной жесткости сборочно-сварочной конструкции	82
3.6.1. Сварка в абсолютно жестком приспособлении	82
3.6.2. Сварка в свободном состоянии	90
3.6.3. Сварка в приспособлении промежуточной жесткости	92
3.7. Учет влияния на остаточные напряжения продольного внешнего нагружения после сварки	93
3.7.1. Влияние равномерного растяжения	93
3.7.2. Влияние равномерного сжатия	95
Глава 4. Экспериментальные методы определения сварочных деформаций и напряжений	98
4.1. Исходные положения экспериментальных методов	98
4.2. Механические деформометры	101
4.3. Электротензометрия	105
4.4. Определение напряжений в глубине металла	109
4.5. Определение напряжений неразрушающим магнитоупругим методом	113

4.6. Поляризационно-оптический метод	115
4.7. Исследование кинетики сварочных деформаций и напряжений	118
4.8. Определение полной деформации при сварке	121
4.9. Определение остаточных продольных пластических деформаций укорочения при сварке	122
Глава 6. Расчетное определение остаточных сварочных деформаций	124
6.1. Классификация сварочных деформаций	124
6.2. Определение усадочной силы	125
6.3. Деформации продольного укорочения от продольных швов	128
6.4. Деформации поперечного укорочения	130
6.5. Деформации продольного укорочения при сварке продольных и поперечных швов	133
6.6. Деформации изгиба	135
6.7. Угловые деформации	138
6.8. Деформации потери устойчивости	144
6.9. Деформации скручивания	148
6.10. Определение перемещений при сварке оболочковых конструкций	150
Глава 8. Остаточные напряжения как силовой фактор в хрупком разрушении сварных соединений	156
8.1. Силовой и деформационный критерии хрупкого разрушения	156
8.2. Постановка сварочных задач теории трещин хрупкого разрушения, пути их решения и существующие проблемы	163
8.3. Расчет параметров K_I и K_{II} в силовом поле остаточных напряжений для некоторых типовых трещин	166
8.3.1. Симметричная поперечная трещина в сварном соединении бесконечных размеров с бесконечным прямолинейным швом	166
8.3.2. Симметричная поперечная трещина в сварном соединении ограниченных размеров при $c \geq 2$	168
8.3.3. Симметричная продольная трещина в шве сварного соединения прямоугольной формы при $c < 1$	172
8.3.4. Несимметричная продольная трещина в шве сварного соединения прямоугольной формы при $c < 1$	174
8.3.5. Симметричная продольная трещина в шве сварного соединения прямоугольной формы при произвольном c	176
8.4. Обобщенный метод расчета K_I и K_{II} для произвольных трещин без предварительного определения остаточных напряжений	177
8.5. Расчетный метод определения раскрытия трещины в ее вершине	185
Глава 7. Уменьшение сварочных напряжений и деформаций	191
7.1. Принципиальные основы снижения остаточных деформаций и напряжений	191
7.2. Классификация методов снижения остаточных деформаций и напряжений	196
7.3. Сварка концентрированными источниками нагрева	197
7.4. Сварка с тепловодом	200
7.5. Сварка с предварительным растяжением	202
7.6. Компенсация деформаций при сварке	211
7.7. Приведение зажимных приспособлений	214
7.8. Статическое нагружение	215
7.9. Прокатка сварных соединений	216
7.10. Вибрационная обработка	219
7.11. Термообработка сварных конструкций	221
7.12. Термическая правка балок	225
Приложение	230
Список литературы	242
Предметный указатель	243

Учебное пособие

*Борис Сергеевич Касаткин
Владимир Михайлович Прохоренко
Игорь Маркович Чертов*

НАПРЯЖЕНИЯ И ДЕФОРМАЦИИ ПРИ СВАРКЕ

Редактор Е. Ф. Воробьева
Переплет художника Г. М. Болюна
Художественный редактор С. П. Духленко
Технический редактор Л. Ф. Волкова
Корректор Л. М. Байбародина

Информ. бланк № 10249

Сдано в набор 27.02.86. Подп. к печати 17.12.86. БФ 02200
Формат 60 × 90/16. Бумага типогр. № 2. Лист. гарн
Выс. печать. Печ. л. 15,5. Хр.-отт. 15,5. Уч.-изд. л. 16,66.
Тираж 5000 экз. Изд. № 7000. Злж. 6-272. Цена 85 к.

Главное издательство издательского объединения «Витиз
школа», 252054, Киев-54, ул. Гоголевская, 7

Книжная фабрика им. М. В. Фрунзе, 310057, Харьков-57,
Донец-Захаржевского, 6/8.

**В Головном издательстве
издательского объединения
«Випца школы» в 1987 году
выйдут в свет книги:**

**Робототехнические системы в сборочном произ-
водстве. Учеб. пособие / Руководитель авт. кол. канд.
техн. наук Е. В. Пашков.— К.: Випца шк. Головное
изд-во, 1987 (III кв.).— 17 л.— Яз рус.— 80 к.,
8000 экз.**

Приведены рекомендации по проектированию основных
элементов промышленных «сборочных» роботов и сборочных
систем, методы их расчета. Сформулированы требования к
приводам промышленных роботов, даны методики расчета и
конструирования шфровых и следящих пневмоприводов.

Рассмотрены принципы построения систем управления
сборочными роботами и системами. Даны алгоритмы управ-
ления, примеры переналаживаемых сборочных систем, опи-
саны методы их испытания.

Для студентов вузов, обучающихся по специальности
«Автоматизация и комплексная механизация машиностроения».

Аннотировалась в ТП-87, п. 1916

**Машины и технология обработки металлов дав-
лением. Лабораторные работы: Учеб. пособие / Ру-
ководитель авт. кол. проф., д-р техн. наук Л. И. Жип-
вов.— 2-е изд. (1-е изд.—1975 г.).— К.: Випца шк.
Головное изд-во, 1987 (II кв.).— 12 л.— Яз. рус.—
60 к., 3000 экз.**

Изложено содержание лабораторных работ по теории об-
работки металлов давлением, ковке, объемной и листовой
штамповке, кузнечно-штамповочному оборудованию, основам
автоматизации кузнечно-штамповочного производства.

Во второе издание внесены изменения в соответствии с
действующими государственными стандартами. Издание до-
полнено новыми лабораторными работами и методическими
рекомендациями по организации выполнения лабораторных
работ.

Для студентов вузов, обучающихся по специальности
«Машины и технология обработки металлов давлением».

Аннотировалась в ТП-87, л. 226